


document-id	Context Source	Context Mode X	Context Mode y	Source Sentence	Mode x Sentence	Mode y Sentence	 Ranking Type	Comment
EXAMPLES:								
29213361				Vascular cognitive impairment/vascular dementia have been the subject of a large number of studies, due to their high prevalence and broad preventive and compensatory therapeutic potential.	O comprometimento cognitivo vascular/demência vascular vem sendo objeto de numerosos estudos, devido à sua alta prevalência e amplo potencial terapêutico terapêutico.	O comprometimento cognitivo vascular/demência vascular vem sendo objeto de numerosos estudos, levando em conta sua alta prevalência e as amplas possibilidades terapêuticas preventivas e compensatórias.	M0 > M1	EXAMPLE
29091167				Such understanding can be assessed by specific instruments, amongst which The Eating Motivation Survey (TEMS) allows the identification of factors that determine motivations for eating and food choices.	Essa compreensão pode ser avaliada por meio de instrumentos específicos, dentre os quais a The Eating Motivation Survey (TEMS) permite a identificação de fatores determinantes de motivações para o consumo e escolhas alimentares.	Esse entendimento pode ser avaliado por meio de instrumentos - dentre os existentes nessa área, a The Eating Motivation Survey (TEMS) permite a identificação de fatores determinantes das motivações para comer e escolhas alimentares.	M0 < M1	EXAMPLE
28658336				The majority of the patients were female (91.8%), with a higher prevalence (35%) in the age group 18-29 years old, complete high-school education (65.6%) and grade III obesity (60.4%).	A maioria dos pacientes era do sexo feminino (91,8%), com maior prevalência (35%) na faixa etária de 18 a 29 anos, com ensino médio completo (65,6%) e obesidade grau III (60,4%).	A maioria dos pacientes era do sexo feminino (91,8%), com maior prevalência (35%) na faixa etária de 18 aos 29 anos, com ensino médio completo (65,6%) e obesidade grau III (60,4%).	M0 = M1	EXAMPLE
29911095				Magnetic resonance imaging (MRI) showed an expansive mass with local aggressiveness. Due to these characteristics, it was not possible to discard soft tissue sarcoma at the differential diagnosis.	A ressonância magnética (RM) mostrou uma massa expansiva com agressividade local. Devido a essas características, não foi possível descartar o sarcoma de partes moles no diagnóstico diferencial.	As características da ressonância magnética (RM) mostraram uma massa expansiva com agressividade local. Devido a estas características, não foi possível descartar sarcoma de tecido mole no diagnóstico diferencial.	M0 < M1	EXAMPLE
29213379				Dementia studies has primarily focused on disorders of the cerebral cortex and subcortical gray matter, what originated the concepts of cortical and subcortical dementias respectively.	A literatura sobre demência tem se concentrado principalmente no córtex cerebral e na substância branca do córtex subcortical, o que originou os conceitos de demência cortical e subcortical respectivamente.	O estudo da demência tem enfocado principalmente os distúrbios do córtex cerebral e da substância cinzenta subcortical, o que originou os conceitos de demência cortical e subcortical, respectivamente.	M0 < M1	EXAMPLE
28444092				... This prospective and exploratory study included 171 women undergoing treatment for endometriosis between April and August 2014. The questionnaires used were Brief COPE, Beck Depression Inventory, Lipp's Stress Symptom Inventory for Adults and Visual Analogue Scale.	Este estudo prospectivo e exploratório incluiu 171 mulheres em tratamento por endometriose entre abril e agosto de 2014. Foram utilizadas as escalas: COPE Breve, Inventário de Depressão de Beck, Inventário de Sintomas de Stress para Adultos de Lipp e a Escala Visual Analógica.	Este estudo prospectivo e exploratório incluiu 171 mulheres em tratamento por endometriose entre abril e agosto de 2014. Foram utilizadas as escalas: COPE Breve, Inventário de Depressão de Beck, Inventário de Sintomas de Stress para Adultos de Lipp e a Escala Visual Analógica. Os dados clínicos foram coletados do prontuário eletrônico.	M0 = M1	EXAMPLE
27218077				The following functions were evaluated: (1) range of motion (ROM) of elbow flexion, in degrees, using manual goniometry and (2) grade of elbow flexion strength, using a muscle strength scale.	Função avaliada: 1) amplitude de movimento (ADM) em graus da flexão do cotovelo, goniometria manual; 2) grau de força de flexão do cotovelo, por escala de força muscular.	Função avaliada: 1) amplitude de movimento (ADM) em graus, com goniometria manual, e 2) grau de força de flexão do cotovelo, com escala de força muscular.	M0 > M1	EXAMPLE
START HERE:								
30183896	This report aims to describe the experience of tutoring process in distance learning of the Multidisciplinary Specialization Course in Primary Care in Brazil, in the states of Santa Catarina and Paraná. Course participants were physicians, dentists and nurses included in the "Program for the Valorization of Primary Health Care" and the "More Doctors Program in Brazil", a total of 1 600 professionals. The course was structured from three theoretical axes and pedagogical mediation conducted by a team of tutoring. . It was adopted problematization methodology, developed from a critical view of reality in the teaching and learning process. The tutors worked in pedagogical orientation, supporting use of media and technology and evaluation of educational activities in the course. The students evaluated positively the didactic and the course design and performance of the tutors.	O objetivo deste relato é descrever a experiência do processo de tutoria a distância do Curso de Especialização Multiprofissional na Atenção Básica no Brasil, realizado nos estados de Santa Catarina e Paraná. O curso teve como público profissionais de saúde, entre esses: médicos, enfermeiros e dentistas, vinculados ao "Programa de Valorização da Atenção Básica" e ao "Programa Mais Médicos no Brasil", totalizando 1 600 profissionais. O curso foi estruturado a partir de três eixos teóricos e com mediação pedagógica realizada por uma equipe de tutoria. A metodologia adotada foi a problematizadora, desenvolvida a partir de uma postura crítica sobre a realidade, no processo de ensino aprendizagem. Os tutores realizaram orientação pedagógica, apoio ao uso das mídias e tecnologias e avaliação de atividades educativas no curso.	Este objetivo descrever a experiência do processo de tutoriais no deslocamento do Curso de Especialização Multiprofissional na Atenção Básica no Brasil, realizado nos estados de Santa Catarina e Paraná. O curso teve como público profissionais de saúde, entre esses: médicos, enfermeiros e dentistas, vinculados ao "Programa de Valorização da Atenção Básica" e ao "Programa Mais Médicos no Brasil", totalizando 1 600 profissionais. O curso foi estruturado a partir de três eixos teóricos e com mediação pedagógica realizada por uma equipe de tutoria. A metodologia adotada foi a problematização, desenvolvida a partir de uma postura crítica sobre a realidade, no processo de ensino aprendizagem. Os tutores realizaram orientação pedagógica, apoio ao uso das mídias e tecnologias e avaliação de atividades educativas no curso.	This report aims to describe the experience of tutoring process in distance learning of the Multidisciplinary Specialization Course in Primary Care in Brazil, in the states of Santa Catarina and Paraná.	O objetivo deste relato é descrever a experiência do processo de tutoria a distância do Curso de Especialização Multiprofissional na Atenção Básica no Brasil, realizado nos estados de Santa Catarina e Paraná.	Este objetivo descrever a experiência do processo de tutoriais no deslocamento do Curso de Especialização Multiprofissional na Atenção Básica no Brasil, realizado nos estados de Santa Catarina e Paraná.		

document-id	Context Source	Context Mode X	Context Mode y	Source Sentence	Mode x Sentence	Mode y Sentence	Ranking Type	Comment
27276016	to analyze the feasibility of quality indicators for evaluation of hospital programs for preventing occupational tuberculosis, a descriptive cross-sectional study. We tested indicators for evaluating occupational tuberculosis prevention programs in six hospitals. The criterion to define feasibility was the time spent to calculate the indicators, time spent to evaluate the indicators ranged from 2h 52min to 15h11min 24sec. The indicator for structure evaluation required less time; the longest time was spent on process indicators, including the observation of healthcare workers' practices in relation to the use of N95 masks. There was an hindrance to test one of the indicators for tuberculosis outcomes in five situations, due to the lack of use of tuberculin skin test in these facilities.	analisar a viabilidade de indicadores de qualidade para avaliação de programas hospitalares de prevenção de tuberculose ocupacional, estudo descritivo transversal. Testaram-se indicadores de avaliação de programas de prevenção de tuberculose ocupacional em seis hospitais. O critério para definir a viabilidade foi o tempo necessário para aplicar os indicadores, o tempo necessário para avaliar os indicadores variou de 02'52" até 15h11'24". O indicador para a avaliação da estrutura demandou menor tempo; e o maior tempo foi utilizado com os indicadores de processo, incluindo a observação das práticas dos trabalhadores de saúde em relação ao uso de máscaras N95. Um dos indicadores de resultados de tuberculose deixou de ser testado em cinco situações devido à falta de uso do teste cutâneo de tuberculina nessas unidades.	analisar a viabilidade de indicadores de qualidade para avaliação de programas hospitalares de prevenção de tuberculose ocupacional, estudo descritivo transversal. Testaram-se indicadores para avaliação de programas de prevenção de tuberculose ocupacional em seis hospitais. O critério para definir a viabilidade foi o tempo necessário para aplicar os indicadores, o tempo necessário para avaliar os indicadores variou de 02'52" até 15h11'24". O tempo para avaliar os indicadores para a avaliação da estrutura demandou menor tempo; o maior tempo foi utilizado com os indicadores de processo, incluindo a observação das práticas dos trabalhadores de saúde em relação ao uso de máscaras N95. Um dos indicadores de desfechos de tuberculose deixou de ser testado em cinco situações devido à falta de uso do teste de pele de tuberculina nestas unidades.	There was an hindrance to test one of the indicators for tuberculosis outcomes in five situations, due to the lack of use of tuberculin skin test in these facilities	Um dos indicadores de resultados de tuberculose deixou de ser testado em cinco situações devido à falta de uso do teste cutâneo de tuberculina nessas unidades.	Um dos indicadores de desfechos de tuberculose deixou de ser testado em cinco situações devido à falta de uso do teste de pele de tuberculina nestas unidades.		
28409133	To evaluate the results of arthroscopic treatment of large and extensive rotator cuff injuries (RCI) that involved the supra and infraspinatus muscles using the suture bridge (SB) technique. Between July 2010 and November 2014, 37 patients with RCI who were treated with SB technique were evaluated. The study included all patients with a minimum follow-up of 12 months who underwent primary surgery of the shoulder. Twenty-four patients were male and 13 were female. The mean age was 60 years (45-75). The dominant side was affected in 32 cases. The most common cause of injury was trauma (18 cases). The mean preoperative motion was 123°, 58°, T11. Through magnetic resonance imaging, 36 fatty degenerations were classified according to Goutallier.	Avaliar o resultado do tratamento artroscópico das lesões do manguito rotador (LMR) grandes e extensas dos tendões dos músculos supraespal e infraespal por meio da técnica suture bridge (SB). Entre julho de 2010 e novembro de 2014, 37 pacientes com LMR submetidos a esse tratamento foram avaliados. Todos tinham seguimento mínimo pós-operatório de 12 meses e foram submetidos a cirurgia primária: 24 eram do sexo masculino e 13 do feminino. A média foi de 60 anos (45 a 75). O lado dominante foi acometido em 32 casos. Entre as lesões, 18 foram decorrentes de trauma. O movimento pré-operatório foi de 123°, 58°, T11. Por meio da ressonância magnética foi classificada a degeneração gordurosa de 36 pacientes de acordo com Goutallier.	Avaliar o resultado do tratamento artroscópico das lesões do manguito rotador (LMR) que envolveram os músculos supraespal e infraespal por meio da técnica suture bridge (SB). Entre julho de 2010 e novembro de 2014, 37 pacientes com LMR submetidos a esse tratamento foram avaliados. Todos tinham seguimento mínimo pós-operatório de 12 meses e foram submetidos a cirurgia primária no ombro. Vinte e quatro pacientes eram do sexo masculino e 13 do feminino. A média foi de 60 anos (45 a 75). O lado dominante foi acometido em 32 casos. Entre as lesões, 18 foram decorrentes de trauma. O movimento pré-operatório foi de 123°, 58°, T11. Por meio da ressonância magnética foi classificada a degeneração gordurosa de 36 pacientes de acordo com Goutallier.	To evaluate the results of arthroscopic treatment of large and extensive rotator cuff injuries (RCI) that involved the supra and infraspinatus muscles using the suture bridge (SB) technique.	Avaliar o resultado do tratamento artroscópico das lesões do manguito rotador (LMR) grandes e extensas dos tendões dos músculos supraespal e infraespal por meio da técnica suture bridge (SB).	Avaliar o resultado do tratamento artroscópico das lesões do manguito rotador (LMR) que envolveram os músculos supraespal e infraespal por meio da técnica suture bridge (SB).		
26229898	To evaluate the pain level in patients treated with epidural infusion of morphine sulfate in a single dose, after a surgical procedure to perform lumbar arthrodesis. Forty patients underwent posterolateral lumbar arthrodesis or intersomatic lumbar arthrodesis via a posterior route at one, two or three levels. They were prospectively randomized into two groups of 20. In the first group (study group), 2 mg of morphine sulfate diluted in 10 mL of physiological serum was infiltrated into the epidural space, through the laminectomy area. The second group (controls) did not receive analgesia. The patients were asked about their pain levels before and after the operation, using a visual analog scale (VAS).	Avaliar o nível de dor em pacientes tratados com infusão epidural de sulfato de morfina em Dose única, após procedimento cirúrgico de artrodese lombar. Quarenta pacientes foram submetidos à artrodese lombar posterolateral ou artrodese lombar intersomática por via posterior, em um, dois ou três níveis, divididos prospectivamente em dois grupos de 20. No primeiro grupo (de estudo) foram infiltrados no espaço epidural, através da área da laminectomia, 2 mg de sulfato de morfina diluídos em 10 mL de soro fisiológico. O segundo grupo (controle) não recebeu analgesia. Os pacientes foram interrogados quanto ao nível de dor, no pré e pós-operatório, com o uso da escala visual analógica (EVA). Verificou-se que os pacientes apresentaram diminuição significativa da dor quando apresentada pela EVA.	Avaliar o nível de dor em pacientes tratados com infusão epidural de sulfato de morfina em Dose única, após procedimento cirúrgico de artrodese lombar. Quarenta pacientes foram submetidos à artrodese lombar posterolateral ou artrodese lombar intersomática por via posterior, em um, dois ou três níveis, submetidos à artrodese lombar posterolateral. Todos os pacientes foram randomizados prospectivamente em dois grupos de 20. No primeiro grupo (de estudo) foram infiltrados no espaço epidural, através da área da laminectomia, 2 mg de sulfato de morfina diluídos em 10 mL de soro fisiológico. O segundo grupo (controle) não recebeu analgesia. Os pacientes foram interrogados quanto ao nível de dor, no pré e pós-operatório, com o uso da escala visual analógica (EVA).	Forty patients underwent posterolateral lumbar arthrodesis or intersomatic lumbar arthrodesis via a posterior route at one, two or three levels.	Quarenta pacientes foram submetidos à artrodese lombar posterolateral ou artrodese lombar intersomática por via posterior, em um, dois ou três níveis, divididos prospectivamente em dois grupos de 20.	Quarenta pacientes foram submetidos à artrodese lombar posterolateral ou artrodese lombar intersomática por via posterior, em um, dois ou três níveis, submetidos à artrodese lombar posterolateral.		

document-id	Context Source	Context Mode X	Context Mode y	Source Sentence	Mode x Sentence	Mode y Sentence	Ranking Type	Comment
26229898	<p>To evaluate the pain level in patients treated with epidural infusion of morphine sulfate in a single dose, after a surgical procedure to perform lumbar arthrodesis. Forty patients underwent posterolateral lumbar arthrodesis or intersomatic lumbar arthrodesis via a posterior route at one, two or three levels. They were prospectively randomized into two groups of 20. In the first group (study group), 2 mg of morphine sulfate diluted in 10 mL of physiological serum was infiltrated into the epidural space, through the laminectomy area. The second group (controls) did not receive analgesia. The patients were asked about their pain levels before and after the operation, using a visual analog scale (VAS).</p>	<p>Avaliar o nível de dor em pacientes tratados com infusão epidural de sulfato de morfina em Dose única, após procedimento cirúrgico de artrodese lombar. Quarenta pacientes foram submetidos à artrodese lombar posterolateral ou artrodese lombar intersomática por via posterior, em um, dois ou três níveis, divididos prospectivamente em dois grupos de 20. No primeiro grupo (de estudo) foram infiltrados no espaço epidural, através da área da laminectomia, 2 mg de sulfato de morfina diluídos em 10 mL de soro fisiológico. O segundo grupo (controle) não recebeu analgesia. Os pacientes foram interrogados quanto ao nível de dor, no pré e pós-operatório, com o uso da escala visual analógica (EVA).</p>	<p>Avaliar o nível de dor em pacientes tratados com infusão epidural de sulfato de morfina em Dose única, após procedimento cirúrgico de artrodese lombar. Quarenta pacientes foram submetidos à artrodese lombar posterolateral ou artrodese lombar intersomática por via posterior, em um, dois ou três níveis, submetidos à artrodese lombar posterolateral. Todos os pacientes foram randomizados prospectivamente em dois grupos de 20. No primeiro grupo (de estudo) foram infiltrados no espaço epidural, através da área da laminectomia, 2 mg de sulfato de morfina diluídos em 10 mL de soro fisiológico. O segundo grupo (controle) não recebeu analgesia. Os pacientes foram interrogados quanto ao nível de dor, no pré e pós-operatório, com o uso da escala visual analógica (EVA).</p>	<p>Forty patients underwent posterolateral lumbar arthrodesis or intersomatic lumbar arthrodesis via a posterior route at one, two or three levels.</p>	<p>Quarenta pacientes foram submetidos à artrodese lombar posterolateral ou artrodese lombar intersomática por via posterior, em um, dois ou três níveis, divididos prospectivamente em dois grupos de 20.</p>	<p>Quarenta pacientes foram submetidos à artrodese lombar posterolateral ou artrodese lombar intersomática por via posterior, em um, dois ou três níveis, submetidos à artrodese lombar posterolateral.</p>		
28380132	<p>Resistance and aerobic training are recommended as an adjunctive treatment for hypertension. However, the number of sessions required until the hypotensive effect of the exercise has stabilized has not been clearly established. To establish the adaptive kinetics of the blood pressure (BP) responses as a function of time and type of training in hypertensive patients. We recruited 69 patients with a mean age of <math>63.4 \pm 2.1</math> years, randomized into one group of resistance training (n = 32) and another of aerobic training (n = 32). Anthropometric measurements were obtained, and one repetition maximum (1RM) testing was performed. BP was measured before each training session with a digital BP arm monitor. The 50 training sessions were categorized into quintiles.</p>	<p>Resistência e treinamento aeróbio são indicados para o tratamento adjuvante da hipertensão. Entretanto, o número de sessões necessárias até estabilização do efeito hipotensor com o exercício físico ainda não está claramente estabelecido. Verificar a cinética adaptativa das respostas tensionais tensionais, em função do tempo e do tipo de treinamento em hipertensos. Foram recrutados 69 hipertensos com idade média de <math>63,4 \pm 2,1</math> anos, randomizados em um grupo de treinamento de resistência (n = 32) e outro de treinamento aeróbio (n = 32). Foram realizadas medidas antropométricas e testes de uma repetição máxima (1RM). A pressão arterial (PA) foi dosada antes de cada sessão de treinamento em um aparelho de pressão digital de braço. As 50 sessões de treinamento foram categorizadas em quintis.</p>	<p>A resistência e o treinamento aeróbico são indicados como tratamento adjuvante para a hipertensão arterial. Entretanto, o número de sessões necessárias até estabilização do efeito hipotensor com o exercício ainda não está claramente estabelecido. Estabelecer a cinética adaptativa das respostas tensionais, em função do tempo e do tipo de treinamento, em hipertensos. Foram recrutados 69 hipertensos com idade média de <math>63,4 \pm 2,1</math> anos, randomizados em um grupo de treinamento com resistência (n = 32) e outro de treinamento aeróbico (n = 32). Foram realizadas medidas antropométricas e testes de uma repetição máxima (1RM). A pressão arterial (PA) foi medida antes de cada sessão de treinamento com um aparelho de pressão digital de braço. As 50 sessões de treinamento foram categorizadas em quintis.</p>	<p>To establish the adaptive kinetics of the blood pressure (BP) responses as a function of time and type of training in hypertensive patients.</p>	<p>Verificar a cinética adaptativa das respostas tensionais tensionais, em função do tempo e do tipo de treinamento em hipertensos.</p>	<p>Estabelecer a cinética adaptativa das respostas tensionais, em função do tempo e do tipo de treinamento, em hipertensos.</p>		
29213715	<p>Annually, some 500,000 people are hospitalized with brain lesions acquired after traumatic brain injury (TBI) in Brazil. Between 75,000 and 100,000 individuals die within hours of the event and 70,000 to 90,000 evolve to irreversible loss of some neurological function. The principal causes of TBI include motor vehicle accidents (50%), falls (21%), assaults and robberies (12%) and accidents during leisure activities (10%). Within this context, cognitive rehabilitation, a clinical area encompassing interdisciplinary action aimed at recovery as well as compensation of cognitive functions altered as a result of cerebral injury, is extremely important for these individuals.</p>	<p>Após traumatismo crânio-encefálico (TCE), no Brasil, 500 mil pessoas são hospitalizadas com lesão cerebral adquirida após traumatismo crânio-encefálico (TCE) no Brasil. Setenta e cinco a cem mil pessoas morrem poucas horas após o evento e 70 a 90 mil evoluem para perda irreversível de alguma função neurológica. Entre as principais causas de TCE, incluem-se os acidentes automobilísticos (50%), quedas (21%), assaltos e roubos (12%) e atividades de lazer (10%). Dentro deste contexto, a reabilitação cognitiva, uma área clínica de atuação interdisciplinar em busca de recuperação, tanto quanto a compensação de alterações das funções cognitivas resultantes de lesão cerebral, é extremamente importante para estes indivíduos.</p>	<p>Anualmente, 500 mil pessoas são hospitalizadas com lesão cerebral adquirida após traumatismo crânio-encefálico (TCE) no Brasil. Setenta e cinco a cem mil pessoas morrem poucas horas após o evento e 70 a 90 mil evoluem para perda irreversível de alguma função neurológica. Entre as principais causas de TCE estão os acidentes automobilísticos (50%), quedas (21%), assaltos e roubos (12%) e atividades de lazer (10%). Dentro deste contexto, a reabilitação cognitiva, uma área clínica de atuação interdisciplinar em busca de recuperação, tanto quanto a compensação de alterações das funções cognitivas resultantes de lesão cerebral, é extremamente importante para estes indivíduos.</p>	<p>Annually, some 500,000 people are hospitalized with brain lesions acquired after traumatic brain injury (TBI) in Brazil.</p>	<p>Após traumatismo crânio-encefálico (TCE), no Brasil, 500 mil pessoas são hospitalizadas com lesão cerebral adquirida após traumatismo crânio-encefálico (TCE) no Brasil.</p>	<p>Anualmente, 500 mil pessoas são hospitalizadas com lesão cerebral adquirida após traumatismo crânio-encefálico (TCE) no Brasil.</p>		

document-id	Context Source	Context Mode X	Context Mode y	Source Sentence	Mode x Sentence	Mode y Sentence	Ranking Type	Comment
29213457	Dysfunction in the basal ganglia circuits is a determining factor in the physiopathology of the classic signs of Parkinson's disease (PD) and hypokinetic dysarthria is commonly related to PD. Regarding speech disorders associated with PD, the latest four-level framework of speech complicates the traditional view of dysarthria as a motor execution disorder. Based on findings that dysfunctions in basal ganglia can cause speech disorders, and on the premise that the speech deficits seen in PD are not related to an execution motor disorder alone but also to a disorder at the motor programming level, the main objective of this study was to investigate the presence of sensorimotor disorders of programming (besides the execution disorders previously described) in PD patients.	A disfunção dos circuitos dos núcleos da base é um fator determinante na fisiopatologia dos sinais clássicos da doença de Parkinson (DP) e a disartria hipocinética é uma das manifestações da doença. No que se refere aos distúrbios da fala associados à DP os modelos recentes de processamento de fala complicam a visão antiga da disartria como um déficit apenas de execução motora. Baseado nos achados de que as disfunções nos gânglios basais podem causar alterações de fala e que os distúrbios não estão apenas relacionados aos déficits de execução motora, mas também de programação motora, o objetivo deste estudo foi investigar a presença de distúrbios sensório-motores da programação motora além dos de execução motora já descritos.	A disfunção dos circuitos dos núcleos da base é um fator determinante na fisiopatologia dos sinais clássicos da doença de Parkinson (DP) e a disartria hipocinética é uma das manifestações da doença de Parkinson. No que se refere aos distúrbios da fala associados à DP os modelos recentes de processamento de fala complicam a visão antiga da disartria como um déficit apenas de execução motora. Baseado nos achados de que as disfunções nos gânglios basais podem causar alterações de fala e que os distúrbios não estão apenas relacionados aos déficits de execução motora, mas também de programação motora, o objetivo deste estudo foi investigar a presença de distúrbios sensório-motores da programação motora além dos de execução motora já descritos na fala de pacientes com DP.	Based on findings that dysfunctions in basal ganglia can cause speech disorders, and on the premise that the speech deficits seen in PD are not related to an execution motor disorder alone but also to a disorder at the motor programming level, the main objective of this study was to investigate the presence of sensorimotor disorders of programming (besides the execution disorders previously described) in PD patients	Baseado nos achados de que as disfunções nos gânglios basais podem causar alterações de fala e que os distúrbios não estão apenas relacionados aos déficits de execução motora, mas também de programação motora, o objetivo deste estudo foi investigar a presença de distúrbios sensório-motores da programação motora além dos de execução motora já descritos.	Baseado nos achados de que as disfunções nos gânglios basais podem causar alterações de fala e que os distúrbios não estão apenas relacionados aos déficits de execução motora, mas também de programação motora, o objetivo deste estudo foi investigar a presença de distúrbios sensório-motores da programação motora além dos de execução motora já descritos na fala de pacientes com DP.		
29213994	Cerebral Autosomal Dominant Arteriopathy with Subcortical Infarcts and Leukoencephalopathy (CADASIL) is a hereditary disorder which affects the cerebral vasculature due to mutations in the NOTCH 3 gene. The diagnosis may be established through genetic testing for detection of these mutations and/or by skin biopsy. We report a case of the disorder in a female patient, who presented recurrent transient ischemic attacks that evolved to progressive subcortical dementia. Neuroimaging disclosed extensive leukoariosis and lacunar infarcts. The genetic analysis for NOTCH 3 was confirmatory. The ultrastructural examination of the skin biopsy sample, initially negative, confirmed the presence of characteristic changes (presence of granular osmiophilic material inclusions [GOM]), after the analysis of new sections of the same specimen.	A Cerebral Autosomal Dominante com Infartos Subcorticais e Leucoencefalopatia (CADASIL) é uma doença hereditária que acomete a vasculatura cerebral devido a mutações no gene do NOTCH 3. O diagnóstico pode ser estabelecido através de testes genéticos para a detecção dessas mutações e/ou de biópsia de pele. É relatado um caso da doença em uma paciente do sexo feminino, que apresentou ataques isquêmicos transitórios recorrentes, evoluindo para um quadro progressivo de demência subcortical. A neuroimagem mostrou extensa leucoaralose e infartos lacunares. A análise genética para NOTCH 3 foi confirmatória. O exame ultraestrutural de biópsia de pele, inicialmente negativa, confirmou a presença de alterações características (presença de material granular osmíofílico [GOM]), após a análise de novas secções da mesma espécie.	A Arteriopatia Cerebral Autossômica Dominante com Infartos Subcorticais e Leucoencefalopatia (CADASIL) é uma desordem hereditária que acomete a vasculatura cerebral devido a mutações no gene do NOTCH 3. O diagnóstico pode ser estabelecido através de testes genéticos para a detecção das mutações e/ou de biópsia de pele. É relatado um caso da desordem em paciente feminino, que apresentou ataques isquêmicos transitórios recorrentes, evoluindo para um quadro progressivo de demência subcortical. A neuroimagem mostrou extensa leucoaralose e infartos lacunares. A análise genética para NOTCH 3 foi confirmatória. O exame ultraestrutural de biópsia de pele, inicialmente negativa, confirmou a presença de alterações características (presença de material granular osmíofílico [GOM]), após a análise de novas secções da mesma espécie.	Cerebral Autosomal Dominant Arteriopathy with Subcortical Infarcts and Leukoencephalopathy (CADASIL) is a hereditary disorder which affects the cerebral vasculature due to mutations in the NOTCH 3 gene.	A Cerebral Autosomal Dominante com Infartos Subcorticais e Leucoencefalopatia (CADASIL) é uma doença hereditária que acomete a vasculatura cerebral devido a mutações no gene do NOTCH 3.	A Arteriopatia Cerebral Autossômica Dominante com Infartos Subcorticais e Leucoencefalopatia (CADASIL) é uma desordem hereditária que acomete a vasculatura cerebral devido a mutações no gene do NOTCH 3.		
29213815	Frontotemporal lobar degeneration (FTLD) is the second most common cause of presenile dementia. Three main clinical variants are widely recognized within the FTLD spectrum: the behavioural variant of frontotemporal dementia (bvFTD), semantic dementia (SD) and progressive non-fluent aphasia (PNFA). FTLD represents a highly heterogeneous group of neurodegenerative disorders which are best classified according to the main protein component of pathological neuronal and glial inclusions. The most common pathological class of FTLD is associated with the TDP-43 protein (FTLD-TDP), while FTLD-Tau is considered slightly less common while the FTLD-FUS (Fused in sarcoma protein) pathology is rare. In this review, these three major pathological types of FTLD are discussed.	A degeneração lobar frontotemporal (DLFT) é a segunda principal causa de demência pré-senil. Sob o diagnóstico de DLFT, há três principais diagnósticos clínicos: demência frontotemporal variante comportamental (DFT), demência semântica (DS) e a afasia progressiva não Fluente (APNF). O DLFT representa um grupo heterogêneo de desordens degenerativas que são classificadas de acordo com o componente proteico patológico das inclusões neuronais e gliais. A classe patológica mais comum das DLFT é associada com a proteína TDP-43 (DLFT-TDP), enquanto a DLFT-Tau é considerada pouco frequente e a DLFT-FUS é rara. Neste artigo de revisão, são discutidos os três principais subtipos patológicos da DLFT.	A degeneração lobar frontotemporal (DLFT) é a segunda principal causa de demência pré-senil. Três principais variantes clínicas são amplamente reconhecidas dentro do espectro de DLFT: demência comportamental (DFTvc), demência semântica (DS) e a afasia progressiva não Fluente (APNF). A DLFT representa um grupo heterogêneo de desordens degenerativas que são classificadas de acordo com o componente proteico patológico das inclusões neuronais e gliais. A classe patológica mais comum das DLFT é associada com a proteína TDP-43 (DLFT-TDP), enquanto a DLFT-Tau é considerada pouco comum, enquanto a DLFT-FUS é rara. Apresenta-se a revisão destes três principais tipologias patológicas.	Three main clinical variants are widely recognized within the FTLD spectrum: the behavioural variant of frontotemporal dementia (bvFTD), semantic dementia (SD) and progressive non-fluent aphasia (PNFA).	Sob o diagnóstico de DLFT, há três principais diagnósticos clínicos: demência frontotemporal variante comportamental (DFT), demência semântica (DS) e a afasia progressiva não Fluente (APNF).	Três principais variantes clínicas são amplamente reconhecidas dentro do espectro de DLFT: demência comportamental (DFTvc), demência semântica (DS) e a afasia progressiva não Fluente (APNF).		

document-id	Context Source	Context Mode X	Context Mode y	Source Sentence	Mode x Sentence	Mode y Sentence	Ranking Type	Comment
29213815	Frontotemporal lobar degeneration (FTLD) is the second most common cause of presenile dementia. Three main clinical variants are widely recognized within the FTLD spectrum: the behavioural variant of frontotemporal dementia (bvFTD), semantic dementia (SD) and progressive non-fluent aphasia (PNFA). FTLD represents a highly heterogeneous group of neurodegenerative disorders which are best classified according to the main protein component of pathological neuronal and glial inclusions. The most common pathological class of FTLD is associated with the TDP-43 protein (FTLD-TDP), while FTLD-Tau is considered slightly less common while the FTLD-FUS (Fused in sarcoma protein) pathology is rare. In this review, these three major pathological types of FTLD are discussed.	A degeneração lobar frontotemporal (DLFT) é a segunda principal causa de demência pré-senil. Sob o diagnóstico de DLFT, há três principais diagnósticos clínicos: demência frontotemporal variante comportamental (DFT), demência semântica (DS) e a afasia progressiva não Fluente (APNF). O DLFT representa um grupo heterogêneo de distúrbios degenerativos que são classificadas de acordo com o componente proteico patológico das inclusões neuronais e gliais. A classe patológica mais comum das DLFT é associada com a proteína TDP-43 (DLFT-TDP), enquanto a DLFT-Tau é considerada pouco frequente e a DLFT-FUS é rara. Neste artigo de revisão, são discutidos os três principais subtipos patológicos da DLFT.	A degeneração lobar frontotemporal (DLFT) é a segunda principal causa de demência pré-senil. Três principais variantes clínicas são amplamente reconhecidas dentro do espectro de DLFT: demência comportamental (DFTvc), demência semântica (DS) e a afasia progressiva não Fluente (APNF). A DLFT representa um grupo heterogêneo de distúrbios degenerativos que são classificadas de acordo com o componente proteico patológico das inclusões neuronais e gliais. A classe patológica mais comum das DLFT é associada com a proteína TDP-43 (DLFT-TDP), enquanto a DLFT-Tau é considerada pouco comum, enquanto a DLFT-FUS é rara. Apresenta-se a revisão destes três principais tipos patológicos.	The most common pathological class of FTLD is associated with the TDP-43 protein (FTLD-TDP), while FTLD-Tau is considered slightly less common while the FTLD-FUS (Fused in sarcoma protein) pathology is rare.	A classe patológica mais comum das DLFT é associada com a proteína TDP-43 (DLFT-TDP), enquanto a DLFT-Tau é considerada pouco frequente e a DLFT-FUS é rara.	A classe patológica mais comum das DLFT é associada com a proteína TDP-43 (DLFT-TDP), enquanto a DLFT-Tau é considerada pouco comum, enquanto a DLFT-FUS é rara.		
30383072	Full edentulism is characterized by the complete loss of permanent teeth, resulting in aesthetic, structural and functional changes which can negatively impact quality of life, and which are minimized through rehabilitation with complete dentures. The aim of this study was to compare oral health-related quality of life in patients with complete original dentures three months after installation of new dentures and two years after fabrication of new complete removable dentures. In this longitudinal comparative study, 15 volunteers of both genders, aged 50 to 82 years, who sought treatment at the Department of Dentistry of the Federal University of Rio Grande do Norte, participated in the preparation of new dentures.	O edentulismo completo é caracterizado pela perda total dos dentes permanentes, resultando em alterações estéticas, estruturais e funcionais, podendo impactar negativamente na qualidade de vida, sendo minimizado através da reabilitação com a prótese dentária. O objetivo deste estudo foi comparar a qualidade de vida relacionada à saúde oral em pacientes com a prótese original completa maxilar e mandibular, três meses após instalação da nova prótese e dois anos depois da confecção da nova prótese total bimaxilar removível. Material e Métodos: Neste estudo longitudinal comparativo, participaram 15 voluntários, com faixa etária entre 50 e 82 anos, de ambos os sexos, de 50 a 82 anos, de ambos os sexos, que buscaram tratamento no Departamento de Odontologia da Universidade Federal do Rio Grande do Norte, para a confecção de novas próteses.	O edentulismo completo caracterizase pela perda total dos dentes permanentes, resultando em alterações estéticas, estruturais e funcionais, podendo impactar negativamente na qualidade de vida, sendo minimizado através da reabilitação com a prótese dentária. O objetivo deste estudo foi comparar a qualidade de vida relacionada à saúde oral em pacientes com a prótese original completa maxilar e mandibular, três meses após instalação da nova prótese e dois anos depois da confecção da nova prótese total bimaxilar removível. Material e Métodos: No presente estudo comparativo longitudinal, participaram 15 voluntários, com faixa etária entre 50 e 82 anos, de ambos os sexos, que buscaram tratamento no Departamento de Odontologia da Universidade Federal do Rio Grande do Norte, para a confecção de novas próteses.	In this longitudinal comparative study, 15 volunteers of both genders, aged 50 to 82 years, who sought treatment at the Department of Dentistry of the Federal University of Rio Grande do Norte, participated in the preparation of new dentures.	Neste estudo longitudinal comparativo, participaram 15 voluntários, com faixa etária entre 50 e 82 anos, de ambos os sexos, de 50 a 82 anos, de ambos os sexos, que buscaram tratamento no Departamento de Odontologia da Universidade Federal do Rio Grande do Norte, para a confecção de novas próteses.	No presente estudo comparativo longitudinal, participaram 15 voluntários, com faixa etária entre 50 e 82 anos, de ambos os sexos, que buscaram tratamento no Departamento de Odontologia da Universidade Federal do Rio Grande do Norte, para a confecção de novas próteses.		
28298729	To evaluate radiologist agreement on the quantification of bronchiectasis by high-resolution computed tomography (HRCT). The HRCT scans of 43 patients with bronchiectasis were analyzed by two radiologists, who used a scoring system to grade the findings. Kappa (k) values and overall agreement were calculated. For the measurement and appearance of bronchiectasis, the interobserver agreement was moderate ( $\kappa = 0.45$ and $\kappa = 0.43$ , respectively), as was the intraobserver agreement ( $\kappa = 0.54$ and $\kappa = 0.47$ , respectively).	Avaliar a concordância entre radiologistas na quantificação de bronquiectasias pela tomografia computadorizada de alta resolução (TCAR). Foram analisados TCARs de 43 pacientes com bronquiectasias. Os achados foram graduados segundo um escore, e os valores de kappa (k) e concordância geral foram calculados. Para a medida e a aparência das bronquiectasias, a concordância interobservador foi moderada ( $\kappa = 0.45$ e $\kappa = 0.43$ , respectivamente) e intraobservador ( $\kappa = 0.54$ e $\kappa = 0.47$ , respectivamente).	Avaliar a concordância entre radiologistas na quantificação de bronquiectasias pela tomografia computadorizada de alta resolução (TCAR). Os exames TCAR de 43 pacientes com bronquiectasias foram analisados por dois radiologistas, que realizaram o escore, e os valores de kappa (k) e a concordância geral foram calculados. Para a medição e aparência das bronquiectasias, houve concordância moderada interobservador ( $\kappa = 0.45$ e $\kappa = 0.43$ , respectivamente) e intraobservador ( $\kappa = 0.54$ e $\kappa = 0.47$ , respectivamente).	To evaluate radiologist agreement on the quantification of bronchiectasis by high-resolution computed tomography (HRCT).	Avaliar a concordância entre radiologistas na quantificação de bronquiectasias pela tomografia computadorizada de alta resolução (TCAR).	Avaliar a concordância entre radiologistas na quantificação de bronquiectasias pela tomografia computadorizada de alta resolução (TCAR).		
28977293	To determine the prevalence and factors associated with anemia in children younger than five years old enrolled in public daycare centers in a city in southwestern Bahia, in the northeast of Brazil. This was a cross-sectional study that included a sample of 677 children enrolled in public daycare centers in Vitória da Conquista, Bahia, Brazil. A portable hemoglobinometer was used to measure hemoglobin. The concentration of <11 g/dL was considered the cutoff point for a diagnosis of anemia. A questionnaire was applied to parents/guardians in order to collect socioeconomic data, maternal characteristics and information on the child's health and nutrition. Height and weight were measured to assess the child's nutritional status. Poisson regression with robust variance and hierarchical selection of variables was used to identify factors associated with anemia.	Determinar a prevalência e os fatores associados à anemia em crianças menores de cinco anos assistidas em creches públicas de um município no sudoeste da Bahia, nordeste do Brasil. Estudo transversal com uma amostra de 677 crianças matriculadas nas creches públicas de Vitória da Conquista, Bahia, Brasil. Para determinação da hemoglobina por meio de punção digital, utilizou-se hemoglobímetro portátil, considerando-se valores de hemoglobina <11 g/dL como ponto de corte para o diagnóstico da anemia. Aplicou-se questionário aos pais ou responsáveis com o intuito de coletar dados socioeconômicos, características maternas e de saúde e nutrição da criança. Medidas antropométricas foram utilizadas para avaliação do estado nutricional da criança. Utilizou-se regressão de Poisson com variância robusta e seleção hierárquica das variáveis.	Determinar a prevalência e fatores associados à anemia em crianças menores de cinco anos assistidas em creches públicas de um município no sudoeste da Bahia. Estudo transversal com uma amostra de 677 crianças matriculadas nas creches públicas de Vitória da Conquista, Bahia. Para determinação da hemoglobina por meio de punção digital, utilizou-se hemoglobímetro portátil, considerando-se valores de hemoglobina <11 g/dL como ponto de corte para o diagnóstico da anemia. Aplicou-se questionário aos pais ou responsáveis para coleta de informações socioeconômicas, características maternas e de saúde e nutrição da criança. Medidas de estatura e peso foram realizadas para avaliar o estado nutricional da criança. Utilizou-se regressão de Poisson com variância robusta e seleção hierárquica das variáveis para identificar os fatores associados à anemia.	Height and weight were measured to assess the child's nutritional status.	Medidas antropométricas foram utilizadas para avaliação do estado nutricional da criança.	Medidas de estatura e peso foram realizadas para avaliar o estado nutricional da criança.		

document-id	Context Source	Context Mode X	Context Mode y	Source Sentence	Mode x Sentence	Mode y Sentence	Ranking Type	Comment
23815844	Hemifacial spasm is a neurovascular compression syndrome. These consist in a contacting vessel (most often an artery) to a cranial nerve in cerebelar-pontine angle. The most common is trigeminal neuralgia caused by contact between the superior cerebellar artery and the trigeminal nerve, and less commonly hemifacial spasm, vertiginous syndrome by contact of the antero inferior cerebelar artery with the eighth cranial nerve, glossopharyngeal neuralgia by contact of the postero inferior cerebelar artery and the IX cranial nerve, etc. These syndromes typically occur after the fifth decade of life, when the arterial tortuosity increases due to the arteriosclerosis process.	A espasmosa hemifacial é uma síndrome de compressão neurovascular. Estes consistem no contato de um vaso (mais frequentemente uma artéria) e um nervo craniano no ângulo ponto-cerebeloso. O mais comum é a neuralgia do trigêmino provocada pelo contato entre a artéria cerebelosa superior e o nervo trigêmino, sendo menos comuns o espasmosa hemifacial, a síndrome vertiginosa por contato da artéria cerebelosa ântero-inferior com o VIII par craniano, a neuralgia do glossofaríngeo por contato da artéria cerebelosa posteroinferior com o IX par craniano, etc. Estas síndromes surgem normalmente a partir da quinta década de vida, altura em que a tortuosidade das artérias aumenta devido ao processo de arterioesclerose.	A espasmo hemifacial é uma síndrome compressiva neurovascular. Estes consistem no contacto de um vaso (mais frequentemente uma artéria) e um nervo craniano no ângulo ponto-cerebeloso. O mais comum é a neuralgia do trigémio provocada pelo contato da artéria cerebelosa superior com o nervo trigémio, e menos comuns o espasmo hemifacial, o síndrome vertiginoso por contacto da artéria cerebelosa ântero-inferior com o VIII par craniano, a neuralgia do glossofaríngeo por contacto da artéria cerebelosa posteroinferior com o IX par craniano, etc. Estas síndromes surgem normalmente a partir da quinta década de vida, altura em que a tortuosidade das artérias aumenta devido ao processo de arterioesclerose.	Hemifacial spasm is a neurovascular compression syndrome.	A espasmosa hemifacial é uma síndrome compressiva neurovascular.	A espasmo hemifacial é uma síndrome compressiva neurovascular.		
26229796	to evaluate the functional result from arthroscopic repair of rotator cuff injuries in patients with pseudoparalysis, defined as incapacity to actively raise the arm above 90°, while complete passive elevation was possible. we reevaluated 38 patients with a mean follow-up of 51 months (minimum of 24). We analyzed the pseudoparalysis reversion rate and the functional result obtained. according to the assessment criteria of the University of California in Los Angeles (UCLA), 31 (82%) patients had good and excellent results, two (5%) had fair results and five (13%) had poor results. The mean active elevation went from 39° before the operation to 139° after the operation (p < 0.05); the mean active lateral rotation went from 30° to 48° (p < 0.05) and the mean active medial rotation went from level L3 to T12 (p < 0.05).	avaliar o resultado funcional do reparo artroscópico das lesões do manguito rotador em pacientes com pseudoparalisia, definida como incapacidade de elevação ativa do braço acima de 90°, com elevação passiva completa. reavaliámos 38 pacientes com média de seguimento de 51 meses (mínimo de 24). Analisamos a taxa de reversão da pseudoparalisia e o resultado funcional obtido. avaliamos a taxa de reversão da pseudoparalisia, segundo os critérios de avaliação da Universidade da Califórnia em Los Angeles (Ucla), 31 (82%) pacientes tiveram bons e excelentes resultados; dois (5%) pacientes eram regulares e cinco (13%) ruins. A média da elevação ativa passou de 39° no pré-operatório para 139° no pós-operatório (p < 0,05), a média da rotação lateral ativa foi de 30° para 48 (p < 0,05) e a média da rotação medial ativa de L3 para T12 (p < 0,05).	avaliar o resultado funcional do reparo artroscópico das lesões do manguito rotador em pacientes com pseudoparalisia, definida como incapacidade de elevação ativa do braço acima de 90°, com elevação passiva completa. reavaliámos 38 pacientes com média de seguimento de 51 meses (mínimo de 24). Analisamos a taxa de reversão da pseudoparalisia e o resultado funcional obtido. segundo os critérios de avaliação da Universidade da Califórnia em Los Angeles (Ucla), 31 (82%) pacientes tiveram bons e excelentes resultados; dois (5%) resultados regulares e cinco (13%) ruins. A média da elevação ativa passou de 39° no pré-operatório para 139° no pós-operatório (p < 0,05), a média da rotação lateral ativa passou de 30° para 50° (p < 0,05) e a média da rotação medial passou de L3 a T12 (p < 0,05).	We analyzed the pseudoparalysis reversion rate and the functional result obtained. according to the assessment criteria of the University of California in Los Angeles (UCLA), 31 (82%) patients had good and excellent results, two (5%) had fair results and five (13%) had poor results. The mean active elevation went from 39° before the operation to 139° after the operation (p < 0.05); the mean active lateral rotation went from 30° to 48° (p < 0.05) and the mean active medial rotation went from level L3 to T12 (p < 0.05).	avaliámos a taxa de reversão da pseudoparalisia, segundo os critérios de avaliação da Universidade da Califórnia em Los Angeles (Ucla), 31 (82%) pacientes tiveram bons e excelentes resultados; dois (5%) pacientes eram regulares e cinco (13%) ruins. A média da elevação ativa passou de 39° no pré-operatório para 139° no pós-operatório (p < 0,05), a média da rotação lateral ativa foi de 30° para 48 (p < 0,05) e a média da rotação medial ativa de L3 para T12 (p < 0,05).	Analisamos a taxa de reversão da pseudoparalisia e o resultado funcional obtido. segundo os critérios de avaliação da Universidade da Califórnia em Los Angeles (Ucla), 31 (82%) resultados regulares e cinco (5%) resultados regulares e cinco (13%) ruins. A média da elevação ativa passou de 39° no pré-operatório para 139° no pós-operatório (p < 0,05), a média da rotação lateral ativa passou de 30° para 50° (p < 0,05) e a média da rotação lateral ativa passou de 30° para 50° (p < 0,05) e a média da rotação medial passou de L3 a T12 (p < 0,05).		
30088601	To analyze the specialized literature regarding the risk factors in nursing diagnosis for suicide risks in elderly. This is an integrative literature review carried out during June 2015 in the following databases with no time limit: MEDLINE, PsycINFO and CINAHL. A total of 80 full papers were analyzed. It was suggested the inclusion of 23 risk factors in NANDA-I taxonomy: apathy; unrest; low self esteem; carelessness with medication; Inability to ask for help; Inability to express feelings; suicidal plan; rigidity; functional disability; visual problems; sadness; hostility; anxiety; failure; frustration; unhappiness; dishonor; frequent visits to a physician with unclear symptoms; social deprivation; social devaluation; psychological violence; Interfamilial violence; and financial violence.	Analisar a literatura específica acerca dos fatores de risco do diagnóstico de enfermagem Riscos para Suicídio em idosos. Trata-se de uma revisão integrativa da literatura realizada em junho de 2015 nas bases de dados MEDLINE, PsycINFO e CINAHL, com inclusão por 80 artigos. Sugere-se a inclusão de 23 fatores de risco na taxonomia NANDA-I: apatia; agitação; baixa autoestima; descuido com a medicação; incapacidade de pedir ajuda; incapacidade de expressar sentimentos; plano suicida; rigidez; incapacidade funcional; problemas visuais; tristeza; hostilidade; ansiedade; fracasso; frustração; infelicidade; desonra; frequentes visitas a médico com sintomas vagos; privação social; desvalorização social; violência psicológica; violência intrafamiliar e violência financeira.	Analisar a literatura específica acerca dos fatores de risco do diagnóstico de enfermagem em riscos de suicídio em idosos. Trata-se de uma revisão integrativa da literatura realizada em junho de 2015 nas bases de dados MEDLINE, PsycINFO e CINAHL, sem limite temporal. Foram analisados 80 artigos. Sugere-se a inclusão de 23 fatores de risco na taxonomia da NANDA-I: apatia; agitação; baixa autoestima; descuido com a medicação; incapacidade de pedir ajuda; incapacidade de expressar sentimentos; plano suicida; rigidez; incapacidade funcional; problemas visuais; tristeza; hostilidade; ansiedade; fracasso; frustração; infelicidade; desonra; frequentes visitas a médico com sintomas vagos; privação social; desvalorização social; violência psicológica; violência intrafamiliar e violência financeira.	To analyze the specialized literature regarding the risk factors in nursing diagnosis for suicide risks in elderly.	Analisar a literatura específica acerca dos fatores de risco do diagnóstico de enfermagem Riscos para Suicídio em idosos.	Analisar a literatura específica acerca dos fatores de risco do diagnóstico de enfermagem em riscos de suicídio em idosos.		



document-id	Context Source	Context Mode X	Context Mode y	Source Sentence	Mode x Sentence	Mode y Sentence	Ranking Type	Comment
27737390	Bone metabolism disorder (BMD) and vascular dysfunction contribute to excess cardiovascular mortality observed in hemodialysis patients. Vascular dysfunction, a new marker of atherosclerosis, can play a role in this risk. Even though associated with higher mortality in the general population, such vascular evaluation in patients on hemodialysis has not been extensively studied. In this cross-sectional study, hemodialysis patients were submitted to flow-mediated dilation, subendocardial viability ratio (SEVR) and ejection duration index assessment, in order to estimate the impact of BMD markers on vascular dysfunction. A matched cohort of patients with (n = 16) and without (n = 11) severe secondary hyperparathyroidism (SHPT) was studied.	Distúrbios do metabolismo ósseo (DMO) e disfunção vascular contribuem para a elevada mortalidade de pacientes em hemodíalise. A disfunção vascular, um novo marcador de aterosclerose, pode contribuir para este risco. Apesar de associada a aumento de mortalidade na população geral, a avaliação de tal disfunção ainda não foi realizada de modo amplo em pacientes em hemodíalise. Neste estudo transversal, pacientes em hemodíalise foram submetidos à avaliação da vasodilatação mediada por fluxo, razão de viabilidade subendocárdica (RVSE) e índice de duração de ejeção, a fim de estimar o impacto dos marcadores de DMO sobre a disfunção vascular. Uma coorte pareada com (n = 16) e sem (n = 11) hiperparatireoidismo secundário grave (SHPT).	As alterações do metabolismo ósseo (DMO) e disfunção vascular contribuem para a elevada mortalidade de pacientes em hemodíalise. A disfunção vascular, um novo marcador de aterosclerose, pode contribuir para este risco. Apesar de associada a aumento de mortalidade na população geral, a avaliação de tal disfunção ainda não foi realizada de modo amplo em pacientes em hemodíalise. Neste estudo transversal, pacientes em hemodíalise foram submetidos à avaliação da vasodilatação mediada por fluxo, razão de viabilidade subendocárdica (RVSE) e índice de duração de ejeção, como estimativas de avaliação dos marcadores de DMO sobre disfunção vascular. Uma coorte pareada com (n = 16) e sem (n = 11) pacientes com hiperparatireoidismo secundário grave (SHPT).	Bone metabolism disorder (BMD) and vascular dysfunction contribute to excess cardiovascular mortality observed in hemodialysis patients.	Distúrbios do metabolismo ósseo (DMO) e disfunção vascular contribuem para a elevada mortalidade de pacientes em hemodíalise.	As alterações do metabolismo ósseo (DMO) e disfunção vascular contribuem para a elevada mortalidade de pacientes em hemodíalise.		
26229898	To evaluate the pain level in patients treated with epidural infusion of morphine sulfate in a single dose, after a surgical procedure to perform lumbar arthrodesis. Forty patients underwent posterolateral lumbar arthrodesis or intersomatic lumbar arthrodesis via a posterior route at one, two or three levels. They were prospectively randomized into two groups of 20. In the first group (study group), 2 mg of morphine sulfate diluted in 10 mL of physiological serum was infiltrated into the epidural space, through the laminectomy area. The second group (controls) did not receive analgesia.	Avaliar o nível de dor em pacientes tratados com infusão epidural de sulfato de morfina em Dose única, após procedimento cirúrgico de artrodese lombar. Quarenta pacientes foram submetidos à artrodese lombar posterolateral ou artrodese lombar intersomática por via posterior, em um, dois ou três níveis, divididos prospectivamente em dois grupos de 20. No primeiro grupo (de estudo) foram infiltrados no espaço epidural, através da área da laminectomia, 2 mg de sulfato de morfina diluídos em 10 mL de soro fisiológico. O segundo grupo (controle) não recebeu analgesia.	Avaliar o nível de dor em pacientes tratados com infusão epidural de sulfato de morfina em Dose única, após procedimento cirúrgico de artrodese lombar. Quarenta pacientes foram submetidos à artrodese lombar posterolateral ou artrodese lombar intersomática por via posterior, em um, dois ou três níveis, submetidos à artrodese lombar posterolateral. Todos os pacientes foram randomizados prospectivamente em dois grupos de 20. No primeiro grupo (de estudo) foram infiltrados no espaço epidural, através da área da laminectomia, 2 mg de sulfato de morfina diluídos em 10 mL de soro fisiológico. O segundo grupo (controle) não recebeu analgesia.	Forty patients underwent posterolateral lumbar arthrodesis or intersomatic lumbar arthrodesis via a posterior route at one, two or three levels	Quarenta pacientes foram submetidos à artrodese lombar posterolateral ou artrodese lombar intersomática por via posterior, em um, dois ou três níveis, divididos prospectivamente em dois grupos de 20	Quarenta pacientes foram submetidos à artrodese lombar posterolateral ou artrodese lombar intersomática por via posterior, em um, dois ou três níveis, submetidos à artrodese lombar posterolateral.		
27901221	to analyze the relationship between anxiety and depression symptoms, resilience and self-esteem with sociodemographic and clinical characteristics; correlate resilience and self-esteem with age and duration of the disease; check associations between anxiety and depression with measures of resilience and self-esteem among individuals with cardiovascular diseases. correlational study conducted in a large university hospital in the interior of the state of São Paulo, Brazil. The population was composed of adult inpatients with cardiovascular diseases. A non-probabilistic consecutive sample was composed of 120 patients. Variables of interest were assessed using the Hospital Anxiety and Depression Scale, Resilience Scale, and Rosenberg Self-Esteem Scale. anxiety and depression symptoms were present in 32.5% and 17.5% of the patients, respectively, and were associated with the female sex (p = 0.002; p = 0.022).	analisar a relação entre sintomas ansiedade e depressão, resiliência e autoestima com características sociodemográficas e clínicas; correlacionar resiliência e autoestima com idade e duração da doença; analisar associações entre ansiedade e depressão com medidas de resiliência e autoestima em indivíduos com doenças cardiovasculares. estudo correlacional realizado em Hospital de Ensino de grande porte do interior do Estado de São Paulo. A população era constituída por pacientes adultos internados com doenças cardiovasculares. Uma amostra consecutiva e não probabilística foi constituída por 120 pacientes. As variáveis de interesse foram avaliadas pela Escala Hospitalar de Ansiedade e Depressão, Escala de Resiliência e Escala de Autoestima de Rosenberg. os sintomas ansiedade e depressão foram presentes em 32,5% e 17,5% dos pacientes, respectivamente, e estiveram associados ao sexo feminino (p = 0,002; p = 0,022).	analisar a relação entre os sintomas ansiosos e depressivos, resiliência e autoestima com as características sociodemográficas e clínicas; correlacionar resiliência e autoestima com a idade e o tempo da doença; analisar associações entre ansiedade e depressão com as medidas de resiliência e autoestima em indivíduos com doenças cardiovasculares. estudo correlacional, realizado em Hospital de Ensino de grande porte do interior do Estado de São Paulo. A população era constituída por pacientes adultos internados com doenças cardiovasculares. Uma amostra consecutiva e não probabilística foi constituída por 120 pacientes. As variáveis de interesse foram avaliadas pela Escala Hospitalar de Ansiedade e Depressão, Escala de Resiliência e Escala de Autoestima de Rosenberg. os sintomas de ansiedade e depressão estão presentes em 32,5% e 17,5% dos pacientes, respectivamente, e foram associados ao sexo feminino (p = 0,002; p = 0,022).	o analyze the relationship between anxiety and depression symptoms, resilience and self-esteem with measures of resilience and self-esteem among individuals with cardiovascular diseases.	analisar a relação entre sintomas ansiedade e depressão, resiliência e autoestima com características sociodemográficas e clínicas; correlacionar resiliência e autoestima com idade e duração da doença; analisar associações entre ansiedade e depressão com medidas de resiliência e autoestima em indivíduos com doenças cardiovasculares.	analisar a relação entre os sintomas ansiosos e depressivos, resiliência e autoestima com as características sociodemográficas e clínicas; correlacionar resiliência e autoestima com a idade e o tempo da doença; analisar associações entre ansiedade e depressão com as medidas de resiliência e autoestima em indivíduos com doenças cardiovasculares		

document-id	Context Source	Context Mode X	Context Mode y	Source Sentence	Mode x Sentence	Mode y Sentence	Ranking Type	Comment
30231292	<p>To analyze the prevalence of urinary incontinence (UI) in female patients with an indication for bariatric surgery, to investigate the potential risk factors and the impact on quality of life. A cross-sectional study with female patients with obesity. The evaluation consisted of a structured interview, a specific study form and quality of life questionnaires. The Poisson regression was performed to identify independent risk factors related to UI. A total of 221 patients were enrolled; 118 of the study participants (53.4%) reported UI episodes. Mixed UI (MUI), stress UI (SUI) only, and urgency UI (UUI) only were reported by 52.5% (62), 33.9% (40) , and 13.5% (16) of these patients respectively. The prevalence of UI was increased by 47% among the women who had given birth vaginally and by 34% of the women who had entered menopause.</p>	<p>Analisar a prevalência de incontinência urinária (IU) em pacientes do sexo feminino com indicação para realização de cirurgia bariátrica, a fim de investigar potenciais fatores de risco e impacto na qualidade de vida. Estudo transversal com pacientes do sexo feminino obeso. A avaliação consistiu em entrevista estruturada, com questionários de estudo específico e de qualidade de vida. A regressão de Poisson foi utilizada para identificar os fatores de risco independentes para IU. Um total de 221 pacientes foram incluídos; 118 participantes (53.4%) relataram episódios de IU. Incontinência urinária mista, IU de esforço e IU de urgência foram relatadas por 52.5% (62), 33.9% (40) e 13.5%(16) das pacientes, respectivamente. A prevalência de IU foi 47% maior em mulheres que tiveram parto vaginal, e em 34% das mulheres que iniciaram a menopausa.</p>	<p>Analisar a prevalência de incontinência urinária (IU), em pacientes femininas com indicação para realização de cirurgia bariátrica, investigar potenciais fatores de risco e o impacto na qualidade de vida. Estudo transversal com pacientes femininas obesas. A avaliação consistiu em entrevista estruturada, com questionários de estudo específico e de qualidade de vida. A regressão de Poisson foi utilizada para identificar fatores de risco independentes para IU. Um total de 221 pacientes foram incluídos; 118 participantes (53.4%) relataram episódios de IU. Incontinência urinária mista, IU de esforço e IU de urgência foram relatadas por 52.5% (62), 33.9% (40) e 13.5%(16) das pacientes, respectivamente. A prevalência de IU foi 47% maior em mulheres que tiveram parto vaginal, e 34% em mulheres que tiveram perimenopausa.</p>	<p>The prevalence of UI was increased by 47% among the women who had given birth vaginally and by 34% of the women who had entered menopause.</p>	<p>A prevalência de IU foi 47% maior em mulheres que tiveram parto vaginal, e em 34% das mulheres que iniciaram a menopausa.</p>	<p>A prevalência de IU foi 47% maior em mulheres que tiveram parto vaginal, e 34% em mulheres que tiveram perimenopausa.</p>		
30231292	<p>To analyze the prevalence of urinary incontinence (UI) in female patients with an indication for bariatric surgery, to investigate the potential risk factors and the impact on quality of life. A cross-sectional study with female patients with obesity. The evaluation consisted of a structured interview, a specific study form and quality of life questionnaires. The Poisson regression was performed to identify independent risk factors related to UI. A total of 221 patients were enrolled; 118 of the study participants (53.4%) reported UI episodes. Mixed UI (MUI), stress UI (SUI) only, and urgency UI (UUI) only were reported by 52.5% (62), 33.9% (40) , and 13.5% (16) of these patients respectively. The prevalence of UI was increased by 47% among the women who had given birth vaginally and by 34% of the women who had entered menopause.</p>	<p>Analisar a prevalência de incontinência urinária (IU) em pacientes do sexo feminino com indicação para realização de cirurgia bariátrica, a fim de investigar potenciais fatores de risco e impacto na qualidade de vida. Estudo transversal com pacientes do sexo feminino obeso. A avaliação consistiu em entrevista estruturada, com questionários de estudo específico e de qualidade de vida. A regressão de Poisson foi utilizada para identificar os fatores de risco independentes para IU. Um total de 221 pacientes foram incluídos; 118 participantes (53.4%) relataram episódios de IU. Incontinência urinária mista, IU de esforço e IU de urgência foram relatadas por 52.5% (62), 33.9% (40) e 13.5%(16) das pacientes, respectivamente. A prevalência de IU foi 47% maior em mulheres que tiveram parto vaginal, e em 34% das mulheres que iniciaram a menopausa.</p>	<p>Analisar a prevalência de incontinência urinária (IU), em pacientes femininas com indicação para realização de cirurgia bariátrica, investigar potenciais fatores de risco e o impacto na qualidade de vida. Estudo transversal com pacientes femininas obesas. A avaliação consistiu em entrevista estruturada, com questionários de estudo específico e de qualidade de vida. A regressão de Poisson foi utilizada para identificar fatores de risco independentes para IU. Um total de 221 pacientes foram incluídos; 118 participantes (53.4%) relataram episódios de IU. Incontinência urinária mista, IU de esforço e IU de urgência foram relatadas por 52.5% (62), 33.9% (40) e 13.5%(16) das pacientes, respectivamente. A prevalência de IU foi 47% maior em mulheres que tiveram parto vaginal, e 34% em mulheres que tiveram perimenopausa.</p>	<p>A cross-sectional study with female patients with obesity.</p>	<p>Estudo transversal com pacientes do sexo feminino obeso.</p>	<p>Estudo transversal com pacientes femininas obesas.</p>		
29844733	<p>To report a case series of squamous cell carcinoma (SCC) in the foot, describing previous risk factors, surgical treatment, histopathological findings, and functional and oncological results. Nine consecutive patients diagnosed with SCC of the foot were treated at a single institution and prospectively analyzed for risk factors related to the disease, surgical outcome, and histopathological, functional and oncological results. All patients had identifiable risk factors for SCC. Definitive treatment consisted of partial (6 patients) or total (3 patients) amputation of the foot. The functional score was good or excellent in the surviving patients. Early identifiable risk factors are present in most patients. Biopsy when this diagnosis is suspected, in association with oncological principles, avoids diagnostic and treatment errors.</p>	<p>Relatar uma série de casos de carcinoma de células escamosas (CCS) no pé, descrevendo os fatores de risco prévios, os tratamentos cirúrgicos, os achados histopatológicos, o tratamento cirúrgico e os resultados funcionais e oncológicos. Nove pacientes consecutivos com diagnóstico de CCS no pé foram tratados em uma única instituição e analisados, prospectivamente com relação aos fatores de risco da doença, ao desfecho do tratamento cirúrgico e aos resultados histopatológicos, funcionais e oncológicos. Todos os pacientes apresentavam fatores de risco identificáveis. O tratamento definitivo foi realizado com amputação parcial (seis), amputação total (três). O escore funcional foi bom ou excelente nos pacientes sobreviventes. Fatores de risco identificáveis precocemente estão presentes na maioria dos pacientes.</p>	<p>Relatar uma série de casos de carcinoma de células escamosas (CCE) do pé, descrevendo os fatores de risco prévios, os achados histopatológicos, o tratamento cirúrgico e os resultados funcionais e oncológicos. Nove pacientes consecutivos com diagnóstico de CCE do pé foram tratados em uma única instituição e analisados, prospectivamente com relação aos fatores de risco da doença, ao desfecho do tratamento cirúrgico e aos resultados histopatológicos, funcionais e oncológicos. Todos os pacientes apresentavam fatores de risco identificáveis. O tratamento definitivo consistiu em amputação parcial (seis), amputação total (três). O escore funcional foi bom ou excelente nos pacientes sobreviventes. Fatores de risco identificáveis precocemente estão presentes na maioria dos pacientes.</p>	<p>To report a case series of squamous cell carcinoma (SCC) in the foot, describing previous risk factors, surgical treatment, histopathological findings, and functional and oncological results.</p>	<p>Relatar uma série de casos de carcinoma de células escamosas (CCS) no pé, descrevendo os fatores de risco prévios, os tratamentos cirúrgicos, os achados histopatológicos, o tratamento cirúrgico e os resultados funcionais e oncológicos.</p>	<p>Relatar uma série de casos de carcinoma de células escamosas (CCE) do pé, descrevendo os fatores de risco prévios, os achados histopatológicos, o tratamento cirúrgico e os resultados funcionais e oncológicos.</p>		



document-id	Context Source	Context Mode X	Context Mode y	Source Sentence	Mode x Sentence	Mode y Sentence	Ranking Type	Comment
26667868	Small bowel capsule endoscopy is currently the first line diagnostic examination for many diseases affecting the small bowel. This article aims to review and critically address the current indications of small bowel capsule endoscopy in clinical practice. Bibliographic review of relevant and recent papers indexed in PubMed. Small bowel capsule endoscopy enables a non-invasive full-assessment of the small bowel mucosa, with high diagnostic yield even for subtle lesions. In patients with obscure gastrointestinal bleeding, diagnostic yield is higher when performed early after the onset of bleeding. Endoscopic treatment of angiectasias using balloon-assisted enteroscopy may contribute to reduce rebleeding, while the risk of rebleeding in patients with 'negative' small bowel capsule endoscopy is debatable.	A enteroscopia por cápsula é o exame de primeira linha no diagnóstico de diversas patologias do intestino delgado. Este artigo tem por objectivo rever e analisar criticamente as indicações actuais para enteroscopia por cápsula na prática clínica. Revisão bibliográfica sobre artigos indexados na PubMed. A enteroscopia por cápsula permite a avaliação não invasiva da mucosa do intestino delgado, com elevado rendimento diagnóstico. Em doentes com hemorragia digestiva de causa obscura, o rendimento da enteroscopia precoce é maior quando realizada precocemente após o evento hemorrágico. O tratamento das angiectasias com enteroscopia assistida por balão permite diminuir a recidiva, enquanto o risco de recidiva em doentes com enteroscopia por cápsula 'negativa' é controverso.	A enteroscopia por cápsula é o exame de primeira linha no diagnóstico de diversas patologias do intestino delgado. O objetivo deste artigo é rever e analisar criticamente as indicações atuais da enteroscopia por cápsula na prática clínica. Revisão bibliográfica suportada em artigos indexados na PubMed. A enteroscopia por cápsula permite a avaliação não invasiva da mucosa do intestino delgado, com elevado rendimento diagnóstico. Em doentes com hemorragia digestiva de causa obscura, o rendimento da enteroscopia por cápsula é maior quando realizada precocemente após o evento hemorrágico. O tratamento das angiectasias com enteroscopia assistida por balão permite diminuir a recidiva hemorrágica, enquanto o risco de recidiva em doentes com enteroscopia por cápsula 'negativa' é controverso.	In patients with obscure gastrointestinal bleeding, diagnostic yield is higher when performed early after the onset of bleeding.	Em doentes com hemorragia digestiva de causa obscura, o rendimento da enteroscopia precoce é maior quando realizada precocemente após o evento hemorrágico.	Em doentes com hemorragia digestiva de causa obscura, o rendimento da enteroscopia por cápsula é maior quando realizada precocemente após o evento hemorrágico.		
26667868	Small bowel capsule endoscopy is currently the first line diagnostic examination for many diseases affecting the small bowel. This article aims to review and critically address the current indications of small bowel capsule endoscopy in clinical practice. Bibliographic review of relevant and recent papers indexed in PubMed. Small bowel capsule endoscopy enables a non-invasive full-assessment of the small bowel mucosa, with high diagnostic yield even for subtle lesions. In patients with obscure gastrointestinal bleeding, diagnostic yield is higher when performed early after the onset of bleeding. Endoscopic treatment of angiectasias using balloon-assisted enteroscopy may contribute to reduce rebleeding, while the risk of rebleeding in patients with 'negative' small bowel capsule endoscopy is debatable.	A enteroscopia por cápsula é o exame de primeira linha no diagnóstico de diversas patologias do intestino delgado. Este artigo tem por objectivo rever e analisar criticamente as indicações actuais para enteroscopia por cápsula na prática clínica. Revisão bibliográfica sobre artigos indexados na PubMed. A enteroscopia por cápsula permite a avaliação não invasiva da mucosa do intestino delgado, com elevado rendimento diagnóstico. Em doentes com hemorragia digestiva de causa obscura, o rendimento da enteroscopia precoce é maior quando realizada precocemente após o evento hemorrágico. O tratamento das angiectasias com enteroscopia assistida por balão permite diminuir a recidiva, enquanto o risco de recidiva em doentes com enteroscopia por cápsula 'negativa' é controverso.	A enteroscopia por cápsula é o exame de primeira linha no diagnóstico de diversas patologias do intestino delgado. O objetivo deste artigo é rever e analisar criticamente as indicações atuais da enteroscopia por cápsula na prática clínica. Revisão bibliográfica suportada em artigos indexados na PubMed. A enteroscopia por cápsula permite a avaliação não invasiva da mucosa do intestino delgado, com elevado rendimento diagnóstico. Em doentes com hemorragia digestiva de causa obscura, o rendimento da enteroscopia por cápsula é maior quando realizada precocemente após o evento hemorrágico. O tratamento das angiectasias com enteroscopia assistida por balão permite diminuir a recidiva hemorrágica, enquanto o risco de recidiva em doentes com enteroscopia por cápsula 'negativa' é controverso.	Endoscopic treatment of angiectasias using balloon-assisted enteroscopy may contribute to reduce rebleeding, while the risk of rebleeding in patients with 'negative' small bowel capsule endoscopy is debatable.	O tratamento das angiectasias com enteroscopia assistida por balão permite diminuir a recidiva, enquanto o risco de recidiva em doentes com enteroscopia por cápsula 'negativa' é controverso.	O tratamento das angiectasias com enteroscopia assistida por balão permite diminuir a recidiva hemorrágica, enquanto o risco de recidiva em doentes com enteroscopia por cápsula 'negativa' é controverso.		
29998161	Unsedated colonoscopy can be painful, poorly tolerated by patients, and associated with unsatisfactory technical performance. Previous studies report an advantage of water exchange over conventional air insufflation in reducing pain during unsedated colonoscopy. Our goal was to analyze the impact of water exchange colonoscopy on the level of maximum pain reported by patients submitted to unsedated colonoscopy, compared to conventional air insufflation. We performed a single-center, patient-blinded, prospective randomized comparative study, where patients were either allocated to the water group, in which the method of colonoscopy used was water exchange, or the standard air group, in which the examination was accomplished with air insufflation.	Introdução: A colonoscopia sem sedação pode constituir um procedimento doloroso e mal tolerado pelo doente, associando-se a um desempenho técnico subótimo. Vários estudos demonstraram o benefício do método de troca de água, comparativamente à colonoscopia convencional com insuflação de ar, na redução do nível de dor na colonoscopia. O nosso objetivo foi analisar o impacto do método de troca de água no nível de dor máxima relatado pelos doentes submetidos a colonoscopia sem sedação, comparativamente à colonoscopia convencional com ar. Material e Métodos: Foi realizado um estudo comparativo unicêntrico, prospectivo e randomizado, cego para o doente, no qual os doentes foram alocados ao grupo água, no qual se utilizou o método de troca de água, ou ao grupo água padrão, no qual se realizou o exame com insuflação de água.	Introdução: A colonoscopia sem sedação pode constituir um procedimento doloroso e mal tolerado pelo doente, associando-se a um desempenho técnico subótimo. Estudos anteriores demonstraram o benefício do método de troca de água, comparativamente à colonoscopia convencional com insuflação de ar, na redução do nível de dor na colonoscopia sem sedação. O nosso objetivo foi analisar o impacto do método de troca de água no nível máximo de dor referido por doentes submetidos a colonoscopia sem sedação, comparativamente à colonoscopia convencional com ar. Material e Métodos: Foi realizado um estudo comparativo unicêntrico, prospectivo e randomizado, cego para o doente, no qual os doentes foram alocados ao grupo água, no qual se utilizou o método de troca de água.	We performed a single-center, patient-blinded, prospective randomized comparative study, where patients were either allocated to the water group, in which the method of colonoscopy used was water exchange, or the standard air group, in which the examination was accomplished with air insufflation.	Foi realizado um estudo comparativo unicêntrico, prospectivo e randomizado, cego para o doente, no qual os doentes foram alocados ao grupo água, no qual se utilizou o método de troca de água, ou ao grupo água padrão, no qual se realizou o exame com insuflação de água.	Foi realizado um estudo comparativo unicêntrico, prospectivo e randomizado, cego para o doente, no qual os doentes foram alocados ao grupo água, no qual se utilizou o método de troca de água.		

document-id	Context Source	Context Mode X	Context Mode y	Source Sentence	Mode x Sentence	Mode y Sentence	Ranking Type	Comment
29983626	It is difficult to define parameters for management and factors associated with primary bone lymphoma (PBL). This article presents the experience in a single institution with 42 patients with PBL over a 16-year period (2000-2016). Fifty-five patients were retrospectively evaluated, and forty-two were included (76.3%). Median age at diagnosis was 51.5 years, and median follow-up was 102.7 months. One patient had HIV. Pain in the affected site was the most prevalent symptom. The average time between symptom onset and diagnosis was 5.4 months. The vertebrae were most affected (n=16, 33.3%).	É difícil definir parâmetros para a gestão e os fatores associados ao prognóstico de linfoma ósseo primário (LOP). Este artigo apresenta a experiência de uma única instituição, com 42 casos de LOP em um período de 16 anos (2000-2016). Cinquenta e cinco pacientes foram avaliados retrospectivamente e quarenta e dois incluídos (76,3%). A mediana da idade no momento do diagnóstico foi 51,5 anos e a mediana do seguimento foi 102,7 meses. Um paciente era portador do vírus da imunodeficiência humana. Dor no membro foi o sintoma mais prevalente. O tempo médio entre os sintomas e o diagnóstico foi de 5,4 meses. O sítio anatômico mais afetado foram as vértebras (n = 16, 33,3%).	Melhorar parâmetros para o manejo e os fatores associados ao prognóstico de linfoma ósseo primário (LOP). O presente artigo apresenta a experiência de uma única instituição, com 42 pacientes com LOP num período de 16 anos (2000-2016). Cinquenta e cinco pacientes foram avaliados retrospectivamente e quarenta e dois incluídos (76,3%). A mediana da idade foi 51,5 anos e a mediana do seguimento foi 102,7 meses. Um paciente era portador do vírus da imunodeficiência humana. Dor no membro foi o sintoma mais prevalente. O tempo médio entre os sintomas e o diagnóstico foi de 5,4 meses. O sítio anatômico mais afetado foram as vértebras (n = 16, 33,3%).	It is difficult to define parameters for management and factors associated with primary bone lymphoma (PBL).	É difícil definir parâmetros para a gestão e os fatores associados ao prognóstico de linfoma ósseo primário (LOP).	Melhorar parâmetros para o manejo e os fatores associados ao prognóstico de linfoma ósseo primário (LOP).		
29682229	Characterizing cognitive decline in older adults with MCI over time is important to identify the cognitive profile of those who convert to dementia. This study examined the two-year cognitive trajectory of elderly adults diagnosed with MCI, from geriatrics and neurology outpatient clinics of a public hospital in Rio de Janeiro. 62 older adults with MCI were submitted to a neuropsychological battery and re-evaluated after two years. The Mann-Whitney U test was employed to assess differences between groups with respect to education, functioning, the Geriatric Depression Scale and diagnosis. 24.2% converted to dementia after two years.	Caracterizar o declínio cognitivo em idosos com CCL ao longo do tempo é importante para identificar o perfil cognitivo de quem converte para demência. Este estudo examinou a trajetória cognitiva de dois anos de acompanhamento de idosos com CCL acompanhados em clínicas de geriatria e neurologia de um hospital público no Rio de Janeiro. 62 idosos com CCL foram submetidos a uma bateria neuropsicológica e reavaliados após dois anos. O teste U de Mann-Whitney foi utilizado para avaliar diferenças entre os grupos quanto a escolaridade, funcionalidade, escala de depressão geriátrica e diagnóstico. 24,2% converteram-se em demência após dois anos.	Caracterizar o declínio cognitivo em idosos com Comprometimento Cognitivo Leve (CCL) ao longo do tempo é importante para identificar o perfil cognitivo de quem converte para demência. Este estudo examinou o percurso cognitivo de dois anos de idosos com CCL assistidos em clínicas de geriatria e neurologia de um Hospital Federal na cidade do Rio de Janeiro. 62 idosos com CCL foram submetidos a uma bateria neuropsicológica e reavaliados após dois anos. O teste U de Mann-Whitney foi utilizado para avaliar as diferenças entre os grupos quanto a escolaridade, funcionalidade, escala de depressão geriátrica e diagnóstico. 24,2% converteram-se em demência após dois anos.	Characterizing cognitive decline in older adults with MCI over time is important to identify the cognitive profile of those who convert to dementia.	Caracterizar o declínio cognitivo em idosos com CCL ao longo do tempo é importante para identificar o perfil cognitivo de quem converte para demência.	Caracterizar o declínio cognitivo em idosos com Comprometimento Cognitivo Leve (CCL) ao longo do tempo é importante para identificar o perfil cognitivo de quem converte para demência.		
30137126	The objective of this study was to evaluate the use of drugs and the factors associated with polypharmacy in patients with diabetes mellitus (DM) in Minas Gerais. Descriptive analysis of drugs in use and logistic regression to estimate the association between socio-demographic and clinical characteristics with polypharmacy were performed. Of the 2619 respondents, 56.5% were in polypharmacy. Drugs for DM, agent in renin-angiotensin system, and diuretics are the most frequently used. Factors such as age, comorbidities and increased access to health services were associated with polypharmacy. It was observed high prevalence of polypharmacy, which requires a suitable care and better quality of drug use in this population.	O objetivo deste estudo foi avaliar o uso de medicamentos, bem como os fatores associados à polifarmácia em pacientes com diabetes mellitus (DM) em Minas Gerais. Realizou-se análise descritiva dos medicamentos em uso e análise de regressão logística para estimar a associação entre características sociodemográficas e clínicas com polifarmácia e análise de regressão logística. Dos 2619 entrevistados, 56,5% estavam em polifarmácia. Medicamentos para DM, agentes no sistema renina-angiotensina e diuréticos foram os mais usados. Fatores como idade, presença de comorbidades e maior acesso aos serviços de saúde foram associados à polifarmácia.	Este estudo teve como objetivo avaliar o uso de medicamentos, e os fatores associados à polifarmácia. Foram realizadas análises descritivas dos medicamentos em uso e de regressão logística para estimar a associação entre as condições sociodemográficas e clínicas com polifarmácia. Dos 2619 entrevistados, 56,5% estavam em polifarmácia. Medicamentos para diabetes (DM), agentes no sistema renina-angiotensina e diuréticos foram mais usados. Como fatores como idade, presença de comorbidades e maior acesso aos serviços de saúde foram associados à polifarmácia. Resultados: Os 2619 entrevistados, 56,5% estavam em polifarmácia. Medicamentos para diabetes (DM), agentes no sistema renina-angiotensina e diuréticos foram os mais usados. Fatores como a faixa etária, presença de comorbidades e aumento do acesso aos serviços de saúde foram associados à polifarmácia.	Factors such as age, comorbidities and increased access to health services were associated with polypharmacy.	Fatores como fatores de idade, presença de comorbidades e maior acesso aos serviços de saúde foram associados à polifarmácia.	Como fatores como idade, presença de comorbidades e maior acesso aos serviços de saúde foram associados à polifarmácia.		

document-id	Context Source	Context Mode X	Context Mode y	Source Sentence	Mode x Sentence	Mode y Sentence	Ranking Type	Comment
27069881	To analyze the characteristics of patients with Gustilo-Anderson Type III open tibial fractures treated at a tertiary care hospital in São Paulo between January 2013 and August 2014. This was a cross-sectional retrospective study. The following data were gathered from the electronic medical records: age; gender; diagnosis; trauma mechanism; comorbidities; associated fractures; Gustilo and Anderson, Tscherne and AO classifications; treatment (initial and definitive); presence of compartment syndrome; primary and secondary amputations; MESS (Mangled Extremity Severity Score) index; mortality rate; and infection rate. 116 patients were included: 81% with fracture type IIIA, 12% IIIB and 7% IIC; 85% males; mean age 32.3 years; and 57% victims of motorcycle accidents. Tibial shaft fractures were significantly more prevalent (67%).	Analisar as características dos pacientes com fratura exposta de tibia tipo III tratados em um hospital de nível terciário em São Paulo, entre janeiro de 2013 e agosto de 2014. Estudo transversal retrospectivo. Foram coletados dos prontuários eletrônicos: idade, gênero, diagnóstico, mecanismo de trauma, comorbidades, fraturas associadas, classificações de acordo com Gustilo e Anderson, Tscherne e AO, tratamento (inicial e definitivo), presença de síndrome do compartimento, amputações primárias e secundárias, índice de MESS, índice de mortalidade e taxa de infecção. Foram incluídos 116 pacientes, 81% com fratura tipo IIIA, 12% IIIB e 7% IIC, 85% do gênero masculino, média da idade de 32,3 anos e 57% de vítimas de acidente motociclistico. Fraturas do tornozelo tibial foram significativamente mais prevalentes (67%).	Analisar as características dos indivíduos com fratura exposta de tibia tipo III de Gustilo e Anderson, tratados em um hospital de nível terciário em São Paulo, entre janeiro de 2013 e agosto de 2014. Estudo transversal retrospectivo. Foram coletados dos prontuários eletrônicos: idade, gênero, diagnóstico, mecanismo de trauma, comorbidades, fraturas associadas, classificações de acordo com Gustilo e Anderson, Tscherne e AO, tratamento (inicial e definitivo), presença de síndrome compartimental, amputações primárias e secundárias, índice de MESS, índices de mortalidade e infecção. Foram incluídos 116 pacientes, 81% com fratura tipo IIIA, 12% IIIB e 7% IIC, 85% do gênero masculino, média de 32,3 anos, e 57% vítimas de acidente motociclistico. Fraturas da diáfise da tibia foram significativamente mais frequentes (67%).	To analyze the characteristics of patients with Gustilo-Anderson Type III open tibial fractures treated at a tertiary care hospital in São Paulo between January 2013 and August 2014.	Analisar as características dos pacientes com fratura exposta de tibia tipo III tratados em um hospital de nível terciário em São Paulo, entre janeiro de 2013 e agosto de 2014	Analisar as características dos indivíduos com fratura exposta de tibia tipo III de Gustilo e Anderson, tratados em um hospital de nível terciário em São Paulo, entre janeiro de 2013 e agosto de 2014.		
27069881	To analyze the characteristics of patients with Gustilo-Anderson Type III open tibial fractures treated at a tertiary care hospital in São Paulo between January 2013 and August 2014. This was a cross-sectional retrospective study. The following data were gathered from the electronic medical records: age; gender; diagnosis; trauma mechanism; comorbidities; associated fractures; Gustilo and Anderson, Tscherne and AO classifications; treatment (initial and definitive); presence of compartment syndrome; primary and secondary amputations; MESS (Mangled Extremity Severity Score) index; mortality rate; and infection rate. 116 patients were included: 81% with fracture type IIIA, 12% IIIB and 7% IIC; 85% males; mean age 32.3 years; and 57% victims of motorcycle accidents. Tibial shaft fractures were significantly more prevalent (67%).	Analisar as características dos pacientes com fratura exposta de tibia tipo III tratados em um hospital de nível terciário em São Paulo, entre janeiro de 2013 e agosto de 2014. Estudo transversal retrospectivo. Foram coletados dos prontuários eletrônicos: idade, gênero, diagnóstico, mecanismo de trauma, comorbidades, fraturas associadas, classificações de acordo com Gustilo e Anderson, Tscherne e AO, tratamento (inicial e definitivo), presença de síndrome do compartimento, amputações primárias e secundárias, índice de MESS, índice de mortalidade e taxa de infecção. Foram incluídos 116 pacientes, 81% com fratura tipo IIIA, 12% IIIB e 7% IIC, 85% do gênero masculino, média da idade de 32,3 anos e 57% de vítimas de acidente motociclistico. Fraturas do tornozelo tibial foram significativamente mais prevalentes (67%).	Analisar as características dos indivíduos com fratura exposta de tibia tipo III de Gustilo e Anderson, tratados em um hospital de nível terciário em São Paulo, entre janeiro de 2013 e agosto de 2014. Estudo transversal retrospectivo. Foram coletados dos prontuários eletrônicos: idade, gênero, diagnóstico, mecanismo de trauma, comorbidades, fraturas associadas, classificações de acordo com Gustilo e Anderson, Tscherne e AO, tratamento (inicial e definitivo), presença de síndrome compartimental, amputações primárias e secundárias, índice de MESS, índices de mortalidade e infecção. Foram incluídos 116 pacientes, 81% com fratura tipo IIIA, 12% IIIB e 7% IIC, 85% do gênero masculino, média de 32,3 anos, e 57% vítimas de acidente motociclistico. Fraturas da diáfise da tibia foram significativamente mais frequentes (67%).	The following data were gathered from the electronic medical records: age; gender; diagnosis; trauma mechanism; Gustilo and Anderson, Tscherne and AO classifications; treatment (initial and definitive); presence of compartment syndrome; primary and secondary amputations; MESS (Mangled Extremity Severity Score) index; mortality rate, and infection rate.	Estudo transversal retrospectivo. Foram coletados dos prontuários eletrônicos: idade, gênero, diagnóstico, mecanismo de trauma, comorbidades, fraturas associadas, classificações de acordo com Gustilo e Anderson, Tscherne e AO, tratamento (inicial e definitivo), presença de síndrome do compartimento, amputações primárias e secundárias, índice de MESS, índice de mortalidade e taxa de infecção	Estudo transversal retrospectivo. Foram coletados dos prontuários eletrônicos: idade, gênero, diagnóstico, mecanismo de trauma, comorbidades, fraturas associadas, classificações de acordo com Gustilo e Anderson, Tscherne e AO, tratamento (inicial e definitivo), presença de síndrome do compartimento, amputações primárias e secundárias, índice de MESS, índices de mortalidade e infecção.		
27069881	To analyze the characteristics of patients with Gustilo-Anderson Type III open tibial fractures treated at a tertiary care hospital in São Paulo between January 2013 and August 2014. This was a cross-sectional retrospective study. The following data were gathered from the electronic medical records: age; gender; diagnosis; trauma mechanism; comorbidities; associated fractures; Gustilo and Anderson, Tscherne and AO classifications; treatment (initial and definitive); presence of compartment syndrome; primary and secondary amputations; MESS (Mangled Extremity Severity Score) index; mortality rate; and infection rate. 116 patients were included: 81% with fracture type IIIA, 12% IIIB and 7% IIC; 85% males; mean age 32.3 years; and 57% victims of motorcycle accidents. Tibial shaft fractures were significantly more prevalent (67%).	Analisar as características dos pacientes com fratura exposta de tibia tipo III tratados em um hospital de nível terciário em São Paulo, entre janeiro de 2013 e agosto de 2014. Estudo transversal retrospectivo. Foram coletados dos prontuários eletrônicos: idade, gênero, diagnóstico, mecanismo de trauma, comorbidades, fraturas associadas, classificações de acordo com Gustilo e Anderson, Tscherne e AO, tratamento (inicial e definitivo), presença de síndrome do compartimento, amputações primárias e secundárias, índice de MESS, índice de mortalidade e taxa de infecção. Foram incluídos 116 pacientes, 81% com fratura tipo IIIA, 12% IIIB e 7% IIC, 85% do gênero masculino, média da idade de 32,3 anos e 57% de vítimas de acidente motociclistico. Fraturas do tornozelo tibial foram significativamente mais prevalentes (67%).	Analisar as características dos indivíduos com fratura exposta de tibia tipo III de Gustilo e Anderson, tratados em um hospital de nível terciário em São Paulo, entre janeiro de 2013 e agosto de 2014. Estudo transversal retrospectivo. Foram coletados dos prontuários eletrônicos: idade, gênero, diagnóstico, mecanismo de trauma, comorbidades, fraturas associadas, classificações de acordo com Gustilo e Anderson, Tscherne e AO, tratamento (inicial e definitivo), presença de síndrome compartimental, amputações primárias e secundárias, índice de MESS, índices de mortalidade e infecção. Foram incluídos 116 pacientes, 81% com fratura tipo IIIA, 12% IIIB e 7% IIC, 85% do gênero masculino, média de 32,3 anos, e 57% vítimas de acidente motociclistico. Fraturas da diáfise da tibia foram significativamente mais frequentes (67%).	Tibial shaft fractures were significantly more prevalent (67%).	Fraturas do tornozelo tibial foram significativamente mais prevalentes (67%).	Fraturas da diáfise da tibia foram significativamente mais frequentes (67%).		


document-id	Context Source	Context Mode X	Context Mode y	Source Sentence	Mode x Sentence	Mode y Sentence	Ranking Type	Comment
29213779	Depression and dementia are the most prevalent neuropsychiatric disorders in the elderly population. Alzheimer's disease is the leading cause of dementia in most countries, being responsible for more than half of all dementia cases. Late-onset depression is a frequent cause of cognitive decline in the elderly. Differentiating between cognitive impairment secondary to depression and incipient dementia poses a challenge in the clinical setting. To evaluate the performance of elderly depressed patients using the BBRC-Edu. We studied 25 patients with late onset depression (mean age: 73.6 y (6.6); schooling: 9.1 y (5.7)) and 30 patients with mild AD (mean age 76.6 y (5.4); schooling: 7.5 y (7.1)), who were compared to a control group of 30 healthy elderly (mean age 73.8 y (5.8);	A depressão e a demência são os transtornos neuropsiquiátricos mais prevalentes na população idosa. A doença de Alzheimer é a principal causa de demência na maioria os países, sendo a responsável por mais da metade dos casos de demência. A depressão de início tardio é uma causa frequente de declínio cognitivo no idoso. A diferenciação entre transtorno cognitivo secundário à depressão e demência em fase inicial é um desafio diagnóstico. Avaliar o desempenho de pacientes idosos deprimidos utilizando a bateria CERAD e a bateria BBRC-Edu. Estudamos 25 pacientes com depressão de início tardio, (idade média 73,6 (6,6); escolaridade: 9,1 (5,7)) e 30 pacientes com DA leve (CDR=1), (idade média 76,6 (5,4); escolaridade: 7,5 (7,1)), os quais foram comparados ao grupo controle de 30 idosos saudáveis (idade média 73,8 (5,8);	A depressão e a demência são os transtornos neuropsiquiátricos de maior prevalência na população idosa. A doença de Alzheimer é a principal causa de demência na maioria os países, sendo a responsável por mais da metade dos casos de demência. Depressão de início tardio é uma causa frequente de declínio cognitivo no idoso. A diferenciação entre transtorno cognitivo secundário à depressão e demência em fase inicial é um desafio na prática clínica. Avaliar o desempenho de pacientes idosos deprimidos usando o BBRC-Edu. Estudamos 25 pacientes com depressão de início tardio, (idade média 73,6 (6,6); escolaridade: 9,1 (5,7)) e 30 pacientes com DA leve (idade média 76,6 (5,4); escolaridade: 7,5 (7,1)), os quais foram comparados a um grupo controle de 30 idosos saudáveis (idade média 73,8 (5,8);	To evaluate the performance of elderly depressed patients using the BBRC-Edu.	Avaliar o desempenho de pacientes idosos deprimidos utilizando a bateria CERAD e a bateria BBRC-Edu.	Avaliar o desempenho de pacientes idosos deprimidos usando o BBRC-Edu.		
29213779	Depression and dementia are the most prevalent neuropsychiatric disorders in the elderly population. Alzheimer's disease is the leading cause of dementia in most countries, being responsible for more than half of all dementia cases. Late-onset depression is a frequent cause of cognitive decline in the elderly. Differentiating between cognitive impairment secondary to depression and incipient dementia poses a challenge in the clinical setting. To evaluate the performance of elderly depressed patients using the BBRC-Edu. We studied 25 patients with late onset depression (mean age: 73.6 y (6.6); schooling: 9.1 y (5.7)) and 30 patients with mild AD (mean age 76.6 y (5.4); schooling: 7.5 y (7.1)), who were compared to a control group of 30 healthy elderly (mean age 73.8 y (5.8);	A depressão e a demência são os transtornos neuropsiquiátricos mais prevalentes na população idosa. A doença de Alzheimer é a principal causa de demência na maioria os países, sendo a responsável por mais da metade dos casos de demência. A depressão de início tardio é uma causa frequente de declínio cognitivo no idoso. A diferenciação entre transtorno cognitivo secundário à depressão e demência em fase inicial é um desafio diagnóstico. Avaliar o desempenho de pacientes idosos deprimidos utilizando a bateria CERAD e a bateria BBRC-Edu. Estudamos 25 pacientes com depressão de início tardio, (idade média 73,6 (6,6); escolaridade: 9,1 (5,7)) e 30 pacientes com DA leve (CDR=1), (idade média 76,6 (5,4); escolaridade: 7,5 (7,1)), os quais foram comparados ao grupo controle de 30 idosos saudáveis (idade média 73,8 (5,8);	A depressão e a demência são os transtornos neuropsiquiátricos de maior prevalência na população idosa. A doença de Alzheimer é a principal causa de demência na maioria os países, sendo a responsável por mais da metade dos casos de demência. Depressão de início tardio é uma causa frequente de declínio cognitivo no idoso. A diferenciação entre transtorno cognitivo secundário à depressão e demência em fase inicial é um desafio na prática clínica. Avaliar o desempenho de pacientes idosos deprimidos usando o BBRC-Edu. Estudamos 25 pacientes com depressão de início tardio, (idade média 73,6 (6,6); escolaridade: 9,1 (5,7)) e 30 pacientes com DA leve (idade média 76,6 (5,4); escolaridade: 7,5 (7,1)), os quais foram comparados a um grupo controle de 30 idosos saudáveis (idade média 73,8 (5,8);	We studied 25 patients with late onset depression (mean age: 73.6 y (6.6); schooling: 9.1 y (5.7)) and 30 patients with mild AD (mean age 76.6 y (5.4); schooling: 7.5 y (7.1)), who were compared to a control group of 30 healthy elderly (mean age 73.8 y (5.8);	Estudamos 25 pacientes com depressão de início tardio, (idade média 73,6 (6,6); escolaridade: 9,1 (5,7)) e 30 pacientes com DA leve (idade média 76,6 (5,4); escolaridade: 7,5 (7,1)), os quais foram comparados ao grupo controle de 30 idosos saudáveis (idade média 73,8 (5,8);	Estudamos 25 pacientes com depressão de início tardio, (idade média 73,6 (6,6); escolaridade: 9,1 (5,7)) e 30 pacientes com DA leve (idade média 76,6 (5,4); escolaridade: 7,5 (7,1)), os quais foram comparados a um grupo controle de 30 idosos saudáveis (idade média 73,8 (5,8);		
30521460	Approximately 20% - 30% of histological lymph node-negative patients with colorectal cancer relapse at five years after surgical treatment. This recurrence is likely due to occult nodal disease undetected by standard histopathological practice which has implications in terms of the clinical management of patients. Lymph nodes were collected from colectomy specimens. A central section from each lymph node was histologically examined following haematoxylin-eosin staining and the remaining tissue was subjected to OSNA - one step nucleic acid amplification analysis.	Introdução: Cerca de 20% - 30% dos doentes com cancro colo-rectal, com gânglios linfáticos regionais negativos por histologia têm recidiva do cancro colo-rectal, após cinco anos do tratamento cirúrgico. Esta recorrência é provavelmente devida à presença de metástases ganglionares ocultas, não deletadas no exame anatomo-patológico standard. Material e Métodos: Os gânglios linfáticos foram obtidos a partir de espécimes de colectomia. Uma secção central de cada gânglio linfático foi analisada histologicamente com a coloração de hematoxilina-eosina e o tecido restante foi submetido à análise de OSNA - one step nucleic acid amplification.	Aproximadamente 20% - 30% de pacientes com recidiva do câncer colorretal após cinco anos do tratamento cirúrgico apresentam recidiva. Esta recorrência é provavelmente devida à presença de doença nodal oculta e não detectada na prática histopatológica padrão, o que tem implicações no tratamento clínico dos pacientes. Os gânglios linfáticos foram coletados a partir de espécimes de colectomia. Uma secção central de cada gânglio linfático foi examinada histologicamente com a coloração de hematoxilina-eosina e o tecido restante foi submetido a análise de OSNA - one step nucleic acid amplification.	Approximately 20% - 30% of histological lymph node-negative patients with colorectal cancer relapse at five years after surgical treatment.	Cerca de 20% - 30% dos doentes com cancro colo-rectal, com gânglios linfáticos regionais negativos por histologia têm recidiva do cancro colo-rectal, após cinco anos do tratamento cirúrgico.	Aproximadamente 20% - 30% de pacientes com recidiva do câncer colorretal após cinco anos do tratamento cirúrgico apresentam recidiva.		
30521460	Approximately 20% - 30% of histological lymph node-negative patients with colorectal cancer relapse at five years after surgical treatment. This recurrence is likely due to occult nodal disease undetected by standard histopathological practice which has implications in terms of the clinical management of patients. Lymph nodes were collected from colectomy specimens. A central section from each lymph node was histologically examined following haematoxylin-eosin staining and the remaining tissue was subjected to OSNA - one step nucleic acid amplification analysis.	Introdução: Cerca de 20% - 30% dos doentes com cancro colo-rectal, com gânglios linfáticos regionais negativos por histologia têm recidiva do cancro colo-rectal, após cinco anos do tratamento cirúrgico. Esta recorrência é provavelmente devida à presença de metástases ganglionares ocultas, não deletadas no exame anatomo-patológico standard. Material e Métodos: Os gânglios linfáticos foram obtidos a partir de espécimes de colectomia. Uma secção central de cada gânglio linfático foi analisada histologicamente com a coloração de hematoxilina-eosina e o tecido restante foi submetido à análise de OSNA - one step nucleic acid amplification.	Aproximadamente 20% - 30% de pacientes com recidiva do câncer colorretal após cinco anos do tratamento cirúrgico apresentam recidiva. Esta recorrência é provavelmente devida à presença de doença nodal oculta e não detectada na prática histopatológica padrão, o que tem implicações no tratamento clínico dos pacientes. Os gânglios linfáticos foram coletados a partir de espécimes de colectomia. Uma secção central de cada gânglio linfático foi examinada histologicamente com a coloração de hematoxilina-eosina e o tecido restante foi submetido a análise de OSNA - one step nucleic acid amplification.	This recurrence is likely due to occult nodal disease undetected by standard histopathological practice which has implications in terms of the clinical management of patients.	Esta recorrência é provavelmente devida à presença de metástases ganglionares ocultas, não detectadas no exame anatomo-patológico standard.	Esta recorrência é provavelmente devida à presença de doença nodal oculta e não detectada na prática histopatológica padrão, o que tem implicações no tratamento clínico dos pacientes.		


document-id	Context Source	Context Mode X	Context Mode y	Source Sentence	Mode x Sentence	Mode y Sentence	Ranking Type	Comment
28428650	The aim of this study was to evaluate breast arterial calcification (BAC) detected on routine mammography, analyzing its association with chronic degenerative disease. This was a cross-sectional study involving women treated at a specialized outpatient clinic for high-risk hypertension, diabetes, or chronic kidney disease, as well as volunteers who participated in a study to validate a method of screening for occult renal disease. A total of 312 patients between 40 and 69 years of age, with no history of breast cancer, all of whom had undergone routine mammography in the last two years, were included. The mammograms were analyzed by researchers who were unaware of the risk factors for BAC in each case.	O objetivo deste estudo foi avaliar calcificações arteriais mamárias (CAMs) detectadas em mamografia de rotina e analisar sua associação com doenças crônicas degenerativas. Trata-se de um estudo transversal envolvendo meres atendidas em um ambulatório especializado para tratamento de hipertensão de alto risco, diabetes ou doença renal crônica, bem como as voluntárias que participaram de um estudo para validar um escore para triagem de doença renal crônica oculta. Um total de 312 pacientes entre 40 e 69 anos de idade, sem histórico de câncer de mama, com mamografia realizada nos últimos dois anos foram incluídas. Os mamografias foram analisadas por pesquisadores sem conhecimento dos fatores de risco para CAMs.	O objetivo deste estudo foi avaliar a calcificação arterial mamária (CAM) detectada em mamografia de rotina e analisar sua associação com doença crônica degenerativa. Trata-se de um estudo transversal, envolvendo mulheres atendidas em um ambulatório especializado para tratamento de hipertensão de alto risco, diabetes ou doença renal crônica, bem como as voluntárias que participaram de um estudo para validar um escore para triagem de doença renal crônica oculta. Foram incluídas 312 pacientes entre 40 e 69 anos, sem histórico de câncer de mama, com mamografia realizada nos últimos dois anos. Os pesquisadores, que desconheciam os fatores de risco para CAM, em cada caso, foram analisados.	The aim of this study was to evaluate breast arterial calcification (BAC) detected on routine mammography, analyzing its association with chronic degenerative disease.	O objetivo deste estudo foi avaliar calcificações arteriais mamárias (CAMs) detectadas em mamografia de rotina e analisar sua associação com doenças crônicas degenerativas.	O objetivo deste estudo foi avaliar a calcificação arterial mamária (CAM) detectada em mamografia de rotina e analisar sua associação com doença crônica degenerativa.		
26229876	To compare the results from two of the most commonly used surgical techniques: in situ decompression and subcutaneous transposition. The processes of patients treated surgically in a public university hospital between January 2004 and December 2011 were reviewed. Cases of proximal compression of the nerve, angular deformity of the elbow and systemic diseases associated with non-compressive neuropathy were excluded. Ninety-seven cases were included (96 patients). According to the modified McGowan score, 14.4% of the patients presented grade Ia, 27.8% grade II, 26.8% grade Ib and 30.9% grade III. In situ neurolysis of the cubital was performed in 64 cases and subcutaneous anterior transposition in 33. According to the modified Wilson and Knout score, the results were excellent in 49.5%, good in 18.6%, only satisfactory in 17.5% and poor in 14.4%.	Comparar os resultados de duas das técnicas cirúrgicas mais usadas, a descompressão in situ e a transposição subcutânea. Foram revisitos os processos dos pacientes tratados cirurgicamente em um hospital universitário público entre janeiro de 2004 e dezembro de 2011. Foram excluídas compressões proximais do nervo, deformidades angulares do cotovelo e doenças sistêmicas associadas a neuropatia não compressiva. Foram incluídos 97 casos (96 pacientes). Segundo o escore modificado de McGowan, 14,4% dos pacientes apresentavam o grau Ia, 27,8% no II, 26,8% no Ib e 30,9% no III. A neurolise in situ do cubital foi feita em 64 casos e a transposição anterior subcutânea em 33. Segundo o escore modificado de Wilson e Knout os resultados foram excelentes em 49,5%, bons em 18,6%, somente satisfatórios em 17,5% e ruins em 14,4%.	Comparar os resultados de duas das técnicas cirúrgicas mais usadas, a descompressão in situ e a transposição subcutânea. Foram revisitos os processos dos pacientes tratados cirurgicamente em um hospital universitário público entre janeiro de 2004 e dezembro de 2011. Foram excluídos os casos de compressão proximal do nervo, deformidade angular do cotovelo e doenças sistêmicas associadas a neuropatia não compressiva. Foram incluídos 97 casos (96 pacientes). Segundo o escore modificado de McGowan, 14,4% dos pacientes apresentavam o grau Ia, 27,8% o grau IIa, 26,8% o grau Ib e 30,9% o grau III. A neurolise in situ do cubital foi feita em 64 casos e a transposição anterior subcutânea em 33. Segundo o escore modificado de Wilson e Knout, os resultados foram excelentes em 49,5%, bons em 18,6% e ruins em 14,4%.	According to the modified McGowan score, 14.4% of the patients presented grade Ia, 27.8% grade II, 26.8% grade Ib and 30.9% grade III. I	Segundo o escore modificado de McGowan, 14,4% dos pacientes apresentavam o grau Ia, 27,8% no II, 26,8% no Ib e 30,9% no III.	Segundo o escore modificado de McGowan, 14,4% dos pacientes apresentavam o grau Ia, 27,8% o grau IIa, 26,8% o grau Ib e 30,9% o grau III.		
29213869	Rapidly progressive dementia (RPD) is typically defined as a cognitive decline progressing to severe impairment in less than 1-2 years, typically within weeks or months. Accurate and prompt diagnosis is important because many conditions causing RPD are treatable. Neurosarcoidosis is often cited as an unusual reversible cause of RPD. We report two cases of neurosarcoidosis presenting as RPD. Case 1: A 61-year-old woman developed a RPD associated with visual loss. In seven months she was dependent for self-care. Magnetic resonance imaging (MRI) revealed temporal and suprasellar brain lesions. Treatment with high-dose intravenous prednisolone was associated with partial improvement.	A demência rapidamente progressiva (DRP) é tipicamente definida como um declínio cognitivo que progride para prejuízo visual em menos de 1-2 anos, geralmente em semanas a meses. O diagnóstico rápido e acurado é fundamental, já que muitas condições que levam a DRP são reversíveis. A neurosarcoidose é frequentemente citada como causa reversível. Descrevemos dois casos de neurosarcoidose que se apresentaram como DRP. Caso 1: Uma mulher de 61 anos desenvolveu uma DRP associada a perda de acuidade visual. Em sete meses evoluiu com dependência para auto-cuidado. A ressonância magnética (RM) revelou lesões encefálicas temporais e supraselares. O tratamento com prednisona intravenosa em alta dose foi associado com melhora parcial.	A Demência rapidamente progressiva (DRP) é tipicamente definida como um declínio cognitivo que progride para prejuízo funcional severo em menos de 1-2 anos, geralmente em semanas a meses. O diagnóstico rápido e acurado é fundamental, já que muitas condições que levam a DRP são reversíveis. Nós apresentamos dois casos de neurosarcoidose que se apresentam como DRP. Trata-se de um caso de neurosarcoidose que se apresentou como DRP. Caso 1: Uma mulher de 61 anos desenvolveu uma DRP associada a perda de acuidade visual. Em sete meses evoluiu com dependência para auto-cuidado. A ressonância magnética (RM) revelou lesões encefálicas temporais e supraselares. Evoluiu com melhora parcial após tratamento com prednisona intravenosa em altas doses.	Rapidly progressive dementia (RPD) is typically defined as a cognitive decline progressing to severe impairment in less than 1-2 years, typically within weeks or months.	A demência rapidamente progressiva (DRP) é tipicamente definida como um declínio cognitivo que progride para prejuízo visual em menos de 1-2 anos, geralmente em semanas a meses	A Demência rapidamente progressiva (DRP) é tipicamente definida como um declínio cognitivo que progride para prejuízo funcional severo em menos de 1-2 anos, geralmente em semanas a meses.		
29319738	To analyze the effects of nanoparticle-based dressings on the wound healing process in in vitro animals and human cells based on scientific evidence. A systematic review of the literature in LILACS, PubMed and Science Direct databases. The articles were selected and evaluated for the level of evidence by the application of STROBE. The sample consisted of 12 articles. The application of the products occurred in surgical wounds, burns, infected wounds and gingival ulcers in laboratory animals, as well as in vitro tests, demonstrating that among other advantages, the nanoparticle-based dressings increased the healing speed, had good antibacterial capacity and were not cytotoxic agents.	Analisar os efeitos dos curativos à base de nanopartículas no processo de cicatrização das feridas cicatriciais em animais e células humanas, com base em evidências científicas. Revisão sistemática da literatura realizada nas bases de dados LILACS, PubMed e Science Direct. Os artigos foram selecionados e avaliados quanto ao nível de evidência pela aplicação do STROBE. A amostra foi composta por 12 artigos. A aplicação dos produtos deu em feridas cirúrgicas, queimaduras, feridas infectadas e úlceras gengivais em animais de laboratório, bem como em testes in vitro, demonstrando que os curativos à base de nanopartículas aumentaram a velocidade de cicatrização, possuíam boa capacidade antibacteriana e não possuíam agentes não tóxicos.	Analisar os efeitos dos curativos à base de nanopartículas no processo de cicatrização de feridas em animais e células humanas in vitro, com base em evidências científicas. Realizou-se uma revisão sistemática da literatura nas bases de dados LILACS, PubMed e Science Direct. Os artigos foram selecionados e avaliados quanto ao nível de evidência pela aplicação do STROBE. A amostra foi composta por 12 artigos. A aplicação dos produtos ocorreu em feridas cirúrgicas, queimaduras, feridas infectadas e úlceras gengivais em animais de laboratório, além de alguns testes in vitro, demonstrando que os curativos à base de nanopartículas aumentaram a velocidade de cicatrização, possuíam boa capacidade antibacteriana e não possuíam agentes citotóxicos.	To analyze the effects of nanoparticle-based dressings on the wound healing process in in vitro animals and human cells based on scientific evidence.	Analisar os efeitos dos curativos à base de nanopartículas no processo de cicatrização das feridas cicatriciais em animais e células humanas, com base em evidências científicas.	Analisar os efeitos dos curativos à base de nanopartículas no processo de cicatrização de feridas em animais e células humanas in vitro, com base em evidências científicas.		



document-id	Context Source	Context Mode X	Context Mode y	Source Sentence	Mode x Sentence	Mode y Sentence	Ranking Type	Comment
29319738	<p>To analyze the effects of nanoparticle-based dressings on the wound healing process in in vitro animals and human cells based on scientific evidence. A systematic review of the literature in LILACS, PubMed and Science Direct databases. The articles were selected and evaluated for the level of evidence by the application of STROBE. The sample consisted of 12 articles. The application of the products occurred in surgical wounds, burns, infected wounds and gingival ulcers in laboratory animals, as well as in vitro tests, demonstrating that among other advantages, the nanoparticle-based dressings increased the healing speed, had good antibacterial capacity and were non cytotoxic agents.</p>	<p>Analisar os efeitos dos curativos à base de nanopartículas no processo de cicatrização das feridas cicatriciais em animais e células humanas, com base em evidências científicas. Revisão sistemática da literatura realizada nas bases de dados LILACS, PubMed e Science Direct. Os artigos foram selecionados e avaliados quanto ao nível de evidência pela aplicação do STROBE. A amostra foi composta por 12 artigos. A aplicação dos produtos se deu em feridas cirúrgicas, queimaduras, feridas infectadas e úlceras gengivais em animais de laboratório, bem como em testes in vitro, demonstrando que os curativos à base de nanopartículas aumentaram a velocidade de cicatrização, possuíam boa capacidade antibacteriana e não possuíam agentes não tóxicos.</p> <p>A leishmaniose visceral (LV) ou Kala Zador é uma das principais doenças tropicais, de grande importância devido à grande importância desta zoonose relacionada ao protótipo do gênero Leishmania. O estudo objetivou analisar a evolução temporal dos casos de LV no estado do Piauí, Brasil, de 2008 a 2018, no total do período, considerando o período total de 1971 a 2018. Os dados foram obtidos no Sistema de Informação de Agravos de Notificação (SINAN) e do Sistema de Informações sobre Mortalidade (SIM). Para a análise de carga da doença, os dados foram coletados do Instituto de Métrica e Avaliação de Saúde por meio do Global Burden of Diseases, Injury and Risk Factors (GBD Compare). Empregou-se análise de regressão de Prais-Winsten. Foram registrados 2.. 374 casos com provável infecção no estado do Piauí e 2.492 nos moradores do estado.</p>	<p>Analisar os efeitos de curativos à base de nanopartículas no processo de cicatrização de feridas em animais e células humanas in vitro, com base em evidências científicas. Realizou-se uma revisão sistemática da literatura nas bases de dados LILACS, PubMed e Science Direct. Os artigos foram selecionados e avaliados quanto ao nível de evidência pela aplicação do STROBE. A amostra foi composta por 12 artigos. A aplicação dos produtos ocorreu em feridas cirúrgicas, queimaduras, feridas infectadas e úlceras gengivais em animais de laboratório, além de alguns testes in vitro, demonstrando que os curativos à base de nanopartículas aumentaram a velocidade de cicatrização, possuíam boa capacidade antibacteriana e não possuíam agentes citotóxicos.</p> <p>A leishmaniose visceral (LV) ou Kala-Azar é uma das principais doenças tropicais negligenciadas, de grande importância devido à sua natureza letal que é causada por prótons do gênero Leishmania. O estudo teve como objetivo analisar a tendência temporal dos casos de LV no estado do Piauí, Brasil, no período de 2008 a 2018, no total do período de 1971 a 2018. Foram utilizados dados do Sistema de Informação de Agravos de Notificação (SINAN) e do Sistema de Informações sobre Mortalidade (SIM). Para a análise de carga de doença, foram utilizados dados do Instituto de Métricas de Saúde e Avaliação pela metodologia Comparação Global de Agravos de Notificação (GBD). Foi utilizada a análise de regressão de Prais-Winsten. Registraram-se 2.374 casos com suspeita de infecção no estado do Piauí e 2.492 casos em residentes do estado.</p>	<p>The application of the products occurred in surgical wounds, burns, infected wounds and gingival ulcers in laboratory animals, as well as in vitro tests, demonstrating that among other advantages, the nanoparticle-based dressings increased the healing speed, had good antibacterial capacity and were non cytotoxic agents.</p>	<p>A aplicação dos produtos se deu em feridas cirúrgicas, queimaduras, feridas infectadas e úlceras gengivais em animais de laboratório, bem como em testes in vitro, demonstrando que os curativos à base de nanopartículas aumentaram a velocidade de cicatrização, possuíam boa capacidade antibacteriana e não possuíam agentes não tóxicos.</p>	<p>A aplicação dos produtos ocorreu em feridas cirúrgicas, queimaduras, feridas infectadas e úlceras gengivais em animais de laboratório, além de alguns testes in vitro, demonstrando que os curativos à base de nanopartículas aumentaram a velocidade de cicatrização, possuíam boa capacidade antibacteriana e não possuíam agentes citotóxicos.</p>		
34877994	<p>Visceral leishmaniasis (VL) or kala azar is one of the main neglected tropical diseases, of major importance due to the lethal nature of this zoonosis caused by protozoa of genus Leishmania. The study aimed to analyze the time trend in VL cases in the state of Piauí, Brazil, from 2008 to 2018, within the total period from 1971 to 2018. Data were obtained from the Brazilian Information System for Notifiable Diseases (SINAN) and the Brazilian Mortality Information System (SIM). For burden of disease analysis, data were collected from the Institute for Health Metrics and Evaluation through the Global Burden of Diseases, Injuries, and Risk Factors (GBD Compare). Prais-Winsten regression analysis was used. A total of 2,374 cases were recorded with probable infection in the state of Piauí and 2,492 cases in residents of the state.</p>	<p>Visceral leishmaniose visceral (LV) ou Kala Zador é uma das principais doenças tropicais negligenciadas, de grande importância devido à sua natureza letal que é causada por prótons do gênero Leishmania. O estudo objetivou analisar a evolução temporal dos casos de LV no estado do Piauí, Brasil, de 2008 a 2018, no total do período, considerando o período total de 1971 a 2018. Os dados foram obtidos no Sistema de Informação de Agravos de Notificação (SINAN) e do Sistema de Informações sobre Mortalidade (SIM). Para a análise de carga da doença, os dados foram coletados do Instituto de Métrica e Avaliação de Saúde por meio do Global Burden of Diseases, Injury and Risk Factors (GBD Compare). Empregou-se análise de regressão de Prais-Winsten. Foram registrados 2.. 374 casos com provável infecção no estado do Piauí e 2.492 nos moradores do estado.</p>	<p>Visceral leishmaniose visceral (LV) ou Kala-Azar é uma das principais doenças tropicais negligenciadas, de grande importância devido à sua natureza letal que é causada por prótons do gênero Leishmania. O estudo teve como objetivo analisar a tendência temporal dos casos de LV no estado do Piauí, Brasil, no período de 2008 a 2018, no total do período de 1971 a 2018. Foram utilizados dados do Sistema de Informação de Agravos de Notificação (SINAN) e do Sistema de Informações sobre Mortalidade (SIM). Para a análise de carga de doença, foram utilizados dados do Instituto de Métricas de Saúde e Avaliação pela metodologia Comparação Global de Agravos de Notificação (GBD). Foi utilizada a análise de regressão de Prais-Winsten. Registraram-se 2.374 casos com suspeita de infecção no estado do Piauí e 2.492 casos em residentes do estado.</p>	<p>Visceral leishmaniasis (VL) or kala azar is one of the main neglected tropical diseases, of major importance due to the lethal nature of this zoonosis caused by protozoa of genus Leishmania.</p>	<p>A leishmaniose visceral (LV) ou Kala Zador é uma das principais doenças tropicais, de grande importância devido à grande importância desta zoonose relacionada ao protótipo do gênero Leishmania.</p>	<p>A leishmaniose visceral (LV) ou Kala-Azar é uma das principais doenças tropicais negligenciadas, de grande importância devido à sua natureza letal que é causada por prótons do gênero Leishmania.</p>		
29213690	<p>This systematic review aimed to identify the designs, procedures, and results of empirical studies that performed neuropsychological interventions on WM in adults. A PubMed and LILACS literature search was conducted using the keywords &lt;i&gt;working memory&lt;/i&gt; AND &lt;i&gt;training OR rehabilitation OR intervention&lt;/i&gt; AND &lt;i&gt;adult&lt;/i&gt;. Of the seven studies found, three were randomized controlled trials, two were case reports, one was a clinical trial, and one was an evaluation study. With regard to the type of programs and samples, three studies employed global programs with healthy elderly adults and four employed specific programs for samples with neurologically-impaired adults.</p>	<p>Neste artigo de revisão sistemática, objetivou-se identificar os delineamentos, procedimentos, e resultados dos estudos empíricos que investigaram intervenções neuropsicológicas de memória de trabalho em adultos. Foi realizada uma busca da literatura nas bases de dados PubMed e LILACS, utilizando as palavras-chave &lt;i&gt;memory&lt;/i&gt; AND &lt;i&gt;training OR rehabilitation OR intervention&lt;/i&gt; AND &lt;i&gt;adult&lt;/i&gt;. Dos sete estudos encontrados, três eram estudos randomizados controlados, dois eram relatos de casos, um era um ensaio clínico, e um estudo, de avaliação. Com relação ao tipo de programa e amostra, três estudos foram conduzidos utilizando programas globais de intervenção com idosos saudáveis e quatro utilizaram programas específicos para amostras com transtornos neurológicos.</p>	<p>O objetivo desta revisão sistemática foi identificar os desenhos, procedimentos, e resultados dos estudos empíricos que realizaram intervenções neuropsicológicas de WM em adultos. Foi realizada uma busca na PubMed e LILACS utilizando as palavras-chave &lt;i&gt;working memory&lt;/i&gt; AND &lt;i&gt;training OR rehabilitation OR intervention&lt;/i&gt; AND &lt;i&gt;adult&lt;/i&gt;. Dos sete estudos encontrados, três foram estudos randomizados controlados, dois foram relatos de casos, um estudo clínico e um estudo de avaliação. Em relação ao tipo de programa e amostra, três estudos utilizaram programas globais de intervenção com idosos saudáveis e quatro utilizaram programas específicos para amostras com pacientes neurologicamente diagnosticados.</p>	<p>This systematic review aimed to identify the designs, procedures, and results of empirical studies that performed neuropsychological interventions on WM in adults.</p>	<p>Neste artigo de revisão sistemática, objetivou-se identificar os delineamentos, procedimentos, e resultados dos estudos empíricos que investigaram intervenções neuropsicológicas de memória de trabalho em adultos.</p>	<p>O objetivo desta revisão sistemática foi identificar os desenhos, procedimentos, e resultados dos estudos empíricos que realizaram intervenções neuropsicológicas de WM em adultos.</p>		
34008824	<p>Vitamin D (VD) has been shown to play an important role in cardiac function. However, this vitamin exerts a biphasic "dose response" curve in cardiovascular pathophysiology and may cause deleterious effects, even in non-toxic doses. VD exerts its cellular functions by binding to VD receptor. Additionally, it was identified that the thioredoxin-interacting protein (TXNIP) expression is positively regulated by VD. TXNIP modulate different cell signaling pathways that may be important for cardiac remodeling. To evaluate whether VD supplementation lead to cardiac remodeling and if TXNIP and thioredoxin (Trx) proteins are associated with the process.</p>	<p>A vitamina D (VD) teve demonstração de desempenhar um papel importante na função cardiovascular. Entretanto, a vitamina exerce uma curva bifásica "resposta de dose" na fisiopatologia cardiovascular e pode causar efeitos deletérios, mesmo em doses não tóxicas. A VD exerce sua função celular por ligação ao receptor da VD. A expressão da proteína TXNIP é fortemente regulada pela VD. A TXNIP modula diferentes vias de sinalização celular, que podem ser importantes para o remodelamento cardíaco. Avaliar se a suplementação de VD leva a remodelamento cardíaco e se as proteínas TXNIP e tioredoxina (Trx) são associadas ao processo.</p>	<p>A vitamina D (VD) tem sido demonstrada como desempenhar um papel importante na função cardíaca. No entanto, essa vitamina exerce uma curva "resposta de dose" bifásica na fisiopatologia cardiovascular e pode causar efeitos deletérios, mesmo em doses não tóxicas. A VD exerce sua função celular por interação com o receptor da VD. Além disso, foi identificado que a expressão da proteína anti-tioredoxina (TXNIP) é positivamente regulada pela VD. A TXNIP modula diferentes vias de sinalização celular que podem ser importantes para o remodelamento cardíaco. Avaliar se a suplementação de VD leva ao remodelamento cardíaco e se as proteínas de TXNIP e tioredoxina (Trx) são associadas ao processo.</p>	<p>Additionally, it was identified that the thioredoxin-interacting protein (TXNIP) expression is positively regulated by VD.</p>	<p>A expressão da proteína TXNIP é fortemente regulada pela VD.</p>	<p>A VD exerce sua função celular por interação com o receptor da VD.</p>		




document-id	Context Source	Context Mode X	Context Mode y	Source Sentence	Mode x Sentence	Mode y Sentence	 Ranking Type	Comment
33254268	Adolescence is characterized by significant biological and psychological changes. During this time, the increased production of androgens leads to increased sexual behavior, and this may contribute to early initiation of sexual activity. The objectives of the present cross-sectional study of adolescents enrolled in state schools in the city of Ribeirão Preto, state of São Paulo, Brazil, were to determine the average age at the first sexual intercourse (sexarche), the average number of sexual partners, and the frequency of contraceptive and condom use. Information on the age at sexarche, number of sexual partners, use of different contraceptive methods, and use of condoms were obtained using a semistructured questionnaire. Quantitative variables are expressed as means and standard deviations (SDs), and qualitative variables as absolute and relative frequencies.	A adolescência é caracterizada por alterações biológicas e psicológicas. Durante esse tempo, o aumento da produção de androgênios leva ao aumento do comportamento sexual, podendo contribuir para a iniciação precoce da atividade sexual. Os objetivos do presente estudo transversal de adolescentes matriculados em escolas estaduais de Ribeirão Preto, São Paulo, Brasil, foram determinar a média de idade na primeira relação sexual (sexatrica), o número médio de parceiros sexuais e a frequência de uso de preservativos e de preservativos. As informações da idade na sexatrica, número de parceiros sexuais, uso de diferentes métodos contraceptivos e uso de preservativos sexuais foram obtidas por meio de um questionário semiestruturado. As variáveis quantitativas são expressas como médias e desvio padrão (DP), e as variáveis qualitativas como frequências absolutas e relativas.	A adolescência é caracterizada por importantes mudanças biológicas e psicológicas. Durante esse período, o aumento da produção de androgênios leva ao aumento do comportamento sexual, e isso pode contribuir para o início precoce da atividade sexual. Os objetivos do presente estudo transversal com adolescentes de escolas estaduais de Ribeirão Preto, São Paulo, Brasil, foram determinar a idade média na primeira relação sexual (sexarche), número de parceiros sexuais e frequência do uso de preservativos. As variáveis quantitativas foram expressas em médias e desvio padrão (DP), e as qualitativas, em frequências absolutas e relativas.	The objectives of the present cross-sectional study of adolescents enrolled in state schools in the city of Ribeirão Preto, state of São Paulo, Brazil, were to determine the average age at the first sexual intercourse (sexarche), the average number of sexual partners, and the frequency of contraceptive and condom use.	Os objetivos do presente estudo transversal de adolescentes matriculados em escolas estaduais de Ribeirão Preto, São Paulo, Brasil, foram determinar a média de idade na primeira relação sexual (sexatrica), o número médio de parceiros sexuais e a frequência de uso de preservativos e de preservativos.	Os objetivos do presente estudo transversal com adolescentes de escolas estaduais de Ribeirão Preto, São Paulo, Brasil, foram determinar a idade média na primeira relação sexual (sexarche), número de parceiros sexuais e frequência do uso de preservativos.		
32621593	Dental enamel defects (DED) are lesions that occur due several factors. Proper care is needed to promote their treatment and prevention. The aim of this study was to evaluate the occurrence of DED in permanent teeth of children who used antimicrobial drugs in the first four years of life. This is a crosssectional study carried out in a Primary Health Care (PHC) service, which included children from six to 12 years of age. DED were evaluated by oral examination, and data on the use of antimicrobials in early childhood were collected based on medical records. Data were analyzed with the chi-square test and Fisher's exact test. The sample included 144 children. In relation to DED, 50% (72) and 20.1% (29) presented opacity and hypoplasia, respectively.	O dentes dentários (DE) são lesões que ocorrem devido a vários fatores e são necessários cuidados adequados para promover o seu tratamento e prevenção. O objetivo deste estudo foi avaliar a ocorrência de DE em dentes permanentes de crianças que utilizaram antimicrobianos nos primeiros quatro anos de idade. Trata-se de um estudo transversal realizado em um serviço de Atenção Primária à Saúde (APS) que incluiu crianças de seis a 12 anos de idade. Defeitos dentários foram avaliados por exame oral e os dados do uso de antimicrobianos na infância foram coletados com base em prontuários médicos. Os dados foram analisados utilizando-se o teste qui-quadrado e o teste exato de Fisher. Foram incluídas 144 crianças. Em relação ao defeito, 50% (72,1%) e 20,1% (29,1) apresentavam opacidade e hipoplasia, respectivamente.	O defeito de dente (DE) são lesões que ocorrem por diversos fatores. Cuidados adequados são necessários para promover o seu tratamento e prevenção. O objetivo deste estudo foi avaliar a ocorrência de DE em dentes permanentes de crianças que utilizaram fármacos antimicrobianos nos primeiros quatro anos de vida. Trata-se de um estudo transversal realizado em um serviço de Atenção Primária à Saúde, que incluiu crianças de seis a 12 anos de idade. O DE foi avaliado por exame oral, e os dados sobre o uso de antimicrobianos na infância foram coletados a partir de prontuários médicos. Os dados foram analisados utilizando-se o teste qui-quadrado e o teste exato de Fisher. Participaram do estudo 144 crianças.	Dental enamel defects (DED) are lesions that occur due several factors. Proper care is needed to promote their treatment and prevention.	O dentes dentários (DE) são lesões que ocorrem devido a vários fatores e são necessários cuidados adequados para promover o seu tratamento e prevenção.	O defeito de dente (DE) são lesões que ocorrem por diversos fatores. Cuidados adequados são necessários para promover o seu tratamento e prevenção.		
34287567	Ventricular arrhythmias (VAs) are the main cause of in-hospital mortality and morbidity in acute coronary syndrome (ACS) patients and its relationship with thiol is not known. To investigate the relationship between plasma thiol levels and troponin levels in patients with ACS and to estimate in-hospital VA development during hospital stay. The study included 231 consecutive ST-segment elevation ACS (STE-ACS) and non-ST-segment elevation ACS (NSTE-ACS) patients. After application of exclusion criteria, 191 patients were included in the statistical analysis. Patients were classified into two groups: STE-ACS group (n=94) and NSTE-ACS group (n=97).	As arritmias ventriculares (AVs) são a principal causa de mortalidade e morbidade em pacientes com síndrome coronariana aguda (SCA), e sua relação com o tiol não é conhecida. Investigar a relação entre níveis de tiol plasmático e níveis de troponina em pacientes com SCA e estimar o desenvolvimento de AV durante a permanência hospitalar. O estudo incluiu 231 pacientes consecutivos com SCA (STE-ACS) e não consecutivos (NSTE-ACS). Após aplicação de critérios de exclusão, 191 pacientes foram incluídos na análise estatística. Os pacientes foram classificados em dois grupos: grupo STE-ACS (n=94) e grupo NSTE-ACS (n=97).	A arritmias ventriculares (VAs) são a principal causa de mortalidade hospitalar e morbidade em pacientes com síndrome coronariana aguda (SCA), e sua relação com tiol não é conhecida. HIPÓTESE/OBJETIVOS: Investigar a relação entre os níveis de tiol plasmático e o nível de troponina em pacientes com SCA e estimar o desenvolvimento hospitalar em VA durante a permanência hospitalar. MÉTODOS E MATERIAIS: O estudo incluiu 231 pacientes consecutivos com SCA (grupo SCA) e grupo NSTE (grupo NSTE (grupo NSTE). Após aplicação de critérios de exclusão, 191 pacientes foram incluídos na análise estatística. Os pacientes foram classificados em dois grupos: grupo SCA (n=94) e grupo NSTE (n=97).	The study included 231 consecutive ST-segment elevation ACS (STE-ACS) and non-ST-segment elevation ACS (NSTE-ACS) patients.	O estudo incluiu 231 pacientes consecutivos com SCA (STE-ACS) e não consecutivos (NSTE-ACS).	O estudo incluiu 231 pacientes consecutivos com SCA (grupo SCA) e grupo NSTE (grupo NSTE (grupo NSTE).		

document-id	Context Source	Context Mode X	Context Mode y	Source Sentence	Mode x Sentence	Mode y Sentence	 Ranking Type	Comment
33729405	<p>Pelvic Inflammatory Disease is a topic included in the Clinical Protocol and Therapeutic Guidelines for Comprehensive Care for People with Sexually Transmitted Infections, published by the Brazilian Ministry of Health in 2020. Pelvic inflammatory disease is an acute infection of the upper female genital tract due to canalicular spread of endogenous cervicovaginal microorganisms, in particular sexually transmitted organisms. Standing out among the etiological agents involved are Chlamydia trachomatis and Neisseria gonorrhoeae. The most important sequelae are chronic pelvic pain, infertility and ectopic pregnancy. Clinical diagnosis is the most important practical approach. Antibiotic treatment should start immediately upon clinical suspicion.</p>	<p>A doença inflamatória pélvica é uma infecção aguda do trato genital superior por disseminação canalicular de micro-organismos cervico vaginais endógenos, em particular de organismos sexualmente transmissíveis. Entre os agentes etiológicos envolvidos estão a Chlamydia trachomatis e Neisseria gonorrhoeae. Os sequelas mais importantes são a dor pélvica crônica, a infertilidade e a gravidez ectópica. O diagnóstico clínico é a abordagem prática mais importante. O tratamento antimicrobiano deve iniciar imediatamente após suspeição clínica.</p>	<p>A Doença inflamatória pélvica é um tema incluído no Protocolo Clínico e Diretrizes Terapêuticas para Atenção Integral às Pessoas com Infecções Sexualmente Transmissíveis, publicado pelo Ministério da Saúde do Brasil em 2020. A doença inflamatória pélvica é uma infecção aguda do trato genital do sexo feminino, devido à disseminação canalicular de micro-organismos cervico vaginais endógenos, em particular de organismos sexualmente transmissíveis. Os principais sequelas são: Chlamydia trachomatis e Neisseria gonorrhoeae. Os sequelas mais importantes são: dor pélvica crônica, infertilidade e gravidez ectópica. O diagnóstico clínico é a abordagem prática mais importante. O tratamento antibiótico deve iniciar imediatamente após a suspeita clínica.</p>	<p>Pelvic Inflammatory Disease is a topic included in the Clinical Protocol and Therapeutic Guidelines for Comprehensive Care for People with Sexually Transmitted Infections, published by the Brazilian Ministry of Health in 2020.</p>	<p>A doença inflamatória pélvica é uma infecção aguda do trato genital superior por disseminação canalicular de micro-organismos cervico vaginais endógenos, em particular de organismos sexualmente transmissíveis.</p>	<p>A Doença inflamatória pélvica é um tema incluído no Protocolo Clínico e Diretrizes Terapêuticas para Atenção Integral às Pessoas com Infecções Sexualmente Transmissíveis, publicado pelo Ministério da Saúde do Brasil em 2020.</p>		
33729405	<p>Pelvic Inflammatory Disease is a topic included in the Clinical Protocol and Therapeutic Guidelines for Comprehensive Care for People with Sexually Transmitted Infections, published by the Brazilian Ministry of Health in 2020. Pelvic inflammatory disease is an acute infection of the upper female genital tract due to canalicular spread of endogenous cervicovaginal microorganisms, in particular sexually transmitted organisms. Standing out among the etiological agents involved are Chlamydia trachomatis and Neisseria gonorrhoeae. The most important sequelae are chronic pelvic pain, infertility and ectopic pregnancy. Clinical diagnosis is the most important practical approach. Antibiotic treatment should start immediately upon clinical suspicion.</p>	<p>A doença inflamatória pélvica é uma infecção aguda do trato genital superior por disseminação canalicular de micro-organismos cervico vaginais endógenos, em particular de organismos sexualmente transmissíveis. Entre os agentes etiológicos envolvidos estão a Chlamydia trachomatis e Neisseria gonorrhoeae. Os sequelas mais importantes são a dor pélvica crônica, a infertilidade e a gravidez ectópica. O diagnóstico clínico é a abordagem prática mais importante. O tratamento antimicrobiano deve iniciar imediatamente após suspeição clínica.</p>	<p>A Doença inflamatória pélvica é um tema incluído no Protocolo Clínico e Diretrizes Terapêuticas para Atenção Integral às Pessoas com Infecções Sexualmente Transmissíveis, publicado pelo Ministério da Saúde do Brasil em 2020. A doença inflamatória pélvica é uma infecção aguda do trato genital do sexo feminino, devido à disseminação canalicular de micro-organismos cervico vaginais endógenos, em particular de organismos sexualmente transmissíveis. Os principais sequelas são: Chlamydia trachomatis e Neisseria gonorrhoeae. Os sequelas mais importantes são: dor pélvica crônica, infertilidade e gravidez ectópica. O diagnóstico clínico é a abordagem prática mais importante. O tratamento antibiótico deve iniciar imediatamente após a suspeita clínica.</p>	<p>Standing out among the etiological agents involved are Chlamydia trachomatis and Neisseria gonorrhoeae.</p>	<p>Entre os agentes etiológicos envolvidos estão a Chlamydia trachomatis e Neisseria gonorrhoeae.</p>	<p>Os principais sequelas são: Chlamydia trachomatis e Neisseria gonorrhoeae.</p>		
30570083	<p>To analyze workers' cases of work leave caused by mental and behavioral disorders. A cross-sectional census study conducted between June and July 2017 in which data were used from the National Social Security Institute database, with all workers' records. Data were analyzed by using descriptive statistics and inferential tests. The sample included 2,449 workers. Workers who were on leave because of mental and behavioral disorders were mostly women, aged between 31 and 40 years and with an income of less than or equal to one or two minimum wages. The first and second reasons for work leave were mood disorders. Working in an urban setting was considered a risk factor for more than one work leave (p&lt;0.05).</p>	<p>Analisar os casos de afastamento do trabalhador por transtornos mentais e comportamentais. Estudo transversal censitário realizado entre junho e julho de 2017 em que foram utilizados dados do Instituto Nacional do Seguro Social, com todos os registros dos trabalhadores. Os dados foram analisados por meio de estatística descritiva e testes inferenciais. Participaram 2.449 trabalhadores. Os trabalhadores que estavam em afastamento por transtornos mentais e comportamentais foram, na sua maioria, mulheres, com idade entre 31 e 40 anos e renda inferior a uma ou duas salários mínimos. Os transtornos estão associados com o trabalho em meio urbano (p&lt;0,05). Os transtornos estão fortemente associados com o trabalho em meio urbano (p&lt;0,05). Os transtornos estão fortemente associados com o trabalho em meio urbano (p&lt;0,05).</p>	<p>Analisar os casos de afastamento do trabalhador por transtornos mentais e comportamentais. Estudo transversal, realizado entre junho e julho de 2017, no qual foram utilizados dados do banco de dados do Instituto Nacional do Seguro Social, com todos os registros de trabalhadores. Os dados foram analisados por meio de estatística descritiva e testes inferenciais. A amostra foi composta por 2.449 trabalhadores. Os trabalhadores que estavam em afastamento por transtornos mentais e comportamentais foram sobretudo mulheres, com idades entre 31 e 40 anos e com renda inferior a um ou dois salários mínimos. Os transtornos estão associados com a primeira e segunda causa de afastamento do trabalhador. O trabalho em ambiente urbano foi considerado um fator de risco para mais de uma afastamento (p&lt;0,05).</p>	<p>The first and second reasons for work leave were mood disorders.</p>	<p>Os transtornos estão associados com o trabalho em meio urbano (p&lt;0,05).</p>	<p>Os transtornos estão associados com a primeira e segunda causa de afastamento do trabalhador.</p>		


document-id	Context Source	Context Mode X	Context Mode y	Source Sentence	Mode x Sentence	Mode y Sentence	Ranking Type	Comment
28868468	To investigate hepatocellular carcinoma (HCC) incidence, risk factors and the performance of baseline REACH-B risk score in a Portuguese chronic hepatitis B (CHB) population on antiviral therapy. Retrospective study of CHB patients who were treated with tenofovir or entecavir for at least 12 months. Multivariate analysis was performed to identify factors associated with HCC. The Kaplan-Meier method was used to estimate the cumulative incidence of HCC at 1, 3 and 5 years on therapy. The performance of the REACH-B score at baseline was assessed. One hundred and twenty patients initiated nucleos(t)ide analogs (NUC) therapy (age, 47 ± 14 years-old; 83 male; 11% had cirrhosis; 71% tenofovir; 73% HBeAg-negative; 61% treatment-naïve).	Investigar a incidência, os fatores de risco e o desempenho do escore de risco REACH-B na população portuguesa de hepatite B crônica utilizando terapêutica antiviral. Estudo retrospectivo de pacientes com hepatite B tratados com tenofovir ou entecavir durante pelo menos 12 meses. Realizou-se análise multivariada para identificar os fatores associados ao HCC. O método de Kaplan-Meier foi utilizado para estimar a incidência cumulativa de HCC aos 1, 3 e 5 anos de terapêutica antiviral. O desempenho do escore de REACH-B ao início foi avaliado. Cento e vinte pacientes iniciaram terapêutica com análogos dos nucleós(t)idos (NUC) (idade, 47 ± 14 anos; 83 homens; 11% desenvolveram cirrose; 71% utilizaram tenofovir; 73% apresentaram anticorpos negativos; 61% não iniciaram tratamento).	Investigar a incidência do carcinoma hepatocelular (CHC), factores de risco e desempenho do score REACH-B (basal) na população portuguesa de doentes com CHC tratados com tenofovir ou entecavir por pelo menos 12 meses. Foi realizada uma análise multivariada para identificar os factores associados ao CHC. O método de Kaplan-Meier foi usado para estimar a incidência cumulativa de CHC ao final de 1, 3 e 5 anos sob terapêutica antiviral. Avaliou-se o desempenho do score REACH-B à linha de base. Cento e vinte doentes iniciaram o estudo (idade, 47 ± 14 anos; 83 do sexo masculino; 11% apresentavam cirrose; 71% tenofovir; 73% HBeAg-negativos; 61% não iniciaram o tratamento). Após uma mediana de tempo sob NUC de 39 meses, 9 doentes (7,5%) desenvolveram o CHC.	To investigate hepatocellular carcinoma (HCC) incidence, risk factors and the performance of baseline REACH-B risk score in a Portuguese chronic hepatitis B (CHB) population on antiviral therapy.	Investigar a incidência, os fatores de risco e o desempenho do escore de risco REACH-B na população portuguesa de doentes utilizando terapêutica antiviral.	Investigar a incidência do carcinoma hepatocelular (CHC), factores de risco e desempenho do score REACH-B (basal) na população portuguesa de doentes com CHC tratados com tenofovir ou entecavir por pelo menos 12 meses.		
31508753	The Nutritional Risk Screening (NRS-2002) is a gold standard tool in nutritional risk analysis. Thus, the present study aimed to identify which one or which of the criteria evaluated in the NRS-2002 most contribute to determine the nutritional risk. This is a descriptive, cross-sectional and quantitative study with 763 adults and elderly people hospitalized in the year 2015. We applied the NRS-2002, which evaluates the variables Body Mass Index (BMI), weight loss in the last 3 months, reduction of food intake in the last week and severity of the disease. The data statistics was descriptive and analytical, using the univariate logistic regression method. It was observed that 46.4% of the patients presented nutritional risk and that men and the elderly had greater chance of risk.	O Screening do Risco Nutricional (NRS-2002) é um instrumento padrão para a análise de risco nutricional. Assim, o presente estudo teve por objetivo identificar quais dos critérios avaliados no NRS-2002, que mais contribuíram para determinar o risco nutricional. Trata-se de um estudo descritivo, transversal e quantitativo, com 763 adultos e idosos hospitalizados no ano de 2015. Aplicamos o NRS-2002, que avalia as variáveis Índice de Massa Corporal (IMC), perda de peso nos últimos 3 meses, redução da ingestão de alimentos na última semana e gravidade da doença. A estatística dos dados foi descritiva e analítica, utilizando o método de regressão logística univariada. Observou-se que 46,4% dos pacientes apresentaram risco nutricional, sendo que homens e idosos apresentaram maior chance de risco.	O Rastreio de Risco Nutricional (NRS-2002) é uma ferramenta padrão para análise de riscos nutricionais. Assim, o presente estudo tem o objetivo de identificar quais dos critérios avaliados no NRS-2002 mais contribuem para determinar o risco nutricional. Trata-se de um estudo descritivo, transversal e quantitativo, com 763 adultos e idosos internados no ano de 2015. Aplicamos o NRS-2002, que avalia as variáveis Índice de Massa Corporal (IMC), perda de peso nos últimos 3 meses, redução da ingestão de alimentos na última semana e gravidade da doença. A estatística dos dados foi descritiva e analítica, com método de regressão logística univariada. Observou-se que 46,4% dos pacientes apresentaram risco nutricional e que homens e idosos apresentaram maior chance de risco.	The Nutritional Risk Screening (NRS-2002) is a gold standard tool in nutritional risk analysis.	O Screening do Risco Nutricional (NRS-2002) é um instrumento padrão para a análise de risco nutricional.	O Rastreio de Risco Nutricional (NRS-2002) é uma ferramenta padrão para análise de riscos nutricionais.		
33331500	To develop and validate an instrument to assess the knowledge of nurses on enteral nutrition. Methodological study, with literature review, content validation and pre-test. Studies published from 2008 to 2018 on enteral nutrition were included in the review. The material was evaluated by 6 judges, following psychometric criteria. The degree of agreement was calculated. The pre-test was carried out with 30 nurses, with the objective of verifying the suitability and understanding of the instrument for its use in clinical practice. The instrument constructed had four domains with 10 items each. The domains Indication of enteral nutrition and Monitoring of enteral nutrition had better degrees of agreement -0.94 and 0.93, respectively. The categories that obtained values below 0.90 were reformulated or removed, resulting in 38 categories distributed in 4 domains.	Desenvolver e validar um instrumento para avaliação do conhecimento dos enfermeiros sobre nutrição enteral. Estudo metodológico, revisão de literatura, validação de conteúdo e pré-teste. Estudos publicados de 2008 a 2018 sobre nutrição enteral foram incluídos na revisão. O material foi avaliado por 6 juízes, seguindo critérios psicométricos. Foi calculado o grau de concordância. O pré-teste foi realizado com 30 enfermeiros, com o objetivo de verificar a adequação e a compreensão do instrumento para seu uso na prática clínica. O instrumento construído apresentou quatro domínios com 10 itens cada. Os domínios Indicação de nutrição enteral e Monitoramento de nutrição enteral apresentaram melhores graus de concordância - 0,94 e 0,93, respectivamente. As categorias que obtiveram valores abaixo de 0,90 foram reformuladas ou retiradas, resultando em 38 categorias distribuídas em quatro domínios.	Desenvolver e validar um instrumento para avaliar o conhecimento de enfermeiros sobre nutrição enteral. Estudo metodológico, revisão de literatura, validação de conteúdo e pré-teste. Estudos publicados entre 2008 e 2018 sobre nutrição enteral foram incluídos na revisão. O material foi avaliado por 6 juízes, seguindo critérios psicométricos. O grau de concordância foi calculado. O pré-teste foi realizado com 30 enfermeiros, com o objetivo de verificar a adequabilidade e o entendimento do instrumento para sua utilização na prática clínica. O instrumento construído teve quatro domínios com 10 itens cada. Os domínios Indicação da nutrição enteral e Monitoramento da nutrição enteral apresentaram melhores graus de concordância - 0,94 e 0,93, respectivamente. As categorias que obtiveram valores abaixo de 0,90 foram reformulados ou removidos, resultando em 38 categorias distribuídas em 4 domínios.	Methodological study, with literature review, content validation and pre-test. Studies published from 2008 to 2018 on enteral nutrition were included in the review.	Estudo metodológico, revisão de literatura, validação de conteúdo e pré-teste. Estudos publicados de 2008 a 2018 sobre nutrição enteral foram incluídos na revisão.	Estudo metodológico, revisão de literatura, validação de conteúdo e pré-teste. Estudos publicados entre 2008 e 2018 sobre nutrição enteral foram incluídos na revisão.		

document-id	Context Source	Context Mode X	Context Mode y	Source Sentence	Mode x Sentence	Mode y Sentence	Ranking Type	Comment
28658329	to evaluate pain in patients with lower limb venous ulcer who used non-adherent Ibuprofen foam dressing (IFD). we conducted a prospective study of patients with lower limb venous ulcers treated from April 2013 to August 2014. We used the Numerical Scale and McGill Pain Questionnaire, performing the assessments at the moment of inclusion of the patient in the study and every eight days thereafter, totaling five consultations. We divided the patients into two groups: 40 in the Study Group (SG), who were treated with IFD, and 40 in the Control Group (CG), treated with primary dressing, according to tissue type and exudate.	avaliar a dor em pacientes com úlcera venosa de membros inferiores tratados com IFD. estudo prospectivo de pacientes com úlcera venosa de membros inferiores tratados no período de abril de 2013 a agosto de 2014. Foram utilizados a Escala Numérica e o Questionário de Dor de McGill, realizando as avaliações no momento da inclusão do paciente no estudo, e após oito dias, no total de cinco consultas. Os pacientes foram divididos em dois grupos: 40 no Grupo de Estudo (GT) que foram tratados com IFD, e 40 no Grupo de Controle (GC) que foram tratados com curativo primário, de acordo com o tipo de tecido e exsudato.	avaliar a dor em pacientes com úlcera venosa de membros inferiores utilizando o curativo não aderente IFD. estudo prospectivo de pacientes com úlcera de membros inferiores tratados no período de abril de 2013 a agosto de 2014. Foram utilizados a Escala Numérica e o Questionário de Dor de McGill, sendo realizadas as avaliações no momento da inclusão do paciente no estudo e após oito dias, num total de cinco consultas. Os pacientes foram divididos em dois grupos: 40 no Grupo de Trabalho (GA) que foram tratados com IFD, e 40 no Grupo de Controle (GC), tratados com curativo primário, de acordo com o tipo de tecido e exsudato. na primeira consulta, o grupo GA foi dividido em dois grupos: 40 no Grupo de Estudo (GT) que foram tratados com IFD e 40 no Grupo de Controle (GC), tratados com curativo primário, de acordo com o tipo de tecido e exsudato.	to evaluate pain in patients with lower limb venous ulcer who used non-adherent Ibuprofen foam dressing (IFD).	avaliar a dor em pacientes com úlcera venosa de membros inferiores tratados com IFD.	avaliar a dor em pacientes com úlcera venosa de membros inferiores utilizando o curativo não aderente IFD		
28658329	to evaluate pain in patients with lower limb venous ulcer who used non-adherent Ibuprofen foam dressing (IFD). we conducted a prospective study of patients with lower limb venous ulcers treated from April 2013 to August 2014. We used the Numerical Scale and McGill Pain Questionnaire, performing the assessments at the moment of inclusion of the patient in the study and every eight days thereafter, totaling five consultations. We divided the patients into two groups: 40 in the Study Group (SG), who were treated with IFD, and 40 in the Control Group (CG), treated with primary dressing, according to tissue type and exudate.	avaliar a dor em pacientes com úlcera venosa de membros inferiores tratados com IFD. estudo prospectivo de pacientes com úlcera venosa de membros inferiores tratados no período de abril de 2013 a agosto de 2014. Foram utilizados a Escala Numérica e o Questionário de Dor de McGill, realizando as avaliações no momento da inclusão do paciente no estudo, e após oito dias, no total de cinco consultas. Os pacientes foram divididos em dois grupos: 40 no Grupo de Estudo (GT) que foram tratados com IFD, e 40 no Grupo de Controle (GC) que foram tratados com curativo primário, de acordo com o tipo de tecido e exsudato.	avaliar a dor em pacientes com úlcera venosa de membros inferiores utilizando o curativo não aderente IFD. estudo prospectivo de pacientes com úlcera de membros inferiores tratados no período de abril de 2013 a agosto de 2014. Foram utilizados a Escala Numérica e o Questionário de Dor de McGill, sendo realizadas as avaliações no momento da inclusão do paciente no estudo e após oito dias, num total de cinco consultas. Os pacientes foram divididos em dois grupos: 40 no Grupo de Trabalho (GA) que foram tratados com IFD, e 40 no Grupo de Controle (GC), tratados com curativo primário, de acordo com o tipo de tecido e exsudato.	We used the Numerical Scale and McGill Pain Questionnaire, performing the assessments at the moment of inclusion of the patient in the study and every eight days thereafter, totaling five consultations.	Foram utilizados a Escala Numérica e o Questionário de Dor de McGill, realizando as avaliações no momento da inclusão do paciente no estudo, e após oito dias, no total de cinco consultas.	Foram utilizados a Escala Numérica e o Questionário de Dor de McGill, sendo realizadas as avaliações no momento da inclusão do paciente no estudo e após oito dias, num total de cinco consultas.		
34586173	The aim of this study was to analyze the level of sedimentation of hospital-based health technology assessment (HTA) in diverse contexts. A scoping review was conducted according to the methodology of the Joanna Briggs Institute, whose data analysis model consisted of the combination of Donabedian's structure, process, and outcome categories and the dimensions of the project Adopting Hospital Based Health Technology Assessment in European Union (AdHopHTA). We identified 270 studies, and after removing duplicates and reading full texts, 36 references met the eligibility criteria. Thirty-six hospitals were identified, of which there were 24 large-scale hospitals with extra bed capacity. Twenty-three hospitals were affiliated with universities.	O objetivo deste estudo foi analisar o nível de sedimentação da avaliação de tecnologias em saúde (ATS) hospitalares em diversos contextos. Foi realizada uma revisão de escopo de acordo com a metodologia do Instituto Joanna Briggs, cujo modelo de análise de dados foi constituído pela combinação das categorias de Donabedian de estrutura, processo e resultado, e das dimensões do projeto Considerando a ATS no âmbito da União Europeia, Considerando a ATS, foram identificados 270 estudos. Após remoção de duplicatas e leitura de textos completos, 36 referências preencheram os critérios de elegibilidade. Foram identificados 36 estudos, dos quais 24 foram de grande porte, com capacidade de internação de até 24 leitos. Vinte e três hospitais pertencentes a universidades foram destacados.	O objetivo deste estudo foi analisar o nível de sedimentação da avaliação de tecnologias de saúde (ATS) hospitalares em diversos contextos. Foi realizada uma revisão de escopo, de acordo com a metodologia do Instituto Joanna Briggs, cujo modelo de análise de dados foi constituído pela combinação das categorias de estrutura, processo e resultados de Donabedian e as dimensões do projeto Adopting Hospital Based Health Technology Assessment in European Union (AdHota). Foram identificados 270 estudos, e após remoção de duplicatas e leitura dos textos completos, 36 referências preencheram os critérios de elegibilidade. Foram identificados 36 hospitais, sendo que 24 eram de grande porte e com capacidade de acomodação adicional. Vinte e três hospitais eram da educação universitária.	A scoping review was conducted according to the methodology of the Joanna Briggs Institute, whose data analysis model consisted of the combination of Donabedian's structure, process, and outcome categories and the dimensions of the project Adopting Hospital Based Health Technology Assessment in European Union (AdHopHTA).	Foi realizada uma revisão de escopo de acordo com a metodologia do Instituto Joanna Briggs, cujo modelo de análise de dados foi constituído pela combinação das categorias de Donabedian de estrutura, processo e resultado, e das dimensões do projeto Considerando a ATS no âmbito da União Europeia,	Foi realizada uma revisão de escopo, de acordo com a metodologia do Instituto Joanna Briggs, cujo modelo de análise de dados foi constituído pela combinação das categorias de estrutura, processo e resultados de Donabedian e as dimensões do projeto Adopting Hospital Based Health Technology Assessment in European Union (AdHota).		

document-id	Context Source	Context Mode X	Context Mode y	Source Sentence	Mode x Sentence	Mode y Sentence	 Ranking Type	Comment
29044304	To establish the prevalence of delirium in a general intensive care unit and to identify associated factors, clinical expression and the influence on outcomes. This was a prospective cohort study in a medical surgical intensive care unit. The Richmond Agitation-Sedation Scale and Confusion Assessment Method for the Intensive Care Unit were used daily to identify delirium in mechanically ventilated patients. In this series, delirium prevalence was 80% (N = 184 delirious patients out of 230 patients). The number of patients according to delirium psychomotor subtypes was as follows: 11 hyperactive patients (6%), 9 hypoactive patients (5%) and 160 mixed patients (89%). Multiple logistic regression modeling using delirium as the dependent outcome variable (to study the risk factors for delirium) revealed that age > 65 years, history of alcohol consumption.	Verificar a prevalência do delirium em uma unidade de terapia intensiva geral e identificar os fatores associados, sua expressão clínica e sua influência no desfecho. Estudo de coorte prospectivo em uma unidade de terapia intensiva clínico-cirúrgica. A Richmond Agitation-Sedation Scale e a Confusion Assessment Method for the Intensive Care Unit foram usados diariamente para identificação do delirium nos pacientes mecanicamente ventilados. Nesta série de casos, a prevalência de delirium foi de 184 pacientes com delirium em um total de 230 pacientes. O subtipo de delirium psicomotor foi de 11 pacientes (6%), 9 pacientes hipoativos (5%) e 160 pacientes (89%). Modelo de regressão logística múltipla utilizando delirium como variável de desfecho dependente (estudo dos fatores de risco para delirium) revelou que idade > 65 anos, antecedente de consumo de álcool.	Estabelecer a prevalência do delirium em uma unidade de terapia intensiva geral e identificar os fatores associados, sua expressão clínica e sua influência no desfecho. Estudo de coorte prospectivo em unidade de terapia intensiva médico-cirúrgica. A Escala deRichmond Agitation-Sedation Scale e a Confusion Assessment Method for the Intensive Care Unit foram utilizadas diariamente para identificar delirium em pacientes mecanicamente ventilados. Nesta série de casos, a prevalência de delirium foi de 184 pacientes com delirium em um total de 230 pacientes. O subtipo de delirium psicomotor foi hiperativo em 11 pacientes (6%), hipoativo em 9 (5%) e misto em 160 (89%). Modelo de regressão logística múltipla que utiliza o delirium como variável de desfecho dependente (avaliar os fatores de risco para delirium) revelou que idade > 65 anos, histórico de consumo de álcool.	The Richmond Agitation-Sedation Scale and Confusion Assessment Method for the Intensive Care Unit were used daily to identify delirium in mechanically ventilated patients.	A Richmond Agitation-Sedation Scale e a Confusion Assessment Method for the Intensive Care Unit foram usados diariamente para identificação do delirium nos pacientes mecanicamente ventilados.	A Escala deRichmond Agitation-Sedation Scale e a Confusion Assessment Method for the Intensive Care Unit foram utilizadas diariamente para identificar delirium em pacientes mecanicamente ventilados.		
26229897	To ascertain the coronal angles for the femoral and tibial tunnels that provide the best postoperative result from anterior cruciate ligament (ACL) reconstruction surgery, through assessing the variables of the IKDC and Lysholm-Tegner questionnaires and the hop test. Sixteen patients with a single unilateral ACL injury who underwent this surgery between 24 and 36 months earlier were evaluated. They were divided into four groups in which the tibial and femoral tunnel angles were greater than or less than 65° in the coronal plane. The results demonstrated that a more vertical angle for the tibial tunnel (72°) and a more horizontal angle for the femoral tunnel (60°), with valgus alignment of 12° correlated with the best values for the variables studied. This may indicate that the long-term results from this surgery are excellent.	Verificar os ângulos coronais para os túneis femoral e tibial que proporcionam o melhor resultado no pós-operatório de cirurgia de reconstrução do ligamento cruzado anterior (LCA) através da avaliação das variáveis dos questionários IKDC e Lysholm-Tegner e do teste de Hop. Foram avaliados 16 pacientes com uma lesão única do LCA submetidos à cirurgia entre 24 e 36 meses. Os pacientes foram divididos em quatro grupos, nos quais os ângulos coronais para o túnel tibial e femoral foram menores ou maiores do que 65° no plano coronal. Os resultados demonstraram que o ângulo mais vertical para o túnel tibial (72°) e o ângulo mais horizontal para o túnel femoral (60°) com o alinhamento em valgo de 12° relacionou-se com os melhores valores para as variáveis estudadas, que pode indicar os melhores resultados para o longo	Verificar os ângulos coronais dos túneis femoral e tibial que proporcionam o melhor resultado pós-operatório da cirurgia de reconstrução do ligamento cruzado anterior (LCA), por meio da avaliação das variáveis dos questionários IKDC e Lysholm-Tegner e pelo teste de Hop. Foram avaliados 16 pacientes com histórico de lesão unilateral do LCA submetidos à cirurgia entre 24 e 36 meses, e divididos em quatro grupos, nos quais os ângulos dos túneis tibial e femoral foram menores ou maiores do que 65° no plano coronal. Os resultados demonstraram que um ângulo mais vertical para o túnel tibial (72°) e um ângulo mais horizontal para o túnel femoral (60°) com o alinhamento em valgo de 12° correlacionou-se com os melhores valores para as variáveis estudadas, o que pode indicar que os resultados em longo prazo da cirurgia são excelentes.	To ascertain the coronal angles for the femoral and tibial tunnels that provide the best postoperative result from anterior cruciate ligament (ACL) reconstruction surgery, through assessing the variables of the IKDC and Lysholm-Tegner questionnaires and the hop test.	Verificar os ângulos coronais para os túneis femoral e tibial que proporcionam o melhor resultado no pós-operatório de cirurgia de reconstrução do ligamento cruzado anterior (LCA) através da avaliação das variáveis dos questionários IKDC e Lysholm-Tegner e do teste de Hop.	Verificar os ângulos coronais dos túneis femoral e tibial que proporcionam o melhor resultado pós-operatório da cirurgia de reconstrução do ligamento cruzado anterior (LCA), por meio da avaliação das variáveis dos questionários IKDC e Lysholm-Tegner e pelo teste de Hop.		
31340331	This study aimed to identify sociodemographic factors associated with high estimated sodium/potassium ratio. A total of 15,105 participants were assessed, from 35 to 74 years of age, from a cohort of public employees (ELSA-Brasil). Socioeconomic data were collected with a questionnaire, and 12-hour nighttime urine samples were collected to estimate sodium and potassium intake. Sodium/potassium ratio was calculated in mmol/L and divided into tertiles: 1st tertile, corresponding to 'low'; 2nd tertile for 'medium'; and 3rd tertile for 'high' sodium/potassium ratio. The proportions and means were compared according to the classification of tertiles in the sodium/potassium ratio, using chi-square test and analysis of variance (ANOVA).	O objetivo do estudo foi identificar os fatores sociodemográficos associados à alta razão estatística de sódio/potássio. Foram avaliados 15.105 participantes, de 35 a 74 anos, de uma coorte de servidores públicos (ELSA-Brasil). Dados socioeconômicos foram coletados por questionário, e amostras de urina de 12 horas para estimar consumo de sódio e potássio. A razão sódio/potássio foi calculada em mmol/L e dividido em tercís: o primeiro tercil, correspondendo a "baixa"; o segundo tercil, para o médio; e o terceiro tercil, para o alto. As proporções e médias foram comparadas de acordo com a classificação dos tercís na razão sódio/potássio, usando o teste qui-quadrado e análise de variância (ANOVA).	O objetivo do estudo foi identificar fatores sociodemográficos associados à elevada relação sódio/potássio estimada. Foram analisados 15.105 participantes, entre 35 e 74 anos, de uma coorte de servidores públicos (ELSA-Brasil). Dados socioeconômicos foram coletados por meio de questionário, e amostras de urina de 12 horas foi coletada para estimar o consumo de sódio e potássio. A relação sódio/potássio foi calculada em mmol/L, e dividida em tercís: o primeiro tercil, correspondente à "baixa"; o segundo tercil, à "baixa" e o terceiro tercil, a "alto". As proporções e médias foram comparadas de acordo com a classificação dos tercís da relação sódio/potássio, utilizando o teste de qui-quadrado e a análise de variância (ANOVA).	Sodium/potassium ratio was calculated in mmol/L and divided into tertiles: 1st tertile, corresponding to 'low'; 2nd tertile for 'medium'; and 3rd tertile for 'high' sodium/potassium ratio.	A razão sódio/potássio foi calculada em mmol/L e dividido em tercís: o primeiro tercil, correspondendo a "baixa"; o segundo tercil, para o médio; e o terceiro tercil, para o alto.	A relação sódio/potássio foi calculada em mmol/L, e dividida em tercís: o primeiro tercil, correspondente à "baixa"; o segundo tercil, à "baixa" e o terceiro tercil, a "alto".		

document-id	Context Source	Context Mode X	Context Mode y	Source Sentence	Mode x Sentence	Mode y Sentence	Ranking Type	Comment
32130395	Systemic arterial hypertension (SAH) has a high prevalence in Brazil and impacts on the use of health services. This study verified the influence of the Family Health Strategy (FHS) on the use of health services by adults ≥ 18 years old who reported SAH in the National Health Survey (Pesquisa Nacional de Saúde - PNS) 2013. The Propensity Score (PS) method was used to correct the lack of homogeneity between the groups with SAH under exposed or not to the FHS. PS was estimated using binary logistic regression, which reflected the conditional probability of receiving the household register in the FHS according to socioeconomic, demographic and health covariates of adults and their families. After estimating the PS, the stratification was used to group hypertensive adults into five mutually exclusive strata (pairing them).	A hipertensão arterial sistêmica (HAS) tem uma prevalência elevada no Brasil e impacta na utilização de serviços de saúde. Este estudo evidenciou a influência da Estratégia Saúde da Família (ESF) na utilização de serviços de saúde por adultos ≥ 18 anos que referiram HAS na Pesquisa Nacional de Saúde (PNS) 2013. O método Propensity Score (PS) foi usado para corrigir a falta de homogeneidade entre os grupos com HAS nos expostos ou não aos serviços da ESF. O PS foi estimado através de regressão logística binária, que refletiu a probabilidade condicional de ter o registro domiciliar da ESF segundo covariáveis socioeconômicas, demográficas e de saúde dos adultos e de suas famílias. Depois da estimativa do PS, foi usada a estratificação de adultos em cinco estratos exclusivos mutuamente exclusivos (pareados).	A hipertensão arterial sistêmica (HAS) tem prevalência elevada no Brasil e impacta na utilização de serviços de saúde. Este estudo verificou a influência da Estratégia Saúde da Família (ESF) na utilização de serviços de saúde por adultos ≥ 18 anos que relataram HAS na Pesquisa Nacional de Saúde (PNS) 2013. O método Propensity Score (PS) foi usado para corrigir a falta de homogeneidade entre os grupos com HAS sob e sem exposição ou não à PNS. O PS foi estimado por regressão logística binária, que refletiu a probabilidade condicional de receber o registro domiciliar na ESF de acordo com covariáveis socioeconômicas, demográficas e de saúde dos adultos e suas famílias. Após estimação do PS, a estratificação foi usada para agrupar os adultos hipertensos em cinco estratos exclusivos membros com estratos exclusivos exclusivos.	This study verified the influence of the Family Health Strategy (FHS) on the use of health services by adults ≥ 18 years old who reported SAH in the National Health Survey (Pesquisa Nacional de Saúde - PNS) 2013.	Este estudo evidenciou a influência da Estratégia Saúde da Família (ESF) na utilização de serviços de saúde por adultos ≥ 18 anos que referiram HAS na Pesquisa Nacional de Saúde (PNS) 2013.	Este estudo verificou a influência da Estratégia Saúde da Família (ESF) na utilização de serviços de saúde por adultos ≥ 18 anos que relataram HAS na Pesquisa Nacional de Saúde (PNS) 2013.		
33144841	We aimed to investigate the change in bone mineral density (BMD) in the first postoperative year in patients that underwent total knee arthroplasty (TKA) due to primary osteoarthritis of the knee. Preoperative and first postoperative year dual-energy X-ray absorptiometry measurements of 76 patients with knee osteoarthritis, who undergone surgery between 2016 and 2018 due to the recommendation for TKA, were statistically evaluated in the study. Of the 19 patients with a normal BMD in the preoperative period, 73.7% (<i>n</i>= 14) continued to have a normal BMD in the postoperative period. Of the 34 patients with a low BMD (osteopenia) in the preoperative period, 91.2% (<i>n</i>= 31) did not show any change, whereas osteoporosis was observed in two patients (5.9%) in the postoperative period.	Objetivou-se investigar a alteração da densidade mineral óssea (DMO) no primeiro ano pós-operatório em pacientes submetidos à artroplastia total do joelho (ATJ) por osteoartrose primária do joelho. Foram avaliadas estatisticamente as medidas de absorptimetria de raios-X de primeiro ano do pós-operatório em 76 pacientes com diagnóstico de osteoartrose de joelho, submetidos à ATJ entre 2016 e 2018. Dos 19 pacientes com DMO normal no período pré-operatório, 73,7% (<i>n</i>= 14) permaneceram com DMO normal no pós-operatório. Dos 34 pacientes com DMO baixo (osteopenia) no período pré-operatório, 91,2% (<i>n</i>= 31) não apresentaram alteração, enquanto a osteoporose foi observada em dois pacientes (5,9%) no período pós-operatório.	Investigar a alteração da densidade mineral óssea (DMO) no primeiro ano pós-operatório de pacientes submetidos a artroplastia total de joelho (ATJ) por osteoartrite primária do joelho. Medidas de absorptometria de raios-X de dupla energia, de 76 pacientes com osteoartrite do joelho, submetidos à cirurgia entre 2016 e 2018 devido à recomendação para ATJ foram avaliadas estatisticamente no estudo. Dos 19 pacientes com DMO normal no período pré-operatório, 73,7% (<i>n</i>= 14) permaneceram com DMO normal no período pós-operatório. Dos 34 pacientes com DMO baixo (osteopenia) no período pré-operatório, 91,2% (<i>n</i>= 31) não foram observadas mudanças; enquanto a osteoporose foi observada em dois pacientes (5,9%) no período pós-operatório.	We aimed to investigate the change in bone mineral density (BMD) in the first postoperative year in patients that underwent total knee arthroplasty (TKA) due to primary osteoarthritis of the knee.	Objetivou-se investigar a alteração da densidade mineral óssea (DMO) no primeiro ano pós-operatório em pacientes submetidos à artroplastia total do joelho (ATJ) por osteoartrose primária do joelho.	Investigar a alteração da densidade mineral óssea (DMO) no primeiro ano pós-operatório de pacientes submetidos a artroplastia total de joelho (ATJ) por osteoartrite primária do joelho.		
34586273	The Brazilian National Policy on Integrative and Complementary Practices (PNPIC) was published in 2006. Integrative mind-body practices are part of that policy and they are offered in Brazilian health care services. The concept of Integrative Mind-Body Practices is not consolidated in the literature and its use in government documents is imprecise. The article aimed at proposing a definition for that concept based on the experience of groups of Integrative Mind-Body Practices in Primary Health Care in Florianópolis, Brazil, as well as offering an alternative to the problems of registration and monitoring of the PNPIC. The methodology adopted was Grounded Theory (GT) in its interpretative and constructivist perspective, upon which a formal theory was developed. The data were produced through observations of the activities, conversations with professionals, and interviews with users of groups of Yoga, Lian Gong, Qi Gong, and Circular Dances.	A Política Nacional de Práticas Integrativas e Complementares (PNPIC) foi publicada em 2006. As Práticas Integrativas do Corpo e da Mão fazem parte dessa política e são oferecida nos serviços de saúde no Brasil. O conceito de Práticas Integrativas do Corpo e da Mão está não consolidado na literatura e no seu uso em documentos governamentais é impreciso. O objetivo deste artigo é propor uma definição para esse conceito, a partir da experiência de grupos de Práticas Integrativas do Corpo e da Mão na Atenção Básica à Saúde em Florianópolis, Brasil, bem como propor uma alternativa aos problemas de registro e monitoramento da PNPIC. A metodologia escolhida foi a Teoria Fundamentada nos Dados em Grounded Theory (GT) na sua perspectiva interpretativa e construtiva, sobre a qual desenvolveu-se uma teoria formal.	A Política Nacional de Práticas Integrativas e Complementares (PNPIC) foi publicada em 2006. As práticas integrativas do corpo mental são parte da política e oferecem-se nos serviços de saúde brasileiros. O conceito de Práticas Integrativas do Corpo Mental integram-se à Política Nacional de Práticas Integrativas e Complementares (PNPIC) e oferecem uma alternativa aos problemas de registro e acompanhamento da PNPIC. A metodologia adotada foi a Grounded Theory (GT), na sua perspectiva interpretativa e construtiva, e sobre a qual uma teoria formal foi desenvolvida. Os dados foram produzidos por meio de observações das atividades, conversas com profissionais e entrevistas com usuários de grupos de Yoga, Lian Gong, Qi Gong e Danças Circulares. Os dados foram codificados, validados e analisados segundo as etapas da Teoria Fundamentada em Grounded Theory (GT).	The Brazilian National Policy on Integrative and Complementary Practices (PNPIC) was published in 2006. Integrative mind-body practices are part of that policy and they are offered in Brazilian health care services	A Política Nacional de Práticas Integrativas e Complementares (PNPIC) foi publicada em 2006. As Práticas Integrativas do Corpo e da Mão fazem parte dessa política e são oferecida nos serviços de saúde no Brasil.	A Política Nacional de Práticas Integrativas e Complementares (PNPIC) foi publicada em 2006. As práticas integrativas do corpo mental são parte da política e oferecem-se nos serviços de saúde brasileiros		



document-id	Context Source	Context Mode X	Context Mode y	Source Sentence	Mode x Sentence	Mode y Sentence	 Ranking Type	Comment
34586273	<p>The Brazilian National Policy on Integrative and Complementary Practices (PNPIC) was published in 2006. Integrative mind-body practices are part of that policy and they are offered in Brazilian health care services. The concept of Integrative Mind-Body Practices is not consolidated in the literature and its use in government documents is imprecise. The article aimed at proposing a definition for that concept based on the experience of groups of Integrative Mind-Body Practices in Primary Health Care in Florianópolis, Brazil, as well as offering an alternative to the problems of registration and monitoring of the PNPIC. The methodology adopted was Grounded Theory (GT) in its interpretative and constructivist perspective, upon which a formal theory was developed. The data were produced through observations of the activities, conversations with professionals, and interviews with users of groups of Yoga, Lian Gong, Qi Gong, and Circular Dances.</p>	<p>A Política Nacional de Práticas Integrativas e Complementares brasileiras (PNPIC) foi publicada em 2006. As Práticas Integrativas do Corpo e da Mão fazem parte dessa política e são oferecida nos serviços de saúde no Brasil. O conceito de Práticas Integrativas do Corpo e da Mão está não consolidado na literatura e no seu uso em documentos governamentais é impreciso. O objetivo deste artigo é propor uma definição para esse conceito, a partir da experiência de grupos de Práticas Integrativas do Corpo e da Mão na Atenção Básica à Saúde em Florianópolis, Brasil, bem como propor uma alternativa aos problemas de registro e monitoramento da PNPIC. A metodologia escolhida foi a Teoria Fundamentada nos Dados em Grounded Theory (GT) na sua perspectiva interpretativa e construtiva, sobre a qual desenvolveu-se uma teoria formal.</p>	<p>A Política Nacional de Práticas Integrativas e Complementares (PNPIC) foi publicada em 2006. As práticas integrativas do corpo mental são parte da política e oferecem-se nos serviços de saúde brasileiros. O conceito de Práticas Integrativas do Corpo Mental integram-se à Política Nacional de Práticas Integrativas e Complementares (PNPIC) e oferecem uma alternativa aos problemas de registro e acompanhamento da PNPIC. A metodologia adotada foi a Grounded Theory (GT), na sua perspectiva interpretativa e construtiva, e sobre a qual uma teoria formal foi desenvolvida. Os dados foram produzidos por meio de observações das atividades, conversas com profissionais e entrevistas com usuários de grupos de Yoga, Lian Gong, Qi Gong e Danças Circulares. Os dados foram codificados, validados e analisados segundo as etapas da Teoria Fundamentada em Grounded Theory (GT).</p>	<p>The data were produced through observations of the activities, conversations with professionals, and interviews with users of groups of Yoga, Lian Gong, Qi Gong, and Circular Dances.</p>	<p>A metodologia escolhida foi a Teoria Fundamentada nos Dados em Grounded Theory (GT) na sua perspectiva interpretativa e construtiva, sobre a qual desenvolveu-se uma teoria formal.</p>	<p>A metodologia adotada foi a Grounded Theory (GT), na sua perspectiva interpretativa e construtiva, e sobre a qual uma teoria formal foi desenvolvida. Os dados foram produzidos por meio de observações das atividades, conversas com profissionais e entrevistas com usuários de grupos de Yoga, Lian Gong, Qi Gong e Danças Circulares.</p>		
30624520	<p>to evaluate the factors associated with non-closure of protective ileostomy after anterior resection of the rectum with total mesorectum excision for rectal cancer, the morbidity associated with the closure of ileostomies and the rate of permanent ileostomy in patients with rectal adenocarcinoma, we conducted a retrospective study with 174 consecutive patients diagnosed with rectal tumors, of whom 92 underwent anterior resection of the rectum with coloanal or colorectal anastomosis and protective ileostomy, with curative intent. We carried out a multivariate analysis to determine the factors associated with definite permanence of the stoma, as well as studied the morbidity of patients who underwent bowel continuity restoration. In the 84-month follow-up period, 54 of the 92 patients evaluated (58.7%) had the ileostomy closed and 38 (41.3%) remained with the stoma.</p>	<p>avaliar os fatores associados ao não fechamento da ileostomia protetora após ressecção anterior do reto com excisão total de mesoro do reto por câncer do reto, a morbidade associada ao fechamento das ileostomias e a taxa de ileostomia permanente em pacientes com adenocarcinoma do reto, estudo retrospectivo com 174 pacientes consecutivos com diagnóstico de câncer do reto, dos quais 92 foram submetidos a ressecção anterior do reto com anastomose colorretal ou colorretal e com ileostomia protetora, com intenção curativa. Realizou-se análise multivariada para determinar os fatores associados à permanência precisa do estoma e estudou-se a morbidade dos pacientes submetidos a restauração da continuidade intestinal. No período de 84 meses de seguimento, 54 dos 92 pacientes avaliados (58,7%) tiveram a ileostomia fechada e 38 (41,3%) permaneceram com o estoma.</p>	<p>avaliar os fatores associados ao não fechamento da ileostomia protetora após o procedimento cirúrgico da ressecção anterior do reto com incidência total de ileostomia para o câncer do reto, a morbidade associada ao fechamento da ileostomia e a taxa de ileostomia permanente em pacientes com adenocarcinoma do reto, estudo retrospectivo com 174 pacientes consecutivos com diagnóstico de tumores do reto, dos quais 92 foram submetidos a ressecção anterior do reto com anastomose colorretal ou colorretal e ileostomia protetora, com intenção curativa. Foi realizada uma análise multivariada para determinar os fatores associados ao fechamento definitivo da ileostomia, além de estudar a morbidade de pacientes submetidos a restauração da continuidade intestinal. No período de 84 meses de acompanhamento, 54 dos 92 pacientes avaliados (58,7%) tiveram a ileostomia fechada e 38 (41,3%)</p>	<p>to evaluate the factors associated with non-closure of protective ileostomy after anterior resection of the rectum with total mesorectum excision for rectal cancer, the morbidity associated with the closure of ileostomies and the rate of permanent ileostomy in patients with rectal adenocarcinoma.</p>	<p>avaliar os fatores associados ao não fechamento da ileostomia protetora após ressecção anterior do reto com excisão total de mesoro do reto por câncer do reto, a morbidade associada ao fechamento das ileostomias e a taxa de ileostomia permanente em pacientes com adenocarcinoma do reto.</p>	<p>avaliar os fatores associados ao não fechamento da ileostomia protetora após o procedimento cirúrgico da ressecção anterior do reto com incidência total de ileostomia para o câncer do reto, a morbidade associada ao fechamento da ileostomia e a taxa de ileostomia permanente em pacientes com adenocarcinoma do reto.</p>		
30624520	<p>to evaluate the factors associated with non-closure of protective ileostomy after anterior resection of the rectum with total mesorectum excision for rectal cancer, the morbidity associated with the closure of ileostomies and the rate of permanent ileostomy in patients with rectal adenocarcinoma, we conducted a retrospective study with 174 consecutive patients diagnosed with rectal tumors, of whom 92 underwent anterior resection of the rectum with coloanal or colorectal anastomosis and protective ileostomy, with curative intent. We carried out a multivariate analysis to determine the factors associated with definite permanence of the stoma, as well as studied the morbidity of patients who underwent bowel continuity restoration. In the 84-month follow-up period, 54 of the 92 patients evaluated (58.7%) had the ileostomy closed and 38 (41.3%) remained with the stoma.</p>	<p>avaliar os fatores associados ao não fechamento da ileostomia protetora após ressecção anterior do reto com excisão total de mesoro do reto por câncer do reto, a morbidade associada ao fechamento das ileostomias e a taxa de ileostomia permanente em pacientes com adenocarcinoma do reto, estudo retrospectivo com 174 pacientes consecutivos com diagnóstico de câncer do reto, dos quais 92 foram submetidos a ressecção anterior do reto com anastomose colorretal ou colorretal e com ileostomia protetora, com intenção curativa. Realizou-se análise multivariada para determinar os fatores associados à permanência precisa do estoma e estudou-se a morbidade dos pacientes submetidos a restauração da continuidade intestinal. No período de 84 meses de seguimento, 54 dos 92 pacientes avaliados (58,7%) tiveram a ileostomia fechada e 38 (41,3%) permaneceram com o estoma.</p>	<p>avaliar os fatores associados ao não fechamento da ileostomia protetora após o procedimento cirúrgico da ressecção anterior do reto com incidência total de ileostomia para o câncer do reto, a morbidade associada ao fechamento da ileostomia e a taxa de ileostomia permanente em pacientes com adenocarcinoma do reto, estudo retrospectivo com 174 pacientes consecutivos com diagnóstico de tumores do reto, dos quais 92 foram submetidos a ressecção anterior do reto com anastomose colorretal ou colorretal e ileostomia protetora, com intenção curativa. Foi realizada uma análise multivariada para determinar os fatores associados ao fechamento definitivo da ileostomia, além de estudar a morbidade de pacientes submetidos a restauração da continuidade intestinal. No período de 84 meses de acompanhamento, 54 dos 92 pacientes avaliados (58,7%) tiveram a ileostomia fechada e 38 (41,3%)</p>	<p>We carried out a multivariate analysis to determine the factors associated with definite permanence of the stoma, as well as studied the morbidity of patients who underwent bowel continuity restoration.</p>	<p>Realizou-se análise multivariada para determinar os fatores associados à permanência precisa do estoma e estudou-se a morbidade dos pacientes submetidos a restauração da continuidade intestinal.</p>	<p>Foi realizada uma análise multivariada para determinar os fatores associados ao fechamento definitivo da ileostomia, além de estudar a morbidade de pacientes submetidos a restauração da continuidade intestinal.</p>		

document-id	Context Source	Context Mode X	Context Mode y	Source Sentence	Mode x Sentence	Mode y Sentence	Ranking Type	Comment
34037160	<p>To verify the applicability of the Tinnitus and Hearing Survey (THS) to measure the different complaints of tinnitus, hearing loss and sound tolerance. THS was performed, composed of 4 questions about tinnitus, 4 about hearing loss and one about sound tolerance. Previously, all participants performed a battery of audiological diagnostic tests and were then divided into 4 groups: Bilateral normal audiometry with mean up to 25dB, with and without tinnitus complaint (Groups 1 and 3); diagnosis of mild to moderate neural sensory hearing loss (26dB to 60dB), no previous use of individual hearing aids, complaining of chronic tinnitus (≥6 months) and individuals without tinnitus complaints (Groups 2 and 4); and age ≥18 years old. Seventy subjects were included in the present study.</p>	<p>Verificar a aplicabilidade do inquérito de zumbido e audição (IST) para medir diferentes queixas de zumbido, perda auditiva e tolerância sonora. Realizou-se IST, composta por 4 questões sobre zumbido, 4 sobre perda auditiva e uma sobre tolerância sonora. Previamente todos participantes realizaram a bateria de testes audiológicos, e posteriormente foram divididos em 4 grupos: audiometria normal bilateral até 25dB, com e sem queixa de zumbido (Grupo 1 e 3); diagnóstico de perda auditiva neurosensorial de intensidade leve a moderada (26dB a 60dB), não utilização prévia de dispositivos de amplificação individual, queixas de zumbido crônico (≥6 meses) e sem queixas de zumbido (Grupo 2 e 4); e idade ≥18 anos. Setenta sujeitos foram incluídos no estudo.</p>	<p>Verificar a aplicabilidade do International Tinnitus and Hearing Survey (IST) para medir as diferentes queixas de zumbido, perda auditiva e tolerância sonora. O IST foi realizado, composto por 4 questões sobre zumbido, 4 sobre perda auditiva e um sobre tolerância sonora. Previamente todos os participantes fizeram uma bateria de testes audiológicos diagnósticos e, em seguida, foram divididos em 4 grupos: audiometria normal bilateral normal com média até 25dB, com e sem queixa de zumbido (Grupos 1 e 3); diagnóstico de perda auditiva de sensibilidade neurosensorial leve a moderada (26dB a 60dB), uso prévio de aparelho de amplificação individual, queixas de zumbido crônica (≥6 meses) e sem queixa de zumbido (Grupos 2 e 4); e idade ≥18 anos. Setenta sujeitos foram incluídos no estudo.</p>	<p>To verify the applicability of the Tinnitus and Hearing Survey (THS) to measure the different complaints of tinnitus, hearing loss and sound tolerance.</p>	<p>Verificar a aplicabilidade do inquérito de zumbido e audição (IST) para medir diferentes queixas de zumbido, perda auditiva e tolerância sonora.</p>	<p>Verificar a aplicabilidade do International Tinnitus and Hearing Survey (IST) para medir as diferentes queixas de zumbido, perda auditiva e tolerância sonora.</p>		
34037160	<p>To verify the applicability of the Tinnitus and Hearing Survey (THS) to measure the different complaints of tinnitus, hearing loss and sound tolerance. THS was performed, composed of 4 questions about tinnitus, 4 about hearing loss and one about sound tolerance. Previously, all participants performed a battery of audiological diagnostic tests and were then divided into 4 groups: Bilateral normal audiometry with mean up to 25dB, with and without tinnitus complaint (Groups 1 and 3); diagnosis of mild to moderate neural sensory hearing loss (26dB to 60dB), no previous use of individual hearing aids, complaining of chronic tinnitus (≥6 months) and individuals without tinnitus complaints (Groups 2 and 4); and age ≥18 years old. Seventy subjects were included in the present study.</p>	<p>Verificar a aplicabilidade do inquérito de zumbido e audição (IST) para medir diferentes queixas de zumbido, perda auditiva e tolerância sonora. Realizou-se IST, composta por 4 questões sobre zumbido, 4 sobre perda auditiva e uma sobre tolerância sonora. Previamente todos participantes realizaram a bateria de testes audiológicos, e posteriormente foram divididos em 4 grupos: audiometria normal bilateral até 25dB, com e sem queixa de zumbido (Grupo 1 e 3); diagnóstico de perda auditiva neurosensorial de intensidade leve a moderada (26dB a 60dB), não utilização prévia de dispositivos de amplificação individual, queixas de zumbido crônico (≥6 meses) e sem queixas de zumbido (Grupo 2 e 4); e idade ≥18 anos. Setenta sujeitos foram incluídos no estudo.</p>	<p>Verificar a aplicabilidade do International Tinnitus and Hearing Survey (IST) para medir as diferentes queixas de zumbido, perda auditiva e tolerância sonora. O IST foi realizado, composto por 4 questões sobre zumbido, 4 sobre perda auditiva e um sobre tolerância sonora. Previamente todos os participantes fizeram uma bateria de testes audiológicos diagnósticos e, em seguida, foram divididos em 4 grupos: audiometria normal bilateral normal com média até 25dB, com e sem queixa de zumbido (Grupos 1 e 3); diagnóstico de perda auditiva de sensibilidade neurosensorial leve a moderada (26dB a 60dB), uso prévio de aparelho de amplificação individual, queixas de zumbido crônica (≥6 meses) e sem queixa de zumbido (Grupos 2 e 4); e idade ≥18 anos. Setenta sujeitos foram incluídos no estudo.</p>	<p>Previously, all participants performed a battery of audiological diagnostic tests and were then divided into 4 groups: Bilateral normal audiometry with mean up to 25dB, with and without tinnitus complaint (Groups 1 and 3); diagnosis of mild to moderate neural sensory hearing loss (26dB to 60dB), no previous use of individual hearing aids, complaining of chronic tinnitus (≥6 months) and individuals without tinnitus complaints (Groups 2 and 4); and age ≥18 years old.</p>	<p>Previamente todos participantes realizaram a bateria de testes audiológicos, e posteriormente foram divididos em 4 grupos: audiometria normal bilateral até 25dB, com e sem queixa de zumbido (Grupo 1 e 3); diagnóstico de perda auditiva neurosensorial de intensidade leve a moderada (26dB a 60dB), uso prévio de aparelho de amplificação individual, queixas de zumbido crônico (≥6 meses) e sem queixas de zumbido (Grupo 2 e 4); e idade ≥18 anos.</p>	<p>Previamente todos os participantes fizeram uma bateria de testes audiológicos diagnósticos e, em seguida, foram divididos em 4 grupos: audiometria normal bilateral normal com média até 25dB, com e sem queixa de zumbido (Grupos 1 e 3); diagnóstico de perda auditiva de sensibilidade neurosensorial leve a moderada (26dB a 60dB), uso prévio de aparelho de amplificação individual, queixas de zumbido crônica (≥6 meses) e sem queixa de zumbido (Grupos 2 e 4); e idade ≥18 anos.</p>		
33909841	<p>To propose the Dysphonia Risk Screening Protocol for Musical Theatre Actors (DRSP-MTA), to verify its applicability in association with the General Dysphonia Risk Screening Protocol (G-DRSP), to correlate the final scores of both, and these with the total risk score, and to compare the risk of dysphonia measured in musical theater actors with and without vocal complaint. An observational cross-sectional study with 34 musical theater actors, adults, of both genders, with and without vocal complaints and regardless of whether they are professionals or students. The questionnaires were applied individually. Statistical analysis made it possible to verify the correlation between the dysphonia risk scores and to compare the groups with and without vocal complaint. Most of the participants were male, young adults, professional actors and without vocal complaint.</p>	<p>Propor o Protocolo de Rastreio do Risco da Disfonia para Atores do teatro musical (DRSP-MTA), verificar sua aplicabilidade em associação ao Protocolo de Rastreio do Risco Geral da Disfonia (DRSP-MTA), correlacionar os escores finais de ambos, e esses com o escore total de risco, e comparar o risco de disfonia em atores do teatro musical com e sem queixa vocal. Estudo observacional transversal com 34 atores do teatro musical, adultos, de ambos os sexos, com e sem queixa vocal e independentemente de se tratarem de profissionais ou estudantes. Os questionários foram aplicados de forma individual. A análise estatística permitiu verificar a correlação entre os escores de risco de disfonia e comparar os grupos com e sem queixa vocal. A maioria dos participantes era do sexo masculino, dos jovens, atores profissionais e sem queixa vocal.</p>	<p>Propor o Protocolo de Rastreio de Risco da Disfonia para atores do teatro musical (DRSP-MTA), para verificar sua aplicabilidade em associação com o Protocolo de Rastreio de Risco da Disfonia Geral (PCDG-DRSP), correlacionar os escores finais dos dois e os com o escore total de risco, e comparar o risco da disfonia nos atores do teatro musical com e sem queixa vocal. Estudo observacional transversal com 34 atores do teatro musical, adultos, de ambos os sexos, com e sem queixa vocal, de ambos os gêneros, com e sem queixa vocal. Os questionários foram aplicados individualmente. A análise estatística permitiu verificar a correlação entre os escores de risco de disfonia e comparar os grupos com e sem queixa vocal. A maioria dos participantes é do sexo masculino, adulto jovem, profissional e sem queixa vocal.</p>	<p>To propose the Dysphonia Risk Screening Protocol for Musical Theatre Actors (DRSP-MTA), to verify its applicability in association with the General Dysphonia Risk Screening Protocol (G-DRSP), to correlate the final scores of both, and these with the total risk score, and to compare the risk of dysphonia measured in musical theater actors with and without vocal complaint</p>	<p>Propor o Protocolo de Rastreio do Risco da Disfonia para Atores do teatro musical (DRSP-MTA), verificar sua aplicabilidade em associação ao Protocolo de Rastreio do Risco Geral da Disfonia (DRSP-MTA), correlacionar os escores finais de ambos, e esses com o escore total de risco, e comparar o risco de disfonia em atores do teatro musical com e sem queixa vocal.</p>	<p>Propor o Protocolo de Rastreio de Risco da Disfonia para atores do teatro musical (DRSP-MTA), para verificar sua aplicabilidade em associação com o Protocolo de Rastreio de Risco da Disfonia Geral (PCDG-DRSP), correlacionar os escores finais dos dois e os com o escore total de risco, e comparar o risco da disfonia nos atores do teatro musical com e sem queixa vocal.</p>		

document-id	Context Source	Context Mode X	Context Mode y	Source Sentence	Mode x Sentence	Mode y Sentence	Ranking Type	Comment
31800868	to describe the experience and preliminary results of the Arbovirus Death Investigation Committee in Ceará, Brazil, in 2017. the Committee investigates and discusses all suspected cases of arbovirus deaths reported by the epidemiological surveillance service. a total of 443 suspected arbovirus deaths were reported; 220 (49.7%) of which were confirmed; of these, 88.2% were from chikungunya and 11.8% from dengue; the median age of chikungunya deaths was higher when compared to dengue (77 versus 56 years) and the time until death was also longer when compared to dengue (38 versus 12 days); median time for case closure was 54.5 days; in 2017, Ceará confirmed 80.4% of Brazilian chikungunya deaths.	descrever a experiência e os resultados preliminar da Comissão de investigação de óbitos por arbovíroses no Ceará, Brasil, em 2017. a Comissão investiga e discute todos os casos suspeitos de óbitos por arbovíroses notificados pelo serviço de vigilância epidemiológica. foram notificados 443 óbitos suspeitos de arbovíroses, sendo 220 (49,7%) confirmados; dessas, 88,2% eram de chikungunya e 11,8% de dengue; a idade mediana dos óbitos por arbovíroses foi maior quando comparado à dengue (77 versus 56 anos) e o tempo até a morte também foi maior, quando comparado à dengue (38 versus 12 dias); a mediana de tempo para encerramento dos casos foi de 54,5 dias; em 2017, Ceará confirmou 80,4% dos óbitos por arbovíroses do estado do Ceará.	Retratando-se as causas relacionadas às doenças relacionadas a arbovíroses no município de Ceará, Brasil, em 2017. o Comitê investiga e discute todos os casos suspeitos de óbitos por arbovíroses notificados no serviço de vigilância epidemiológica. um total de 443 casos de óbitos por arbovíroses foram notificados, sendo 220 (49,7%) confirmados; destes, 88,2% foram de chikungunya e 11,8% de dengue; a mediana de idade dos óbitos de chikungunya foi superior quando comparado à dengue (77 e 56 anos) e o tempo de até o óbito também foi maior quando comparado à dengue (38 e 12 dias); o tempo mediano de encerramento dos casos foi de 54,5 dias; em 2017, Ceará confirmou 80,4% dos óbitos de chikungunya no Brasil.	to describe the experience and preliminary results of the Arbovirus Death Investigation Committee in Ceará, Brazil, in 2017. the Committee investigates and discusses all suspected cases of arbovirus deaths reported by the epidemiological surveillance service.	descrever a experiência e os resultados preliminar da Comissão de investigação de óbitos por arbovíroses no Ceará, Brasil, em 2017. a Comissão investiga e discute todos os casos suspeitos de óbitos por arbovíroses notificados pelo serviço de vigilância epidemiológica.	Retratando-se as causas relacionadas às doenças relacionadas a arbovíroses no município de Ceará, Brasil, em 2017. o Comitê investiga e discute todos os casos suspeitos de óbitos por arbovíroses notificados no serviço de vigilância epidemiológica.		
31038641	to evaluate anthropometric and demographic indicators associated with high blood pressure in children aged 6 to 10 years in urban and rural areas of Minas Gerais. this is a cross-sectional study with 335 children. Anthropometric, demographic and blood pressure data were collected. The statistics analyzes were performed using the chi-square, t-student, Mann-Whitney and logistic regression tests, and the odds ratio was the association measure. the prevalence of high blood pressure was significantly higher among rural children. In the urban area, the chance of high blood pressure was higher in children who had a high body mass index (2.97 [1.13-7.67]) and in the rural area, in those who had increased waist circumference (35.4 [3.0-406.2]) and the age range of 9-10 years (4.29 [1.46-12.6]).	avaliar indicadores antropométricos e demográficos associados à hipertensão arterial em crianças de 6 a 10 anos de áreas urbanas e rurais de Minas Gerais. estudo transversal com 335 crianças. Foram coletados dados antropométricos, demográficos, e da pressão arterial. As análises de estatística foram feitas com os testes qui-quadrado, t-student, Mann-Whitney e regressão logística, e a razão de chances foi a medida de associação. a prevalência de hipertensão arterial foi significativamente maior em crianças rurais. Na área urbana, a chance de hipertensão arterial foi maior nas crianças com elevação do índice de massa corporal ( 2,97 [1,13-7,67]) e na área rural, em aquelas com aumento da circunferência da cintura (35,4 [3,0-406,2] e na faixa etária de 9 a 10 anos (4,29 [narrativa-12.6])).	avaliar indicadores antropométricos e demográficos associados à hipertensão arterial em crianças de 6 a 10 anos de idade nas áreas urbanas e rurais de Minas Gerais. estudo transversal com 335 crianças. Foram coletados dados antropométricos, demográficos e pressão arterial. As análises estatísticas foram realizadas utilizando os testes qui-quadrado, t-student, Mann-Whitney e regressão logística, e o odds ratio foi a medida de associação. a prevalência de hipertensão arterial foi significativamente maior nas crianças rurais. Na área urbana, a chance de hipertensão arterial foi maior nas crianças que apresentaram alto índice de massa corporal ( 2,97 [1,13-7,67]) e na área rural, em aquelas que apresentaram um aumento da circunferência da cintura (35,4 [3,0-40,2] e na faixa etária de 9 a 10 anos (4,29 [1,46-10,6]))	to evaluate anthropometric and demographic indicators associated with high blood pressure in children aged 6 to 10 years in urban and rural areas of Minas Gerais. this is a cross-sectional study with 335 children.	avaliar indicadores antropométricos e demográficos associados à hipertensão arterial em crianças de 6 a 10 anos de áreas urbanas e rurais de Minas Gerais.	avaliar indicadores antropométricos e demográficos associados à hipertensão arterial em crianças de 6 a 10 anos de idade nas áreas urbanas e rurais de Minas Gerais. estudo transversal com 335 crianças.		
33111839	This study aimed to characterize risk groups for COVID-19 in Brazil and to estimate the number of individuals living in the same household with persons in the risk group. Data were used from the Brazilian National Health Survey (PNS) of 2013. To characterize the risk groups, a binary multiple logistic regression model was adjusted in which the response variable was the presence or absence of at least one condition associated with COVID-19 and the explanatory variables were age, sex, major geographic region, color or race, schooling, and workforce status of the residents interviewed by the study. The results show that age is the principal risk factor for comorbidities associated with COVID-19, but the risk is also greater for persons in more vulnerable categories, such as those with less schooling and blacks and browns.	Este estudo teve o objetivo de caracterizar os grupos de risco para COVID-19 no Brasil e estimar o número de indivíduos residentes no mesmo domicílio com indivíduos inseridos no grupo de risco. Foram utilizados dados da Pesquisa Nacional de Saúde (PNS) de 2013. Para a caracterização dos grupos de risco, foi ajustado um modelo de regressão logística binária, em que a variável de resposta foi a presença ou não de pelo menos uma condição associada à COVID-19 e as variáveis explicativas foram idade, sexo, região geográfica, cor ou raça, escolaridade e o estado de força de trabalho dos moradores entrevistados. Os resultados mostram que a idade é o principal fator de risco para comorbidades associadas à COVID-19, mas que também é maior para pessoas em categorias mais vulneráveis, como pessoas com menor escolaridade, raça/cor preta e cor de pele preta.	Este estudo teve como objetivo caracterizar grupos de risco para COVID-19 no Brasil e estimar o número de indivíduos residentes no mesmo domicílio com indivíduos com grupo de risco. Foram utilizados dados da Pesquisa Nacional de Saúde (PNS) de 2013. Para caracterização dos grupos de risco, foi ajustado um modelo de regressão logística binária, sendo a variável de resposta a presença ou ausência de pelo menos uma condição associada à COVID-19 e as variáveis explicativas foram idade, sexo, região geográfica, cor/raça, escolaridade e situação da força de trabalho dos residentes entrevistados. Os resultados mostram que a idade é o principal fator de risco para comorbidades associadas à COVID-19, porém o risco também é maior para pessoas em categorias mais vulneráveis, como aquelas com menor escolaridade e raças e brancos.	This study aimed to characterize risk groups for COVID-19 in Brazil and to estimate the number of individuals living in the same household with persons in the risk group. Data were used from the Brazilian National Health Survey (PNS) of 2013.	Este estudo teve o objetivo de caracterizar os grupos de risco para COVID-19 no Brasil e estimar o número de indivíduos residentes no mesmo domicílio com indivíduos inseridos no grupo de risco. Foram utilizados dados da Pesquisa Nacional de Saúde (PNS) de 2013.	Este estudo teve como objetivo caracterizar grupos de risco para COVID-19 no Brasil e estimar o número de indivíduos residentes no mesmo domicílio com indivíduos com grupo de risco. Foram utilizados dados da Pesquisa Nacional de Saúde (PNS) de 2013.		

document-id	Context Source	Context Mode X	Context Mode y	Source Sentence	Mode x Sentence	Mode y Sentence	Ranking Type	Comment
31093234	Describe the phenotypical and genotypical characteristics of <i>Neisseria meningitidis</i> isolates from cases of meningococcal disease in Paraguay between 1996 and 2015. Conventional microbiological methods and molecular techniques were used to study 114 isolates of N. meningitidis and 12 clinical samples without isolation (confirmed by polymerase chain reaction), provided by various sentinel centers and collaborating centers in Paraguay. The most affected age group was children under 1 year (19.0%), followed by 1-5-year-olds (17.5%). The highest percentage of strains was isolated in meningitis cases (81.7%) and serogroup B was found in 60.3% of cases.	Descrever as características fenotípicas e genotípicas de isolados de <i>Neisseria meningitidis</i> de casos de doença meningocócica na Paraguai de 1996 a 2015. MÉTODOS E MATERIAIS: Métodos: Os métodos microbiológicos convencionais e técnicas moleculares foram utilizados para estudar 114 isolados de N. meningitidis e 12 amostras clínicas sem isolamento (confirmado por reação em cadeia de polimerase), fornecidos por vários centros sentinelas e centros de colaboração da Paraguai. A faixa etária mais acometida foi de crianças menores de 1 ano (19.0%), seguidos dos 1-5 anos (17.5%). O maior percentual de cepas foi isolado em casos de meningite (81,7%) e o serogrupo B foi encontrado em 60,3% dos casos.	Descrever as características fenotípicas e genotípicas de isolados de <i>Neisseria meningitidis</i> provenientes de casos de doença meningocócica no Paraguai, no período de 1996 a 2015. Métodos convencionais microbiológicos e técnicas moleculares foram usados para estudar 114 isolados de N. meningitidis e 12 amostras clínicas sem isolamento (confirmados por reação em cadeia da polimerase), fornecidos por vários centros sentinelas e centros colaboradores do Paraguai. A faixa etária mais acometida foi de crianças com menos de 1 ano (19,0%), seguidos de 1 a 5 anos (17,5%).	Describe the phenotypical and genotypical characteristics of <i>Neisseria meningitidis</i> isolates from cases of meningococcal disease in Paraguay between 1996 and 2015.	Descrever as características fenotípicas e genotípicas de isolados de <i>Neisseria meningitidis</i> de casos de doença meningocócica na Paraguai de 1996 a 2015	Descrever as características fenotípicas e genotípicas de isolados de <i>Neisseria meningitidis</i> provenientes de casos de doença meningocócica no Paraguai, no período de 1996 a 2015.		
32609223	to investigate the variability of the Dichotic Sentence Test through the test and retest in normal-hearing adults. We evaluated thirty-six individuals aged 19 to 44 years old, right-handed and with normal hearing thresholds. We performed the basic audiological evaluation and then we applied the Dichotic Digit Test and Dichotic Sentence Test. The test and retest had two sessions, with an interval from 30 to 40 days, in the same shift. In the integration task, there was an advantage of the right ear in both evaluation sessions. There was no significant difference between the measures obtained in the right ear in the two evaluation sessions, while in the left ear, we found a significant difference.	investigar a variabilidade do Teste de Sentência dicótica por meio do teste e do reteste em adultos normais. Foram avaliados 36 indivíduos, de 19 a 44 anos, destros e com limiares auditivos normais. Realizou-se a avaliação audiológica básica e depois foram aplicados o Teste de Dígitos e o Teste de Sentência dicótica. Os testes e o reteste tiveram duas sessões, com intervalo de 30 a 40 dias, no mesmo turno. Na tarefa de integração, houve uma vantagem da orelha direita nas duas sessões de avaliação. Não houve diferença significativa entre as medidas obtidas na orelha direita nas duas sessões de avaliação, enquanto na orelha esquerda houve uma diferença significativa.	investigar a variabilidade do Teste de Leitura Dicotológica através do teste e do reteste em adultos normo-ouvintes. Foram avaliados 36 indivíduos de 19 a 44 anos, de mão esquerda e com limiar audiológico normal. Foram realizadas as avaliações audiológicas básicas e, em seguida, o teste e o reteste tiveram duas sessões, com intervalo de 30 a 40 dias, no mesmo turno. Na tarefa de integração, foi observada a vantagem da orelha direita em ambas as sessões de avaliação. Não houve diferença significativa entre as medidas obtidas na orelha direita nas duas sessões de avaliação, enquanto na orelha esquerda, observou-se diferença significativa.	to investigate the variability of the Dichotic Sentence Test through the test and retest in normal-hearing adults. We evaluated thirty-six individuals aged 19 to 44 years old, right-handed and with normal hearing thresholds	investigar a variabilidade do Teste de Sentência dicótica por meio do teste e do reteste em adultos normais. Foram avaliados 36 indivíduos, de 19 a 44 anos, destros e com limiares auditivos normais.	investigar a variabilidade do Teste de Leitura Dicotológica através do teste e do reteste em adultos normo-ouvintes. Foram avaliados 36 indivíduos de 19 a 44 anos, de mão esquerda e com limiar audiológico normal.		
32609223	to investigate the variability of the Dichotic Sentence Test through the test and retest in normal-hearing adults. We evaluated thirty-six individuals aged 19 to 44 years old, right-handed and with normal hearing thresholds. We performed the basic audiological evaluation and then we applied the Dichotic Digit Test and Dichotic Sentence Test. The test and retest had two sessions, with an interval from 30 to 40 days, in the same shift. In the integration task, there was an advantage of the right ear in both evaluation sessions. There was no significant difference between the measures obtained in the right ear in the two evaluation sessions, while in the left ear, we found a significant difference.	investigar a variabilidade do Teste de Sentência dicótica por meio do teste e do reteste em adultos normais. Foram avaliados 36 indivíduos, de 19 a 44 anos, destros e com limiares auditivos normais. Realizou-se a avaliação audiológica básica e depois foram aplicados o Teste de Dígitos e o Teste de Sentência dicótica. Os testes e o reteste tiveram duas sessões, com intervalo de 30 a 40 dias, no mesmo turno. Na tarefa de integração, houve uma vantagem da orelha direita nas duas sessões de avaliação. Não houve diferença significativa entre as medidas obtidas na orelha direita nas duas sessões de avaliação, enquanto na orelha esquerda houve uma diferença significativa.	investigar a variabilidade do Teste de Leitura Dicotológica através do teste e do reteste em adultos normo-ouvintes. Foram avaliados 36 indivíduos de 19 a 44 anos, de mão esquerda e com limiar audiológico normal. Foram realizadas as avaliações audiológicas básicas e, em seguida, o teste e o reteste tiveram duas sessões, com intervalo de 30 a 40 dias, no mesmo turno. Na tarefa de integração, foi observada a vantagem da orelha direita em ambas as sessões de avaliação. Não houve diferença significativa entre as medidas obtidas na orelha direita nas duas sessões de avaliação, enquanto na orelha esquerda, observou-se diferença significativa.	We performed the basic audiological evaluation and then we applied the Dichotic Digit Test and Dichotic Sentence Test.	Realizou-se a avaliação audiológica básica e depois foram aplicados o Teste de Dígitos e o Teste de Sentência dicótica.	Foram realizadas as avaliações audiológicas básicas e, em seguida, o teste e o reteste tiveram duas sessões, com intervalo de 30 a 40 dias, no mesmo turno.		
29704244	To examine the longitudinal trends of cardiometabolic diseases in a large sample of adults with cerebral palsy (CP). The Optum Clinformatics Data Mart is a de-identified nationwide claims database of beneficiaries from a single private payer. Beneficiaries were included if they had an International Classification of Diseases, Ninth Revision, Clinical Modification code for a diagnosis of CP. Adults with at least 3 years of continuous enrollment on a single plan between 2002 and 2009 were included in the final analyses (n=2659). We examined the longitudinal trends of incident diabetes mellitus, hypercholesterolemia, hypertension, cardiac dysrhythmias, and atherosclerosis, stratified by age categories: 18 to 39 years, 40 to 59 years, and 60 years and over.	Examinar as tendências longitudinais das doenças cardiometabólicas em uma grande amostra de adultos com paralisia cerebral (PC). O Optum Científicos é um banco de dados de contas de saúde de um único pagador privado. Os beneficiários foram incluídos se eles possuíam um código de Classificação Internacional de Doenças (CID), nona revisão, código de Modificação Clínica para o diagnóstico de PC. Adultos com pelo menos 3 anos de inscrição contínua em um único plano de 2002 a 2009 foram incluídos nas análises finais (n=2659). Examinamos as tendências longitudinais das doenças cardiometabólicas incidentes, hipercolesterolemia, hipertensão, distúrbios cardíacos e aterosclerose, estratificadas por idade: 18 a 39 anos, 40 a 59 anos e 60 anos acima.	Examinar as tendências longitudinais de doenças cardiometabólicas em uma grande amostra de adultos com paralisia cerebral (PC). MÉTODO: A base de dados da Optum Clínicas de dados é um banco de dados de seguros privados de serviços de saúde de um único afiliado privado. Os beneficiários foram incluídos se possuíam codificado para a Classificação Internacional de Doenças, nona revisão, para diagnóstico de PC. Idosos com pelo menos 3 anos de cadastramento contínuo em um único plano de 2002 a 2009 foram incluídos nas análises finais (n=2659). RESULTADOS: Investigamos as tendências longitudinais de diabetes mellitus, hipercolesterolemia, hipertensão, disfunções cardíacas e aterosclerose, estratificadas por idades: 18 a 39 anos, 40 a 59 anos e 60 anos e mais.	To examine the longitudinal trends of cardiometabolic diseases in a large sample of adults with cerebral palsy (CP).	Examinar as tendências longitudinais das doenças cardiometabólicas em uma grande amostra de adultos com paralisia cerebral (PC).	Examinar as tendências longitudinais de doenças cardiometabólicas em uma grande amostra de adultos com paralisia cerebral (PC)		

document-id	Context Source	Context Mode X	Context Mode y	Source Sentence	Mode x Sentence	Mode y Sentence	Ranking Type	Comment
29704244	To examine the longitudinal trends of cardiometabolic diseases in a large sample of adults with cerebral palsy (CP). The Optum Clinformatics Data Mart is a de-identified nationwide claims database of beneficiaries from a single private payer. Beneficiaries were included if they had an International Classification of Diseases, Ninth Revision, Clinical Modification code for a diagnosis of CP. Adults with at least 3 years of continuous enrollment on a single plan between 2002 and 2009 were included in the final analyses (n=2659). We examined the longitudinal trends of incident diabetes mellitus, hypercholesterolemia, hypertension, cardiac dysrhythmias, and atherosclerosis, stratified by age categories: 18 to 39 years, 40 to 59 years, and 60 years and over.	Examinar as tendências longitudinais das doenças cardiometabólicas em uma grande amostra de adultos com paralisia cerebral (PC). O Optum Científicos é um banco de dados de contas de saúde de um único pagador privado. Os beneficiários foram incluídos se eles possuíam um código de Classificação Internacional de Doenças (CID), nona revisão, código de Modificação Clínica para o diagnóstico de PC. Adultos com pelo menos 3 anos de internação contínua em um único plano de 2002 a 2009 foram incluídos nas análises finais (n=2659). Examinamos as tendências longitudinais das doenças cardiometabólicas incidentes, hipercolesterolemia, hipertensão, disritmias cardíacas e aterosclerose, estratificadas por idade: 18 a 39 anos, 40 a 59 anos e 60 anos acima.	Examinar as tendências longitudinais de doenças cardiometabólicas em uma grande amostra de adultos com paralisia cerebral (PC). MÉTODO: A base de dados da Optum Clinatics de dados é um banco de dados de seguros privados de serviços de saúde de um único afiliado privado. Os beneficiários foram incluídos se possuíam codificado para a Classificação Internacional de Doenças, nona revisão, para diagnóstico de PC. Idosos com pelo menos 3 anos de cadastramento contínuo em um único plano de 2002 a 2009 foram incluídos nas análises finais (n=2659). RESULTADOS: Examinamos as tendências longitudinais das doenças cardiometabólicas incidentes, hipercolesterolemia, hipertensão, disritmias cardíacas e aterosclerose, estratificadas por idade: 18 a 39 anos, 40 a 59 anos e 60 anos acima.	We examined the longitudinal trends of incident diabetes mellitus, hypercholesterolemia, hypertension, cardiac dysrhythmias, and atherosclerosis, stratified by age categories: 18 to 39 years, 40 to 59 years, and 60 years and over.	Examinamos as tendências longitudinais das doenças cardiometabólicas incidentes, hipercolesterolemia, hipertensão, disritmos cardíacos e aterosclerose, estratificadas por idade: 18 a 39 anos, 40 a 59 anos e 60 anos acima.	Examinamos as tendências longitudinais das doenças cardiometabólicas incidentes, hipercolesterolemia, hipertensão, disritmos cardíacos e aterosclerose, estratificadas por idade: 18 a 39 anos, 40 a 59 anos e 60 anos acima.		
33533838	This paper aims to identify sociodemographic and care characteristics of dependent older adults, formal and family caregivers in municipalities from different Brazilian regions. A cross-sectional study was carried out with a sample of 175 people, of whom 64 were older adults, 27 formal caregivers, and 84 family caregivers. Semi-structured interviews were conducted with specific questions for each group on the theme of care and dependence. Most older adults were female, aged 80 years or older, with low education and have been dependent for four years or more. Older adults reported feelings of loneliness, pointed out difficulties in medical care, and 29% had only access to Primary Health Care actions.	O objetivo deste artigo é identificar características sociodemográficas e cuidados dos idosos dependentes, do cuidador formal e familiar em municípios de diferentes regiões do país. Trata-se de estudo transversal em uma amostra de 175 pessoas, sendo 64 idosos, 27 do cuidador formal e 84 do cuidador familiar. Entrevistas semiestruturadas foram realizadas com questões específicas para cada grupo quanto ao tema cuidado e dependência. A maioria dos idosos era do sexo feminino, com 80 anos ou mais, com baixa escolaridade e com vinculação a ações da Atenção Primária à Saúde. Os idosos apresentaram sentimentos de labilidade, apontaram dificuldades no cuidado médico e 29% tiveram acesso apenas às ações da Atenção Primária à Saúde.	O objetivo deste artigo é identificar características sociodemográficas e de atenção de idosos dependentes, com cuidadores formais e familiares, em municípios de diferentes regiões do país. Foi realizado estudo transversal com amostra de 175 pessoas, 64 eram idosos, 27 com cuidadores formais e 84 com familiares. Foram realizadas entrevistas semiestruturadas com perguntas específicas para cada grupo sobre a temática do atendimento e da dependência. A maioria dos idosos era do sexo feminino, com 80 anos ou mais, com baixa escolaridade e vem sendo dependente por quatro anos ou mais. Os idosos apresentaram sentimento de ansiedade, dificuldades no atendimento médico e 29% não tinham acesso a ações da Atenção Primária à Saúde.	Most older adults were female, aged 80 years or older, with low education and have been dependent for four years or more. Older adults reported feelings of loneliness, pointed out difficulties in medical care, and 29% had only access to Primary Health Care actions.	A maioria dos idosos era do sexo feminino, com 80 anos ou mais, com baixa escolaridade e com vinculação a ações da Atenção Primária à Saúde. Os idosos apresentaram sentimentos de labilidade, apontaram dificuldades no cuidado médico e 29% tiveram acesso apenas às ações da Atenção Primária à Saúde.	A maioria dos idosos era do sexo feminino, com 80 anos ou mais, com baixa escolaridade e vem sendo dependente por quatro anos ou mais. Os idosos apresentaram sentimento de ansiedade, dificuldades no atendimento médico e 29% não tinham acesso a ações da Atenção Primária à Saúde.		
29995076	To understand the meanings of care to brain dead potential organ donors for nurses, and construct a theoretical model. Qualitative study based on the Grounded Theory approach. Data were collected through open interviews with 12 nurses, distributed in three sample groups in a university hospital in northeastern Brazil, from December 2010 to June 2011. The phenomenon Unveiling multiple relationships and interactions of nurses in the complexity of patient care in brain dead potential donors is supported by the interrelationship of five categories and results from the need to organize care practices in the context of the intensive care unit, considering the factors involved in the relationship between nurses, staff and family and reveals challenges for nurses imposed by the complexity of the care process. The meaning of care to brain dead potential donors involves understanding the complexity of this patient who can save somebody's life through organ donation.	Compreender os significados os cuidados com os potenciais doadores de órgão cerebral para enfermeiros, e construir um modelo teórico. Estudo qualitativo baseado na abordagem da Teoria Fundamentada nos Dados, realizado em dezembro/2010 a junho/2011. O fenômeno envolvendo relações e interações múltiplas do enfermeiro na complexidade do cuidado com os potenciais doadores de órgão cerebral é sustentado pela interação de cinco categorias e é demonstrado pela necessidade de organização das práticas de cuidado no contexto da unidade de terapia intensiva, considerando as intervenências na relação entre enfermeiros, pessoal e família, além de revelar desafios para o enfermeiro diante da complexidade do processo de cuidar. O significado do cuidado com os potenciais doadores de órgão cerebral envolve compreensão da complexidade dessa pessoa que pode salvar a vida por doação de órgão.	Conhecer os significados do cuidado os potenciais doadores de órgãos evitáveis para enfermeiros, e construir um modelo teórico. Trata-se de estudo qualitativo baseado na metodologia Grounded Theory. Os dados foram coletados mediante entrevistas abertas com 12 enfermeiros, distribuídos em três grupos de amostra, de um hospital universitário do Nordeste do Brasil, de dezembro/2010 a junho/2011. O fenômeno Unveiling relações múltiplas e interações múltiplas do enfermeiro na complexidade da assistência do paciente em doadores potenciais para a doença de Alzheimer é apoiado por cinco categorias e resulta da necessidade de organização das práticas de cuidado no contexto da unidade de terapia intensiva, considerando os fatores envolvidos na relação entre enfermeiros, equipe e família e revela desafios para o enfermeiro diante da complexidade do processo de assistência. O significado do cuidado em doadores potenciais para a doação de órgãos	Qualitative study based on the Grounded Theory approach	Estudo qualitativo baseado na abordagem da Teoria Fundamentada nos Dados, realizado em dezembro/2010 a junho/2011.	Trata-se de estudo qualitativo baseado na metodologia Grounded Theory.		




document-id	Context Source	Context Mode X	Context Mode y	Source Sentence	Mode x Sentence	Mode y Sentence	Ranking Type	Comment
31578728	<p>Congenital myopathies comprise a clinical, histopathological, and genetic heterogeneous group of rare hereditary muscle diseases that are defined by architectural abnormalities in the muscle fibres. They are subdivided by the predominant structural pathological change on muscle biopsy, resulting in five subgroups: (1) core myopathies; (2) nemaline myopathies; (3) centronuclear myopathies; (4) congenital fibre type disproportion myopathy; and (5) myosin storage myopathy. Besides the clinical features, muscle biopsy, muscle imaging, and genetic analyses are essential in the diagnosis of congenital myopathies. Using next-generation sequencing techniques, a large number of new genes are being identified as the cause of congenital myopathies as well as new mutations in known genes.</p>	<p>As miopatias congênicas são um grupo clínico, histopatológico e genético heterogêneo de doenças musculares raras, definidas por anomaliasarquitetônicas nas fibras musculares. Elas são subdivididas por mudança estrutural predominante ao exame anatomopatológico das fibras musculares, resultando em cinco subgrupos: (1) miopatias centrais; (2) miopatias neurais; (3) miopatias centronucleares; (4) miopatias do tipo disproporção das fibras musculares; e (5) miopatia do tipo de sobrecarga por fibras musculares. Além das características clínicas, são realizadas biópsias de músculos, exames de imagem e análises genéticas. Além das características clínicas, são realizadas biópsias de músculos, exames de imagem e análises genéticas.</p>	<p>As miopatias congênicas são um grupo clínico, histopatológico e genético heterogêneo das doenças musculares hereditárias raras, as quais são definidas por alteraçõesarquitetônicas nas fibras musculares. Elas são subdivididas pela alteração estrutural predominante na biópsia muscular, resultando em cinco subgrupos: (1) miopatias do núcleo; (2) miopatias neurais; (3) miopatias centronucleares; (4) miopatias do tipo disproporcional congênita; e (5) miopatia de armazenamento de miócitos. Além das características clínicas, a biópsia muscular, o imagem muscular e as análises genéticas são essenciais no diagnóstico de miopatias congênicas. Com o uso de técnicas de sequenciamento de última geração, um grande número de novos genes são identificados como causa das miopatias congênicas, bem como novas mutações em genes conhecidos,</p>	<p>Congenital myopathies comprise a clinical, histopathological, and genetic heterogeneous group of rare hereditary muscle diseases that are defined by architectural abnormalities in the muscle fibres.</p>	<p>As miopatias congênicas são um grupo clínico, histopatológico e genético heterogêneo de doenças musculares raras, definidas por anomaliasarquitetônicas nas fibras musculares.</p>	<p>As miopatias congênicas são um grupo clínico, histopatológico e genético heterogêneo das doenças musculares hereditárias raras, as quais são definidas por alteraçõesarquitetônicas nas fibras musculares.</p>		
31578728	<p>Congenital myopathies comprise a clinical, histopathological, and genetic heterogeneous group of rare hereditary muscle diseases that are defined by architectural abnormalities in the muscle fibres. They are subdivided by the predominant structural pathological change on muscle biopsy, resulting in five subgroups: (1) core myopathies; (2) nemaline myopathies; (3) centronuclear myopathies; (4) congenital fibre type disproportion myopathy; and (5) myosin storage myopathy. Besides the clinical features, muscle biopsy, muscle imaging, and genetic analyses are essential in the diagnosis of congenital myopathies. Using next-generation sequencing techniques, a large number of new genes are being identified as the cause of congenital myopathies as well as new mutations in known genes.</p>	<p>As miopatias congênicas são um grupo clínico, histopatológico e genético heterogêneo de doenças musculares raras, definidas por anomaliasarquitetônicas nas fibras musculares. Elas são subdivididas por mudança estrutural predominante ao exame anatomopatológico das fibras musculares, resultando em cinco subgrupos: (1) miopatias centrais; (2) miopatias neurais; (3) miopatias centronucleares; (4) miopatias do tipo disproporção das fibras musculares; e (5) miopatia do tipo de sobrecarga por fibras musculares. Além das características clínicas, são realizadas biópsias de músculos, exames de imagem e análises genéticas. Além das características clínicas, são realizadas biópsias de músculos, exames de imagem e análises genéticas.</p>	<p>As miopatias congênicas são um grupo clínico, histopatológico e genético heterogêneo das doenças musculares hereditárias raras, as quais são definidas por alteraçõesarquitetônicas nas fibras musculares. Elas são subdivididas pela alteração estrutural predominante na biópsia muscular, resultando em cinco subgrupos: (1) miopatias do núcleo; (2) miopatias neurais; (3) miopatias centronucleares; (4) miopatias do tipo disproporcional congênita; e (5) miopatia de armazenamento de miócitos. Além das características clínicas, a biópsia muscular, o imagem muscular e as análises genéticas são essenciais no diagnóstico de miopatias congênicas. Com o uso de técnicas de sequenciamento de última geração, um grande número de novos genes são identificados como causa das miopatias congênicas, bem como novas mutações em genes conhecidos,</p>	<p>They are subdivided by the predominant structural pathological change on muscle biopsy, resulting in five subgroups: (1) core myopathies; (2) nemaline myopathies; (3) centronuclear myopathies; (4) congenital fibre type disproportion myopathy; and (5) myosin storage myopathy.</p>	<p>Elas são subdivididas por mudança estrutural predominante ao exame anatomopatológico das fibras musculares, resultando em cinco subgrupos: (1) miopatias centrais; (2) miopatias neurais; (3) miopatias centronucleares; (4) miopatias do tipo disproporção das fibras musculares; e (5) miopatia do tipo de sobrecarga por fibras musculares.</p>	<p>Elas são subdivididas pela alteração estrutural predominante na biópsia muscular, resultando em cinco subgrupos: (1) miopatias do núcleo; (2) miopatias neurais; (3) miopatias centronucleares; (4) miopatias do tipo disproporcional congênita; e (5) miopatia de armazenamento de miócitos</p>		
32920609	<p>The aim of this study was to evaluate the degree of conversion, cytotoxicity, solubility and pH of photopolymerizable calciumbased cements submitted to preheating. The degree of conversion was analyzed by Fourier transform infrared, cytotoxicity by the MTT test and solubility through loss of mass. The data were subjected to statistical tests (ANOVA / Tukey's, p&lt;0.05). The photopolymerizable materials showed a low degree of conversion, regardless of preheating. All materials caused a reduction in cell viability at 24 hours and 7 days, with the Dycal (control) being more cytotoxic. Heat had a positive effect on Bical at 7 days. Dycal is the most soluble material. Heat had no effect on the solubility or pH of the polymerizable materials.</p>	<p>O objetivo deste estudo foi avaliar o grau de conversão, a citotoxicidade, a solubilidade e o pH dos cimentos fotopolimerizantes de cálcio submetidos a pré-escape. O grau de conversão foi analisado pela transformação de Fourier no infravermelho, a citotoxicidade pelo teste MTT e a solubilidade por perda de massa. Os dados foram submetidos a testes estatísticos (ANOVA / Tukey, p&lt;0,05). Os cimentos fotopolimerizantes apresentaram grau de conversão baixo, independentemente do pré-escape. Todos os materiais provocaram redução na viabilidade celular aos 24 horas e aos 7 dias, com o Dycal (controle) sendo mais citotóxico. O calor teve efeito positivo na solução e no pH dos cimentos fotopolimerizantes.</p>	<p>O objetivo deste trabalho foi avaliar o grau de conversão, citotoxicidade, solubilidade e pH de cimento fotopolimerizado de cálcio-baseado submetidos ao pré-escape. Analisou-se o grau de conversão pelo método de Fourier transform infrared, citotoxicidade pelo teste de MTT e solubilidade através da perda de massa. Os dados foram submetidos a testes estatísticos (ANOVA / Tukey, p&lt;0,05). Os materiais fotopolimerizados apresentaram um grau de conversão baixo, independentemente do pré-escape. Todos os materiais provocaram redução na viabilidade celular aos 24 horas e aos 7 dias, com o Dycal (controle) como mais citotóxico. O calor teve efeito positivo no Bical aos 7 dias. Dycal é o material mais solúvel.</p>	<p>All materials caused a reduction in cell viability at 24 hours and 7 days, with the Dycal (control) being more cytotoxic.</p>	<p>Os cimentos fotopolimerizantes apresentaram grau de conversão baixo, independentemente do pré-escape.</p>	<p>Todos os materiais provocaram redução na viabilidade celular aos 24 horas e aos 7 dias, com o Dycal (controle) como mais citotóxico.</p>		




document-id	Context Source	Context Mode X	Context Mode y	Source Sentence	Mode x Sentence	Mode y Sentence	Ranking Type	Comment
32920609	The aim of this study was to evaluate the degree of conversion, cytotoxicity, solubility and pH of photopolymerizable calcium-based cements submitted to preheating. The degree of conversion was analyzed by Fourier transform infrared, cytotoxicity by the MTT test and solubility through loss of mass. The data were subjected to statistical tests (ANOVA / Tukey's, $p < 0.05$ ). The photopolymerizable materials showed a low degree of conversion, regardless of preheating. All materials caused a reduction in cell viability at 24 hours and 7 days, with the Dycal (control) being more cytotoxic. Heat had a positive effect on Biocal at 7 days. Dycal is the most soluble material. Heat had no effect on the solubility or pH of the polymerizable materials.	O objetivo deste estudo foi avaliar o grau de conversão, a citotoxicidade, a solubilidade e o pH dos cimentos fotopolimerizantes de cálcio submetidos a pré-escape. O grau de conversão foi analisado pela transformação de Fourier no infravermelho, a citotoxicidade pelo teste MTT e a solubilidade por perda de massa. Os dados foram submetidos a testes estatísticos (ANOVA / Tukey, $p < 0,05$ ). Os cimentos fotopolimerizantes apresentaram grau de conversão baixo, independentemente do pré-escape. Todos os materiais provocaram redução na viabilidade celular aos 24 horas e aos 7 dias, com o Dycal (controle) sendo mais citotóxico. O calor teve efeito positivo na solução e no pH dos cimentos fotopolimerizantes.	O objetivo deste trabalho foi avaliar o grau de conversão, citotoxicidade, solubilidade e pH de cimento fotopolimerizado de cálcio-baseado submetidos ao pré-escape. Analisou-se o grau de conversão pelo método de Fourier transform infrared, citotoxicidade pelo teste de MTT e solubilidade através da perda de massa. Os dados foram submetidos a testes estatísticos (ANOVA / Tukey, $p < 0,05$ ). Os materiais fotopolimerizados apresentaram um grau de conversão baixo, independentemente do pré-escape. Todos os materiais provocaram redução na viabilidade celular aos 24 horas e aos 7 dias, com o Dycal (controle) como mais citotóxico. O calor teve efeito positivo no Biocal aos 7 dias. Dycal é o material mais solúvel.	Heat had no effect on the solubility or pH of the polymerizable materials.	O calor teve efeito positivo na solução e no pH dos cimentos fotopolimerizantes.	O calor teve efeito positivo no Biocal aos 7 dias.		
32095107	To evaluate trends in publications on unicompartmental knee arthroplasty (UKA) from the past to the present. As a web-based analysis, all UKA research articles, editorial letters, case reports, reviews and meeting abstracts published on the Thomson Reuters' Web of Knowledge were evaluated. The period from the first publication in 1980 to January 2019 was divided into four decades and publications were evaluated. Research articles were grouped into headings according to the subjects. A total of 1,658 publications were evaluated in this study.	Avaliar a evolução das publicações sobre artroplastias unicompartmental do joelho (AUJ) entre o passado e o presente. Por meio de análise web, foram avaliados todos os artigos de pesquisa sobre AUJ, artigos editoriais, relatos de caso, revisões e resumos de reuniões publicados na plataforma Thomson Reuters' Web of Knowledge. O período entre a primeira publicação em 1980 e 2019 foi dividido em quatro décadas e foram avaliados os artigos. Os artigos foram agrupados em títulos de acordo com os sujeitos. No total, foram avaliadas 1.458 publicações. O termo mais utilizado no título das publicações foi 'outcome', com 260 itens, seguido de 'biomecânica e cinemática', com 99 itens.	Avaliar as tendências das publicações sobre artroplastias uni-compartmentais do joelho (AUJ), entre o passado e o presente. Por meio de uma análise web, todos os artigos de pesquisa em AUJ, artigos editoriais, relatos de caso, revisões e resumos de reuniões publicados na plataforma Thomson Reuters Web of Knowledge foram avaliados. Os artigos de pesquisa foram agrupados em títulos de acordo com os sujeitos. Ao todo, 1.651 artigos foram avaliados neste estudo. O termo mais utilizado no título das publicações foi "desfecho", com 260 itens, seguido de "biomecânica e cinemática", com 99 itens.	To evaluate trends in publications on unicompartmental knee arthroplasty (UKA) from the past to the present.	Avaliar a evolução das publicações sobre artroplastias unicompartmental do joelho (AUJ) entre o passado e o presente.	Avaliar as tendências das publicações sobre artroplastias uni-compartmentais do joelho (AUJ), entre o passado e o presente.		
34190811	To verify the anatomophysiological, psychological, and sociocultural factors of the mother-newborn binomial, as well as their association with the initiation of breastfeeding. Cross-sectional study conducted in a maternity hospital in Lima, Peru. The sample consisted of 304 healthy neonates and their mothers. Breastfeeding performance was estimated by clinical assessment using the Clinical Evaluation of Breastfeeding Efficacy scale and maternal self-perception by the Breastfeeding Self-Efficacy Scale. Multivariate Prevalence Ratios (PR) were estimated by Poisson Regression with Robust Variance and 95% confidence intervals (CI). The prevalence of clinical low breastfeeding performance was 27.6%.	Verificar os fatores anatomofisiológicos, psicológicos e socioculturais do binômio mãe-bebê e sua associação com a iniciação do aleitamento materno. Estudo transversal realizado em uma maternidade em Lima, Peru. A amostra foi composta por 304 neonatos saudáveis e suas mães. A performance em aleitamento materno foi estimada por meio de escala de avaliação clínica por meio da escala Clinical Evaluation of Breastfeeding Efficacy Scale e autopercepção materna pela escala de autoeficácia materna. Foram estimadas razões de prevalência (RP) multivariadas por regressão de Poisson com Variância Robust e intervalos de confiança de 95% (IC). A prevalência de baixa desempenho clínico foi de 27,6%.	Verificar os fatores anatomofisiológicos, psicológicos e socioculturais do binômio mãe-bebê, bem como sua associação com a iniciação da amamentação. Estudo transversal realizado em uma maternidade de Lima, Peru. A amostra foi composta por 304 neonatos saudáveis e suas mães. A performance da amamentação foi estimada por avaliação clínica usando a escala de eficácia da amamentação e a autopercepção materna pela Escala de Autopercepção da Amamentação. As Razões de Prevalências Multivariadas (RP) foram estimadas por Regressão de Poisson com Variância Robust e intervalos de confiança de 95% (IC). A prevalência de desempenho clínico de aleitamento materno de baixo desempenho foi de 27,6%.	To verify the anatomophysiological, psychological, and sociocultural factors of the mother-newborn binomial, as well as their association with the initiation of breastfeeding.	Verificar os fatores anatomofisiológicos, psicológicos e socioculturais do binômio mãe-bebê e sua associação com a iniciação do aleitamento materno.	Verificar os fatores anatomofisiológicos, psicológicos e socioculturais do binômio mãe-bebê, bem como sua associação com a iniciação da amamentação.		
34190811	To verify the anatomophysiological, psychological, and sociocultural factors of the mother-newborn binomial, as well as their association with the initiation of breastfeeding. Cross-sectional study conducted in a maternity hospital in Lima, Peru. The sample consisted of 304 healthy neonates and their mothers. Breastfeeding performance was estimated by clinical assessment using the Clinical Evaluation of Breastfeeding Efficacy scale and maternal self-perception by the Breastfeeding Self-Efficacy Scale. Multivariate Prevalence Ratios (PR) were estimated by Poisson Regression with Robust Variance and 95% confidence intervals (CI). The prevalence of clinical low breastfeeding performance was 27.6%.	Verificar os fatores anatomofisiológicos, psicológicos e socioculturais do binômio mãe-bebê e sua associação com a iniciação do aleitamento materno. Estudo transversal realizado em uma maternidade em Lima, Peru. A amostra foi composta por 304 neonatos saudáveis e suas mães. A performance em aleitamento materno foi estimada por meio de escala de avaliação clínica por meio da escala Clinical Evaluation of Breastfeeding Efficacy Scale e autopercepção materna pela escala de autoeficácia materna. Foram estimadas razões de prevalência (RP) multivariadas por regressão de Poisson com Variância Robust e intervalos de confiança de 95% (IC). A prevalência de baixa desempenho clínico foi de 27,6%.	Verificar os fatores anatomofisiológicos, psicológicos e socioculturais do binômio mãe-bebê, bem como sua associação com a iniciação da amamentação. Estudo transversal realizado em uma maternidade de Lima, Peru. A amostra foi composta por 304 neonatos saudáveis e suas mães. A performance da amamentação foi estimada por avaliação clínica usando a escala de eficácia da amamentação e a autopercepção materna pela Escala de Autopercepção da Amamentação. As Razões de Prevalências Multivariadas (RP) foram estimadas por Regressão de Poisson com Variância Robust e intervalos de confiança de 95% (IC). A prevalência de desempenho clínico de aleitamento materno de baixo desempenho foi de 27,6%.	Breastfeeding performance was estimated by clinical assessment using the Clinical Evaluation of Breastfeeding Efficacy scale and maternal self-perception by the Breastfeeding Self-Efficacy Scale.	A performance em aleitamento materno foi estimada por meio de escala de avaliação clínica por meio da escala Clinical Evaluation of Breastfeeding Efficacy Scale e autopercepção materna pela escala de autoeficácia materna.	A performance da amamentação foi estimada por avaliação clínica usando a escala de eficácia da amamentação e a autopercepção materna pela Escala de Autopercepção da Amamentação.		


document-id	Context Source	Context Mode X	Context Mode y	Source Sentence	Mode x Sentence	Mode y Sentence	Ranking Type	Comment
31433024	To analyze the performance of the Expanded Family Health Centers in the state of São Paulo in the Work Process Organization dimension in evaluating the PMAQ-AB , according to the Paulista Social Responsibility Index. A cross-sectional, descriptive, exploratory study with a quantitative approach based on data from the 2nd cycle of the National Program for Improving Access and Quality in Primary Care ( PMAQ-AB ). There were 149 teams from 47 municipalities distributed in five groups analyzed by simple frequency, according to the Paulista Social Responsibility Index. The teams from group four (municipalities of low wealth and intermediate social indicators) achieved satisfactory and very satisfactory performance (90.9%).	Analisar o desempenho das unidades ampliadas de saúde da família de São Paulo na dimensão do Processo de Organização do Processo de Atenção Básica (PMAQ-AB) , segundo o Índice de Responsabilidade Social Paulista. Estudo transversal, descritivo e exploratório, com abordagem quantitativa a partir dos dados do 2o ciclo do Programa Nacional de Melhoria do Acesso e da Qualidade da Atenção Básica (PMAQ-AB). Foram incluídas 149 equipes provenientes de 47 municípios, distribuídas em cinco grupos, analisadas por frequência simples, segundo o Índice de Responsabilidade Social Paulista. O grupo quatro (municipalidades de baixa riqueza e indicadores sociais intermediários) obteve desempenho satisfatório e muito satisfatório (90,9%).	Analisar o desempenho dos Núcleos de Saúde da Família do estado de São Paulo na dimensão Organização do Processo de Trabalho – PMAQ-AB , segundo o Índice da responsabilidade social paulista. Estudo transversal, descritivo e exploratório, com abordagem quantitativa baseada nos dados do 2o ciclo do Programa Nacional de Melhoria do Acesso e da Qualidade da Atenção Básica ( PMAQ-AB ). Foram incluídas 149 equipes de 47 municípios distribuídas em cinco grupos analisados por frequência simples, segundo o Índice da responsabilidade social paulista. Os grupos do grupo quatro (municipalidades de baixa renda e indicadores sociais intermediários) apresentaram desempenho satisfatório e muito satisfatório (90,9%).	To analyze the performance of the Expanded Family Health Centers in the state of São Paulo in the Work Process Organization dimension in evaluating the PMAQ-AB , according to the Paulista Social Responsibility Index.	Analisar o desempenho das unidades ampliadas de saúde da família de São Paulo na dimensão do Processo de Organização do Processo de Atenção Básica (PMAQ-AB) , segundo o Índice de Responsabilidade Social Paulista.	Analisar o desempenho dos Núcleos de Saúde da Família do estado de São Paulo na dimensão Organização do Processo de Trabalho – PMAQ-AB , segundo o Índice da responsabilidade social paulista.		
34872137	The aim of the present study was to examine the relation between the PON1 polymorphisms and recurrent pregnancy loss (RPL). In a cross-sectional study, blood samples were collected from 100 females. DNA was extracted and PON1 genotypes were determined by polymerase chain reaction (PCR) amplification. Regarding PON1 L55M, the mutated allele (M) frequency was found in 70.5% in RPL and in 53.5% in controls; the M allele was significantly associated with an increased risk of RPL (adjusted odds ratio [OR<sub>adj</sub>] <sub>=> 2.07; 95% confidence interval [CI]; <i>p</i> < 0.001).	O objetivo do presente estudo foi examinar a relação entre os polimorfismos dos genótipos da polimerase e a perda de gravidez recorrente (LPR). Em um estudo transversal, amostras de sangue foram coletadas de 100 mulheres. O DNA foi extraído e os genótipos da polimerase foram determinados por amplificação em cadeia da reação em cadeia da polimerase (PCR). Em relação à polimerase L55M, a frequência da alelíia mutada (M) foi encontrada em 70,5% na LPR e em 53,5% nos controles; a alelíia M foi significativamente associada a um risco aumentado de LPR (odds ratio ajustado [OR<sub>adj</sub>] <sub>=> 2,07; intervalo de confiança [IC]; <i>p</i> < 0,001).	O objetivo do presente estudo foi examinar a relação entre os polimorfismos dos genótipos da polimerase (PCR). Em relação ao <i>pont1</i> L55M, a frequência de alelíia mutada (M) foi encontrada em 70,5% na LPR e em 53,5% nos controles; a alelíia M foi significativamente associada a um risco aumentado de LPR (odds ratio ajustado [OR<sub>adj</sub>] <sub>=> 2,07; intervalo de confiança [IC]; <i>p</i> < 0,001).	The aim of the present study was to examine the relation between the PON1 polymorphisms and recurrent pregnancy loss (RPL).	O objetivo do presente estudo foi examinar a relação entre os polimorfismos dos genótipos da polimerase e a perda de gravidez recorrente (LPR).	O objetivo do presente estudo foi examinar a relação entre os polimorfismos dos genótipos da polimerase e a perda de gravidez recorrente.		
34872137	The aim of the present study was to examine the relation between the PON1 polymorphisms and recurrent pregnancy loss (RPL). In a cross-sectional study, blood samples were collected from 100 females. DNA was extracted and PON1 genotypes were determined by polymerase chain reaction (PCR) amplification. Regarding PON1 L55M, the mutated allele (M) frequency was found in 70.5% in RPL and in 53.5% in controls; the M allele was significantly associated with an increased risk of RPL (adjusted odds ratio [OR<sub>adj</sub>] <sub>=> 2.07; 95% confidence interval [CI]; <i>p</i> < 0.001).	O objetivo do presente estudo foi examinar a relação entre os polimorfismos dos genótipos da polimerase e a perda de gravidez recorrente (LPR). Em um estudo transversal, amostras de sangue foram coletadas de 100 mulheres. O DNA foi extraído e os genótipos da polimerase foram determinados por amplificação em cadeia da reação em cadeia da polimerase (PCR). Em relação à polimerase L55M, a frequência da alelíia mutada (M) foi encontrada em 70,5% na LPR e em 53,5% nos controles; a alelíia M foi significativamente associada a um risco aumentado de LPR (odds ratio ajustado [OR<sub>adj</sub>] <sub>=> 2,07; intervalo de confiança [IC]; <i>p</i> < 0,001).	O objetivo do presente estudo foi examinar a relação entre os polimorfismos do <i>pont1</i> e a perda de gravidez recorrente. Métodos: Em um estudo transversal, amostras de sangue foram coletadas de 100 mulheres. O DNA foi extraído e os genótipos do <i>pont1</i> foram determinados por reação em cadeia da polimerase (PCR). Em relação ao <i>pont1</i> L55M, a frequência de alelíia mutada (M) foi encontrada em 70,5% no <i>RN</i> e em 53,5% nos controles; a alelíia M foi significativamente associada a um risco aumentado de <i>RN</i> (odds ratio ajustado [OR<sub>aj</sub>] <sub>=> 2,07; intervalo de confiança de 95% [IC95%]; <i>p</i> < 0,001).	DNA was extracted and PON1 genotypes were determined by polymerase chain reaction (PCR) amplification.	O DNA foi extraído e os genótipos da polimerase foram determinados por amplificação em cadeia da reação em cadeia da polimerase (PCR).	O DNA foi extraído e os genótipos do <i>pont1</i> foram determinados por reação em cadeia da polimerase (PCR).		
34872137	The aim of the present study was to examine the relation between the PON1 polymorphisms and recurrent pregnancy loss (RPL). In a cross-sectional study, blood samples were collected from 100 females. DNA was extracted and PON1 genotypes were determined by polymerase chain reaction (PCR) amplification. Regarding PON1 L55M, the mutated allele (M) frequency was found in 70.5% in RPL and in 53.5% in controls; the M allele was significantly associated with an increased risk of RPL (adjusted odds ratio [OR<sub>adj</sub>] <sub>=> 2.07; 95% confidence interval [CI]; <i>p</i> < 0.001).	O objetivo do presente estudo foi examinar a relação entre os polimorfismos dos genótipos da polimerase e a perda de gravidez recorrente (LPR). Em um estudo transversal, amostras de sangue foram coletadas de 100 mulheres. O DNA foi extraído e os genótipos da polimerase foram determinados por amplificação em cadeia da reação em cadeia da polimerase (PCR). Em relação à polimerase L55M, a frequência da alelíia mutada (M) foi encontrada em 70,5% na LPR e em 53,5% nos controles; a alelíia M foi significativamente associada a um risco aumentado de LPR (odds ratio ajustado [OR<sub>adj</sub>] <sub>=> 2,07; intervalo de confiança [IC]; <i>p</i> < 0,001).	O objetivo do presente estudo foi examinar a relação entre os polimorfismos do <i>pont1</i> e a perda de gravidez recorrente. Métodos: Em um estudo transversal, amostras de sangue foram coletadas de 100 mulheres. O DNA foi extraído e os genótipos da polimerase foram determinados por reação em cadeia da polimerase (PCR). Em relação ao <i>pont1</i> L55M, a frequência de alelíia mutada (M) foi encontrada em 70,5% no <i>RN</i> e em 53,5% nos controles; a alelíia M foi significativamente associada a um risco aumentado de <i>RN</i> (odds ratio ajustado [OR<sub>aj</sub>] <sub>=> 2,07; intervalo de confiança de 95% [IC95%]; <i>p</i> < 0,001).	Regarding PON1 L55M, the mutated allele (M) frequency was found in 70.5% in RPL and in 53.5% in controls;	Em relação à polimerase L55M, a frequência da alelíia mutada (M) foi encontrada em 70,5% na LPR e em 53,5% nos controles;	Em relação ao <i>pont1</i> L55M, a frequência de alelíia mutada (M) foi encontrada em 70,5% no <i>RN</i> e em 53,5% nos controles;		

document-id	Context Source	Context Mode X	Context Mode y	Source Sentence	Mode x Sentence	Mode y Sentence	 Ranking Type	Comment
	<p>Anti-angiogenic therapy with bevacizumab, an inhibitor of vascular endothelial growth factor, is commonly used in metastatic colorectal cancer and is rarely associated with gastrointestinal perforation, perforation being more frequent in the primary tumor site or at the anastomotic level. We present the case of a 64-year-old male with stage IV rectal adenocarcinoma who was on palliative chemotherapy with FOLFOX and bevacizumab. After the 4th chemotherapy cycle, our patient started fever and epigastric pain. He was hemodynamically stable, and signs of peritoneal irritation were absent. There were no alterations in the abdominal X-ray, and C-reactive protein was markedly elevated.</p>	<p>A quimioterapia anti-angiogénica com bevacizumab, um inibidor de fator de crescimento vascular endotelial, é comum no cancro colorrectal metastático e geralmente associada à perfuração gastrointestinal, sendo mais frequente no sítio tumoral primário ou no nível anastomótico. Apresentamos o caso de um homem de 64 anos, sexo oncológico de adenocarcinoma do reto estadio IV sob quimioterapia utilizando FOLFOX e bevacizumab. Após o 4º ciclo de quimioterapia, o paciente recorreu ao Serviço de Urgência com febre e dor epigástrica; à observação, verificou-se estabilidade hemodinâmica e ausência de sinais de irritação peritoneal. Não houve alterações na radiografia abdominal, e proteína C-reativa estava marcadamente elevada.</p>	<p>A terapêutica antiangiogénica com bevacizumab, um inibidor de fator de crescimento endotelial vascular, é comum em cancro colo-rectal metastático e raramente associa-se com perfuração gastrointestinal. A perfuração é mais frequente no sítio tumoral primário ou no nível da anastomose. Apresentamos o caso de um homem de 64 anos, sexo masculino, com adenocarcinoma do reto estadio IV sob quimioterapia com FOLFOX e bevacizumab. Após o 4º ciclo de quimioterapia, o doente recorreu ao Serviço de Urgência com febre e dor epigástrica; à observação, verificou-se estabilidade hemodinâmica e ausência de sinais de irritação peritoneal. A proteína C-reativa estava marcadamente elevada, não havendo alterações na radiografia abdominal, e a proteína C-reativa estava marcadamente elevada.</p>	<p>Anti-angiogenic therapy with bevacizumab, an inhibitor of vascular endothelial growth factor, is commonly used in metastatic colorectal cancer and is rarely associated with gastrointestinal perforation, perforation being more frequent in the primary tumor site or at the anastomotic level.</p>	<p>A quimioterapia anti-angiogénica com bevacizumab, um inibidor de fator de crescimento vascular endotelial, é comum no cancro colorrectal metastático e geralmente associada à perfuração gastrointestinal, sendo mais frequente no sítio tumoral primário ou no nível anastomótico.</p>	<p>A terapêutica antiangiogénica com bevacizumab, um inibidor de fator de crescimento endotelial vascular, é comum em cancro colo-rectal metastático e raramente associa-se com perfuração gastrointestinal. A perfuração é mais frequente no sítio tumoral primário ou no nível da anastomose.</p>		
31691785	<p>This study analyzes time trends in verbal bullying, domestic violence, and involvement in fights with firearms among adolescents in Brazilian state capitals from 2009 to 2015. The study of trends uses data from the Brazilian National Survey of School Health (PeNSE) in 2009, 2012, and 2015 among ninth-graders enrolled in public and private schools in the country's 26 state capitals and the Federal District. The analysis focused on domestic violence, verbal bullying, and involvement in fights with cold steel weapons and firearms in the 30 days prior to the interview. Logistic regression was performed, adjusted for sociodemographic and behavioral characteristics, with analysis of each type of violence in Brazil and in the capital cities, according to sex. The trends were spatialized.</p>	<p>Trata-se de um estudo de tendência temporal das tendências temporais de bullying verbal, violência doméstica e envolvimento em brigas com arma de fogo entre adolescentes das capitais brasileiras entre 2009 e 2015. Utilizaram-se dados da Pesquisa Nacional de Saúde do Escolar (PeNSE) de 2009, 2012 e 2015 entre estudantes do nono ano de escolaridade em escolas públicas e privadas das 26 capitais brasileiras e do Distrito Federal. A análise centrou-se na violência doméstica, no bullying verbal e no envolvimento em brigas com arma de fogo de aço e com arma de fogo nos 30 dias anteriores à entrevista. Foi realizada regressão logística, ajustada para características sociodemográficas e comportamentais, com análise de cada tipo de violência no Brasil e nas capitais, segundo sexo.</p>	<p>Este estudo analisa a tendência temporal da violência verbal, violência doméstica e envolvimento em brigas com arma de fogo (AF) entre adolescentes das capitais brasileiras entre 2009 e 2015. A análise de tendência emprega dados da Pesquisa Nacional de Saúde do Escolar (PeNSE) de 2009, 2012 e 2015 das 26 capitais brasileiras e do Distrito Federal. A análise se concentrou em violência doméstica, violência verbal e envolvimento em brigas com armas de fogo (AF) nos 30 dias anteriores à entrevista. Foi realizada regressão logística ajustada por características sociodemográficas e comportamentais, com análise de cada tipo de violência no Brasil e nas capitais, segundo sexo. As tendências foram espacializadas.</p>	<p>This study analyzes time trends in verbal bullying, domestic violence, and involvement in fights with firearms among adolescents in Brazilian state capitals from 2009 to 2015.</p>	<p>Trata-se de um estudo de tendência temporal das tendências temporais de bullying verbal, violência doméstica e envolvimento em brigas com arma de fogo entre adolescentes das capitais brasileiras entre 2009 e 2015.</p>	<p>Este estudo analisa a tendência temporal da violência verbal, violência doméstica e envolvimento em brigas com arma de fogo (AF) entre adolescentes das capitais brasileiras entre 2009 e 2015.</p>		
31691785	<p>This study analyzes time trends in verbal bullying, domestic violence, and involvement in fights with firearms among adolescents in Brazilian state capitals from 2009 to 2015. The study of trends uses data from the Brazilian National Survey of School Health (PeNSE) in 2009, 2012, and 2015 among ninth-graders enrolled in public and private schools in the country's 26 state capitals and the Federal District. The analysis focused on domestic violence, verbal bullying, and involvement in fights with cold steel weapons and firearms in the 30 days prior to the interview. Logistic regression was performed, adjusted for sociodemographic and behavioral characteristics, with analysis of each type of violence in Brazil and in the capital cities, according to sex. The trends were spatialized.</p>	<p>Trata-se de um estudo de tendência temporal das tendências temporais de bullying verbal, violência doméstica e envolvimento em brigas com arma de fogo entre adolescentes das capitais brasileiras entre 2009 e 2015. Utilizaram-se dados da Pesquisa Nacional de Saúde do Escolar (PeNSE) de 2009, 2012 e 2015 entre estudantes do nono ano de escolaridade em escolas públicas e privadas das 26 capitais brasileiras e do Distrito Federal. A análise centrou-se na violência doméstica, no bullying verbal e no envolvimento em brigas com arma de fogo de aço e com arma de fogo nos 30 dias anteriores à entrevista. Foi realizada regressão logística, ajustada para características sociodemográficas e comportamentais, com análise de cada tipo de violência no Brasil e nas capitais, segundo sexo.</p>	<p>Este estudo analisa a tendência temporal da violência verbal, violência doméstica e envolvimento em brigas com arma de fogo (AF) entre adolescentes das capitais brasileiras entre 2009 e 2015. A análise de tendência emprega dados da Pesquisa Nacional de Saúde do Escolar (PeNSE) de 2009, 2012 e 2015 das 26 capitais brasileiras e do Distrito Federal. A análise se concentrou em violência doméstica, violência verbal e envolvimento em brigas com armas de fogo (AF) nos 30 dias anteriores à entrevista. Foi realizada regressão logística ajustada por características sociodemográficas e comportamentais, com análise de cada tipo de violência no Brasil e nas capitais, segundo sexo. As tendências foram espacializadas.</p>	<p>The analysis focused on domestic violence, verbal bullying, and involvement in fights with cold steel weapons and firearms in the 30 days prior to the interview.</p>	<p>A análise centrou-se na violência doméstica, no bullying verbal e no envolvimento em brigas com arma de fogo de aço e com arma de fogo nos 30 dias anteriores à entrevista.</p>	<p>A análise se concentrou em violência doméstica, violência verbal e envolvimento em brigas com armas de fogo (AF) nos 30 dias anteriores à entrevista.</p>		

document-id	Context Source	Context Mode X	Context Mode y	Source Sentence	Mode x Sentence	Mode y Sentence	Ranking Type	Comment
31038611	To compare the prevalence of cardiovascular risk factors in the adult population of Vitória, Espírito Santo, Brazil, in two surveys conducted by telephone interview (VIGITEL) or by clinic and laboratory exams during the National Health Interview Survey (NHIS). Data were collected from adults (≥ 18 years). In VIGITEL, 1,996 subjects (males = 38%) were interviewed. In NHIS, home visit followed by clinical and laboratory tests was made with 318 individuals (males = 48%) selected in 20 census tracts of the city. The prevalence of risk factors was adjusted to the estimated population of the city in 2013. Data are shown as prevalence and 95% confidence interval (95%CI). Similar values of prevalence were found in VIGITEL and NHIS, respectively, for smoking (8.2%; 95%CI 6.7-9.7% vs 10.0; 95%CI 6.4 - 13.6%) and hypertension (24.8%, 95%CI 22.6 - 27.0% vs 27.2%;	Comparar a prevalência de fatores de risco cardiovasculares na população adulta da Vitória, Espírito Santo, Brasil, em dois inquéritos realizados por entrevista telefônica (VIGITEL) ou por exames clínicos e laboratoriais durante a Pesquisa Nacional de Saúde (PNS). Foram coletados os dados de adultos (≥ 18 anos). No VIGITEL, foram entrevistados 1.996 indivíduos (≥ 38%). Na PNS, foram realizados exames clínicos e laboratoriais com 318 indivíduos (≥ 48%), selecionados em 20 setores censitários da cidade. A prevalência dos fatores de risco foi ajustada à população estimada na cidade em 2013. Os dados são apresentados como prevalência e intervalo de confiança de 95% (IC95%). Na VIGITEL e na PNS, respectivamente, para tabagismo (8,2; IC95% 6,7-8,7% vs 10,0; IC95% 6,4 - 13,6%) e hipertensão (24,8%; IC95% 22,6 - 27,0% vs 27,2%;	Comparar a prevalência de fatores de risco cardiovasculares na população adulta da cidade de Vitória, Espírito Santo, Brasil, em dois inquéritos, realizados por entrevista telefônica (Vigitel) ou por exames clínicos e laboratoriais, durante a Pesquisa Nacional de Saúde (PNS). Os dados foram obtidos por meio de entrevista telefônica (Vigitel) ou por meio de exames clínicos e laboratoriais, durante a Pesquisa Nacional de Saúde (PNS). A prevalência de fatores de risco foi ajustada à população estimada na cidade em 2013. Os dados são mostrados como prevalência e intervalo de confiança de 95% (IC95%). Prevalências similares foram encontradas em VIGITEL e PNS, respectivamente, para tabagismo (8%; IC95% 6,7-8,7% vs 10,0; IC95% 6,4 - 13,6%) e hipertensão (24,8%; IC95% 22,6 - 27,0% vs 27,2%;	To compare the prevalence of cardiovascular risk factors in the adult population of Vitória, Espírito Santo, Brazil, in two surveys conducted by telephone interview (VIGITEL) or by clinic and laboratory exams during the National Health Interview Survey (NHIS).	Comparar a prevalência de fatores de risco cardiovasculares na população adulta da Vitória, Espírito Santo, Brasil, em dois inquéritos realizados por entrevista telefônica (VIGITEL) ou por exames clínicos e laboratoriais durante a Pesquisa Nacional de Saúde (PNS).	Comparar a prevalência de fatores de risco cardiovasculares na população adulta da cidade de Vitória, Espírito Santo, Brasil, em dois inquéritos, realizados por entrevista telefônica (Vigitel) ou por exames clínicos e laboratoriais, durante a Pesquisa Nacional de Saúde (PNS).		
34787179	This is a cross-sectional study with 2,909 participants (aged ≥18 years) from the baseline of the Cohort of Universities of Minas Gerais [CUME - Coorte de Universidades Mineiras] which verified the association between alcohol consumption and overweight. Data on sociodemographic factors, lifestyle, eating habits, anthropometric factors and clinical conditions were collected through an online questionnaire. Body mass index ≥ 25 kg/m <sup>2</sup> was considered an indicator of overweight. The daily consumption of alcohol was evaluated in grams (alcohol) and according to type in milliliters (beer, wine, hard liquor). The prevalence of alcohol consumption and overweight was 73.6% and 40.8%, respectively.	Apresenta-se um estudo transversal com 2.309 participantes (idade ≥18 anos) provenientes da linha de base da Coorte de Universidades Mineiras [CUME - Coorte de Universidades Mineiras] que verificou a associação entre consumo de álcool e excesso de peso. Foram coletados dados referentes a fatores sociodemográficos, de estilo de vida, hábitos alimentares, fatores antropométricos e condições clínicas. Considerou-se indicador de excesso de peso o índice de massa corporal ≥ 25 kg/m<sup>2</sup>. O consumo diário de álcool foi avaliado em gramas (álcool) e segundo tipo em mililitros ( cerveja, vinho, bebida alcoólica). A prevalência de consumo de álcool e excesso de peso foi de 73,6% e 40,8%, respectivamente.	Este é um estudo transversal com 2.979 participantes (idade ≥18 anos) da linha de base da Coorte de Universidades de Minas Gerais (CUME), que verificou a associação entre consumo de álcool e excesso de peso. Os dados de fatores sociodemográficos, estilo de vida, hábitos alimentares, fatores antropométricos e condições clínicas foram coletados por meio de questionário online. O índice de massa corporal ≥ 25 kg/m2 foi considerado um indicador de excesso de peso. O consumo diário de álcool foi avaliado em gramas (álcool) e por tipo em mililitros (bebidas, vinho, liquor). A prevalência de consumo de álcool e excesso de peso foi de 73,6% e 40,8%, respectivamente.	Data on sociodemographic factors, lifestyle, eating habits, anthropometric factors and clinical conditions were collected through an online questionnaire.	Foram coletados dados referentes a fatores sociodemográficos, de estilo de vida, hábitos alimentares, fatores antropométricos e condições clínicas.	Os dados de fatores sociodemográficos, estilo de vida, hábitos alimentares, fatores antropométricos e condições clínicas foram coletados por meio de questionário online.		
34787179	This is a cross-sectional study with 2,909 participants (aged ≥18 years) from the baseline of the Cohort of Universities of Minas Gerais [CUME - Coorte de Universidades Mineiras] which verified the association between alcohol consumption and overweight. Data on sociodemographic factors, lifestyle, eating habits, anthropometric factors and clinical conditions were collected through an online questionnaire. Body mass index ≥ 25 kg/m <sup>2</sup> was considered an indicator of overweight. The daily consumption of alcohol was evaluated in grams (alcohol) and according to type in milliliters (beer, wine, hard liquor). The prevalence of alcohol consumption and overweight was 73.6% and 40.8%, respectively.	Apresenta-se um estudo transversal com 2.309 participantes (idade ≥18 anos) provenientes da linha de base da Coorte de Universidades Mineiras [CUME - Coorte de Universidades Mineiras] que verificou a associação entre consumo de álcool e excesso de peso. Foram coletados dados referentes a fatores sociodemográficos, de estilo de vida, hábitos alimentares, fatores antropométricos e condições clínicas. Considerou-se indicador de excesso de peso o índice de massa corporal ≥ 25 kg/m<sup>2</sup>. O consumo diário de álcool foi avaliado em gramas (álcool) e segundo tipo em mililitros ( cerveja, vinho, bebida alcoólica). A prevalência de consumo de álcool e excesso de peso foi de 73,6% e 40,8%, respectivamente.	Este é um estudo transversal com 2.979 participantes (idade ≥18 anos) da linha de base da Coorte de Universidades de Minas Gerais (CUME), que verificou a associação entre consumo de álcool e excesso de peso. Os dados de fatores sociodemográficos, estilo de vida, hábitos alimentares, fatores antropométricos e condições clínicas foram coletados por meio de questionário online. O índice de massa corporal ≥ 25 kg/m2 foi considerado um indicador de excesso de peso. O consumo diário de álcool foi avaliado em gramas (álcool) e por tipo em mililitros (bebidas, vinho, liquor). A prevalência de consumo de álcool e excesso de peso foi de 73,6% e 40,8%, respectivamente.	The daily consumption of alcohol was evaluated in grams (alcohol) and according to type in milliliters (beer, wine, hard liquor).	O consumo diário de álcool foi avaliado em gramas (álcool) e segundo tipo em mililitros ( cerveja, vinho, bebida alcoólica).	O consumo diário de álcool foi avaliado em gramas (álcool) e por tipo em mililitros (bebidas, vinho, liquor).		
34284408	The purpose of our study is to evaluate intraobserver and interobserver reliability of modified Waldenström classification system for Legg-Calvé-Perthes disease and assess the influence of the professional's area of expertise in the assessment. Twelve evaluators assessed 40 pairs of pelvic radiographs of patients with Legg-Calvé-Perthes disease. After two weeks, a new evaluation was performed by the same evaluators. Kappa and Kendall's W indexes were used to evaluate both intraobserver and interobserver reliability and determine the influence of the evaluators' experience and area of expertise. The average intraobserver kappa value was 0.394, with a reasonable agreement level.	O objetivo deste estudo foi avaliar a confiabilidade intraobservador e interobservador da classificação modificada de Waldenström na doença de Legg-Calvé-Perthes e verificar a influência da área de especialização do profissional. Doze avaliadores avaliaram 40 pares de radiografias pélvicas de pacientes com doença de Legg-Calvé-Perthes. Após duas semanas, uma nova avaliação foi realizada pelos mesmos avaliadores. Os valores de Kappa e Kendall's W foram usados para avaliar a confiabilidade intraobservador e interobservador e verificar a influência da experiência e da área de especialização dos avaliadores. O valor médio de Kappa intraobservador foi 0.374, com nível de concordância favorável. O valor de Kappa interobservador foi 0.243, com nível de concordância favorável.	O objetivo deste estudo é avaliar a confiabilidade intraobservador e interobservador do sistema de classificação de Waldenström modificado para a doença de Legg-Calvé-Perthes e avaliar a influência da área de experiência do profissional. Doze avaliadores avaliaram 40 pares de radiografias pélvicas de pacientes com doença de Legg-Calvé-Perthes. Depois de duas semanas, uma nova avaliação foi realizada pelos mesmos avaliadores. Para avaliar a confiabilidade intraobservador e interobservador foi determinada pelos índices de Kappa e Kendall's W, e para determinar a influência da experiência e da área de experiência dos avaliadores. A média do valor de Kappa intraobservador foi 0.394 com nível de concordância razoável.	After two weeks, a new evaluation was performed by the same evaluators. Kappa and Kendall's W indexes were used to evaluate both intraobserver and interobserver reliability and determine the influence of the evaluators' experience and area of expertise.	Após duas semanas, uma nova avaliação foi realizada pelos mesmos avaliadores. Os valores de Kappa e Kendall's W foram usados para avaliar a confiabilidade intraobservador e interobservador e verificar a influência da experiência e da área de especialização dos avaliadores.	Para avaliar a confiabilidade intraobservador e interobservador foi determinada pelos índices de Kappa e Kendall's W, e para determinar a influência da experiência e da área de experiência dos avaliadores.		


document-id	Context Source	Context Mode X	Context Mode y	Source Sentence	Mode x Sentence	Mode y Sentence	 Ranking Type	Comment
34248408	<p>The purpose of our study is to evaluate intraobserver and interobserver reliability of modified Waldenström classification system for Legg-Calvé-Perthes disease and assess the influence of the professional's area of expertise in the assessment. Twelve evaluators assessed 40 pairs of pelvic radiographs of patients with Legg-Calvé-Perthes disease. After two weeks, a new evaluation was performed by the same evaluators. Kappa and Kendall's W indexes were used to evaluate both intraobserver and interobserver reliability and determine the influence of the evaluators' experience and area of expertise. The average intraobserver kappa value was 0.394, with a reasonable agreement level.</p>	<p>O objetivo deste estudo foi avaliar a confiabilidade intraobservador e interobservador da classificação modificada de Waldenström na doença de Legg-Calvé-Perthes e verificar a influência da área de especialização do profissional. Doze avaliadores avaliaram 40 pares de radiografias pélvicas de pacientes com doença de Legg-Calvé-Perthes. Após duas semanas, uma nova avaliação foi realizada pelos mesmos avaliadores. Os valores de Kappa e Kendall's W foram usados para avaliar a confiabilidade intraobservador e interobservador e verificar a influência da experiência e da área de especialização dos avaliadores. O valor médio de Kappa intraobservador foi 0.374, com nível de concordância favorável. O valor de Kappa interobservador foi 0.243, com nível de concordância favorável.</p>	<p>O objetivo deste estudo é avaliar a confiabilidade intraobservador e interobservador do sistema de classificação de Waldenström modificado para a doença de Legg-Calvé-Perthes e avaliar a influência da área de experiência do profissional. Doze avaliadores avaliaram 40 pares de radiografias pélvicas de pacientes com doença de Legg-Calvé-Perthes. Depois de duas semanas, uma nova avaliação foi realizada pelos mesmos avaliadores. Para avaliar a confiabilidade intraobservador e interobservador foi determinada pelos índices de Kappa e Kendall's W, e para determinar a influência da experiência e da área de experiência dos avaliadores. A média do valor de Kappa intraobservador foi 0,94 com nível de concordância razoável.</p>	<p>The average intraobserver kappa value was 0.394, with a reasonable agreement level.</p>	<p>O valor de Kappa interobservador foi 0.243, com nível de concordância favorável.</p>	<p>A média do valor de Kappa intraobservador foi 0,94 com nível de concordância razoável.</p>		
31618358	<p>To collect data on the use of The Nutrition Risk in Critically Ill (NUTRIC) score. A systematic literature search was conducted in accordance with the Preferred Reporting Items for Systematic Reviews and Meta-Analyses (PRISMA) statement. Reviews, abstracts, dissertations, protocols and case reports were excluded from this review, to be included in the review, studies needed to specifically evaluate the NUTRIC score and to have been published in English, Spanish or Portuguese. We included 12 (0.8%) studies from our search in this review. Ten studies (83.3%) were observational, 1 was a pilot study (8.3%) and 1 was a randomized control trial (8.3%). All of the included studies (100%) chose not to use IL-6 and considered a high nutritional risk cutoff point <math>\geq 5</math>. There were 11 (91.7%) English language studies versus 1 (8.3%) Spanish language study.</p>	<p>Coletar dados sobre o uso do escore The Nutrition Risk in Critically Ill (NUTRIC). Uma pesquisa sistemática da literatura foi realizada de acordo com o Preferred Reporting Items for Systematic Reviews and Meta-Analyses (PRISMA). Revisões, resumos, dissertações, protocolos e relatos de caso foram excluídos desta revisão. Incluir em revisão, estudos necessários para avaliar especificamente o escore NUTRIC e estudos publicados em inglês, espanhol ou português. Incluímos 12 (0,8%) estudos da nossa busca nesta revisão. Dez estudos (83,3%) foram observacionais, um estudo piloto (8,3%) e um estudo randomizado controle (8,3%). Todos os estudos incluídos (100%) escolheram não usar IL-6 e considerado ponto de corte de risco nutricional elevado <math>\geq 5</math>. Foram incluídos 11 (91,7%) estudos em inglês versus 1 (8,3%) estudos em espanhol.</p>	<p>coletar os dados sobre o uso do escore do NUTRIC. Foi realizada uma pesquisa de literatura sistemática conforme a declaração Preferred Reporting Items for Systematic Reviews and Meta-Analyses (PRISMA). Revisões, resumos, dissertações, protocolos e relatos de caso foram excluídos da revisão. Os estudos devem ser incluídos na revisão, seguidos em inglês, espanhol ou português. Nós incluímos 12 estudos com nossa busca nessa revisão. 10 estudos (83,3%) eram observacionais, 1 era um estudo piloto (8,3%) e 1 era um ensaio randomizado controle (8,3%). Todos os estudos incluídos (100%) não utilizaram IL-6 e considerou um elevado risco de risco nutricional elevado, sendo o valor do escore do NUTRIC elevado, e foram considerados estudos de alto risco de risco nutricional elevado. Foram incluídos 11 estudos em inglês e 1 em espanhol.</p>	<p>All of the included studies (100%) chose not to use IL-6 and considered a high nutritional risk cutoff point <math>\geq 5</math>.</p>	<p>Todos os estudos incluídos (100%) escolheram não usar IL-6 e considerado ponto de corte de risco nutricional elevado <math>\geq 5</math>.</p>	<p>Todos os estudos incluídos (100%) não utilizaram IL-6 e considerou um elevado risco de risco nutricional elevado, sendo o valor do escore do NUTRIC elevado, e foram considerados estudos de alto risco de risco nutricional elevado</p>		
31483049	<p>The study aimed to discuss the consistency of estimates of maternal breastfeeding in the Brazilian National Health Survey (PNS) and the implications for the analysis of trends in these indicators from 1986 to 2013. The main limitation for the current estimate (2013) of breastfeeding indicators based on the PNS and their trend (1986-2013) is the absence of the interview date in the microdata, thus hindering a precise calculation of age. Previous studies have shown different scenarios for exclusive breastfeeding based on the PNS: 36.6% (stabilization of prevalence in comparison to 2006 [Brazilian National Survey of Demography and Health - PNDS]) and 20.3% (downward prevalence). Simulations of the interview date using the date of data collection in the PNS (August 2013 to February 2014) indicated a variation of prevalence 25.3% to 42.8% (exclusive breastfeeding);</p>	<p>Objetivou-se discutir a consistência das estimativas de aleitamento de aleitamento materno na Pesquisa Nacional de Saúde (PNS) brasileira e suas implicações para a análise de tendência desses indicadores no período de 1986 a 2013. A estimativa atual (2013) dos indicadores de aleitamento materno baseado na PNS e em sua tendência (1986-2013) é a ausência da data de entrevista nos microdados, dificultando ainda um cálculo preciso da idade. Estudos anteriores mostraram diferentes cenários para aleitamento materno exclusivo à partir da PNS: 36,6% (estabilização da prevalência em comparação ao ano de 2006 [Pesquisa Nacional de Demografia e Saúde - PNDS]) e 20,3% (prevalência decrescente). A simulação da data de entrevista usando a data da coleta dos dados na PNS (agosto 2013 a fevereiro 2014) indicou variação das prevalências de 25,3% para 42,8% (aleitamento materno exclusivo);</p>	<p>O objetivo do estudo foi discutir a consistência das estimativas de aleitamento materno na Pesquisa Nacional de Saúde (PNS) e as implicações para a análise de tendências destes indicadores no período de 1986 a 2013. A principal limitação atual (2013) dos indicadores de aleitamento materno baseados na PNS e sua tendência (86 a 2013) é a ausência da data de entrevista nos microdados, dificultando o cálculo preciso do ano. Estudos anteriores demonstraram diferentes cenários de aleitamento materno exclusivo na PNS: 36,6% (estabilidade da prevalência em comparação ao ano de 2006 [PNDS]) e 20,3% (prevalência decrescente). Simulações da data de entrevista usando a data de coleta dos dados na PNS (agosto de 2013 a fevereiro de 2014) mostraram variação das prevalências de 25,3% a 42,8% (aleitamento materno exclusivo);</p>	<p>The study aimed to discuss the consistency of estimates of maternal breastfeeding in the Brazilian National Health Survey (PNS) and the implications for the analysis of trends in these indicators from 1986 to 2013.</p>	<p>Objetivou-se discutir a consistência das estimativas de aleitamento de aleitamento materno na Pesquisa Nacional de Saúde (PNS) brasileira e suas implicações para a análise de tendência desses indicadores no período de 1986 a 2013.</p>	<p>O objetivo do estudo foi discutir a consistência das estimativas de aleitamento materno na Pesquisa Nacional de Saúde (PNS) e as implicações para a análise de tendências destes indicadores no período de 1986 a 2013.</p>		




document-id	Context Source	Context Mode X	Context Mode y	Source Sentence	Mode x Sentence	Mode y Sentence	 Ranking Type	Comment
32555961	To evaluate the differences in the metabonomic profile of patients who achieved remission of Type 2 diabetes mellitus (T2DM) after bariatric surgery in relation to those who presented maintenance or recurrence of this condition after surgery. Thirty-three patients with obesity and T2D were submitted to bariatric/metabolic surgery, among which, 22 experienced complete remission of T2D, and 11 did not experience remission in the postoperative period. Blood samples were taken in order to assess the serum profiles through a 1H NMR-based metabonomic study. The metabonomic model for the assessment of T2D recurrence presented an accuracy of 93.9%, sensibility of 81.8%, specificity of 100%, positive predictive value of 100% and a negative predictive value of 91.7%.	Avaliar diferenças no perfil metabólico de pacientes que tiveram remissão de diabetes mellitus tipo 2 (DM2T) após cirurgia bariátrica em relação aos que apresentaram manutenção ou recidiva dessa condição após cirurgia. Treze pacientes com obesidade e D2D foram submetidos à cirurgia bariátrica/metabólica, dentre os quais 22 experimentaram remissão completa do D2D, e 11 não experimentaram remissão no pós-operatório. MÉTODO: Amostras de sangue foram coletadas para avaliação dos perfis séricos através de um estudo metabólico baseado em 1H NMR. O modelo metabólico para avaliação da recorrência de D2D apresentou acuidade de 93,9%, sensibilidade de 81,8%, especificidade de 100%, valor preditivo positivo de 100% e valor preditivo negativo de 91,7%.	Avaliar as diferenças no perfil metabólico dos pacientes que obtiveram remissão do diabetes mellitus tipo 2 (D2DM) após cirurgia bariátrica em relação aos que apresentaram manutenção ou recidiva dessa condição após cirurgia. Treze pacientes com obesidade e D2DM foram submetidos à cirurgia bariátrica/metabólica, entre os quais 22 obtiveram remissão completa do D2D, e 11 não teve remissão no período pós-operatório. Amostras de sangue foram coletadas para avaliação dos perfis séricos através de um estudo metabólico baseado em NMR de 1H. O modelo metabólico para a avaliação da recorrência de D2D apresentou acuidade de 93,9%, sensibilidade de 81,8%, especificidade de 100%, valor preditivo positivo de 100% e valor preditivo negativo de 91,7%.	To evaluate the differences in the metabonomic profile of patients who achieved remission of Type 2 diabetes mellitus (T2DM) after bariatric surgery in relation to those who presented maintenance or recurrence of this condition after surgery.	Avaliar diferenças no perfil metabólico de pacientes que tiveram remissão de diabetes mellitus tipo 2 (DM2T) após cirurgia bariátrica em relação aos que apresentaram manutenção ou recidiva dessa condição após cirurgia.	Avaliar as diferenças no perfil metabólico dos pacientes que obtiveram remissão do diabetes mellitus tipo 2 (D2DM) após cirurgia bariátrica em relação aos que apresentaram manutenção ou recidiva dessa condição após a cirurgia.		
32555961	To evaluate the differences in the metabonomic profile of patients who achieved remission of Type 2 diabetes mellitus (T2DM) after bariatric surgery in relation to those who presented maintenance or recurrence of this condition after surgery. Thirty-three patients with obesity and T2D were submitted to bariatric/metabolic surgery, among which, 22 experienced complete remission of T2D, and 11 did not experience remission in the postoperative period. Blood samples were taken in order to assess the serum profiles through a 1H NMR-based metabonomic study. The metabonomic model for the assessment of T2D recurrence presented an accuracy of 93.9%, sensibility of 81.8%, specificity of 100%, positive predictive value of 100% and a negative predictive value of 91.7%.	Avaliar diferenças no perfil metabólico de pacientes que tiveram remissão de diabetes mellitus tipo 2 (DM2T) após cirurgia bariátrica em relação aos que apresentaram manutenção ou recidiva dessa condição após cirurgia. Treze pacientes com obesidade e D2D foram submetidos à cirurgia bariátrica/metabólica, dentre os quais 22 experimentaram remissão completa do D2D, e 11 não experimentaram remissão no pós-operatório. MÉTODO: Amostras de sangue foram coletadas para avaliação dos perfis séricos através de um estudo metabólico baseado em 1H NMR. O modelo metabólico para avaliação da recorrência de D2D apresentou acuidade de 93,9%, sensibilidade de 81,8%, especificidade de 100%, valor preditivo positivo de 100% e valor preditivo negativo de 91,7%.	Avaliar as diferenças no perfil metabólico dos pacientes que obtiveram remissão do diabetes mellitus tipo 2 (D2DM) após cirurgia bariátrica em relação aos que apresentaram manutenção ou recidiva dessa condição após a cirurgia. Trinta e três pacientes com obesidade e D2DM foram submetidos à cirurgia bariátrica/metabólica, entre os quais 22 obtiveram remissão completa do D2D, e 11 não teve remissão no período pós-operatório. Amostras de sangue foram coletadas para avaliação dos perfis séricos através de um estudo metabólico baseado em NMR de 1H. O modelo metabólico para a avaliação da recorrência de D2D apresentou acuidade de 93,9%, sensibilidade de 81,8%, especificidade de 100%, valor preditivo positivo de 100% e valor preditivo negativo de 91,7%.	Thirty-three patients with obesity and T2D were submitted to bariatric/metabolic surgery, among which, 22 experienced complete remission of T2D, and 11 did not experience remission in the postoperative period.	Treze pacientes com obesidade e D2D foram submetidos à cirurgia bariátrica/metabólica, dentre os quais 22 experimentaram remissão completa do D2D, e 11 não experimentaram remissão no pós-operatório.	Trinta e três pacientes com obesidade e D2DM foram submetidos à cirurgia bariátrica/metabólica, entre os quais 22 obtiveram remissão completa do D2D, e 11 não teve remissão no período pós-operatório.		
34547792	In around 85% of vaginal births, the parturients undergo perineal lacerations and/or episiotomy. The present study aimed to determine the incidence of lacerations and episiotomies among parturients in 2018 in a habitual-risk public maternity hospital in southern Brazil, and to determine the risk and protective factors for such events. A retrospective cross-sectional study. Data were obtained from medical records and analyzed using the Stata software. Univariate and multivariate logistic regressions were performed. Values of <i>p</i> < 0,05 were considered significant. In 2018, there were 525 vaginal births, 27.8% of which were attended by obstetricians, 70.7% by obstetric nurses, and 1.5% evolved without assistance. Overall, 55.2% of the parturients had some degree of laceration.	Cerca de 85% dos parturientes apresentam lacerações perineais e/ou episiotomia. O presente estudo tem por objetivo determinar a incidência de lacerações e episiotomias entre as parturientes em 2018 em uma maternidade pública de risco habitual no sul do Brasil e determinar os fatores de risco e proteção para tais eventos. Estudo transversal retrospectivo. Os dados foram obtidos nos prontuários médicos e analisados no software Stata. Foram realizadas regressões logísticas univariada e multivariada. Valores de <i>p</i> < 0,05 foram considerados significativos. Em 2018 foram realizados 525 parturientes, sendo 27,8% atendidos por obstetras, 70,7% por enfermeiras obstétricas e 1,5% sem assistência. No total, 55,2% das parturientes apresentaram algum grau de laceração.	Em torno de 85% dos parturientes, as parturientes são submetidas a lacerações perineais e/ou episiotomias. O objetivo deste estudo foi determinar a incidência de lacerações e episiotomias entre parturientes em 2018 em uma maternidade pública de risco habitual no sul do Brasil e determinar os fatores de risco e proteção para tais eventos. Estudo transversal retrospectivo. Os dados foram obtidos dos prontuários médicos e analisados pelo programa Stata. Realizou-se regressão logística univariada e multivariada. Os valores de <i>p</i> < 0,05 foram considerados significativos. Em 2018, foram realizados 525 partos vaginais, sendo 27,8% atendidas por obstetras, 70,7% por enfermeiras obstétricas e 1,5% sem assistência. Entre os parturientes, 55,2% apresentaram algum grau de laceração.	In 2018, there were 525 vaginal births, 27.8% of which were attended by obstetricians, 70.7% by obstetric nurses, and 1.5% evolved without assistance.	Em 2018 foram realizados 525 parturientes, sendo 27,8% atendidos por obstetras, 70,7% por enfermeiras obstétricas e 1,5% sem assistência.	Em 2018, foram realizados 525 partos vaginais, sendo 27,8% atendidas por obstetras, 70,7% por enfermeiras obstétricas e 1,5% sem assistência.		




document-id	Context Source	Context Mode X	Context Mode y	Source Sentence	Mode x Sentence	Mode y Sentence	Ranking Type	Comment
34547792	In around 85% of vaginal births, the parturients undergo perineal lacerations and/or episiotomy. The present study aimed to determine the incidence of lacerations and episiotomies among parturients in 2018 in a habitual-risk public maternity hospital in southern Brazil, and to determine the risk and protective factors for such events. A retrospective cross-sectional study. Data were obtained from medical records and analyzed using the Stata software. Univariate and multivariate logistic regressions were performed. Values of $p < 0.05$ were considered significant. In 2018, there were 525 vaginal births, 27.8% of which were attended by obstetricians, 70.7% by obstetric nurses, and 1.5% evolved without assistance. Overall, 55.2% of the parturients had some degree of laceration.	Cerca de 85% dos parturientes apresentam lacerações perineais e/ou episiotomia. O presente estudo tem por objetivo determinar a incidência de lacerações e episiotomias entre as parturientes em 2018 em uma maternidade pública de risco habitual no sul do Brasil e determinar os fatores de risco e proteção para tais eventos. Estudo transversal retrospectivo. Os dados foram obtidos nos prontuários médicos e analisados no software Stata. Foram realizadas regressões logísticas univariada e multivariada. Valores de $p < 0,05$ foram considerados significativos. Em 2018 foram realizados 525 parturientes, sendo 27,8% atendidos por obstetras, 70,7% por enfermeiras obstétricas e 1,5% sem assistência. No total, 55,2% das parturientes apresentaram algum grau de laceração.	Em torno de 85% dos parturientes, as parturientes são submetidas a lacerações perineais e/ou episiotomias. O objetivo deste estudo foi determinar a incidência de lacerações e episiotomias entre parturientes em 2018 em uma maternidade pública de risco habitual no sul do Brasil e determinar os fatores de risco e proteção para tais eventos. Estudo transversal retrospectivo. Os dados foram obtidos dos prontuários médicos e analisados pelo programa Stata. Realizou-se regressão logística univariada e multivariada. Os valores de $p < 0,05$ foram considerados significativos. Em 2018, foram realizados 525 partos vaginais, sendo 27,8% atendidas por obstetras, 70,7% por enfermeiras obstétricas e 1,5% sem assistência. Entre os parturientes, 55,2% apresentaram algum grau de laceração.	In around 85% of vaginal births, the parturients undergo perineal lacerations and/or episiotomy.	Cerca de 85% dos parturientes apresentam lacerações perineais e/ou episiotomia.	Em torno de 85% dos parturientes, as parturientes são submetidas a lacerações perineais e/ou episiotomias.		
33566965	Arterial hypertension (HTA) represents a major risk factor for cardiovascular morbidity and mortality. It is not yet known which specific molecular mechanisms are associated with the development of essential hypertension. In this study, we analyzed the association between LRP1 monocyte mRNA expression, LRP1 protein expression, and carotid intima media thickness (cIMT) of patients with essential hypertension. The LRP1 monocyte mRNA expression and protein levels and cIMT were quantified in 200 Mexican subjects, 91 normotensive (NT) and 109 hypertensive (HT). Statistical significance was defined as $p < 0.05$ . HT patients group had highly significant greater cIMT as compared to NT patients ( $p=0.002$ ) and this correlated with an increase in the expression of LRP1 mRNA expression.	A hipertensão arterial (HA) representa um importante fator de risco para morbidade e mortalidade cardiovascular. Ainda não se sabe quais são os mecanismos moleculares específicos, que estão associados ao desenvolvimento da hipertensão essencial. Neste estudo, analisamos a associação entre a expressão do mRNA de monócitos LRP1, a expressão da proteína LRP1 e a espessura da média íntima carotídea (TIS) de pacientes com hipertensão essencial. A expressão do mRNA de monócitos LRP1 e os níveis de proteínas e a TIS foram quantificados em 200 indivíduos mexicanos, sendo 91 normotensos (NT) e 109 hipertensos (HT). A significância estatística foi definida como $p < 0,05$ . O grupo HT apresentou cIMT superior ao grupo de pacientes normais ( $p=0,002$ ) e este correlacionou-se com aumento da expressão do mRNA do LRP1	A hipertensão arterial (HA) representa um importante fator de risco para morbidade e mortalidade cardiovascular. Ainda não se sabe quais mecanismos moleculares específicos estão associados ao desenvolvimento da hipertensão arterial essencial. Neste estudo, analisou-se a associação entre a expressão de monócitos mRNA LRP1, a expressão de proteína LRP1 e a espessura da média medial carotídea (EMT) de pacientes com hipertensão arterial essencial. A expressão de monócitos mRNA LRP1 e níveis de proteína e a EMT foram quantificados em 200 indivíduos mexicanos, sendo 91 normotensos (NT) e 109 hipertensos (HT). significância estatística foi definida em $p < 0,05$ . O grupo HT teve aumento significativo de EMT em relação a pacientes do grupo HT ( $p=0,002$ ) e correlacionaram-se com o aumento da expressão de LRP1	It is not yet known which specific molecular mechanisms are associated with the development of essential hypertension.	Ainda não se sabe quais são os mecanismos moleculares específicos, que estão associados ao desenvolvimento da hipertensão essencial.	Ainda não se sabe quais mecanismos moleculares específicos estão associados ao desenvolvimento da hipertensão arterial essencial.		
33566965	Arterial hypertension (HTA) represents a major risk factor for cardiovascular morbidity and mortality. It is not yet known which specific molecular mechanisms are associated with the development of essential hypertension. In this study, we analyzed the association between LRP1 monocyte mRNA expression, LRP1 protein expression, and carotid intima media thickness (cIMT) of patients with essential hypertension. The LRP1 monocyte mRNA expression and protein levels and cIMT were quantified in 200 Mexican subjects, 91 normotensive (NT) and 109 hypertensive (HT). Statistical significance was defined as $p < 0.05$ . HT patients group had highly significant greater cIMT as compared to NT patients ( $p=0.002$ ) and this correlated with an increase in the expression of LRP1 mRNA expression.	A hipertensão arterial (HA) representa um importante fator de risco para morbidade e mortalidade cardiovascular. Ainda não se sabe quais são os mecanismos moleculares específicos, que estão associados ao desenvolvimento da hipertensão essencial. Neste estudo, analisamos a associação entre a expressão do mRNA de monócitos LRP1, a expressão da proteína LRP1 e a espessura da média íntima carotídea (TIS) de pacientes com hipertensão essencial. A expressão do mRNA de monócitos LRP1 e os níveis de proteínas e a TIS foram quantificados em 200 indivíduos mexicanos, sendo 91 normotensos (NT) e 109 hipertensos (HT). A significância estatística foi definida como $p < 0,05$ . O grupo HT apresentou cIMT superior ao grupo de pacientes normais ( $p=0,002$ ) e este correlacionou-se com aumento da expressão do mRNA do LRP1	A hipertensão arterial (HA) representa um importante fator de risco para morbidade e mortalidade cardiovascular. Ainda não se sabe quais mecanismos moleculares específicos estão associados ao desenvolvimento da hipertensão arterial essencial. Neste estudo, analisou-se a associação entre a expressão de monócitos mRNA LRP1, a expressão de proteína LRP1 e a espessura da média medial carotídea (EMT) de pacientes com hipertensão arterial essencial. A expressão de monócitos mRNA LRP1 e níveis de proteína e a EMT foram quantificados em 200 indivíduos mexicanos, sendo 91 normotensos (NT) e 109 hipertensos (HT). significância estatística foi definida em $p < 0,05$ . O grupo HT teve aumento significativo de EMT em relação a pacientes do grupo HT ( $p=0,002$ ) e correlacionaram-se com o aumento da expressão de LRP1	In this study, we analyzed the association between LRP1 monocyte mRNA expression, LRP1 protein expression, and carotid intima media thickness (cIMT) of patients with essential hypertension.	Neste estudo, analisamos a associação entre a expressão do mRNA de monócitos LRP1, a expressão da proteína LRP1 e a espessura da média íntima carotídea (TIS) de pacientes com hipertensão essencial.	Neste estudo, analisou-se a associação entre a expressão de monócitos mRNA LRP1, a expressão de proteína LRP1 e a espessura da média íntima carotídea (EMT) de pacientes com hipertensão arterial essencial.		

document-id	Context Source	Context Mode X	Context Mode y	Source Sentence	Mode x Sentence	Mode y Sentence	 Ranking Type	Comment
33618794	The aim of this study is to explore the validation of the Resilience Scale in its long and brief versions (25 items and 14 items). This instrument assesses the individual's ability to withstand stressors, thrive and make sense of vital challenges. The sample included 511 Portuguese physicians. Both versions were validated through the study of internal structure validity, reliability, and convergent validity. The validity of the internal structure was analysed using the principal component analysis technique. Reliability was verified by the internal consistency study. For convergent validity, the correlation coefficients between these versions of the Resilience Scale and other scales validated to measure depression, anxiety, stress, and life satisfaction were calculated. Both versions of Resilience Scale showed good internal consistency. For each of the versions, one factor was retained in the principal component analysis	O objetivo deste estudo foi explorar a validação da Escala de Resiliência nas versões curta e curta, 25 itens e 14 itens. Trata-se de um instrumento que avalia a capacidade do indivíduo em enfrentar os estressores, se desenvolver e se conscientizar sobre os desafios vitais. Participaram 511 médicos portugueses. Ambas as versões foram validadas através do estudo de validade de estrutura interna, confiabilidade e validade convergente. A validade da estrutura interna foi avaliada usando a técnica de análise de componentes principais. A confiabilidade foi verificada pelo estudo de consistência interna. Para validade convergente, foram calculados os coeficientes de correlação entre essas versões da Escala de Resiliência e entre outras escalas validadas para medir depressão, ansiedade, estresse e satisfação com ao longo da vida. Ambas as versões apresentaram boa consistência interna.	O objetivo deste estudo foi explorar a validação da Escala de Resiliência, em suas versões longo e breve, 25 itens e 14 itens. Trata-se de um instrumento que avalia a capacidade do indivíduo em lidar com estressores, superar desafios e tomar decisões. A amostra incluiu 511 médicos portugueses. Ambas as versões foram validadas pelo estudo de validade de estrutura interna, confiabilidade e validade convergente. A validade da estrutura interna foi analisada com o uso da técnica de análise de componentes principais. A confiabilidade foi verificada pelo estudo de consistência interna. Para a validade convergente, os coeficientes de correlação entre esta versão da Escala de Resiliência e outras escalas validadas para medida de depressão, ansiedade, estresse e satisfação à vida foram calculados. Ambas as versões apresentaram boa consistência interna.	The aim of this study is to explore the validation of the Resilience Scale in its long and brief versions (25 items and 14 items).	O objetivo deste estudo foi explorar a validação da Escala de Resiliência nas versões curta e curta, 25 itens e 14 itens.	O objetivo deste estudo foi explorar a validação da Escala de Resiliência, em suas versões longo e breve, 25 itens e 14 itens.		
33618794	The aim of this study is to explore the validation of the Resilience Scale in its long and brief versions (25 items and 14 items). This instrument assesses the individual's ability to withstand stressors, thrive and make sense of vital challenges. The sample included 511 Portuguese physicians. Both versions were validated through the study of internal structure validity, reliability, and convergent validity. The validity of the internal structure was analysed using the principal component analysis technique. Reliability was verified by the internal consistency study. For convergent validity, the correlation coefficients between these versions of the Resilience Scale and other scales validated to measure depression, anxiety, stress, and life satisfaction were calculated. Both versions of Resilience Scale showed good internal consistency. For each of the versions, one factor was retained in the principal component analysis	O objetivo deste estudo foi explorar a validação da Escala de Resiliência nas versões curta e curta, 25 itens e 14 itens. Trata-se de um instrumento que avalia a capacidade do indivíduo em enfrentar os estressores, se desenvolver e se conscientizar sobre os desafios vitais. Participaram 511 médicos portugueses. Ambas as versões foram validadas através do estudo de validade de estrutura interna, confiabilidade e validade convergente. A validade da estrutura interna foi avaliada usando a técnica de análise de componentes principais. A confiabilidade foi verificada pelo estudo de consistência interna. Para validade convergente, foram calculados os coeficientes de correlação entre essas versões da Escala de Resiliência e entre outras escalas validadas para medir depressão, ansiedade, estresse e satisfação com ao longo da vida. Ambas as versões apresentaram boa consistência interna.	O objetivo deste estudo foi explorar a validação da Escala de Resiliência, em suas versões longo e breve, 25 itens e 14 itens. Trata-se de um instrumento que avalia a capacidade do indivíduo em lidar com estressores, superar desafios e tomar decisões. A amostra incluiu 511 médicos portugueses. Ambas as versões foram validadas pelo estudo de validade de estrutura interna, confiabilidade e validade convergente. A validade da estrutura interna foi analisada com o uso da técnica de análise de componentes principais. A confiabilidade foi verificada pelo estudo de consistência interna. Para a validade convergente, os coeficientes de correlação entre esta versão da Escala de Resiliência e outras escalas validadas para medida de depressão, ansiedade, estresse e satisfação à vida foram calculados. Ambas as versões apresentaram boa consistência interna.	For convergent validity, the correlation coefficients between these versions of the Resilience Scale and other scales validated to measure depression, anxiety, stress, and life satisfaction were calculated.	Para validade convergente, foram calculados os coeficientes de correlação entre essas versões da Escala de Resiliência e entre outras escalas validadas para medir depressão, ansiedade, estresse e satisfação com ao longo da vida	A confiabilidade foi verificada pelo estudo de consistência interna. Para a validade convergente, os coeficientes de correlação entre esta versão da Escala de Resiliência e outras escalas validadas para medida de depressão, ansiedade, estresse e satisfação à vida foram calculados		
31445529	Children's exposure to secondhand smoke is a cause of serious health problems and infant morbidity. This is the first nationally representative study conducted in Portugal to describe the prevalence of children exposed to secondhand smoke at home and in the car. This is a descriptive cross-sectional study with a representative sample of 2396 Portuguese children aged 0 to 9 years old, stratified by age and administrative region NUTS II. Questionnaires were administered between January and September 2016. Results showed that 6.1% of mothers and 11.2% of fathers reported smoking at home. It was found that 4.5% of mothers and 8.3% of fathers reported smoking in the car	Introdução: A exposição infantil ao tabagismo secundário é uma causa de graves problemas de saúde e morbidade infantil. Material e Métodos: Estudo descritivo, com uma amostra representativa de 2396 crianças portuguesas de 0 a 9 anos de idade, estratificada por idade e região administrativa do II. Foram aplicados questionários entre janeiro e setembro de 2016. Resultados: 6,1% das mães e 11,2% dos pais referiram tabagismo no domicílio. Verificou-se que 4,5% das mães e 8,3% dos pais referiram tabagismo no domicílio. Os resultados também mostraram que 5,4% das crianças foram duplamente expostas ao tabagismo secundário no domicílio e no domicílio.	É uma causa de sérios problemas de saúde e morbidade infantil. Este é o primeiro estudo representativo nacional realizado em Portugal a descrever a prevalência de crianças expostas ao fumo secundário no domicílio e no carro. Trata-se de um estudo transversal, descritivo, com amostra representativa de 2396 crianças portuguesas de 0 a 9 anos, estratificada por idade e região administrativa (NUTS II). Foram aplicados questionários entre janeiro e setembro de 2016, com a finalidade de avaliar a prevalência de crianças expostas ao fumo secundário no domicílio e no carro. Os resultados apontam que 6,1% das mães e 11,2% dos pais referiram o tabagismo no domicílio. Verificou-se que 4,5% das mães e 8,3% dos pais referiram o tabagismo no carro.	This is a descriptive cross-sectional study with a representative sample of 2396 Portuguese children aged 0 to 9 years old, stratified by age and administrative region NUTS II.	Estudo descritivo, com uma amostra representativa de 2396 crianças portuguesas de 0 a 9 anos de idade, estratificada por idade e região administrativa do II	Trata-se de um estudo transversal, descritivo, com amostra representativa de 2396 crianças portuguesas de 0 a 9 anos, estratificada por idade e região administrativa (NUTS II).		

document-id	Context Source	Context Mode X	Context Mode y	Source Sentence	Mode x Sentence	Mode y Sentence	Ranking Type	Comment
31269181	<p>The history of Primary Health Care (PHC) in the Federal District (DF) is as old as the history of the Federative Unit. The history of Family and Community Medicine (MFC), however, is relatively recent, both locally and nationally. This paper proposes to focus on the fundamental contribution of MFC to advances in Public Health in the Federal District, especially in the last 10 years, after the founding of the Family and Community Medicine Association of Brasília (ABMFC). In order to do so, the most relevant historical events and contexts related to Health Care, Management, Social Control and Medical Education - including Undergraduate course and Residency - were documented, which support this position, in parallel with the evolution of the specialty in the Federal District. Therefore, its organization was divided into four historical stages: until 2008, from 2008 to 2011, from 2011 to 2016, and from 2016 to 2018.</p>	<p>A história da Atenção Primária à Saúde (APS) no DF é tão antiga quanto a história da Unidade Federativa. A história da Medicina de Família e Comunidade (MFC) é relativamente recente, tanto local quanto nacional. Este artigo propõe-se a enfatizar a contribuição fundamental da MFC para os avanços na Saúde Pública, especialmente nos últimos 10 anos, após a fundação da Associação de Medicina de Família e Comunidade de Brasília (ABMFC). Para tanto, foram documentados os eventos e contextos históricos mais relevantes ligados a Atenção Primária à Saúde, Gestão, Controle Social e Ensino Médio, incluindo curso de graduação e residência, que dão suporte a esta posição, paralelamente à evolução da especialidade no DF. Portanto, sua organização foi dividida em quatro estágios: até 2008, de 2008 à 2011, de 2011 à 2016 e de 2016 à 2018.</p>	<p>A história da Atenção Primária à Saúde (APS), no DF, é tão velho quanto a história da Unidade da Federação. A história da Medicina de Família e Comunidade (MFC), no entanto, é relativamente recente, tanto local como nacional. Este artigo propõe enfatizar a contribuição fundamental da MFC para os avanços na Saúde Pública no DF, especialmente nos últimos 10 anos, após a fundação da Associação de Medicina de Família e Comunidade de Brasília (ABMFC). Para tanto, foram documentados os eventos e contextos históricos mais relevantes relacionados a assistência, Gestão, Controle Social e Educação Médica – incluindo curso de graduação e residência -, que apoiem essa posição, paralelamente com a evolução da especialidade no DF. Dessa forma, foi realizada a organização do trabalho, dividido em quatro momentos historiográficos: até 2008, de 2008 a 2011, de 2011 a 2016 e de</p>	<p>In order to do so, the most relevant historical events and contexts related to Health Care, Management, Social Control and Medical Education - including Undergraduate course and Residency - were documented, which support this position, in parallel with the evolution of the specialty in the Federal District.</p>	<p>Para tanto, foram documentados os eventos e contextos históricos mais relevantes ligados a Atenção Primária à Saúde, Gestão, Controle Social e Ensino Médio, incluindo curso de graduação e residência, que dão suporte a esta posição, paralelamente à evolução da especialidade no DF.</p>	<p>Para tanto, foram documentados os eventos e contextos históricos mais relevantes relacionados a assistência, Gestão, Controle Social e Educação Médica – incluindo curso de graduação e residência -, que apoiem essa posição, paralelamente com a evolução da especialidade no DF.</p>		
31304143	<p>Identify the etiology and incidence, as well to assess functional outcomes of patients, undergoing lower limb amputation after failure or complication of total knee arthroplasty. These patients were treated at the Center for Knee Surgery at the National Institute of Traumatology and Orthopedics (INTO), during the period of January 2001 to December 2010. The patients were interviewed and their charts were retrospectively analyzed to evaluate their functional outcome. The incidence of amputation due to failure or complication of total knee arthroplasty was 0.41% in 2409 cases. Recurrent deep infection was the cause of amputation in 81% of cases, being &lt;i&gt;Staphylococcus aureus&lt;/i&gt; and &lt;i&gt;Pseudomonas aeruginosa&lt;/i&gt; the most frequent germs</p>	<p>Identificar a etiologia e a incidência, bem como os resultados funcionais de pacientes submetidos à amputação de membros inferiores após falha, ou complicação de artroplastia total de joelho. Esses pacientes foram tratados no Centro de Cirurgia do Joelho do Instituto Nacional de Traumatologia e Ortopedia (INTO), durante o período de janeiro de 2001 a dezembro de 2010. Os pacientes foram entrevistados e seus prontuários foram analisados retrospectivamente para avaliar seu resultado funcional. A incidência da amputação por insuficiência ou complicação de artroplastia total de joelho foi de 0,41% em 2408 casos. A infecção recorrente foi a causa da amputação em 81% dos casos, sendo &lt;i&gt;Staphylococcus aureus&lt;/i&gt; e &lt;i&gt;Pseudomonas aeruginosa&lt;/i&gt; o germe mais frequente.</p>	<p>Identificar a etiologia e a incidência, bem como avaliar os resultados funcionais dos pacientes submetidos a amputação de membros inferiores após falha ou complicação da artroplastia total de joelho. Esses pacientes foram tratados no Centro de Cirurgia do Joelho do Instituto Nacional de Traumatologia e Ortopedia (INTO), durante o período de janeiro de 2001 a dezembro de 2010. Os pacientes foram entrevistados e seus prontuários foram analisados retrospectivamente para avaliar os resultados funcionais. A incidência de amputação devido a falha ou complicação da artroplastia total de joelho foi de 0,41% em 2469 casos. A infecção recorrente foi a causa de amputação em 81% dos casos, sendo &lt;i&gt;Staphylococcus aureus&lt;/i&gt; e &lt;i&gt;Pseudomonas aeruginosa&lt;/i&gt; os germes mais frequentes.</p>	<p>The incidence of amputation due to failure or complication of total knee arthroplasty was 0.41% in 2409 cases.</p>	<p>A incidência da amputação por insuficiência ou complicação de artroplastia total de joelho foi de 0,41% em 2408 casos.</p>	<p>A incidência de amputação devido a falha ou complicação da artroplastia total de joelho foi de 0,41% em 2469 casos.</p>		
31304143	<p>Identify the etiology and incidence, as well to assess functional outcomes of patients, undergoing lower limb amputation after failure or complication of total knee arthroplasty. These patients were treated at the Center for Knee Surgery at the National Institute of Traumatology and Orthopedics (INTO), during the period of January 2001 to December 2010. The patients were interviewed and their charts were retrospectively analyzed to evaluate their functional outcome. The incidence of amputation due to failure or complication of total knee arthroplasty was 0.41% in 2409 cases. Recurrent deep infection was the cause of amputation in 81% of cases, being &lt;i&gt;Staphylococcus aureus&lt;/i&gt; and &lt;i&gt;Pseudomonas aeruginosa&lt;/i&gt; the most frequent germs</p>	<p>Identificar a etiologia e a incidência, bem como os resultados funcionais de pacientes submetidos à amputação de membros inferiores após falha, ou complicação de artroplastia total de joelho. Esses pacientes foram tratados no Centro de Cirurgia do Joelho do Instituto Nacional de Traumatologia e Ortopedia (INTO), durante o período de janeiro de 2001 a dezembro de 2010. Os pacientes foram entrevistados e seus prontuários foram analisados retrospectivamente para avaliar seu resultado funcional. A incidência da amputação por insuficiência ou complicação de artroplastia total de joelho foi de 0,41% em 2408 casos. A infecção recorrente foi a causa da amputação em 81% dos casos, sendo &lt;i&gt;Staphylococcus aureus&lt;/i&gt; e &lt;i&gt;Pseudomonas aeruginosa&lt;/i&gt; o germe mais frequente.</p>	<p>Identificar a etiologia e a incidência, bem como avaliar os resultados funcionais dos pacientes submetidos a amputação de membros inferiores após falha ou complicação da artroplastia total de joelho. Esses pacientes foram tratados no Centro de Cirurgia do Joelho do Instituto Nacional de Traumatologia e Ortopedia (INTO), durante o período de janeiro de 2001 a dezembro de 2010. Os pacientes foram entrevistados e seus prontuários foram analisados retrospectivamente para avaliar os resultados funcionais. A incidência de amputação devido a falha ou complicação da artroplastia total de joelho foi de 0,41% em 2469 casos. A infecção recorrente foi a causa de amputação em 81% dos casos, sendo &lt;i&gt;Staphylococcus aureus&lt;/i&gt; e &lt;i&gt;Pseudomonas aeruginosa&lt;/i&gt; os germes mais frequentes.</p>	<p>Recurrent deep infection was the cause of amputation in 81% of cases, being &lt;i&gt;Staphylococcus aureus&lt;/i&gt; and &lt;i&gt;Pseudomonas aeruginosa&lt;/i&gt; the most frequent germs</p>	<p>A infecção recorrente foi a causa da amputação em 81% dos casos, sendo &lt;i&gt;Staphylococcus aureus&lt;/i&gt; e &lt;i&gt;Pseudomonas aeruginosa&lt;/i&gt; o germe mais frequente.</p>	<p>A infecção recorrente foi a causa de amputação em 81% dos casos, sendo &lt;i&gt;Staphylococcus aureus&lt;/i&gt; e &lt;i&gt;Pseudomonas aeruginosa&lt;/i&gt; os germes mais frequentes.</p>		


document-id	Context Source	Context Mode X	Context Mode y	Source Sentence	Mode x Sentence	Mode y Sentence	 Ranking Type	Comment
34320066	The significant increase in cardiovascular diseases in developing countries alerts about their impact on underprivileged populations. To identify the relationship of clusters of metabolic syndrome (MS) components with atherosclerosis and chronic inflammation among adults and elderly. Cross-sectional analysis using data from two population-based cohort studies in Florianópolis, Southern Brazil (EpiFloripa Adult Cohort Study, n = 862, 39.9±11.5 years; EpiFloripa Aging Cohort Study, n = 1197, 69.7±7.1 years). Blood pressure (BP), waist circumference (WC), and lipid and glucose levels were analyzed as individual factors or as clusters (either as the number of components present in an individual or as combinations of components).	O crescimento significativo de doenças cardiovasculares em países em desenvolvimento alerta sobre o seu impacto para as populações desfavorecidas. Identificar a relação de clusters de síndrome metabólica (SM) com a aterosclerose e a inflamação crônica entre adultos e idosos. MÉTODOS E MATERIAIS: Análise transversal, utilizando dados de dois estudos de coorte de base populacional realizados em Florianópolis, Sul do Brasil (EpiFloripa Coorte Adulto, n = 862, 39,9±11,5 anos; Coorte de Envelhecimento, n = 1197, 69,7±7,1 anos). Avaliaram-se a pressão arterial (PA), a circunferência da cintura (CC) e os níveis lipídicos e glicose como fatores individuais ou como clusters (pelo número de componentes presentes em um indivíduo ou em combinações de componentes).	O significativo aumento das doenças cardiovasculares em países em desenvolvimento alerta sobre o seu impacto em populações desfavorecidas. Identificar a relação de componentes de clusters de síndrome metabólica (SM) com aterosclerose e inflamação crônica em adultos e idosos. Análise transversal, utilizando dados de dois estudos de coorte de base populacional (EpiFloripa Coorte de Adultos, n = 862, 39,9±11,5 anos; Coorte de Envelhecimento, n = 1197, 69,7±7,1 anos). Avaliou-se a pressão arterial (PA), o perímetro da cintura (PC) e os níveis de lipídeos e glicose como fatores individuais ou em clusters (número de componentes presentes em um indivíduo ou combinações de componentes).	To identify the relationship of clusters of metabolic syndrome (MS) components with atherosclerosis and chronic inflammation among adults and elderly.	Identificar a relação de clusters de síndrome metabólica (SM) com a aterosclerose e a inflamação crônica entre adultos e idosos.	Identificar a relação de componentes de clusters de síndrome metabólica (SM) com aterosclerose e inflamação crônica em adultos e idosos.		
32578834	Elaborate a remediation program with rapid automatized naming and reading, as well as to verify the clinical significance of the elaborated program for students with dyslexia. The study involved five students from 3rd to the 5th grade of elementary school, aged 8 to 12 years, of both genders, with an interdisciplinary diagnosis of dyslexia. All students were submitted to pre- and post-test application of metalinguistic skills and reading test, reading comprehension and rapid automatized naming test. The analysis was performed using the JT method that allowed to verify positive or negative change and clinical significance in the post-testing. The results showed clinical significance in the tests of identification, syllable addition and combination, final and medial phoneme; in addition to nonwords repetition, real words and pseudowords reading, reading comprehension and rapid automatized naming test when comparing the pre- and post-testing.	Realizar um programa de remediação com nomeação e leitura rápida e verificar o significado clínico do programa elaborado para estudantes com dislexia. Estudo envolvendo cinco alunos de 3o ao 5o ano do ensino fundamental, de ambos os sexos, com diagnóstico interdisciplinar de dislexia. Todos os alunos foram submetidos a pré e pós-teste devocabulário, teste de compreensão de leitura, teste de compreensão de leitura e teste de nomeação rápida. A análise foi realizada pelo método JT que permitiu verificar variação positiva ou negativa e significância clínica no pós-teste. Os resultados evidenciaram significância clínica nos testes de identificação, adição de sílaba e combinação, final e medial; além de repetição de não palavras, leitura de palavras reais, leitura de compreensão de leitura e teste de nomeação rápida.	Elaborar um programa de remediação com nomeação automatizada e leitura rápida, bem como verificar o significado clínico do programa elaborado para escolares com dislexia. O estudo envolveu cinco escolares do 3o ao 5o ano do ensino fundamental, de 8 a 12 anos, de ambos os gêneros, com diagnóstico interdisciplinar de dislexia. Todos os escolares foram submetidos a aplicação pré e pós-teste de habilidades metalinguísticas e teste de leitura, compreensão de leitura e teste de nomeação automatizada. A análise foi realizada pelo método JT, que permitiu verificar alteração positiva ou negativa, e significância clínica no pós-teste. Os resultados mostraram significância clínica em testes de identificação, adição de sílaba e combinação, frase final e medial, além de repetição de não palavras, palavras reais e pseudopalavras, teste de compreensão	Elaborate a remediation program with rapid automatized naming and reading, as well as to verify the clinical significance of the elaborated program for students with dyslexia.	Realizar um programa de remediação com nomeação e leitura rápida e verificar o significado clínico do programa elaborado para estudantes com dislexia. Estudo envolvendo cinco alunos de 3o ao 5o ano do ensino fundamental, de ambos os sexos, com diagnóstico interdisciplinar de dislexia.	Elaborar um programa de remediação com nomeação automatizada e leitura rápida, bem como verificar o significado clínico do programa elaborado para escolares com dislexia.		
34133587	Mitral regurgitation (MR) is prevalent in patients undergoing transcatheter aortic valve implantation (TAVI). There are some controversies about the prognostic impact of MR in survival of TAVI patients. To examine the relationship between TAVI and MR in a patient population from the Brazilian TAVI Registry. Seven hundred and ninety-five patients from the Brazilian TAVI Registry were divided at baseline, discharge, and follow-up according to their MR grade as follows: absent/mild (AMMR) or moderate/severe (MSMR). They were subsequently regrouped according to their immediate and late changes in MR severity after TAVI as follows: no change, improved, or worsened MR.	Mitral regurgitation (MR) is prevalent in patients undergoing transcatheter aortic valve implantation (TAVI). Existem algumas controvérsias sobre o impacto prognóstico da RM na sobrevivência dos pacientes TAVI. HIPÓTESE/OBJETIVOS: Examinar a relação entre TAVI e RM em uma população de pacientes pertencentes ao Registro Brasileiro de TAVI. Setenta e noventa e cinco pacientes do Registro Brasileiro de TAVI foram divididos entre baseline, alta e acompanhamento de acordo com a gravidade da RM: ausente/leve (RAM) ou moderada/grave (RAMM). Eles foram posteriormente reagrupados segundo alterações imediatas e tardias na gravidade da RM após TAVI conforme: não alteração, melhorou ou piorou a RM.	O regurgitação mitral (RM) é prevalente em pacientes submetidos à implantação de válvula aórtica transcaterter (transcatheter aortic valve implantation, TAVI). Existem algumas controvérsias a respeito do impacto prognóstico da RM na sobrevivência de pacientes submetidos à TAVI. Examinar a relação entre TAVI e RM em população de pacientes do Registro de TAVI no Brasil. Setecentos e noventa e cinco pacientes do Registro de TAVI do Brasil foram divididos na linha de base, alta e acompanhamento conforme sua gravidade, de acordo com o grau de RM: ausente/leve/moderado (MSMR). Posteriormente, os pacientes foram reagrupados segundo suas alterações imediatas e tardias após a TAVI: não houve alteração, melhorou ou piora na gravidade da RM após a TAVI: não houve alteração, melhorou ou piora da RM.	Mitral regurgitation (MR) is prevalent in patients undergoing transcatheter aortic valve implantation (TAVI).	Mitral regurgitation (MR) is prevalent in patients undergoing transcatheter aortic valve implantation (TAVI).	O regurgitação mitral (RM) é prevalente em pacientes submetidos à implantação de válvula aórtica transcaterter (transcatheter aortic valve implantation, TAVI)		

document-id	Context Source	Context Mode X	Context Mode y	Source Sentence	Mode x Sentence	Mode y Sentence	 Ranking Type	Comment
32165889	To present summary measures of socioeconomic inequalities in access barriers to health services in Colombia, El Salvador, Paraguay, and Peru. This cross-sectional study used data from nationally - representative household surveys in Colombia, El Salvador, Peru, and Paraguay to analyze income-related inequalities in barriers to seeking health services. Households that reported having a health problem (disease/accident) and not seeking professional health care were considered to be facing access barriers. The measures of inequality were the slope index of inequality and relative index of inequality. Inequality trends were mixed across the four countries.	Apresentar medidas de resumo das desigualdades socioeconômicas nas barreiras de acesso às ações de saúde na Colômbia, El Salvador, Paraguai e Peru. Neste estudo transversal, utilizaram-se dados de pesquisas de domicílios na Colômbia, El Salvador, Peru e Paraguai para analisar as desigualdades relacionadas à renda nas barreiras de acesso às ações de saúde. Os domicílios que referiram ter um problema de saúde (doença/acidente) e não a busca de serviços de saúde profissionais foram considerados critérios de acesso. As medidas de desigualdade foram o índice absoluto da desigualdade e o índice relativo da desigualdade. As tendências de desigualdade foram agrupadas entre os quatro países.	Apresentar medidas de desigualdade socioeconômica nas barreiras de acesso aos serviços de saúde na Colômbia, El Salvador, Paraguai e Peru. Este estudo transversal utilizou dados de pesquisas domiciliares representativas, na Colômbia, El Salvador, Peru e Paraguai, com o objetivo de analisar as desigualdades socioeconômicas nas barreiras de acesso aos serviços de saúde. Os domicílios que referiram ter um problema de saúde (doença/acidente) e não ter acesso a serviço de saúde foram considerados para estarem enfrentando barreiras de acesso. As medidas de desigualdade foram o índice absoluto de desigualdade e o índice relativo de desigualdade. As tendências das desigualdades foram conjuntadas, entre os quatro países.	Households that reported having a health problem (disease/accident) and not seeking professional health care were considered to be facing access barriers.	Os domicílios que referiram ter um problema de saúde (doença/acidente) e não a busca de serviços de saúde profissionais foram considerados critérios de acesso.	Os domicílios que referiram ter um problema de saúde (doença/acidente) e não ter acesso a serviço de saúde foram considerados para estarem enfrentando barreiras de acesso.		
28868462	Mucosal prolapse polyps (MPPs) are rare inflammatory lesions that are part of the mucosal prolapse syndrome. We present the case of a 40-year-old male with history of constipation referred to our institution with suspected rectal malignancy due to hematochezia and a palpable rectal mass. Colonoscopy revealed a 25 mm wide lesion suggestive of subepithelial origin but with marked erythema and erosion in the mucosa.	Os pólipos de prolapso mucoso (MPPs) são lesões inflamatórias raras enquadradas na síndrome de prolapso mucoso. Apresentamos o caso de um homem de 40 anos, com antecedentes de obstipação, referenciado à nossa instituição por suspeita de neoplasia do reto devido a hematoquêsias e lesão palpável ao toque retal. A colonoscopia mostrou uma lesão com 25 mm, de aspecto subepitelial, com mucosa marcadamente eritematosa e erosionada.	Os pólipos de prolapso mucoso (MPPs) são lesões inflamatórias raras enquadradas na síndrome de prolapso mucoso. Apresentamos o caso de um homem, 40 anos, com antecedentes de obstipação, referenciado à nossa instituição por suspeita de neoplasia do reto devido a hematoquêsias e lesão palpável ao toque retal. A colonoscopia mostrou uma lesão com 25 mm, de aspecto subepitelial, com mucosa marcadamente eritematosa e erosionada.	Mucosal prolapse polyps (MPPs) are rare inflammatory lesions that are part of the mucosal prolapse syndrome.	Os pólipos de prolapso mucoso (MPPs) são lesões inflamatórias raras enquadradas na síndrome de prolapso mucoso.	Os pólipos de prolapso mucoso (MPPs) são lesões inflamatórias raras enquadradas na síndrome de prolapso mucoso.		
28868462	Mucosal prolapse polyps (MPPs) are rare inflammatory lesions that are part of the mucosal prolapse syndrome. We present the case of a 40-year-old male with history of constipation referred to our institution with suspected rectal malignancy due to hematochezia and a palpable rectal mass. Colonoscopy revealed a 25 mm wide lesion suggestive of subepithelial origin but with marked erythema and erosion in the mucosa.	Os pólipos de prolapso mucoso (MPPs) são lesões inflamatórias raras enquadradas na síndrome de prolapso mucoso. Apresentamos o caso de um homem de 40 anos, com antecedentes de obstipação, referenciado à nossa instituição por suspeita de neoplasia do reto devido a hematoquêsias e lesão palpável ao toque retal. A colonoscopia mostrou uma lesão com 25 mm, de aspecto subepitelial, com mucosa marcadamente eritematosa e erosionada.	Os pólipos de prolapso mucoso (MPPs) são lesões inflamatórias raras enquadradas na síndrome de prolapso mucoso. Apresentamos o caso de um homem, 40 anos, com antecedentes de obstipação, referenciado à nossa instituição por suspeita de neoplasia do reto devido a hematoquêsias e lesão palpável ao toque retal. A colonoscopia mostrou uma lesão com 25 mm, de aspecto subepitelial, com mucosa marcadamente eritematosa e erosionada.	Colonoscopy revealed a 25 mm wide lesion suggestive of subepithelial origin but with marked erythema and erosion in the mucosa.	A colonoscopia mostrou uma lesão com 25 mm, de aspecto subepitelial, com mucosa marcadamente eritematosa e erosionada.	A colonoscopia mostrou uma lesão com 25 mm, de aspecto subepitelial, com mucosa marcadamente eritematosa e erosionada.		
34495239	Since December 2019 we have observed the rapid advance of the severe acute respiratory syndrome caused by the new coronavirus (SARS-CoV-2). The impact of the clinical course of a respiratory infection is little known in patients with hereditary arrhythmias, due to the low prevalence of these diseases. Patients who present with infectious conditions may exacerbate hidden or well-controlled primary arrhythmias, due to several factors, such as fever, electrolyte disturbances, drug interactions, adrenergic stress and, eventually, the septic patient's own myocardial damage. The aim of this review is to highlight the main challenges we may encounter during the Covid 19 pandemic, specifically in patients with hereditary arrhythmias, with emphasis on the congenital long QT syndrome (LQTS), Brugada syndrome (SBr), ventricular tachycardia polymorphic catecholaminergic (CPVT) and arrhythmogenic right ventricular cardiomyopathy.	Desde dezembro de 2019 nós observamos um rápido avanço da síndrome respiratória aguda grave causada pelo novo coronavírus (SARS-CoV-2). O impacto do curso clínico da infecção respiratória é pouco conhecido em pacientes com arritmias hereditárias, devido à baixa prevalência dessas doenças. Pacientes que apresentam condições infecciosas podem exacerbar arritmias primárias desconhecidas ou bem controladas, devido a vários fatores, como febre, distúrbios eletrolíticos, interações medicamentosas, estresse adrenal e, posteriormente, a lesão do próprio miocárdio. O objetivo desta revisão é destacar os principais desafios que podem ocorrer durante a pandemia de Covid-19, especificamente em pacientes com arritmias hereditárias, com ênfase na síndrome QT congênita, síndrome de Brugada (SBr), síndrome de Brugada (SBr), síndrome de Brugada (SBr), taquicardia ventricular polimorfa catecoligênica (CPVT	Desde dezembro de 2019 observamos um rápido avanço da síndrome respiratória aguda grave causada pelo novo coronavírus (SARS-CoV-2). O impacto do estágio clínico da infecção respiratória é pouco conhecido em pacientes com arritmias hereditárias, devido à baixa prevalência destas doenças. Pacientes que se apresentam em condições infecciosas podem exacerbar arritmias primárias escondidas ou bem controladas, devido a vários fatores, como febre, alterações dos eletrólitos, interações medicamentosas, estresse adrenergico e, posteriormente, a lesão do miocárdio pelo próprio paciente. O objetivo desta revisão é destacar os principais desafios que podem surgir durante a pandemia de Covid-19, especificamente em pacientes com arritmias hereditárias, com ênfase na síndrome de QT longa congênita (LQTS), síndrome de Brugada (SBr), taquicardia ventricular polimorfa catecoligênica (CPVT	Patients who present with infectious conditions may exacerbate hidden or well-controlled primary arrhythmias, due to several factors, such as fever, electrolyte disturbances, drug interactions, adrenergic stress and, eventually, the septic patient's own myocardial damage.	Pacientes que apresentam condições infecciosas podem exacerbar arritmias primárias desconhecidas ou bem controladas, devido a vários fatores, como febre, alterações dos eletrólitos, interações medicamentosas, estresse adrenergico e, posteriormente, a lesão do próprio miocárdio.	. Pacientes que se apresentam em condições infecciosas podem exacerbar arritmias primárias escondidas ou bem controladas, devido a vários fatores, como febre, alterações dos eletrólitos, interações medicamentosas, estresse adrenergico e, posteriormente, a lesão do miocárdio pelo próprio paciente		



document-id	Context Source	Context Mode X	Context Mode y	Source Sentence	Mode x Sentence	Mode y Sentence	Ranking Type	Comment
34231806	To identify the possible association between driving pressure and mechanical power values and oxygenation index on the first day of mechanical ventilation with the mortality of trauma patients without a diagnosis of acute respiratory distress syndrome. Patients under pressure-controlled or volume-controlled ventilation were included, with data collection 24 hours after orotracheal intubation. Patient follow-up was performed for 30 days to obtain the clinical outcome. The patients were admitted to two intensive care units of the Hospital de Pronto Socorro de Porto Alegre from June to September 2019. A total of 24 patients were evaluated. Driving pressure, mechanical power and oxygenation index were similar among patients who survived and those who died, with no statistically significant difference between groups.	Identificar a possível associação entre pressão de condução, valores de energia mecânica e índice de oxigenação no primeiro dia de ventilação mecânica com a mortalidade dos pacientes de trauma sem diagnóstico de síndrome do desconforto respiratório agudo. Foram incluídos pacientes submetidos à ventilação controlada por pressão ou com ventilação volumétrica, com coleta de dados 24 horas após intubação orotraqueal. O acompanhamento foi realizado por 30 dias para a obtenção do desfecho clínico. Os pacientes foram admitidos em duas unidades de terapia intensiva do Hospital de Pronto Socorro de Porto Alegre, de junho a setembro de 2019. Um total de 24 pacientes foram avaliados. A pressão de condução, poder mecânico e índice de oxigenação foi semelhante entre os pacientes que sobreviveram e os que foram óbitos, sem diferença estatisticamente significante entre os grupos.	Identificar a possível associação entre os valores de pressão mecânica e o índice de oxigenação no primeiro dia de ventilação mecânica com a mortalidade de pacientes traumados sem diagnóstico de síndrome do desconforto respiratório agudo. Pacientes sob ventilação pressão-controlé ou volume-controlé foram incluídos, com coleta de dados 24 horas após intubação orotraqueal. O acompanhamento dos pacientes foi realizado por 30 dias, para obtenção de resultados clínicos. Os pacientes foram internados em duas unidades de terapia intensiva do Hospital de Pronto Socorro de Porto Alegre, entre junho e setembro de 2019. Foram avaliados 24 pacientes. Os valores de pressão mecânica, oxigenação e índice de oxigenação não apresentaram associação com a mortalidade de pacientes traumados sem diagnóstico de síndrome do desconforto respiratório agudo.	Driving pressure, mechanical power and oxygenation index were similar among patients who survived and those who died, with no statistically significant difference between groups.	A pressão de condução, poder mecânico e índice de oxigenação foi semelhante entre os pacientes que sobreviveram e os que foram óbitos, sem diferença estatisticamente significante entre os grupos.	Os valores de pressão mecânica, oxigenação e índice de oxigenação não apresentaram associação com a mortalidade de pacientes traumados sem diagnóstico de síndrome do desconforto respiratório agudo.		
31899567	Bruton's tyrosine kinase (BTK) is important in B-cell signalling. Efficacy has been reported for BTK inhibitors (BTKi) in human autoimmune diseases. Canine pemphigus foliaceus (cPF) is the most common canine autoimmune skin disease. To determine the safety and efficacy of a BTKi in cPF treatment. Nine privately owned dogs. Nine dogs diagnosed with PF were administered BTKi PRN473. Initial dosages were ≈15 mg/kg once daily, increased to twice daily if inadequate response was seen. Treatment continued for a maximum of 20 weeks, attempting decrease to every other day	A tirosina cinase de Bruton (BTK) é importante na sinalização de células B. Tem sido reportada sua eficácia em pacientes com doença autoimune humana. O pênfigo foliáceo canino (cPF) é a doença autoimune canina mais comum. HIPÓTESE/OBJETIVOS: Determinar a segurança e a eficácia de um BTKi no tratamento do cPF. Nove cães de propriedade privada. Nove cães diagnosticados com cPF foram administrados ao BTKi PRN473. Os valores iniciais foram ≈15 mg/kg uma vez ao dia, aumentados para duas vezes diariamente se houve inadequada resposta. O tratamento seguiu por 20 semanas, tentando de diminuir para cada outro dia.	A tirosina cinase de Bruton (BTKA) é importante na sinalização de células B. A eficácia foi relatada para inibidores de BTKA (BTKi) em doenças autoimunes humanas. O pênfigo foliáceo canino (PF) é a doença autoimune canina mais comum. Determinar a segurança e a eficácia de BTKi no tratamento do cPF. Nove cães de proprietários. Nove cães com diagnóstico de PF foram administrados com BTKi PRN473. Os doses iniciais foram ≈15 mg/kg uma vez ao dia, aumentados para dois vezes ao dia se detectou inadequação da resposta. O tratamento pro tornou-se mais prolongado por 20 semanas, tentando diminuir em cada outro dia.	Bruton's tyrosine kinase (BTK) is important in B-cell signalling.	A tirosina cinase de Bruton (BTK) é importante na sinalização de células B.	A tirosina cinase de Bruton (BTKA) é importante na sinalização de células B.		
31899567	Bruton's tyrosine kinase (BTK) is important in B-cell signalling. Efficacy has been reported for BTK inhibitors (BTKi) in human autoimmune diseases. Canine pemphigus foliaceus (cPF) is the most common canine autoimmune skin disease. To determine the safety and efficacy of a BTKi in cPF treatment. Nine privately owned dogs. Nine dogs diagnosed with PF were administered BTKi PRN473. Initial dosages were ≈15 mg/kg once daily, increased to twice daily if inadequate response was seen. Treatment continued for a maximum of 20 weeks, attempting decrease to every other day	A tirosina cinase de Bruton (BTK) é importante na sinalização de células B. Tem sido reportada sua eficácia em pacientes com doença autoimune humana. O pênfigo foliáceo canino (cPF) é a doença autoimune canina mais comum. HIPÓTESE/OBJETIVOS: Determinar a segurança e a eficácia de um BTKi no tratamento do cPF. Nove cães de propriedade privada. Nove cães diagnosticados com cPF foram administrados ao BTKi PRN473. Os valores iniciais foram ≈15 mg/kg uma vez ao dia, aumentados para duas vezes diariamente se houve inadequada resposta. O tratamento seguiu por 20 semanas, tentando de diminuir para cada outro dia.	A tirosina cinase de Bruton (BTKA) é importante na sinalização de células B. A eficácia foi relatada para inibidores de BTKA (BTKi) em doenças autoimunes humanas. O pênfigo foliáceo canino (PF) é a doença autoimune canina mais comum. Determinar a segurança e a eficácia de BTKi no tratamento do cPF. Nove cães de proprietários. Nove cães com diagnóstico de PF foram administrados com BTKi PRN473. Os doses iniciais foram ≈15 mg/kg uma vez ao dia, aumentados para dois vezes ao dia se detectou inadequação da resposta. O tratamento pro tornou-se mais prolongado por 20 semanas, tentando diminuir em cada outro dia.	Efficacy has been reported for BTK inhibitors (BTKi) in human autoimmune diseases.	Tem sido reportada sua eficácia em pacientes com doença autoimune humana.	A eficácia foi relatada para inibidores de BTKA (BTKi) em doenças autoimunes humanas. O pênfigo foliáceo canino (PF) é a doença autoimune canina mais comum.		
31899567	Bruton's tyrosine kinase (BTK) is important in B-cell signalling. Efficacy has been reported for BTK inhibitors (BTKi) in human autoimmune diseases. Canine pemphigus foliaceus (cPF) is the most common canine autoimmune skin disease. To determine the safety and efficacy of a BTKi in cPF treatment. Nine privately owned dogs. Nine dogs diagnosed with PF were administered BTKi PRN473. Initial dosages were ≈15 mg/kg once daily, increased to twice daily if inadequate response was seen. Treatment continued for a maximum of 20 weeks, attempting decrease to every other day	A tirosina cinase de Bruton (BTK) é importante na sinalização de células B. Tem sido reportada sua eficácia em pacientes com doença autoimune humana. O pênfigo foliáceo canino (cPF) é a doença autoimune canina mais comum. HIPÓTESE/OBJETIVOS: Determinar a segurança e a eficácia de um BTKi no tratamento do cPF. Nove cães de propriedade privada. Nove cães diagnosticados com cPF foram administrados ao BTKi PRN473. Os valores iniciais foram ≈15 mg/kg uma vez ao dia, aumentados para duas vezes diariamente se houve inadequada resposta. O tratamento seguiu por 20 semanas, tentando de diminuir para cada outro dia.	A tirosina cinase de Bruton (BTKA) é importante na sinalização de células B. A eficácia foi relatada para inibidores de BTKA (BTKi) em doenças autoimunes humanas. O pênfigo foliáceo canino (PF) é a doença autoimune canina mais comum. Determinar a segurança e a eficácia de BTKi no tratamento do cPF. Nove cães de proprietários. Nove cães com diagnóstico de PF foram administrados com BTKi PRN473. Os doses iniciais foram ≈15 mg/kg uma vez ao dia, aumentados para dois vezes ao dia se detectou inadequação da resposta. O tratamento pro tornou-se mais prolongado por 20 semanas, tentando diminuir em cada outro dia.	Canine pemphigus foliaceus (cPF) is the most common canine autoimmune skin disease.	O pênfigo foliáceo canino (cPF) é a doença autoimune canina mais comum.	O pênfigo foliáceo canino (PF) é a doença autoimune canina mais comum.		


document-id	Context Source	Context Mode X	Context Mode y	Source Sentence	Mode x Sentence	Mode y Sentence	Ranking Type	Comment
30787945	Tortuosity and bifurcations in carotid arteries alter the blood flow, causing atherosclerosis. The aim of the present study is to analyze the effect of variant vascular anatomy in the cervical region on development of atherosclerosis by microanatomical examination. The effect of blood flow at anomalous bends and bifurcations was observed in right carotid arteries of a seventy year old female cadaver. Fifteen histological slides were prepared from the carotid arteries and interpreted to verify predictions of atherosclerosis. The model predicts atherosclerosis at bends, bifurcations and large aperture arteries. Microanatomical examination revealed presence of atherosclerosis of varying thickness at the bends and bifurcation in the right carotid arteries, as predicted.	A tortuosidade e bifurcações nas artérias carótidas alteram o fluxo de sangue, causando aterosclerose. O objetivo do presente estudo foi analisar o efeito da anatomia vascular variante na região cervical sobre o desenvolvimento de aterosclerose por meio de exame microanatômico. O efeito do fluxo de sangue aos ângulos anormais e anomalias foi observado nas artérias carótidas direitas de um cadáver do sexo feminino de setenta anos de idade. Quinze lâminas histológicas foram preparadas das artérias carótidas e interpretadas para verificar predição de aterosclerose. O modelo prevê aterosclerose nos ângulos de ângulos de ângulos, bifurcações e artérias de maior abertura. O exame microanatômico revelou presença de aterosclerose de espessura variável nos ângulos de ângulo, ou seja, nas artérias carótidas direitas, como previsto.	A tortuosidade e bifurcações nas artérias carótidas alteram o fluxo sanguíneo, causando aterosclerose. O objetivo do presente estudo foi analisar o efeito da anatomia vascular de variação na região cervical no desenvolvimento de aterosclerose por meio do exame microanatômico. Foi observado o efeito do fluxo sanguíneo em irregulares anormais nas artérias carótidas direitas de um cadáver do sexo feminino de setenta anos de idade. Quinze fichas histológicas foram feitas das artérias carótidas e interpretadas para verificar predições de aterosclerose. O modelo prevê aterosclerose em irregulares, bifurcações e grandes áreas de abertura. O exame microanatômico evidenciou presença de aterosclerose de espessura variável nas irregulares e bifurcações nas artérias carótidas direitas, conforme predição.	Microanatomical examination revealed presence of atherosclerosis of varying thickness at the bends and bifurcation in the right carotid arteries, as predicted.	O exame microanatômico revelou presença de aterosclerose de espessura variável nos ângulos de ângulo, ou seja, nas artérias carótidas direitas, como previsto.	O exame microanatômico evidenciou presença de aterosclerose de espessura variável nas irregulares e bifurcações nas artérias carótidas direitas, conforme predição.		
34816889	To describe the completeness and characteristics of reported gestational syphilis and congenital syphilis cases in the state of Bahia, Brazil, between 2007 and 2017. This was an ecological study using data retrieved from the Notifiable Health Conditions Information System (SINAN). Incidence rates at the macro-regional and state levels and percentage completeness were calculated. 15,050 gestational syphilis cases and 7,812 congenital syphilis cases were identified. The incidence rate varied from 1.3 to 15.1 cases in pregnant women/1,000 live births and from 0.5 to 6.7 cases in infants under 1 year old/1,000 live births. Completeness of 'clinical classification' of gestational syphilis varied from 58.2% to 67.2% in the periods studied. The study showed an increase in incidence rates, flaws in report form completion and the need to implement routine information quality evaluation.	Descrever a completitude e as características dos casos de sífilis gestacional e sífilis congênita registrados no Sistema de Informação de Agravos de Notificação (Sinan). Estudo ecológico com dados do Sistema de Informação de Agravos de Notificação (SINAN). Calcularam-se taxas de completitude nos níveis macrorregional e estadual e percentual de completitude. Foram identificados 15.050 casos de sífilis gestacional e 8.12 casos de sífilis congênita. A taxa de incidência variou de 1,3 para 15,1 casos em gestantes/1.000 nascidos vivos e de 0,5 para 6,7 casos em menores de 1 ano/1.000 nascidos vivos. A completitude da classificação "clínica" da sífilis gestacional variou de 58,2% a 67,2% nos períodos estudados. O estudo mostrou aumento da taxa de incidência, anomalias no preenchimento de dados e necessidade de implementação de avaliação de qualidade da informação.	Descrever a completitude e as clínicas envolvidas nos casos de sífilis gestacional e sífilis congênita no estado da Bahia, no período de 2007-2017. Estudo ecológico com dados do Sistema de Informação de Agravos de Notificação (Sinan). Taxas de incidência nos níveis macrorregional e estadual e a completitude percentual foram calculadas. 15.050 casos de sífilis gestacional e 78012 casos de sífilis congênita. A taxa de incidência variou de 1,3 para 15,1 casos em gestantes/1.000 nascidos vivos e de 0,5 para 6,7 casos em menores de 1 ano/1.000 nascidos vivos. A completitude da classificação clínica da sífilis gestacional variou de 58,2% para 67,2% nos períodos estudados. O estudo mostrou um aumento das taxas de incidência, anomalias no preenchimento de formulários e necessidade de a implementação da avaliação de qualidade da informação.	To describe the completeness and characteristics of reported gestational syphilis and congenital syphilis cases in the state of Bahia, Brazil, between 2007 and 2017.	Descrever a completitude e as características dos casos de sífilis gestacional e sífilis congênita registrados no Sistema de Informação de Agravos de Notificação (Sinan)	Descrever a completitude e as clínicas envolvidas nos casos de sífilis gestacional e sífilis congênita no estado da Bahia, no período de 2007-2017. Estudo ecológico com dados do Sistema de Informação de Agravos de Notificação (Sinan).		
33907594	To identify the quality of life (QoL) assessment instruments related to the health of women with fecal incontinence (FI) or anal incontinence (AI). Systematic review conducted in the Virtual Health Library (VHL), PubMed and Cochrane Library databases. The descriptors used were: <i>Questionnaire</i>, <i>Questionnaires</i>, <i>Quality of life</i>, <i>validation</i>, <i>validation Studies</i>, <i>anal incontinence</i>, <i>fecal incontinence</i> and <i>constipation</i>. The search was performed between December 26, 2017 and the beginning of January 2018. The limits used were female gender. Initially, 5,143 articles were obtained in the search. The articles of validation for Portuguese of questionnaires for the evaluation of the impact of FI/AI on the QoL of women were considered eligible.	Identificar os instrumentos de avaliação da qualidade de vida relacionada com a saúde de mulheres com incontinência fecal (IA) ou incontinência anal (IA). Revisão sistemática realizada na Biblioteca Virtual de Saúde (BVS), PubMed e Cochrane Library. Os descritores utilizados foram: <i>Questionnaire</i>, <i>Questionnaires</i>, <i>Quality of life</i>, <i>validação</i>, <i>valid Studies</i>, <i>anal incontinence</i>, <i>fecal incontinence</i> e <i>constipação</i>. A busca foi realizada entre 26 de dezembro de 2017 e o início de janeiro de 2018. Os limites utilizados foram de sexo feminino. Inicialmente foram obtidos 5.143 artigos na busca. Os artigos de validação para português dos questionários para avaliação do impacto da IA/IA sobre a qualidade de vida das mulheres foram considerados elegíveis.	Identificar os instrumentos de avaliação de qualidade de vida (QV) relacionados à saúde de mulheres com incontinência fecal (IA) ou anal (IA). Revisão sistemática realizada nas bases de dados Biblioteca Virtual em Saúde (BVS), Pubmed e Cochrane Library. Os descritores utilizados foram: <i>Questionnaire</i>, <i>Questionnaires</i>, <i>Quality of life</i>, <i>Validação</i>, <i>Validação Studies</i>, <i>anal incontinence</i>, <i>fecal incontinence</i> e <i>consistência</i>. A busca ocorreu entre 26 de dezembro de 2017 e 31 de janeiro de 2018. Os limites utilizados foram para o sexo feminino. Inicialmente foram obtidos 5.143 artigos. Os artigos de validação para português de questionários para avaliação do impacto da IA/IA no QV de mulheres foram considerados elegíveis.	To identify the quality of life (QoL) assessment instruments related to the health of women with fecal incontinence (FI) or anal incontinence (AI).	Identificar os instrumentos de avaliação da qualidade de vida relacionada com a saúde de mulheres com incontinência fecal (IA) ou incontinência anal (IA).	Identificar os instrumentos de avaliação de qualidade de vida (QV) relacionados à saúde de mulheres com incontinência fecal (IA) ou anal (IA).		

document-id	Context Source	Context Mode X	Context Mode y	Source Sentence	Mode x Sentence	Mode y Sentence	 Ranking Type	Comment
33907594	To identify the quality of life (QoL) assessment instruments related to the health of women with fecal incontinence (FI) or anal incontinence (AI). Systematic review conducted in the Virtual Health Library (VHL), PubMed and Cochrane Library databases. The descriptors used were: <i>Questionnaire</i>, <i>Questionnaires</i>, <i>Quality of life</i>, <i>validation</i>, <i>validation Studies</i>, <i>anal incontinence</i>, <i>fecal incontinence</i> and <i>constipation</i>. The search was performed between December 26, 2017 and the beginning of January 2018. The limits used were female gender. Initially, 5,143 articles were obtained in the search. The articles of validation for Portuguese of questionnaires for the evaluation of the impact of FI/AI on the QoL of women were considered eligible.	Identificar os instrumentos de avaliação da qualidade de vida relacionada com a saúde de mulheres com incontinência fecal (IA) ou incontinência anal (IA). Revisão sistemática realizada na Biblioteca Virtual de Saúde (BVS), PubMed e Cochrane Library. Os descritores utilizados foram: <i>Questionnaire</i>, <i>Questionnaires</i>, <i>Quality of life</i>, <i>validação</i>, <i>valid Studies</i>, <i>anal incontinence</i>, <i>fecal incontinence</i> e <i>constitition</i>. A busca foi realizada entre 26 de dezembro de 2017 e o início de janeiro de 2018. Os limites utilizados foram de sexo feminino. Inicialmente foram obtidos 5.143 artigos na busca. Os artigos de validação para português dos questionários para avaliação do impacto da IA/IA sobre a qualidade de vida das mulheres foram considerados elegíveis.	Identificar os instrumentos de avaliação de qualidade de vida (QV) relacionados à saúde de mulheres com incontinência fecal (IA) ou anal (IA). Revisão sistemática realizada nas bases de dados Biblioteca Virtual em Saúde (BVS), Pubmed e Cochrane Library. Os descritores utilizados foram: <i>Questionnaire</i>, <i>Questionnaires</i>, <i>Quality of life</i>, <i>validação</i>, <i>Validação Studies</i>, <i>anal incontinence</i>, <i>fecal incontinence</i> e <i>constistência</i>. A busca ocorreu entre 26 de dezembro de 2017 e 31 de janeiro de 2018. Os limites utilizados foram para o sexo feminino. Inicialmente foram obtidos 5.143 artigos. Os artigos de validação para português de questionários para avaliação do impacto da IA/IA no QV de mulheres foram considerados elegíveis.	The articles of validation for Portuguese of questionnaires for the evaluation of the impact of FI/AI on the QoL of women were considered eligible.	Os artigos de validação para português dos questionários para avaliação do impacto da IA/IA sobre a qualidade de vida das mulheres foram considerados elegíveis.	Os artigos de validação para português de questionários para avaliação do impacto da IA/IA no QV de mulheres foram considerados elegíveis.		
341133601	The totally subcutaneous implantable cardioverter-defibrillator (S-ICD) is a safe alternative to the conventional transvenous ICD (TV-ICD) system to prevent sudden death. To compare the impact of the type of ICD system and surgical technique on patients' quality of life, as well as the severity of discomfort and pain, between S-ICD and TV-ICD recipients. Consecutively implanted patients with an S-ICD system were matched with patients with a TV-ICD system. In addition, patients undergoing S-ICD implantation after removal of a TV-ICD due to complications were included. Quality of life (measured with the 12-item short-form health survey) and severity of pain and discomfort were evaluated. Statistical significance was defined as p < 0.05. A total of 64 patients implanted with S-ICD or TV-ICD under local anesthesia and conscious sedation were analyzed. Patients with S-ICD and TV-ICD systems did not differ significantly in quality of life scores.	O cardioversor-defibrilador totalmente subcutâneo (CDI-S) é uma alternativa segura ao sistema convencional de cardioversor-defibrilador (DC-S) que permite a morte súbita. Comparar o impacto do tipo de sistema de DC e da técnica cirúrgica na qualidade de vida, bem como na gravidade do desconforto e dor, entre pacientes implantados com DC-S e DC-S. Pacientes implantados com DC-S foram comparados com pacientes implantados com DC-S. Além disso, pacientes submetidos à implantação de DC-S após remoção de DC-S devido a complicações foram incluídos. Qualidade de vida (medida pela escala de 12 itens) e gravidade da dor e desconforto foram avaliados. significância estatística foi definida como p < 0,05. Foram analisados 64 pacientes implantados com DC-S ou DC-S sob anestesia local e sedação consciente.	O cardioversor-desfibrilador totalmente subcutâneo (S-ICD) é uma alternativa segura ao sistema convencional de CID (TV-ICD) para prevenir a morte súbita. Comparar o impacto do tipo de sistema de CID e técnica cirúrgica na qualidade de vida, bem como a gravidade do desconforto e dor, entre S-ICD e TV-ICD. Pacientes com S-ICD implantados com S-ICD foram comparados com pacientes com sistema TV-ICD. Além disso, pacientes submetidos à implantação de S-ICD após remoção de TV-ICD devido a complicações foram incluídos. A qualidade de vida (medida com a pesquisa de 12 itens de saúde) e gravidade da dor e desconforto foram avaliados. significância estatística foi definida em p < 0,05. Foram analisados 64 pacientes implantados com S-ICD ou TV-ICD sob anestesia local e sedação consciente.	The totally subcutaneous implantable cardioverter-defibrillator (S-ICD) is a safe alternative to the conventional transvenous ICD (TV-ICD) system to prevent sudden death	O cardioversor-defibrilador totalmente subcutâneo (CDI-S) é uma alternativa segura ao sistema convencional de cardioversor-defibrilador (DC-S) que permite a morte súbita.	O cardioversor-desfibrilador totalmente subcutâneo (S-ICD) é uma alternativa segura ao sistema convencional de CID (TV-ICD) para prevenir a morte súbita.		
341133601	The totally subcutaneous implantable cardioverter-defibrillator (S-ICD) is a safe alternative to the conventional transvenous ICD (TV-ICD) system to prevent sudden death. To compare the impact of the type of ICD system and surgical technique on patients' quality of life, as well as the severity of discomfort and pain, between S-ICD and TV-ICD recipients. Consecutively implanted patients with an S-ICD system were matched with patients with a TV-ICD system. In addition, patients undergoing S-ICD implantation after removal of a TV-ICD due to complications were included. Quality of life (measured with the 12-item short-form health survey) and severity of pain and discomfort were evaluated. Statistical significance was defined as p < 0.05. A total of 64 patients implanted with S-ICD or TV-ICD under local anesthesia and conscious sedation were analyzed. Patients with S-ICD and TV-ICD systems did not differ significantly in quality of life scores.	O cardioversor-defibrilador totalmente subcutâneo (CDI-S) é uma alternativa segura ao sistema convencional de cardioversor-defibrilador (DC-S) que permite a morte súbita. Comparar o impacto do tipo de sistema de DC e da técnica cirúrgica na qualidade de vida, bem como na gravidade do desconforto e dor, entre pacientes implantados com DC-S e DC-S. Pacientes implantados com DC-S foram comparados com pacientes implantados com DC-S. Além disso, pacientes submetidos à implantação de DC-S após remoção de DC-S devido a complicações foram incluídos. Qualidade de vida (medida pela escala de 12 itens) e gravidade da dor e desconforto foram avaliados. significância estatística foi definida como p < 0,05. Foram analisados 64 pacientes implantados com DC-S ou DC-S sob anestesia local e sedação consciente.	O cardioversor-desfibrilador totalmente subcutâneo (S-ICD) é uma alternativa segura ao sistema convencional de CID (TV-ICD) para prevenir a morte súbita. Comparar o impacto do tipo de sistema de CID e técnica cirúrgica na qualidade de vida, bem como a gravidade do desconforto e dor, entre S-ICD e TV-ICD. Pacientes com S-ICD implantados com S-ICD foram comparados com pacientes com sistema TV-ICD. Além disso, pacientes submetidos à implantação de S-ICD após remoção de TV-ICD devido a complicações foram incluídos. A qualidade de vida (medida com a pesquisa de 12 itens de saúde) e gravidade da dor e desconforto foram avaliados. significância estatística foi definida em p < 0,05. Foram analisados 64 pacientes implantados com S-ICD ou TV-ICD sob anestesia local e sedação consciente.	To compare the impact of the type of ICD system and surgical technique on patients' quality of life, as well as the severity of discomfort and pain, between S-ICD and TV-ICD recipients	Comparar o impacto do tipo de sistema de DC e da técnica cirúrgica na qualidade de vida, bem como na gravidade do desconforto e dor, entre pacientes implantados com DC-S e DC-S.	Comparar o impacto do tipo de sistema de CID e técnica cirúrgica na qualidade de vida, bem como a gravidade do desconforto e dor, entre S-ICD e TV-ICD.		

document-id	Context Source	Context Mode X	Context Mode y	Source Sentence	Mode x Sentence	Mode y Sentence	Ranking Type	Comment
32783006	Demands as to productivity transform the work environment more and more stressful, and negatively impact on the motivation of workers and the performance of their work activities. Initiatives seek to consolidate advances in policies for comprehensive care for workers health, with actions to prevent injuries and promote health. Offering workers a Labor Gymnastics Program (PGL), which is not restricted to attention to musculoskeletal disorders, becomes a tool to encourage change in habits. To identify possible changes in workers habits after the implementation of a PGL, 41 workers in the administrative area and support from a teaching hospital in the municipality of Santa Cruz do Sul answered the questionnaire.	As demandas que a produtividade torna o ambiente de trabalho com maior e maior estresse, e afetam negativamente a motivação dos trabalhadores e a realização das suas atividades de trabalho. iniciativas procuram consolidar avanços nas políticas de atenção integral à saúde do trabalhador, com ações de prevenção de lesões e apoio à saúde dos trabalhadores. Oferecer um Programa de Ginestão do Trabalho (PGL), que não se limita à atenção para os distúrbios musculoesqueléticos, torna-se uma instrumento de estimulação de mudanças nas atividades laborais após a implementação do PGL. Responderam o questionário 41 trabalhadores da área administrativa e apoio de um hospital de ensino em Santa Cruz do Sul.	As demandas perante a produtividade tornam o ambiente de trabalho mais e mais stressoso, e impactam negativamente na motivação dos trabalhadores e na realização das suas atividades laborais. Iniciativas procuram consolidar avanços nas políticas de atenção integral à saúde do trabalhador, com ações para prevenção de lesões e a promoção da saúde. Oferecer apoio ao trabalhador um Programa de Ginástica de Trabalho (PGL), que não se limita à atenção às alterações musculoesqueléticas, surge como instrumento para encorajar mudanças de hábitos. Identificar possíveis mudanças nos hábitos dos trabalhadores após a implementação do PGL. Quarenta e um trabalhadores da área administrativa e apoio de um hospital universitário do município de Santa Cruz do Sul responderam o questionário.	Offering workers a Labor Gymnastics Program (PGL), which is not restricted to attention to musculoskeletal disorders, becomes a tool to encourage change in habits.	Oferecer um Programa de Ginestão do Trabalho (PGL), que não se limita à atenção para os distúrbios musculoesqueléticos, torna-se uma instrumento de estimulação de mudanças nas atividades laborais.	Oferecer apoio ao trabalhador um Programa de Ginástica de Trabalho (PGL), que não se limita à atenção às alterações musculoesqueléticas, surge como instrumento para encorajar mudanças de hábitos		
33564704	The placement of an intragastric balloon (IGB) plays an increasingly important role in the treatment of obesity. The authors describe the cases of 2 female patients, 34 and 62 years old, who were submitted to the implantation of a Spatz3® IGB to treat obesity. Ten to fourteen weeks later, the patients presented complaints of epigastric pain, vomiting, and abdominal distension. A bulging of the upper abdominal wall was noticed upon physical examination. Upper gastrointestinal endoscopy confirmed the clinical suspicion of IGB hyperinflation. It was decided to remove the 500 mL of saline solution with methylene blue from inside the balloon. During the same procedure, the IGB was refilled with 500 mL of fresh saline solution, methylene blue, and empiric $\beta$ -lactam antibiotic.	A colocação de um balão intragástrico (BIG) desempenha um papel cada vez mais importante no tratamento da obesidade. Os autores descrevem os casos de 2 pacientes do sexo feminino, de 34 e 62 anos, que foram submetidas a implantação de um balão intragástrico Spatz3® para tratamento da obesidade. Vinte e quatorze semanas depois, as pacientes apresentaram queixas de dor epigástrica, vômitos e distensão abdominal. À observação, um nódulo da parede abdominal superior foi verificado no exame físico. A endoscopia digestiva alta confirmou a suspeita clínica de hiperinsuflação do balão. Foi decidido eliminar a 500 mL de solução salina com metileno azul do interior do balão. Durante o mesmo procedimento, o balão foi reenchido com 500 mL de solução salina fresca, metileno azul e antibiótico $\beta$ -lactam.	A colocação de um balão intragástrico (IGB) desempenha um papel cada vez mais importante no tratamento da obesidade. Os autores descrevem os casos de 2 pacientes do sexo feminino, com idade entre 34 e 62 anos, que foram submetidas a implantação de IGB Spatz3® para o tratamento da obesidade. Vinte e quarenta semanas depois, os pacientes apresentaram queixas de dor epigástrica, vômito e distensão abdominal. O tumor da parede abdominal superior foi acometido ao exame físico. A endoscopia digestiva alta confirmou a suspeita clínica de hiperinsuflação de IGB. Foi decidido remover o 500 mL de solução salina com vermelho etileno do interior do balão. O mesmo tempo, o balão foi reenchido com 500 mL de solução salina fresca, vermelho etileno e antibiótico $\beta$ -lactam em um dos casos.	The placement of an intragastric balloon (IGB) plays an increasingly important role in the treatment of obesity.	A colocação de um balão intragástrico (BIG) desempenha um papel cada vez mais importante no tratamento da obesidade	A colocação de um balão intragástrico (IGB) desempenha um papel cada vez mais importante no tratamento da obesidade.		
33564704	The placement of an intragastric balloon (IGB) plays an increasingly important role in the treatment of obesity. The authors describe the cases of 2 female patients, 34 and 62 years old, who were submitted to the implantation of a Spatz3® IGB to treat obesity. Ten to fourteen weeks later, the patients presented complaints of epigastric pain, vomiting, and abdominal distension. A bulging of the upper abdominal wall was noticed upon physical examination. Upper gastrointestinal endoscopy confirmed the clinical suspicion of IGB hyperinflation. It was decided to remove the 500 mL of saline solution with methylene blue from inside the balloon. During the same procedure, the IGB was refilled with 500 mL of fresh saline solution, methylene blue, and empiric $\beta$ -lactam antibiotic.	A colocação de um balão intragástrico (BIG) desempenha um papel cada vez mais importante no tratamento da obesidade. Os autores descrevem os casos de 2 pacientes do sexo feminino, de 34 e 62 anos, que foram submetidas a implantação de um balão intragástrico Spatz3® para tratamento da obesidade. Vinte e quatorze semanas depois, as pacientes apresentaram queixas de dor epigástrica, vômitos e distensão abdominal. À observação, um nódulo da parede abdominal superior foi verificado no exame físico. A endoscopia digestiva alta confirmou a suspeita clínica de hiperinsuflação do balão. Foi decidido eliminar a 500 mL de solução salina com metileno azul do interior do balão. Durante o mesmo procedimento, o balão foi reenchido com 500 mL de solução salina fresca, metileno azul e antibiótico $\beta$ -lactam.	A colocação de um balão intragástrico (IGB) desempenha um papel cada vez mais importante no tratamento da obesidade. Os autores descrevem os casos de 2 pacientes do sexo feminino, com idade entre 34 e 62 anos, que foram submetidas a implantação de IGB Spatz3® para o tratamento da obesidade. Vinte e quarenta semanas depois, os pacientes apresentaram queixas de dor epigástrica, vômito e distensão abdominal. O tumor da parede abdominal superior foi acometido ao exame físico. A endoscopia digestiva alta confirmou a suspeita clínica de hiperinsuflação de IGB. Foi decidido remover o 500 mL de solução salina com vermelho etileno do interior do balão. O mesmo tempo, o balão foi reenchido com 500 mL de solução salina fresca, vermelho etileno e antibiótico $\beta$ -lactam em um dos casos.	Upper gastrointestinal endoscopy confirmed the clinical suspicion of IGB hyperinflation.	A endoscopia digestiva alta confirmou a suspeita clínica de hiperinsuflação do balão	A endoscopia digestiva alta confirmou a suspeita clínica de hiperinsuflação de IGB.		


document-id	Context Source	Context Mode X	Context Mode y	Source Sentence	Mode x Sentence	Mode y Sentence	Ranking Type	Comment
33564704	The placement of an intragastric balloon (IGB) plays an increasingly important role in the treatment of obesity. The authors describe the cases of 2 female patients, 34 and 62 years old, who were submitted to the implantation of a Spatz3® IGB to treat obesity. Ten to fourteen weeks later, the patients presented complaints of epigastric pain, vomiting, and abdominal distension. A bulging of the upper abdominal wall was noticed upon physical examination. Upper gastrointestinal endoscopy confirmed the clinical suspicion of IGB hyperinflation. It was decided to remove the 500 mL of saline solution with methylene blue from inside the balloon. During the same procedure, the IGB was refilled with 500 mL of fresh saline solution, methylene blue, and empiric $\beta$ -lactam antibiotic.	A colocação de um balão intragástrico (BIG) desempenha um papel cada vez mais importante no tratamento da obesidade. Os autores descrevem os casos de 2 pacientes do sexo feminino, de 34 e 62 anos, que foram submetidas a implantação de um balão intragástrico Spatz3® para tratamento da obesidade. Vinte e quatorze semanas depois, as pacientes apresentaram queixas de dor epigástrica, vômitos e distensão abdominal. À observação, um nódulo da parede abdominal superior foi verificado no exame físico. A endoscopia digestiva alta confirmou a suspeita clínica de hiperinsuflação do balão. Foi decidido eliminar a 500 mL de solução salina com metileno azul do interior do balão. Durante o mesmo procedimento, o balão foi reenchido com 500 mL de solução salina fresca, metileno azul e antibiótico $\beta$ -lactam.	A colocação de um balão intragástrico (IGB) desempenha um papel cada vez mais importante no tratamento da obesidade. Os autores descrevem os casos de duas pacientes do sexo feminino, com idade entre 34 e 62 anos, que foram submetidas a implantação de IGB Spatz3® para o tratamento da obesidade. Vinte e quarenta semanas depois, os pacientes apresentaram queixas de dor epigástrica, vômito e distensão abdominal. O tumor da parede abdominal superior foi acometido ao exame físico. A endoscopia digestiva alta confirmou a suspeita clínica de hiperinsuflação de IGB. Foi decidido remover o 500 mL de solução salina com vermelho etileno do interior do balão. O mesmo tempo, o balão foi reenchido com 500 mL de solução salina fresca, vermelho etileno e antibiótico $\beta$ -lactam em um dos casos.	During the same procedure, the IGB was refilled with 500 mL of fresh saline solution, methylene blue, and empiric $\beta$ -lactam antibiotic.	Durante o mesmo procedimento, o balão foi reenchido com 500 mL de solução salina fresca, metileno azul e antibiótico $\beta$ -lactam.	. O mesmo tempo, o balão foi reenchido com 500 mL de solução salina fresca, vermelho etileno e antibiótico $\beta$ -lactam em um dos casos.		
31960536	Canine otitis externa (OE) is a common inflammatory disease that is frequently complicated by secondary bacterial and/or yeast infections. The otic microbial population is more complex than appreciated by cytological methods and aerobic culture alone. Differences in bacterial and fungal populations of the external ear canal will correlate with specific cytological and culture-based definitions of bacterial and Malassezia otitis. Forty client-owned dogs; 30 with OE and 10 with healthy ears. Prospective study comparing cytological samples, aerobic bacterial cultures and culture-independent sequencing-based analyses of the external ear canal. Subjects with OE included 10 dogs with only cocci [≥25/high power field (HPF)] on cytological evaluation and culture of Staphylococcus spp.;	A otite externa canina (OE) é uma doença inflamatória comum e frequentemente complicada por infecções bacterianas e/ou leveduras. A população microbiana ótica é mais complexa do que apreciada pelos métodos citológicos e pela cultura aeruginosa. Diferenças na população bacteriana e fúngica do conduto auditivo externo correlacionam-se com definições citológicas e de cultura baseadas em culturas específicas para otite bacteriana e Malassezia. Quarenta cães de propriedade privada; 30 com OE e 10 com orelhas saudáveis. MÉTODOS E MATERIAIS: Estudo prospectivo comparando amostras citológicas, culturas bacterianas aeruginosas e cultura independente de cultura de culturas aeruginosas do conduto auditivo externo. Os sujeitos com OE incluíram 10 cães com apenas cocos [≥25 no alto campo de potência (HPF)] na avaliação citológica e cultura de Staphylococcus spp.	Otite externa canina (OE) é uma doença inflamatória comum que se complica frequentemente por infecções bacterianas e/ou leveduras. A população microbiana ótica é mais complexa do que avaliada por métodos citológicos e por cultura aeruginosa. Diferenças nas populações bacterianas e fúngicas do conduto auditivo externo deverão correlacionar com as definições de citologia e cultura de Malassezia. Quarenta cães de clientes; 30 com OE e 10 com orelhas saudáveis. MÉTODOS E MATERIAIS: Estudo prospectivo que comparou amostras citológicas, culturas aeruginosas aeruginosas e análises de sequenciamento independente da cultura auditiva externa. Indivíduos com OE incluídos: 10 cães com apenas cocos [≥25% do alto campo de potência (HPF)] em avaliação citológica e cultura de Staphylococcus spp.;	Canine otitis externa (OE) is a common inflammatory disease that is frequently complicated by secondary bacterial and/or yeast infections.	A otite externa canina (OE) é uma doença inflamatória comum e frequentemente complicada por infecções bacterianas e/ou leveduras.	Otite externa canina (OE) é uma doença inflamatória comum que se complica frequentemente por infecções bacterianas e/ou leveduras.		
31960536	Canine otitis externa (OE) is a common inflammatory disease that is frequently complicated by secondary bacterial and/or yeast infections. The otic microbial population is more complex than appreciated by cytological methods and aerobic culture alone. Differences in bacterial and fungal populations of the external ear canal will correlate with specific cytological and culture-based definitions of bacterial and Malassezia otitis. Forty client-owned dogs; 30 with OE and 10 with healthy ears. Prospective study comparing cytological samples, aerobic bacterial cultures and culture-independent sequencing-based analyses of the external ear canal. Subjects with OE included 10 dogs with only cocci [≥25/high power field (HPF)] on cytological evaluation and culture of Staphylococcus spp.;	A otite externa canina (OE) é uma doença inflamatória comum e frequentemente complicada por infecções bacterianas e/ou leveduras. A população microbiana ótica é mais complexa do que apreciada pelos métodos citológicos e pela cultura aeruginosa. Diferenças na população bacteriana e fúngica do conduto auditivo externo correlacionam-se com definições citológicas e de cultura baseadas em culturas específicas para otite bacteriana e Malassezia. Quarenta cães de propriedade privada; 30 com OE e 10 com orelhas saudáveis. MÉTODOS E MATERIAIS: Estudo prospectivo comparando amostras citológicas, culturas bacterianas aeruginosas e cultura independente de cultura de culturas aeruginosas do conduto auditivo externo. Os sujeitos com OE incluíram 10 cães com apenas cocos [≥25 no alto campo de potência (HPF)] na avaliação citológica e cultura de Staphylococcus spp.	A otite externa canina (OE) é uma doença inflamatória comum e frequentemente complicada por infecções bacterianas e/ou leveduras. A população microbiana ótica é mais complexa do que apreciada pelos métodos citológicos e pela cultura aeruginosa. Diferenças na população bacteriana e fúngica do conduto auditivo externo correlacionam-se com definições citológicas e de cultura baseadas em culturas específicas para otite bacteriana e Malassezia. Quarenta cães de propriedade privada; 30 com OE e 10 com orelhas saudáveis. MÉTODOS E MATERIAIS: Estudo prospectivo comparando amostras citológicas, culturas bacterianas aeruginosas e cultura independente de cultura de culturas aeruginosas do conduto auditivo externo. Os sujeitos com OE incluíram 10 cães com apenas cocos [≥25 no alto campo de potência (HPF)] na avaliação citológica e cultura de Staphylococcus spp.	Canine otitis externa (OE) is a common inflammatory disease that is frequently complicated by secondary bacterial and/or yeast infections.	A otite externa canina (OE) é uma doença inflamatória comum e frequentemente complicada por infecções bacterianas e/ou leveduras.	Otite externa canina (OE) é uma doença inflamatória comum que se complica frequentemente por infecções bacterianas e/ou leveduras.		




document-id	Context Source	Context Mode X	Context Mode y	Source Sentence	Mode x Sentence	Mode y Sentence	 Ranking Type	Comment
31960536	Canine otitis externa (OE) is a common inflammatory disease that is frequently complicated by secondary bacterial and/or yeast infections. The otic microbial population is more complex than appreciated by cytological methods and aerobic culture alone. Differences in bacterial and fungal populations of the external ear canal will correlate with specific cytological and culture-based definitions of bacterial and Malassezia otitis. Forty client-owned dogs; 30 with OE and 10 with healthy ears. Prospective study comparing cytological samples, aerobic bacterial cultures and culture-independent sequencing-based analyses of the external ear canal. Subjects with OE included 10 dogs with only cocci [≥25/high power field (HPF)] on cytological evaluation and culture of Staphylococcus spp.;	A otite externa canina (OE) é uma doença inflamatória comum e frequentemente complicada por infecções bacterianas e/ou leveduras. A população microbiana ótica é mais complexa do que apreciada pelos métodos citológicos e pela cultura aeruginosa. Diferenças na população bacteriana e fúngica do conduto auditivo externo correlacionam-se com definições citológicas e de cultura baseadas em culturas específicas para otite bacteriana e Malassezia. Quarenta cães de propriedade privada; 30 com OE e 10 com orelhas saudáveis. MÉTODOS E MATERIAIS: Estudo prospectivo comparando amostras citológicas, culturas bacterianas aeruginosas e cultura independente de cultura de culturas aeruginosas do conduto auditivo externo. Os sujeitos com OE incluíram 10 cães com apenas cocos [≥25 no alto campo de potência (HPF)] na avaliação citológica e cultura de Staphylococcus spp.	A otite externa canina (OE) é uma doença inflamatória comum e frequentemente complicada por infecções bacterianas e/ou leveduras. A população microbiana ótica é mais complexa do que apreciada pelos métodos citológicos e pela cultura aeruginosa. Diferenças na população bacteriana e fúngica do conduto auditivo externo correlacionam-se com definições citológicas e de cultura baseadas em culturas específicas para otite bacteriana e Malassezia. Quarenta cães de propriedade privada; 30 com OE e 10 com orelhas saudáveis. MÉTODOS E MATERIAIS: Estudo prospectivo comparando amostras citológicas, culturas bacterianas aeruginosas e cultura independente de cultura de culturas aeruginosas do conduto auditivo externo. Os sujeitos com OE incluíram 10 cães com apenas cocos [≥25 no alto campo de potência (HPF)] na avaliação citológica e cultura de Staphylococcus spp.	The otic microbial population is more complex than appreciated by cytological methods and aerobic culture alone.	A população microbiana ótica é mais complexa do que apreciada pelos métodos citológicos e pela cultura aeruginosa.	A população microbiana ótica é mais complexa do que apreciada pelos métodos citológicos e pela cultura aeruginosa.		
31960536	Canine otitis externa (OE) is a common inflammatory disease that is frequently complicated by secondary bacterial and/or yeast infections. The otic microbial population is more complex than appreciated by cytological methods and aerobic culture alone. Differences in bacterial and fungal populations of the external ear canal will correlate with specific cytological and culture-based definitions of bacterial and Malassezia otitis. Forty client-owned dogs; 30 with OE and 10 with healthy ears. Prospective study comparing cytological samples, aerobic bacterial cultures and culture-independent sequencing-based analyses of the external ear canal. Subjects with OE included 10 dogs with only cocci [≥25/high power field (HPF)] on cytological evaluation and culture of Staphylococcus spp.;	A otite externa canina (OE) é uma doença inflamatória comum e frequentemente complicada por infecções bacterianas e/ou leveduras. A população microbiana ótica é mais complexa do que apreciada pelos métodos citológicos e pela cultura aeruginosa. Diferenças na população bacteriana e fúngica do conduto auditivo externo correlacionam-se com definições citológicas e de cultura baseadas em culturas específicas para otite bacteriana e Malassezia. Quarenta cães de propriedade privada; 30 com OE e 10 com orelhas saudáveis. MÉTODOS E MATERIAIS: Estudo prospectivo comparando amostras citológicas, culturas bacterianas aeruginosas e cultura independente de cultura de culturas aeruginosas do conduto auditivo externo. Os sujeitos com OE incluíram 10 cães com apenas cocos [≥25 no alto campo de potência (HPF)] na avaliação citológica e cultura de Staphylococcus spp.	A otite externa canina (OE) é uma doença inflamatória comum e frequentemente complicada por infecções bacterianas e/ou leveduras. A população microbiana ótica é mais complexa do que apreciada pelos métodos citológicos e pela cultura aeruginosa. Diferenças na população bacteriana e fúngica do conduto auditivo externo correlacionam-se com definições citológicas e de cultura baseadas em culturas específicas para otite bacteriana e Malassezia. Quarenta cães de propriedade privada; 30 com OE e 10 com orelhas saudáveis. MÉTODOS E MATERIAIS: Estudo prospectivo comparando amostras citológicas, culturas bacterianas aeruginosas e cultura independente de cultura de culturas aeruginosas do conduto auditivo externo. Os sujeitos com OE incluíram 10 cães com apenas cocos [≥25 no alto campo de potência (HPF)] na avaliação citológica e cultura de Staphylococcus spp.	Differences in bacterial and fungal populations of the external ear canal will correlate with specific cytological and culture-based definitions of bacterial and Malassezia otitis.	Diferenças na população bacteriana e fúngica do conduto auditivo externo correlacionam-se com definições citológicas e de cultura baseadas em culturas específicas para otite bacteriana e Malassezia.	Diferenças na população bacteriana e fúngica do conduto auditivo externo correlacionam-se com definições citológicas e de cultura baseadas em culturas específicas para otite bacteriana e Malassezia.		
34178060	The human skin is an extremely sophisticated and evolved organ that covers the whole body. External agents or the patient's own diseases can cause skin injuries that can challenge healthcare professionals and impose high social, economic and emotional costs. To evaluate the impact of topical nifedipine on skin wound healing, specifically on polymorphonuclear cells, vascular proliferation, and collagen. We used three pigs, and created eight injuries in the dorsal region of each animal. We applied 1%, 10%, and 20% concentration nifedipine creams to four of the wounds in animals 1, 2, and 3 respectively and treated the other twelve wounds with saline solution 0.9% only.	A pele humana é um órgão extremamente sofisticado e evolutivo que abrange todo o corpo. Agentes externos ou doenças do próprio paciente podem causar lesões cutâneas, podendo colocar desafios em profissionais de saúde, e impostos elevados custos sociais, econômicos e emocionais. Avaliar o impacto do creme tópico de ipendipina sobre a cicatrização de feridas cutâneas, mais especificamente sobre as células polimorfonucleares, proliferação vascular e colágeno. Foram utilizados três porcos, e criamos oito lesões na região dorsal de cada animal. Aplicamos cremes de IAL a 1%, 10% e 20% de concentração de IAL em quatro das feridas encontradas nos animais 1, 2 e 3, respectivamente e tratamos as outras 12 feridas utilizando solução salina 0,9% apenas.	A pele humana é um órgão extremamente sofisticado e evolutivo que abrange todo o corpo. Agentes externos ou doenças próprias do paciente podem causar lesões cutâneas que podem condicionar o trabalho do profissional de saúde e exigir elevados custos sociais, econômicos e emocionais. Avaliar o impacto da injeção de ipendipina sobre a cicatrização de feridas cutâneas, especificamente em relação a células polimorfonucleares, proliferação vascular e colágeno. Usamos três porcos, e criamos oito lesões na região dorsal de cada animal. Aplicamos 1%, 10% e 20% de concentração de injeção de ipendipina a quatro das feridas encontradas, em animais 1, 2, 3 e 3, respectivamente e tratamos as outras doze feridas com solução salina de 0,9%.	To evaluate the impact of topical nifedipine on skin wound healing, specifically on polymorphonuclear cells, vascular proliferation, and collagen	Avaliar o impacto do creme tópico de ipendipina sobre a cicatrização de feridas cutâneas, mais especificamente sobre as células polimorfonucleares, proliferação vascular e colágeno.	Avaliar o impacto da injeção de ipendipina sobre a cicatrização de feridas cutâneas, especificamente em relação a células polimorfonucleares, proliferação vascular e colágeno		

document-id	Context Source	Context Mode X	Context Mode y	Source Sentence	Mode x Sentence	Mode y Sentence	Ranking Type	Comment
34178060	The human skin is an extremely sophisticated and evolved organ that covers the whole body. External agents or the patient's own diseases can cause skin injuries that can challenge healthcare professionals and impose high social, economic and emotional costs. To evaluate the impact of topical nifedipine on skin wound healing, specifically on polymorphonuclear cells, vascular proliferation, and collagen. We used three pigs, and created eight injuries in the dorsal region of each animal. We applied 1%, 10%, and 20% concentration nifedipine creams to four of the wounds in animals 1, 2, and 3 respectively and treated the other twelve wounds with saline solution 0.9% only.	A pele humana é um órgão extremamente sofisticado e evolutivo que abrange todo o corpo. Agentes externos ou doenças do próprio paciente podem causar lesões cutâneas, podendo colocar desafios em profissionais de saúde, e impostos elevados custos sociais, econômicos e emocionais. Avaliar o impacto do creme tópico de ipendipina sobre a cicatrização de feridas cutâneas, mais especificamente sobre as células polimorfonucleares, proliferação vascular e colágeno. Foram utilizados três porcos, e criaram oito lesões na região dorsal de cada animal. Aplicamos cremes de IAL a 1%, 10% e 20% de concentração de IAL em quatro das feridas encontradas nos animais 1, 2 e 3, respectivamente e tratamos as outras 12 feridas utilizando solução salina 0,9% apenas.	A pele humana é um órgão extremamente sofisticado e evolutivo que abrange todo o corpo. Agentes externos ou doenças próprias do paciente podem causar lesões cutâneas que podem condicionar o trabalho do profissional de saúde e exigir elevados custos sociais, econômicos e emocionais. Avaliar o impacto da injeção tópica na cicatrização de feridas cutâneas, especificamente em relação a células polimorfonucleares, proliferação vascular e colágeno. Usamos três porcos e criamos oito lesões na região dorsal de cada animal. Aplicamos 1%, 10% e 20% de concentração de injeção a quatro das feridas encontradas, em animais 1, 2, 3 e 3, respectivamente e tratamos as outras doze feridas com solução salina de 0,9%.	We applied 1%, 10%, and 20% concentration nifedipine creams to four of the wounds in animals 1, 2, and 3 respectively and treated the other twelve wounds with saline solution 0.9% only.	Aplicamos cremes de IAL a 1%, 10% e 20% de concentração de IAL em quatro das feridas encontradas nos animais 1, 2 e 3, respectivamente e tratamos as outras 12 feridas utilizando solução salina 0,9% apenas.	Aplicamos 1%, 10% e 20% de concentração de injeção a quatro das feridas encontradas, em animais 1, 2, 3 e 3, respectivamente e tratamos as outras doze feridas com solução salina de 0,9%.		
33729336	The Rede Cegonha strategy was launched in 2011 by the federal government to improve pregnancy, delivery, postpartum care, and child development in the first two years of life, reduce maternal and child mortality, and expand women's sexual and reproductive rights. We propose seven new maternal indicators to improve obstetric care evaluation in the next assessment cycle. The new indicators are the use of Robson's classification to monitor cesarean rates, use of magnesium sulfate in cases of preeclampsia/eclampsia, pregnant women's use of calcium supplements, blood transfusions and hysterectomy in delivery/puerperium, management of puerperal sepsis, IUD insertions in the postpartum/post-abortion period, and obstetricians' continuing education.	A estratégia Rede Cegonha foi lançada no ano de 2011 pelo governo federal para melhorar a gestação, ao parto, ao puerpério e o desenvolvimento da criança nos dois primeiros anos de vida, reduzir a mortalidade materna e da criança e ampliar os direitos sexuais e reprodutivos das mulheres. Propomos sete novos indicadores maternos para melhorar a avaliação do cuidado obstétrico no próximo ciclo de avaliação. Os novos indicadores são o uso da classificação de Robson para monitorar taxas de cesarianas, uso de sulfato de magnésio em casos de pré-eclâmpsia/eclâmpsia, uso de cálcio em casos de pré-eclâmpsia, uso de suplementos de cálcio, transfusões e histerectomia no parto/puerperium, manejo da sepse puerperal, inserções do IUD no pós-parto/pós-aborto, e educação permanente para os obst	Estratégia Rede Cegonha foi lançada em 2011 pelo governo federal para melhorar a gestação, atendimento pós-parto e desenvolvimento infantil nos primeiros dois anos de vida, reduzir a mortalidade materna e da criança e ampliar os direitos sexuais e reprodutivos das mulheres. São propostos sete novos indicadores para melhorar a avaliação dos cuidados obstétricos no próximo ciclo avaliativo. O uso da classificação de Robson para monitorar as taxas de cesarianas, o uso de sulfato de magnésio em casos de pré-eclâmpsia/eclâmpsia, o uso de suplementos de cálcio, o uso de transfusões sanguíneas e histerectomia no parto/puerperio, manejo da sepse de parto, inserções de IUD no pós-parto/puerperio e educação permanente dos obstetras.	The new indicators are the use of Robson's classification to monitor cesarean rates, use of magnesium sulfate in cases of preeclampsia/eclampsia, pregnant women's use of calcium supplements, blood transfusions and hysterectomy in delivery/puerperium, management of puerperal sepsis, IUD insertions in the postpartum/post-abortion period, and obstetricians' continuing education.	Os novos indicadores são o uso da classificação de Robson para monitorar taxas de cesarianas, uso de sulfato de magnésio em casos de pré-eclâmpsia/eclâmpsia, uso de cálcio em casos de pré-eclâmpsia, uso de suplementos de cálcio, transfusões e histerectomia no parto/puerperium, manejo da sepse puerperal, inserções do IUD no pós-parto/pós-aborto, e educação permanente para os obst	O uso da classificação de Robson para monitorar as taxas de cesarianas, o uso de sulfato de magnésio em casos de pré-eclâmpsia/eclâmpsia, o uso de suplementos de cálcio, o uso de transfusões sanguíneas e histerectomia no parto/puerperio, manejo da sepse de parto, inserções de IUD no pós-parto/puerperio e educação permanente dos obstetras.		
32401844	In December 2019, a new human coronavirus, called severe acute respiratory syndrome coronavirus 2 (SARS-CoV-2) or coronavirus disease 2019 (COVID-19) by the World Health Organization, emerged in the city of Wuhan, China. Spreading globally, it is now considered pandemic, with approximately 3 million cases worldwide at the end of April. Its symptoms include fever, cough, and headache, but the main one is shortness of breath. In turn, it is believed that there is a relationship between COVID-19 and damage to the heart muscle, and hypertensive and diabetic patients, for example, seem to have worse prognosis. Therefore, COVID-19 may worsen in individuals with underlying adverse conditions, and a not negligible number of patients hospitalized with this virus had cardiovascular or cerebrovascular diseases.	Em dezembro de 2019, um novo coronavírus humano, denominado SARS-CoV-2, ou coronavírus 2019 (COVID-19) pela Organização Mundial de Saúde, emergiu na cidade de Wuhan, China. Distribuindo-se globalmente, é considerada pandemia, com cerca de 3 milhões de casos no final de abril. Os seus sintomas incluem febre, tosse e cefaleia, mas o principal é a insuficiência de ar. Por sua vez, acredita-se que há uma relação entre a COVID-19 e a lesão do músculo cardíaco, e os pacientes hipertensos e diabéticos, por exemplo, parecem apresentar pior prognóstico. Assim, a COVID-19 pode agravar em indivíduos com condições adversas e pouco número de pacientes hospitalizados com esse vírus tem doenças cardiovasculares ou cerebrovasculares.	Em dezembro de 2019, um novo coronavírus humano, conhecido como coronavírus da síndrome respiratória aguda grave 2 (SARS-CoV-2) ou coronavírus 2019 (COVID-19) pela Organização Mundial de Saúde (OMS), emergiu na cidade de Wuhan, China. Revelando-se globalmente, é considerado uma pandemia, com cerca de 3 milhões de casos em Abril. Os sintomas incluem febre, tosse e cefaleia, mas o principal sintoma é ausência de respiração. Por sua vez, acredita-se que há uma relação entre COVID-19 e danos ao músculo cardíaco, e pacientes com doenças cardiovasculares e cerebrovasculares, por exemplo, estão associados a um pior prognóstico. Assim, a COVID-19 pode piorar em indivíduos com condições adversas subjacentes e um número não negligenciado de pacientes hospitalizados com essa doença.	In December 2019, a new human coronavirus, called severe acute respiratory syndrome coronavirus 2 (SARS-CoV-2) or coronavirus disease 2019 (COVID-19) by the World Health Organization, emerged in the city of Wuhan, China	Em dezembro de 2019, um novo coronavírus humano, denominado SARS-CoV-2, ou coronavírus 2019 (COVID-19) pela Organização Mundial de Saúde, emergiu na cidade de Wuhan, China.	Em dezembro de 2019, um novo coronavírus humano, conhecido como coronavírus da síndrome respiratória aguda grave 2 (SARS-CoV-2) ou coronavírus 2019 (COVID-19) pela Organização Mundial de Saúde (OMS), emergiu na cidade de Wuhan, China.		


document-id	Context Source	Context Mode X	Context Mode y	Source Sentence	Mode x Sentence	Mode y Sentence	Ranking Type	Comment
32401844	In December 2019, a new human coronavirus, called severe acute respiratory syndrome coronavirus 2 (SARS-CoV-2) or coronavirus disease 2019 (COVID-19) by the World Health Organization, emerged in the city of Wuhan, China. Spreading globally, it is now considered pandemic, with approximately 3 million cases worldwide at the end of April. Its symptoms include fever, cough, and headache, but the main one is shortness of breath. In turn, it is believed that there is a relationship between COVID-19 and damage to the heart muscle, and hypertensive and diabetic patients, for example, seem to have worse prognosis. Therefore, COVID-19 may worsen in individuals with underlying adverse conditions, and a not negligible number of patients hospitalized with this virus had cardiovascular or cerebrovascular diseases.	Em dezembro de 2019, um novo coronavírus humano, denominado SARS-CoV-2, ou coronavírus 2019 (COVID-19) pela Organização Mundial de Saúde, emergiu na cidade de Wuhan, China. Distribuindo-se globalmente, é considerada pandemia, com cerca de 3 milhões de casos no final de abril. Os seus sintomas incluem febre, tosse e cefaleia, mas o principal é a insuficiência de ar. Por sua vez, acredita-se que há uma relação entre a COVID-19 e a lesão do músculo cardíaco, e os pacientes hipertensos e diabéticos, por exemplo, parecem apresentar pior prognóstico. Assim, a COVID-19 pode agravar em indivíduos com condições adversas e pouco número de pacientes hospitalizados com esse vírus tem doenças cardiovasculares ou cerebrovasculares.	Em dezembro de 2019, um novo coronavírus humano, conhecido como coronavírus da síndrome respiratória aguda grave 2 (SARS-CoV-2) ou coronavírus 2019 (COVID-19) pela Organização Mundial de Saúde (OMS), emergiu na cidade de Wuhan, China. Revelando-se globalmente, é considerado uma pandemia, com cerca de 3 milhões de casos em Abril. Os sintomas incluem febre, tosse e cefaleia, mas o principal sintoma é ausência de respiração. Por sua vez, acredita-se que há uma relação entre COVID-19 e danos ao músculo cardíaco, e pacientes com doenças cardiovasculares e cerebrovasculares, por exemplo, estão associados a um pior prognóstico. Assim, a COVID-19 pode piorar em indivíduos com condições adversas subjacentes e um número não negligenciado de pacientes hospitalizados com essa doença.	In turn, it is believed that there is a relationship between COVID-19 and damage to the heart muscle, and hypertensive and diabetic patients, for example, seem to have worse prognosis.	Por sua vez, acredita-se que há uma relação entre a COVID-19 e a lesão do músculo cardíaco, e os pacientes hipertensos e diabéticos, por exemplo, parecem apresentar pior prognóstico.	Por sua vez, acredita-se que há uma relação entre COVID-19 e danos ao músculo cardíaco, e pacientes com doenças cardiovasculares e cerebrovasculares, por exemplo, estão associados a um pior prognóstico		
34305192	Although the novel coronavirus that has resulted in more than 3 million deaths and 140 million cases of infection worldwide has wreaked havoc globally, some nations were more successful than others in curbing growth in their number of cases, thereby saving lives. In this research note, we integrate insights from cross-cultural research with inquiry in social psychology and public health literatures to advance a theoretically grounded and culturally derived explanation of cross-national variance in the growth rate of COVID-19. Our multi-level analyses, based on longitudinal time series data from 107 nations, and focused on the first 91 days of this pandemic in different nations, illustrate the direct and interactive effects of culture.	Embora o novo coronavírus que resultou em mais de 3 milhões de mortes e 140 milhões de casos de infecção a nível mundial tenha causado desastres globais, algumas nações foram mais eficazes que outras e em reduzir o crescimento dos número de casos, salvando vidas. Nesta nota de pesquisa, nós integramos conhecimentos oriundos da pesquisa transcultural com a investigação em psicologia social e literaturas de saúde pública para avançar uma explicação teórico-baseada e derivada da cultura cultural na taxa de crescimento da COVID-19. As nossas análises multiníveis, baseadas em séries temporais longitudinais de 107 nações, e focadas nos primeiros 91 dias desta pandemia em diferentes nações, ilustram o impacto direto e interativo da cultura.	Embora o novo coronavírus que resultou em mais de 3 milhões de mortes e 140 milhões de casos de infecção mundial, algumas nações foram mais eficazes do que outras na interrupção do crescimento em seus números de casos e salvando vidas. Neste texto de pesquisa, integramos conhecimentos de pesquisas transversais com pesquisas em psicologia social e literaturas públicas de saúde, para avançar uma explicação teórica baseada em estes dados. As análises multiníveis, baseadas em séries de tempo longitudinais de 107 nações, e focadas nos primeiros 91 dias dessa pandemia em diferentes nações, ilustram diretamente e interativamente nos efeitos diretos e interativos da cultura.	Although the novel coronavirus that has resulted in more than 3 million deaths and 140 million cases of infection worldwide has wreaked havoc globally, some nations were more successful than others in curbing growth in their number of cases, thereby saving lives	Embora o novo coronavírus que resultou em mais de 3 milhões de mortes e 140 milhões de casos de infecção a nível mundial tenha causado desastres globais, algumas nações foram mais eficazes que outras e em reduzir o crescimento dos número de casos, salvando vidas.	Embora o novo coronavírus que resultou em mais de 3 milhões de mortes e 140 milhões de casos de infecção mundial, algumas nações foram mais eficazes do que outras na interrupção do crescimento em seus números de casos e salvando vidas.		
34787179	This is a cross-sectional study with 2,909 participants (aged ≥18 years) from the baseline of the Cohort of Universities of Minas Gerais [CUME - Coorte de Universidades Mineiras] which verified the association between alcohol consumption and overweight. Data on sociodemographic factors, lifestyle, eating habits, anthropometric factors and clinical conditions were collected through an online questionnaire. Body mass index ≥ 25 kg/m <sup>2</sup> was considered an indicator of overweight. The daily consumption of alcohol was evaluated in grams (alcohol) and according to type in milliliters (beer, wine, hard liquor). The prevalence of alcohol consumption and overweight was 73.6% and 40.8%, respectively. There was a significant tendency of an increase in overweight with higher beer consumption (tendency p value of 0.038)	Apresenta-se um estudo transversal com 2.309 participantes (idade ≥18 anos) provenientes da linha de base da Coorte de Universidades Mineiras [CUME - Coorte de Universidades Mineiras] que verificou a associação entre consumo de álcool e excesso de peso. Foram coletados dados referentes a fatores sociodemográficos, de estilo de vida, hábitos alimentares, fatores antropométricos e condições clínicas. Considerou-se indicador de excesso de peso o índice de massa corporal ≥ 25 kg/m<sup>2</sup>. O consumo diário de álcool foi avaliado em gramas (álcool) e segundo tipo em mililitros (cerveja, vinho, bebida alcoólica). A prevalência de consumo de álcool e excesso de peso foi de 73,6% e 40,8%, respectivamente. Houve tendência significativa de aumento do excesso de peso com maior consumo de cerveja (valor p de 0,038)	Este é um estudo transversal com 2.979 participantes (idade ≥18 anos) da linha de base da Coorte de Universidades de Minas Gerais (CUME), que verificou a associação entre consumo de álcool e excesso de peso. Os dados de fatores sociodemográficos, estilo de vida, hábitos alimentares, fatores antropométricos e condições clínicas foram coletados por meio de questionário online. O índice de massa corporal ≥ 25 kg/m2 foi considerado um indicador de excesso de peso. O consumo diário de álcool foi avaliado em gramas (álcool) e por tipo em mililitros (bebidas, vinho, licor). A prevalência de consumo de álcool e excesso de peso foi de 73,6% e 40,8%, respectivamente. Houve tendência significativa de aumento do excesso de peso com maior consumo de álcool (tendência p valor de 0,038),	This is a cross-sectional study with 2,909 participants (aged ≥18 years) from the baseline of the Cohort of Universities of Minas Gerais [CUME - Coorte de Universidades Mineiras] which verified the association between alcohol consumption and overweight.	Apresenta-se um estudo transversal com 2.309 participantes (idade ≥18 anos) provenientes da linha de base da Coorte de Universidades Mineiras [CUME - Coorte de Universidades Mineiras] que verificou a associação entre consumo de álcool e excesso de peso.	Este é um estudo transversal com 2.979 participantes (idade ≥18 anos) da linha de base da Coorte de Universidades de Minas Gerais (CUME), que verificou a associação entre consumo de álcool e excesso de peso		

document-id	Context Source	Context Mode X	Context Mode y	Source Sentence	Mode x Sentence	Mode y Sentence	 Ranking Type	Comment
31691785	This study analyzes time trends in verbal bullying, domestic violence, and involvement in fights with firearms among adolescents in Brazilian state capitals from 2009 to 2015. The study of trends uses data from the Brazilian National Survey of School Health (PeNSE) in 2009, 2012, and 2015 among ninth-graders enrolled in public and private schools in the country's 26 state capitals and the Federal District. The analysis focused on domestic violence, verbal bullying, and involvement in fights with cold steel weapons and firearms in the 30 days prior to the interview. Logistic regression was performed, adjusted for sociodemographic and behavioral characteristics, with analysis of each type of violence in Brazil and in the capital cities, according to sex. The trends were spatialized.	Trata-se de um estudo de tendência temporal das tendências temporais de bullying verbal, violência doméstica e envolvimento em brigas com arma de fogo entre adolescentes das capitais brasileiras entre 2009 e 2015. Utilizaram-se dados da Pesquisa Nacional de Saúde do Escolar (PeNSE) de 2009, 2012 e 2015 entre estudantes do nono ano de escolaridade em escolas públicas e privadas das 26 capitais brasileiras e do Distrito Federal. A análise centrou-se na violência doméstica, no bullying verbal e no envolvimento em brigas com arma de fogo de aço e com arma de fogo nos 30 dias anteriores à entrevista. Foi realizada regressão logística, ajustada para características sociodemográficas e comportamentais, com análise de cada tipo de violência no Brasil e nas capitais, segundo sexo. As tendências foram estruturadas.	Este estudo analisa a tendência temporal da violência verbal, violência doméstica e envolvimento em brigas com arma de fogo (AF) entre adolescentes das capitais brasileiras entre 2009 e 2015. A análise de tendência emprega dados da Pesquisa Nacional de Saúde do Escolar (PeNSE) de 2009, 2012 e 2015 das 26 capitais brasileiras e do Distrito Federal. A análise se concentrou em violência doméstica, violência verbal e envolvimento em brigas com armas de fogo (AF) nos 30 dias anteriores à entrevista. Foi realizada regressão logística ajustada por características sociodemográficas e comportamentais, com análise de cada tipo de violência no Brasil e nas capitais, segundo sexo. As tendências foram espacializadas.	This study analyzes time trends in verbal bullying, domestic violence, and involvement in fights with firearms among adolescents in Brazilian state capitals from 2009 to 2015.	Trata-se de um estudo de tendência temporal das tendências temporais de bullying verbal, violência doméstica e envolvimento em brigas com arma de fogo entre adolescentes das capitais brasileiras entre 2009 e 2015.	Este estudo analisa a tendência temporal da violência verbal, violência doméstica e envolvimento em brigas com arma de fogo (AF) entre adolescentes das capitais brasileiras entre 2009 e 2015		
31703181	Maternal mortality and morbidity are important indicators of the quality of health-care services. Obstetric admissions to an intensive care unit may be considered a marker of maternal morbidity. The aim of this study was to determine the incidence, maternal morbidity and mortality of pregnant and postpartum women who required admission to the intensive care unit. Retrospective analysis of all the obstetric patients admitted to the intensive care unit between 2000 and 2017. Results: Ninety-three women required admission to intensive care (0.7 per 1000 deliveries, 0.8% of all adult admissions). Mean age was 30.3 years, mean gestational age was 33.6 weeks, 51 (54.8%) were primiparous, nine (9.7%) were pregnant of twins	Introdução: A mortalidade materna e a morbidade são importantes indicadores da qualidade dos serviços de atenção à saúde. As internações obstétricas à unidade de terapia intensiva podem ser consideradas marcadores de morbidade materna. O objetivo deste estudo foi determinar a incidência, a morbidade materna e a mortalidade de gestantes e do puerpério que necessitaram de internação à unidade de terapia intensiva. Material e Métodos: Análise retrospectiva de todos os pacientes obstétricos admitidos à unidade de terapia intensiva entre 2000 e 2017. Resultados: Noventa e três mulheres necessitaram de internação à unidade de terapia intensiva (0,3 por 1.000 partos, 0,8% de todas as internações adultas). A idade média foi de 30,3 anos, a média da idade gestacional foi de 33,6 semanas. 51 (54,8%) eram primíparas, nove (9,7%) eram grávidas de gêmeos	Introdução: A mortalidade materna e a morbidade materna são importantes indicadores da qualidade dos serviços de saúde. As internações obstétricas a uma unidade de terapia intensiva podem ser consideradas indicadores da morbidade materna. O objetivo deste estudo foi determinar a incidência, a morbidade materna e a mortalidade de mulheres grávidas e em pós-parto que necessitaram de internação à unidade de terapia intensiva. Material e Métodos: Estudo retrospectivo de todos os pacientes obstétricos admitidos à unidade de terapia intensiva entre 2000 e 2017. Resultados: Noventa e três mulheres necessitaram de internação à unidade de terapia intensiva ( 0,7 por cada 1.000 partos, 0,8% de todas as internações adultas). Resultados: A idade média foi 30,3 anos, a média de idade gestacional foi de 33,6 semanas, 51 (54,8%) eram primíparas, nove (9,7%) eram gestantes de gêmeos	Maternal mortality and morbidity are important indicators of the quality of health-care services.	Introdução: A mortalidade materna e a morbidade são importantes indicadores da qualidade dos serviços de atenção à saúde.	Introdução: A mortalidade materna e a morbidade materna são importantes indicadores da qualidade dos serviços de saúde.		
31703181	Maternal mortality and morbidity are important indicators of the quality of health-care services. Obstetric admissions to an intensive care unit may be considered a marker of maternal morbidity. The aim of this study was to determine the incidence, maternal morbidity and mortality of pregnant and postpartum women who required admission to the intensive care unit. Retrospective analysis of all the obstetric patients admitted to the intensive care unit between 2000 and 2017. Results: Ninety-three women required admission to intensive care (0.7 per 1000 deliveries, 0.8% of all adult admissions). Mean age was 30.3 years, mean gestational age was 33.6 weeks, 51 (54.8%) were primiparous, nine (9.7%) were pregnant of twins	Introdução: A mortalidade materna e a morbidade são importantes indicadores da qualidade dos serviços de atenção à saúde. As internações obstétricas à unidade de terapia intensiva podem ser consideradas marcadores de morbidade materna. O objetivo deste estudo foi determinar a incidência, a morbidade materna e a mortalidade de gestantes e do puerpério que necessitaram de internação à unidade de terapia intensiva. Material e Métodos: Análise retrospectiva de todos os pacientes obstétricos admitidos à unidade de terapia intensiva entre 2000 e 2017. Resultados: Noventa e três mulheres necessitaram de internação à unidade de terapia intensiva (0,3 por 1.000 partos, 0,8% de todas as internações adultas). A idade média foi de 30,3 anos, a média da idade gestacional foi de 33,6 semanas. 51 (54,8%) eram primíparas, nove (9,7%) eram grávidas de gêmeos	Introdução: A mortalidade materna e a morbidade materna são importantes indicadores da qualidade dos serviços de saúde. As internações obstétricas a uma unidade de terapia intensiva podem ser consideradas indicadores da morbidade materna. O objetivo deste estudo foi determinar a incidência, a morbidade materna e a mortalidade de mulheres grávidas e em pós-parto que necessitaram de internação à unidade de terapia intensiva. Material e Métodos: Estudo retrospectivo de todos os pacientes obstétricos admitidos à unidade de terapia intensiva entre 2000 e 2017. Resultados: Noventa e três mulheres necessitaram de internação à unidade de terapia intensiva ( 0,7 por cada 1.000 partos, 0,8% de todas as internações adultas). Resultados: A idade média foi 30,3 anos, a média de idade gestacional foi de 33,6 semanas, 51 (54,8%) eram primíparas, nove (9,7%) eram gestantes de gêmeos	The aim of this study was to determine the incidence, maternal morbidity and mortality of pregnant and postpartum women who required admission to the intensive care unit.	O objetivo deste estudo foi determinar a incidência, a morbidade materna e a mortalidade de gestantes e do puerpério que necessitaram de internação à unidade de terapia intensiva.	O objetivo deste estudo foi determinar a incidência, a morbidade materna e a mortalidade de mulheres grávidas e em pós-parto que necessitaram de internação à unidade de terapia intensiva.		

document-id	Context Source	Context Mode X	Context Mode y	Source Sentence	Mode x Sentence	Mode y Sentence	 Ranking Type	Comment
26379317	<p>The present study was aimed at retrospectively reviewing high-resolution computed tomography (HRCT) findings in patients with pulmonary alveolar microlithiasis in order to evaluate the frequency of tomographic findings and their distribution in the lung parenchyma. Thirteen patients (9 females and 4 males; age, 9 to 59 years; mean age, 34.5 years) were included in the present study. The HRCT images were independently evaluated by two observers whose decisions were made by consensus. The inclusion criterion was the presence of abnormalities typical of pulmonary alveolar microlithiasis at HRCT, which precludes lung biopsy.</p>	<p>O presente estudo tem como objetivo avaliar, retrospectivamente, exames de tomografia computadorizada de alta resolução (TCAR) em pacientes com microlitíase alveolar pulmonar, a fim de avaliar a frequência dos achados tomográficos e sua distribuição no parênquima pulmonar. Treze pacientes (9 femininos e 4 masculinos) com idades variando de 9 a 59 anos; média de 34,5 anos) foram incluídos no presente estudo. Os exames realizados na TCAR foram avaliados por dois observadores, de modo independente, sendo as decisões tomadas pelo consenso. O critério de inclusão foi a presença de anormalidades na TCAR típicas de microlitíase alveolar pulmonar no TCAR, condicionando biópsia pulmonar.</p>	<p>O objetivo deste estudo foi avaliar, retrospectivamente, os achados tomográficos de alta resolução da tomografia computadorizada (TCAR) de pacientes com microlitíase alveolar pulmonar, a fim de avaliar a frequência dos achados tomográficos e sua distribuição no parênquima pulmonar. Treze pacientes (9 mulheres e 4 homens; idade, 9 a 59 anos; idade média, 34,5 anos) foram incluídos no presente estudo. As imagens da TCAR foram avaliadas de forma independente por dois observadores, sendo as decisões tomadas por consenso. O critério de inclusão foi a presença de anormalidades na microlitíase alveolar pulmonar, na TCAR, que prescinde a realização de biópsia pulmonar. No entanto, em 6 casos foi realizada biópsia pulmonar.</p>	<p>The present study was aimed at retrospectively reviewing high-resolution computed tomography (HRCT) findings in patients with pulmonary alveolar microlithiasis in order to evaluate the frequency of tomographic findings and their distribution in the lung parenchyma.</p>	<p>O presente estudo tem como objetivo avaliar, retrospectivamente, exames de tomografia computadorizada de alta resolução (TCAR) em pacientes com microlitíase alveolar pulmonar, a fim de avaliar a frequência dos achados tomográficos e sua distribuição no parênquima pulmonar.</p>	<p>O objetivo deste estudo foi avaliar, retrospectivamente, os achados tomográficos de alta resolução da tomografia computadorizada (TCAR) de pacientes com microlitíase alveolar pulmonar, a fim de avaliar a frequência dos achados tomográficos e sua distribuição no parênquima pulmonar.</p>		
26379317	<p>The present study was aimed at retrospectively reviewing high-resolution computed tomography (HRCT) findings in patients with pulmonary alveolar microlithiasis in order to evaluate the frequency of tomographic findings and their distribution in the lung parenchyma. Thirteen patients (9 females and 4 males; age, 9 to 59 years; mean age, 34.5 years) were included in the present study. The HRCT images were independently evaluated by two observers whose decisions were made by consensus. The inclusion criterion was the presence of abnormalities typical of pulmonary alveolar microlithiasis at HRCT, which precludes lung biopsy.</p>	<p>O presente estudo tem como objetivo avaliar, retrospectivamente, exames de tomografia computadorizada de alta resolução (TCAR) em pacientes com microlitíase alveolar pulmonar, a fim de avaliar a frequência dos achados tomográficos e sua distribuição no parênquima pulmonar. Treze pacientes (9 femininos e 4 masculinos) com idades variando de 9 a 59 anos; média de 34,5 anos) foram incluídos no presente estudo. Os exames realizados na TCAR foram avaliados por dois observadores, de modo independente, sendo as decisões tomadas pelo consenso. O critério de inclusão foi a presença de anormalidades na TCAR típicas de microlitíase alveolar pulmonar no TCAR, condicionando biópsia pulmonar.</p>	<p>O objetivo deste estudo foi avaliar, retrospectivamente, os achados tomográficos de alta resolução da tomografia computadorizada (TCAR) de pacientes com microlitíase alveolar pulmonar, a fim de avaliar a frequência dos achados tomográficos e sua distribuição no parênquima pulmonar. Treze pacientes (9 mulheres e 4 homens; idade, 9 a 59 anos; idade média, 34,5 anos) foram incluídos no presente estudo. As imagens da TCAR foram avaliadas de forma independente por dois observadores, sendo as decisões tomadas por consenso. O critério de inclusão foi a presença de anormalidades na microlitíase alveolar pulmonar, na TCAR, que prescinde a realização de biópsia pulmonar.</p>	<p>The HRCT images were independently evaluated by two observers whose decisions were made by consensus.</p>	<p>Os exames realizados na TCAR foram avaliados por dois observadores, de modo independente, sendo as decisões tomadas pelo consenso.</p>	<p>As imagens da TCAR foram avaliadas de forma independente por dois observadores, sendo as decisões tomadas por consenso.</p>		
26379317	<p>The present study was aimed at retrospectively reviewing high-resolution computed tomography (HRCT) findings in patients with pulmonary alveolar microlithiasis in order to evaluate the frequency of tomographic findings and their distribution in the lung parenchyma. Thirteen patients (9 females and 4 males; age, 9 to 59 years; mean age, 34.5 years) were included in the present study. The HRCT images were independently evaluated by two observers whose decisions were made by consensus. The inclusion criterion was the presence of abnormalities typical of pulmonary alveolar microlithiasis at HRCT, which precludes lung biopsy.</p>	<p>O presente estudo tem como objetivo avaliar, retrospectivamente, exames de tomografia computadorizada de alta resolução (TCAR) em pacientes com microlitíase alveolar pulmonar, a fim de avaliar a frequência dos achados tomográficos e sua distribuição no parênquima pulmonar. Treze pacientes (9 femininos e 4 masculinos) com idades variando de 9 a 59 anos; média de 34,5 anos) foram incluídos no presente estudo. Os exames realizados na TCAR foram avaliados por dois observadores, de modo independente, sendo as decisões tomadas pelo consenso. O critério de inclusão foi a presença de anormalidades na TCAR típicas de microlitíase alveolar pulmonar no TCAR, condicionando biópsia pulmonar.</p>	<p>O objetivo deste estudo foi avaliar, retrospectivamente, os achados tomográficos de alta resolução da tomografia computadorizada (TCAR) de pacientes com microlitíase alveolar pulmonar, a fim de avaliar a frequência dos achados tomográficos e sua distribuição no parênquima pulmonar. Treze pacientes (9 mulheres e 4 homens; idade, 9 a 59 anos; idade média, 34,5 anos) foram incluídos no presente estudo. As imagens da TCAR foram avaliadas de forma independente por dois observadores, sendo as decisões tomadas por consenso. O critério de inclusão foi a presença de anormalidades na microlitíase alveolar pulmonar, na TCAR, que prescinde a realização de biópsia pulmonar.</p>	<p>The inclusion criterion was the presence of abnormalities typical of pulmonary alveolar microlithiasis at HRCT, which precludes lung biopsy.</p>	<p>O critério de inclusão foi a presença de anormalidades na TCAR típicas de microlitíase alveolar pulmonar no TCAR, condicionando biópsia pulmonar.</p>	<p>O critério de inclusão foi a presença de anormalidades na microlitíase alveolar pulmonar, na TCAR, que prescinde a realização de biópsia pulmonar.</p>		
27818986	<p>The objective here was to report two rare cases of anterior avulsion fracture of the tibial tuberosity in adolescents. Case 1 was a 15-year-old male who became injured through landing on his left knee and presented limited extension. Case 2 was a 16-year-old basketball player who presented sudden pain in the right knee and functional incapacity, after a jump. Imaging examinations (radiographs and computed tomography) showed anterior avulsion fractures of the tibial tuberosity. Surgical fixation was performed using screws and anchors, while avoiding growth plate injury. The cases evolved without lower-limb deformities.</p>	<p>O objetivo é relatar dois casos raros de fratura-avulsão da tuberosidade anterior da tíbia em adolescentes. Caso 1: 15 anos, masculino, com trauma no joelho esquerdo e limitação da extensão. Caso 2: 16 anos, jogador de basquete com dor súbita no joelho direito e incapacidade funcional após salto. exames de imagem (radiografias e tomografias) mostraram fratura-avulsão da tuberosidade anterior da tíbia. A fixação cirúrgica foi realizada com parafusos e âncoras, evitando a trauma de placa. Os casos evoluíram sem deformidades de membros inferiores.</p>	<p>O objetivo é descrever dois casos raros de fratura-avulsão anterior da tuberosidade anterior da tíbia em adolescentes. Caso 1 foi um homem de 15 anos que evoluiu com impacto no joelho esquerdo e apresentou limitação da extensão. Caso 2 foi um atleta de futebol de 16 anos que evoluiu com dor súbita no joelho direito e incapacidade funcional após queda. O exames de imagem (radiografias e tomografias) evidenciaram fratura-avulsão anterior da tuberosidade anterior da tíbia. Fez-se fixação cirúrgica com parafusos e âncoras, no sentido de evitar lesões da placa de crescimento. Os casos evoluíram sem deformidades em membros inferiores.</p>	<p>The objective here was to report two rare cases of anterior avulsion fracture of the tibial tuberosity in adolescents.</p>	<p>O objetivo é relatar dois casos raros de fratura-avulsão da tuberosidade anterior da tíbia em adolescentes.</p>	<p>O objetivo é descrever dois casos raros de fratura-avulsão anterior da tuberosidade anterior da tíbia em adolescentes.</p>		



document-id	Context Source	Context Mode X	Context Mode y	Source Sentence	Mode x Sentence	Mode y Sentence	Ranking Type	Comment
27818986	The objective here was to report two rare cases of anterior avulsion fracture of the tibial tuberosity in adolescents. Case 1 was a 15-year-old male who became injured through landing on his left knee and presented limited extension. Case 2 was a 16-year-old basketball player who presented sudden pain in the right knee and functional incapacity, after a jump. Imaging examinations (radiographs and computed tomography) showed anterior avulsion fractures of the tibial tuberosity. Surgical fixation was performed using screws and anchors, while avoiding growth plate injury. The cases evolved without lower-limb deformities.	O objetivo é relatar dois casos raros de fratura-avulsão da tuberosidade anterior da tíbia em adolescentes. Caso 1: 15 anos, masculino, com trauma no joelho esquerdo e limitação da extensão. Caso 2: 16 anos, jogador de basquete com dor súbita no joelho direito e incapacidade funcional após salto. exames de imagem (radiografias e tomografias) mostraram fratura-avulsão da tuberosidade anterior da tíbia. A fixação cirúrgica foi realizada com parafusos e âncoras, evitando a trauma de placa. Os casos evoluíram sem deformidades de membros inferiores.	O objetivo é descrever dois casos raros de fratura-avulsão anterior da tuberosidade anterior da tíbia em adolescentes. Caso 1 foi um homem de 15 anos que evoluiu com impacto no joelho esquerdo e apresentou limitação da extensão. Caso 2 foi um atleta de futebol de 16 anos que evoluiu com dor súbita no joelho direito e incapacidade funcional após queda. O exames de imagem (radiografias e tomografias) evidenciaram fratura-avulsão anterior da tuberosidade anterior da tíbia. Fez-se fixação cirúrgica com parafusos e âncoras, no sentido de evitar lesões da placa de crescimento. Os casos evoluíram sem deformidades em membros inferiores.	Surgical fixation was performed using screws and anchors, while avoiding growth plate injury.	A fixação cirúrgica foi realizada com parafusos e âncoras, evitando a trauma de placa.	Fez-se fixação cirúrgica com parafusos e âncoras, no sentido de evitar lesões da placa de crescimento.		
31090863	Total knee arthroplasty is an elective procedure performed on relatively healthy individuals. However, due to the inherent risk of venous thromboembolism, drugs are used for its prophylaxis. The objective of the present study was to conduct a systematic review of the literature to compare the efficacy of enoxaparin and rivaroxaban in preventing this complication and the risk of intraoperative bleeding. We reviewed the Scielo, Pubmed and Cochrane databases with the descriptors knee arthroplasty, rivaroxaban and enoxaparin through the PICO search strategy. Inclusion criteria were the articles during the study period comparing both drugs in knee arthroplasty.	A artroplastia total do joelho é um procedimento eletivo realizado em indivíduos relativamente saudáveis. Porém, devido ao risco inerente de tromboembolismo venoso, os medicamentos são utilizados para sua profilaxia. O objetivo do presente estudo foi realizar uma revisão sistemática da literatura para comparar a eficácia da enoxaparina e rivaroxabana na prevenção desta complicação e o risco de hemorragia no intraoperatório. Material e Métodos: Foram revisadas as bases de dados Scielo, Pubmed e Cochrane com os descritores artroplastia total do joelho, rivaroxabana e enoxaparina por meio da estratégia de busca PICO.	A artroplastia total do joelho é um procedimento eletivo realizado em doentes relativamente saudáveis. No entanto, pelo risco inerente de tromboembolismo venoso, utilizam-se medicamentos para sua profilaxia. O objetivo do presente estudo foi realizar uma revisão sistemática da literatura, visando comparar a eficácia da enoxaparina e rivaroxabana na prevenção desta complicação e o risco de sangramento intraoperatório. Foram revisadas as bases de dados Scielo, Pubmed e Cochrane com os descritores artroplastia total do joelho, rivaroxabana e enoxaparina por meio da estratégia PICO.	The objective of the present study was to conduct a systematic review of the literature to compare the efficacy of enoxaparin and rivaroxaban in preventing this complication and the risk of intraoperative bleeding	O objetivo do presente estudo foi realizar uma revisão sistemática da literatura para comparar a eficácia da enoxaparina e rivaroxabana na prevenção desta complicação e o risco de hemorragia no intraoperatório	O objetivo do presente estudo foi realizar uma revisão sistemática da literatura, visando comparar a eficácia da enoxaparina e rivaroxabana na prevenção desta complicação e o risco de sangramento intraoperatório.		
31090863	Total knee arthroplasty is an elective procedure performed on relatively healthy individuals. However, due to the inherent risk of venous thromboembolism, drugs are used for its prophylaxis. The objective of the present study was to conduct a systematic review of the literature to compare the efficacy of enoxaparin and rivaroxaban in preventing this complication and the risk of intraoperative bleeding. We reviewed the Scielo, Pubmed and Cochrane databases with the descriptors knee arthroplasty, rivaroxaban and enoxaparin through the PICO search strategy.	A artroplastia total do joelho é um procedimento eletivo realizado em indivíduos relativamente saudáveis. Porém, devido ao risco inerente de tromboembolismo venoso, os medicamentos são utilizados para sua profilaxia. O objetivo do presente estudo foi realizar uma revisão sistemática da literatura para comparar a eficácia da enoxaparina e rivaroxabana na prevenção desta complicação e o risco de hemorragia no intraoperatório. Material e Métodos: Foram revisadas as bases de dados Scielo, Pubmed e Cochrane com os descritores artroplastia total do joelho, rivaroxabana e enoxaparina por meio da estratégia de busca PICO.	A artroplastia total do joelho é um procedimento eletivo realizado em doentes relativamente saudáveis. No entanto, pelo risco inerente de tromboembolismo venoso, utilizam-se medicamentos para sua profilaxia. O objetivo do presente estudo foi realizar uma revisão sistemática da literatura, visando comparar a eficácia da enoxaparina e rivaroxabana na prevenção desta complicação e o risco de sangramento intraoperatório. Foram revisadas as bases de dados Scielo, Pubmed e Cochrane com os descritores artroplastia total do joelho, rivaroxabana e enoxaparina por meio da estratégia PICO.	We reviewed the Scielo, Pubmed and Cochrane databases with the descriptors knee arthroplasty, rivaroxaban and enoxaparin through the PICO search strategy.	Foram revisadas as bases de dados Scielo, Pubmed e Cochrane com os descritores artroplastia total do joelho, rivaroxabana e enoxaparina por meio da estratégia de busca PICO.	Foram revisadas as bases de dados Scielo, Pubmed e Cochrane com os descritores artroplastia total do joelho, rivaroxabana e enoxaparina por meio da estratégia PICO.		
29062815	To compare proximal femur radiologic angles in patients with slipped capital femoral epiphysis and to analyze whether computerized tomography may modify the treatment. Cross-sectional study comparing and analyzing the similarity between angles and radiologic classification of interest in slipped capital femoral epiphysis might be modified depending on the classification and radiologic acquisition method adopted. Multiplanar assessment of proximal femoral deformity in patients with slipped capital femoral epiphysis is a viable option, with the potential to modify the disease classification and, consequently, the therapeutic management.	Comparar arcos radiológicos do fêmur proximal em pacientes com escorregamento proximal do fêmur (PEF) e analisar, o tomographycomputadorizada pode modificar o tratamento. Estudo transversal que comparou e analisou simultaneamente os arcos e a classificação radiológica de interesse no escorregamento proximal do fêmur (PEF). Foi observado que o manejo terapêutico no escorregamento proximal do fêmur pode ser modificado, dependendo da classificação adotada e do método de aquisição de imagens radiológicas. A avaliação multiplanar da deformidade proximal do fêmur em pacientes com escorregamento proximal do fêmur é uma opção viável, tendo como potencial modificar a classificação da doença e, por conseguinte, o manejo terapêutico.	Comparar os ângulos radiológicos do fêmur proximal em pacientes com escorrego de cabeça do fêmur e analisar se a tomografia computadorizada pode modificar o tratamento. Estudo transversal para comparação e análise da similaridade dos ângulos e da classificação radiológica de interesse no escorrego de cabeça do fêmur (EPCF). Apresentou-se evidências de que o manejo terapêutico no escorrego de cabeça do fêmur sair de pacientes com escorrego de cabeça do fêmur. A avaliação multiplanar da deformidade do fêmur proximal em pacientes com escorrego de cabeça do fêmur é uma opção viável e com potencial de modificar a classificação da doença e, portanto, o manejo terapêutico.	To compare proximal femur radiologic angles in patients with slipped capital femoral epiphysis and to analyze whether computerized tomography may modify the treatment.	Comparar arcos radiológicos do fêmur proximal em pacientes com escorregamento proximal do fêmur (PEF) e analisar, o tomographycomputadorizada pode modificar o tratamento.	Comparar os ângulos radiológicos do fêmur proximal em pacientes com escorrego de cabeça do fêmur e analisar se a tomografia computadorizada pode modificar o tratamento.		

document-id	Context Source	Context Mode X	Context Mode y	Source Sentence	Mode x Sentence	Mode y Sentence	 Ranking Type	Comment
29062815	To compare proximal femur radiologic angles in patients with slipped capital femoral epiphysis and to analyze whether computerized tomography may modify the treatment. Cross-sectional study comparing and analyzing the similarity between angles and radiologic classification of interest in slipped capital femoral epiphysis (SCFE). It was observed that the therapeutic management in slipped capital femoral epiphysis might be modified depending on the classification and radiologic acquisition method adopted. Multiplanar assessment of proximal femoral deformity in patients with slipped capital femoral epiphysis is a viable option, with the potential to modify the disease classification and, consequently, the therapeutic management.	Comparar arcos radiológicos do fêmur proximal em pacientes com escorregamento proximal do fêmur (PEF) e analisar, o tomographycomputadorizada pode modificar o tratamento. Estudo transversal que comparou e analisou simultaneamente os arcos e a classificação radiológica de interesse no escorregamento proximal do fêmur (PEF). Foi observado que o manejo terapêutico no escorregamento proximal do fêmur pode ser modificado, dependendo da classificação adotada e do método de aquisição de imagens radiológicas. A avaliação multiplanar da deformidade proximal do fêmur em pacientes com escorregamento proximal do fêmur é uma opção viável, tendo como potencial modificar a classificação da doença e, por conseguinte, o manejo terapêutico.	Comparar os ângulos radiológicos do fêmur proximal em pacientes com escorrego de cabeça do fêmur e analisar se a tomografia computadorizada pode modificar o tratamento. Estudo transversal para comparação e análise da similaridade dos ângulos e da classificação radiológica de interesse no escorrego de cabeça do fêmur (EPCF). Apresentou-se evidências de que o manejo terapêutico no escorrego de cabeça do fêmur sair de pacientes com escorrego de cabeça do fêmur. A avaliação multiplanar da deformidade do fêmur proximal em pacientes com escorrego de cabeça do fêmur é uma opção viável e com potencial de modificar a classificação da doença e, portanto, o manejo terapêutico.	Cross-sectional study comparing and analyzing the similarity between angles and radiologic classification of interest in slipped capital femoral epiphysis (SCFE).	Estudo transversal que comparou e analisou simultaneamente os arcos e a classificação radiológica de interesse no escorregamento proximal do fêmur (PEF).	Estudo transversal para comparação e análise da similaridade dos ângulos e da classificação radiológica de interesse no escorrego de cabeça do fêmur (EPCF).		
29062815	To compare proximal femur radiologic angles in patients with slipped capital femoral epiphysis and to analyze whether computerized tomography may modify the treatment. Cross-sectional study comparing and analyzing the similarity between angles and radiologic classification of interest in slipped capital femoral epiphysis (SCFE). It was observed that the therapeutic management in slipped capital femoral epiphysis might be modified depending on the classification and radiologic acquisition method adopted. Multiplanar assessment of proximal femoral deformity in patients with slipped capital femoral epiphysis is a viable option, with the potential to modify the disease classification and, consequently, the therapeutic management.	Comparar arcos radiológicos do fêmur proximal em pacientes com escorregamento proximal do fêmur (PEF) e analisar, o tomographycomputadorizada pode modificar o tratamento. Estudo transversal que comparou e analisou simultaneamente os arcos e a classificação radiológica de interesse no escorregamento proximal do fêmur (PEF). Foi observado que o manejo terapêutico no escorregamento proximal do fêmur pode ser modificado, dependendo da classificação adotada e do método de aquisição de imagens radiológicas. A avaliação multiplanar da deformidade proximal do fêmur em pacientes com escorregamento proximal do fêmur é uma opção viável, tendo como potencial modificar a classificação da doença e, por conseguinte, o manejo terapêutico.	Comparar os ângulos radiológicos do fêmur proximal em pacientes com escorrego de cabeça do fêmur e analisar se a tomografia computadorizada pode modificar o tratamento. Estudo transversal para comparação e análise da similaridade dos ângulos e da classificação radiológica de interesse no escorrego de cabeça do fêmur (EPCF). Apresentou-se evidências de que o manejo terapêutico no escorrego de cabeça do fêmur sair de pacientes com escorrego de cabeça do fêmur. A avaliação multiplanar da deformidade do fêmur proximal em pacientes com escorrego de cabeça do fêmur é uma opção viável e com potencial de modificar a classificação da doença e, portanto, o manejo terapêutico.	Multiplanar assessment of proximal femoral deformity in patients with slipped capital femoral epiphysis is a viable option, with the potential to modify the disease classification and, consequently, the therapeutic management.	A avaliação multiplanar da deformidade proximal do fêmur em pacientes com escorregamento proximal do fêmur é uma opção viável, tendo como potencial modificar a classificação da doença e, por conseguinte, o manejo terapêutico.	A avaliação multiplanar da deformidade do fêmur proximal em pacientes com escorregamento proximal do fêmur é uma opção viável e com potencial de modificar a classificação da doença e, portanto, o manejo terapêutico.		
31247668	The present study aims to obtain basic demographic information, the level of interest and of training in gynecology oncology among Brazilian obstetricians and gynecologists (OB-GYNs) to create a professional profile. An online questionnaire was sent to 16,008 gynecologists affiliated to the Brazilian Federation of Associations of Gynecology and Obstetrics (FEBRASGO, in the Portuguese acronym). We considered gynecologists dedicated to gynecologic oncology (OB-GYNs ONCO) those who self-reported that > 50% of their daily practice consists in working with women's cancer care. A total of 1,608 (10%) of 16,008 FEBRASGO members responded.	O presente estudo tem como objetivo obter informações demográficas básicas, o nível de interesse e de formação em oncologia ginecológica entre obstetras e ginecologistas brasileiros (OB- ginecologistas) para criar um perfil profissional. Foi enviado um questionário online a 16.008 ginecologistas afiliados à Federação Brasileira de Associações de Ginecologia e Obstetria (FEBRASGO) para avaliar os aspectos demográficos, nível de interesse e formação em oncologia ginecológica entre os ginecologistas brasileiros (OB- ginecologistas ONCO). Considerou-se como OB- ginecologistas que atuam em oncologia ginecológica (OB- ginecologistas ONCO) aqueles que afirmaram ser > 50% da sua prática diária consiste em trabalhar com a assistência ao cuidado das mulheres no âmbito da atenção ginecológica às mulheres.	O presente estudo visa obter dados demográficos básicos, o nível de interesse e a formação em ginecologia oncológica entre obstetras e ginecologistas brasileiras (OB- ginecologistas) brasileiros para criar um perfil profissional. Foi enviado um questionário online a 16.008 ginecologistas da Federação Brasileira de Associações de Ginecologia e Obstetria (FEBRASGO). Foram considerados ginecologistas dedicados à oncologia ginecológica (OB- ginecologistas ONCO) aqueles que afirmaram que > 50% da sua prática diária consiste em trabalhar com a atenção ao câncer das mulheres. Um total de 1,608 (10%) dos 16.008 membros da FEBRASGO responderam que os OB- ginecologistas estão concentrados na região sul e no sudeste do Brasil. A oncologia ginecológica foi considerada a 8<sup>a</sup>/sup> maior região de interesse entre os OB- ginecologistas.	The present study aims to obtain basic demographic information, the level of interest and of training in gynecology oncology among Brazilian obstetricians and gynecologists (OB-GYNs) to create a professional profile.	O presente estudo tem como objetivo obter informações demográficas básicas, o nível de interesse e de formação em oncologia ginecológica entre obstetras e ginecologistas brasileiros (OB- ginecologistas) para criar um perfil profissional.	O presente estudo visa obter dados demográficos básicos, o nível de interesse e a formação em ginecologia oncológica entre obstetras e ginecologistas brasileiras (OB- ginecologistas) brasileiros para criar um perfil profissional.		

document-id	Context Source	Context Mode X	Context Mode y	Source Sentence	Mode x Sentence	Mode y Sentence	Ranking Type	Comment
28658331	to study the association between the histological grading of cervical intraepithelial neoplasia (CIN I, CIN II and CIN III) and the immunohistochemical expression for p16ink4a, hTert and Ki67, as well as to evaluate the relationship of these markers with the risk of recurrence after surgical treatment, we studied a historical cohort of 94 women with intraepithelial lesions CIN I (low grade), CIN II and CIN III (high grades) submitted to conization or electrosurgical excision of the transformation zone. We evaluated all surgical specimens for immunohistochemical expression of p16ink4a, hTert and Ki67. the mean age was 38.2 years; p16ink4a was absent in most CIN I cases. In patients with CIN II or III (association of low and high-grade lesions), we observed p16ink4a ≤10%.	estudar a associação entre o grau histológico da neoplasia intraepitelial cervical (NIC I, NIC II e NIC III), e a expressão imuno-histoquímica do p16inc4a, hTert e Ki67, bem como avaliar a relação desses marcadores com o risco de recidiva após o tratamento cirúrgico. uma coorte histórica de 94 mulheres com lesões intraepiteliais cervicais (NIC I, NIC II e NIC III (baixo grau) foram submetidas a conização ou excisão eletrocirúrgica da zona de transformação. Foram avaliadas todas as amostras cirúrgicas quanto à expressão imuno-histoquímica do p16inc4a, hTert e Ki 67. a média de idade foi de 38,2 anos e o p16inc4a permaneceu ausente na maioria dos casos de NIC I.	estudar a associação entre o grau histológico da neoplasia intraepitelial cervical (NIC I, NIC II e NIC III) e a expressão imuno-histoquímica de p16inc4a, hTert e Ki67, além de avaliar a relação desses marcadores com o risco de recidiva após tratamento cirúrgico. foram incluídas 94 mulheres com lesões intraepiteliais (NIC I (baixo grau), NIC II e NIC III (baixos graus) submetidas à conização ou excisão eletrocirúrgica da zona de transformação. foram avaliadas todas as amostras cirúrgicas para expressão imuno-histoquímica de p16inc4a, hTert e Ki67, e a relação destes marcadores com o risco de recidiva após tratamento cirúrgico. a idade média foi de 38,2 anos e a ausência de p16inc4a na maioria das NIC I.	to study the association between the histological grading of cervical intraepithelial neoplasia (CIN I, CIN II and CIN III) and the immunohistochemical expression for p16ink4a, hTert and Ki67, as well as to evaluate the relationship of these markers with the risk of recurrence after surgical treatment.	estudar a associação entre o grau histológico da neoplasia intraepitelial cervical (NIC I, NIC II e NIC III), e a expressão imuno-histoquímica do p16inc4a, hTert e Ki67, bem como avaliar a relação desses marcadores com o risco de recidiva após o tratamento cirúrgico	estudar a associação entre o grau histológico da neoplasia intraepitelial cervical (NIC I, NIC II e NIC III) e a expressão imuno-histoquímica de p16inc4a, hTert e Ki67, além de avaliar a relação desses marcadores com o risco de recidiva após tratamento cirúrgico.		
32270090	Sleep disorders are receiving increasing attention in the occupational medicine literature as a function of their substantial impact on the functional recovery of workers. To investigate the relationship of leisure-time and transportation physical activity with sleep duration among technical-administrative employees at a public university. The sample comprised 371 participants. Data collection was performed by means of a self-report questionnaire for sociodemographic, nutritional, behavioral, health and occupational variables. We performed crude and adjusted analysis of the association between physical activity level and outcomes. Leisure-time physical activity exhibited positive correlation with sleep time on weekdays ( $\beta=22.2$ ; $p=0.006$ ) and weekends ( $\beta=31.3$ ; $p=0.007$ ). Transportation physical activity exhibited negative correlation with sleep time on weekends ( $\beta=-44.5$ ; $p<0.001$ ).	Os distúrbios do sono são objeto de interesse crescente na literatura de Medicina Ocupacional em função do seu impacto substancial na recuperação funcional dos trabalhadores. Verificar a relação do nível de atividade física no lazer e no transporte com a duração do sono em trabalhadores técnico-administrativos de uma universidade pública. Participaram 371 participantes. Os dados foram coletados por meio de um questionário de autorrelato para variáveis sociodemográficas, nutricionais, comportamentais, de saúde e ocupacionais. Foi realizada análise bruta e ajustada da associação entre nível de atividade física e resultados obtidos. Observou-se correlação positiva do nível de atividade física no lazer ( $\beta=22,2$ ; $p=0,006$ ) e durante os finais de semana ( $\beta=31,3$ ; $p=0,001$ ). A atividade física no transporte teve correlação negativa com o tempo de sono nos finais de semana ( $\beta=-44,5$ ; $p<0,001$ ).	Os distúrbios do sono são objeto de atenção crescente na literatura ocupacional, graças ao seu impacto na recuperação funcional dos trabalhadores. O objetivo deste artigo é investigar a relação entre a prática de atividade física no lazer e no transporte com a duração de sono em trabalhadores técnico-administrativos de uma universidade pública. A amostra foi composta de 371 participantes. A coleta de dados foi realizada por meio de um questionário de autorrelato para variáveis sociodemográficas, nutricionais, comportamentais, de saúde e ocupacionais. Realizou-se análise bruta e ajustada da associação entre nível de atividade física e resultados. A atividade física no lazer exibiu correlação positiva com o tempo de sono nos dias de semana ( $\beta=22,2$ ; $p=0,006$ ). A atividade física no transporte exibiu correlação negativa com o tempo de sono nos dias de semana ( $\beta=-44,5$ ; $p<0,001$ ).	Sleep disorders are receiving increasing attention in the occupational medicine literature as a function of their substantial impact on the functional recovery of workers.	Os distúrbios do sono são objeto de interesse crescente na literatura de Medicina Ocupacional em função do seu impacto substancial na recuperação funcional dos trabalhadores.	Os distúrbios do sono são objeto de atenção crescente na literatura ocupacional, graças ao seu impacto na recuperação funcional dos trabalhadores.		
28868366	Aspiration or ingestion of foreign bodies may occur during dental procedures. Diagnosis and management of these accidents is sometimes challenging. The authors present a small series of clinical cases. Adolescent observed due to suspected accidental bracket ingestion, not visible on x-ray, removed by upper digestive endoscopy. Adolescent observed after accidental ingestion of a dental file. Conflicting results in image exams and absence of object progression led to enteroscopy for extraction. Adolescent observed due to accidental ingestion of a surgical blade, visualized on image study but not accessible by endoscopy, resulting in latter spontaneous elimination.	A aspiração ou ingestão de corpos estranhos pode ocorrer durante os procedimentos odontológicos. O diagnóstico e a resolução destas situações podem colocar desafios. Os autores apresentam uma pequena série de casos clínicos. Adolescente observada por suspeita de ingestão acidental de um bracket de aparelho fixo, não visualizado na radiografia e removido por endoscopia digestiva alta. Adolescente observada com suspeita de ingestão acidental de uma lima de dentista. Os exames complementares realizados não foram esclarecedores e, em alguns casos, a higienização mucosa deve ser feita. A prevenção de tais acidentes é a melhor abordagem, utilizando as proteções mucosas adequadas para segurança da via aérea e do trato digestivo durante os procedimentos odontológicos.	A aspiração ou ingestão de corpos estranhos podem ocorrer durante procedimentos odontológicos. O diagnóstico e a abordagem destes acidentes é frequentemente desafiador. Os autores apresentam uma pequena série de casos clínicos. Adolescente observada por suspeita de ingestão acidental de um bracket de aparelho fixo de ortodontia, não visualizado na radiografia abdominal, removido por endoscopia digestiva alta. Adolescente observada após a ingestão acidental de uma lima de dentista. Resultados conflitantes dos exames de imagem e ausência de progressão do corpo estranho levaram para a enteroscopia para eliminação. Adolescente observada quando suspeita de ingestão acidental de uma lima de dentista, visualizada na imagem, mas não acessível por endoscopia. Adolescente observada quando suspeita de ingestão acidental de uma lima de dentista, visualizada no exame de imagem, mas não acessível por endoscopia.	Diagnosis and management of these accidents is sometimes challenging.	O diagnóstico e a resolução destas situações podem colocar desafios	O diagnóstico e a abordagem destes acidentes é frequentemente desafiador. Os autores apresentam uma pequena série de casos clínicos		

document-id	Context Source	Context Mode X	Context Mode y	Source Sentence	Mode x Sentence	Mode y Sentence	Ranking Type	Comment
34784635	<p>To review the evidence about universal iron supplementation in pregnancy to prevent maternal anemia. Bibliographic research of randomized and controlled clinical trials, meta-analyses, systematic reviews, and clinical guidelines, published between August 2009 and August 2019, using the MeSH terms: &lt;i&gt;iron&lt;/i&gt;, &lt;i&gt;therapeutic use&lt;/i&gt;, &lt;i&gt;pregnancy&lt;/i&gt;, &lt;i&gt;anemia&lt;/i&gt;, &lt;i&gt;prevention&lt;/i&gt; &lt;i&gt;and&lt;/i&gt; &lt;i&gt;control&lt;/i&gt;. We included six clinical guidelines, three meta-analyses and one randomized controlled clinical trial. Most articles point to the improvement of hematological parameters and reduction of maternal anemia risk, with supplementary iron. However, they do not correlate this improvement in pregnant women without previous anemia with the eventual improvement of clinical parameters.</p>	<p>Revisar a evidência sobre a suplementação universal de ferro na gravidez para prevenção de anemia materna. Pesquisa bibliográfica de estudos clínicos randomizados e controlados, metanálises, revisões sistemáticas e diretrizes clínicas, publicados entre agosto de 2009 e agosto de 2019, utilizando os termos MeSH: &lt;i&gt;iron&lt;/i&gt; &lt;i&gt;therapeutic use&lt;/i&gt; &lt;i&gt;pregnancy&lt;/i&gt; &lt;i&gt;anemia&lt;/i&gt; &lt;i&gt;and&lt;/i&gt; &lt;i&gt;control&lt;/i&gt;. Foram incluídos seis diretrizes clínicas, três metanálises e um ensaio clínico randomizado controlado. A maioria dos artigos destaca a melhora dos parâmetros hematológicos e a redução do risco de anemia materna, com suplementação suplementar de ferro. No entanto, eles não correlacionam esta melhora nas gestantes sem anemia prévia, com a melhora de parâmetros clínicos.</p>	<p>Revisar as evidências sobre a implementação de suplementação de ferro universal na gravidez para prevenção de anemia materna. MéTODOS: Pesquisa bibliográfica de estudos clínicos randomizados e controlados, metanálises, revisões sistemáticas e diretrizes clínicas, publicados entre agosto de 2009 e agosto de 2019, utilizando os termos MeSH: &lt;i&gt;ferro&lt;/i&gt; &lt;i&gt;utilização&lt;/i&gt;, &lt;i&gt;gravidez&lt;/i&gt;, &lt;i&gt;anemia&lt;/i&gt;, &lt;i&gt;prevenção&lt;/i&gt; e &lt;i&gt;controle&lt;/i&gt;. Foram incluídos seis diretrizes clínicas, três metanálises e um estudo clínico randomizado e controlado. A maioria dos artigos aponta para a melhora de parâmetros hematológicos e a redução do risco de anemia materna, com suplementação de ferro. No entanto, não correlaciona-se essa melhora em gestantes sem anemia prévia com a melhora eventual de parâmetros clínicos.</p>	<p>Bibliographic research of randomized and controlled clinical trials, meta-analyses, systematic reviews, and clinical guidelines, published between August 2009 and August 2019, using the MeSH terms: &lt;i&gt;iron&lt;/i&gt; &lt;i&gt;therapeutic use&lt;/i&gt;, &lt;i&gt;pregnancy&lt;/i&gt;, &lt;i&gt;anemia&lt;/i&gt;, &lt;i&gt;prevention&lt;/i&gt; &lt;i&gt;and&lt;/i&gt; &lt;i&gt;control&lt;/i&gt;.</p>	<p>Pesquisa bibliográfica de estudos clínicos randomizados e controlados, metanálises, revisões sistemáticas e diretrizes clínicas, publicados entre agosto de 2009 e agosto de 2019, utilizando os termos MeSH: &lt;i&gt;iron&lt;/i&gt; &lt;i&gt;therapeutic use&lt;/i&gt;, &lt;i&gt;pregnancy&lt;/i&gt;, &lt;i&gt;anemia&lt;/i&gt; &lt;i&gt;and&lt;/i&gt; &lt;i&gt;prevention&lt;/i&gt; &lt;i&gt;and&lt;/i&gt; &lt;i&gt;control&lt;/i&gt;.</p>	<p>Pesquisa bibliográfica de estudos clínicos randomizados e controlados, metanálises, revisões sistemáticas e diretrizes clínicas, publicados entre agosto de 2009 e agosto de 2019, utilizando os termos MeSH: &lt;i&gt;ferro&lt;/i&gt; &lt;i&gt;utilização&lt;/i&gt;, &lt;i&gt;gravidez&lt;/i&gt;, &lt;i&gt;anemia&lt;/i&gt;, &lt;i&gt;prevenção&lt;/i&gt; e &lt;i&gt;controle&lt;/i&gt;.</p>		
31141080	<p>To analyze the satisfaction, medical situation understanding and symptoms of anxiety and depression in family members of patients admitted to the intensive care unit. The family members of patients who were hospitalized for ≥ 72 hours were invited to participate in the study, which was performed in a public hospital. Questionnaires were answered to assess the understanding of the diagnosis, treatment and prognosis, and the support received in the intensive care unit. The family needs were also evaluated using a modified version of the Critical Care Family Needs Inventory (CCFNI). The Hospital Anxiety and Depression Scale (HADS) was used to assess the symptoms of anxiety and depression. A total of 35 family members were interviewed within the patients' first week of stay in the intensive care unit. Most patients (57.1%) were male, aged 54 ± 19 years.</p>	<p>analisar a satisfação, a compreensão da situação médica e os sintomas da ansiedade e depressão em familiares de pacientes admitidos à unidade de terapia intensiva. famílias de pacientes internados em unidade de terapia intensiva foram convidados a participar do estudo, que foi realizado em um hospital público. Questionários foram respondidos para avaliar o entendimento do diagnóstico, tratamento e prognóstico, bem como o apoio recebido na unidade de terapia intensiva. As necessidades familiares foram também avaliadas, usando uma versão modificada do Hospital Anxiety and Depression Scale (HADS). A Escala Hospitalar de Ansiedade e Depressão (HADS) foi utilizada para avaliar os sintomas da ansiedade e depressão. um total de 35 familiares foram entrevistados na primeira semana de permanência na unidade de terapia intensiva. A maioria dos pacientes (57,1%) era do sexo masculino, com idade entre 54 e 19 anos.</p>	<p>Analisar a satisfação, o entendimento da situação clínica e os sintomas da ansiedade e depressão em familiares de pacientes internados na unidade de terapia intensiva. Foi realizado um estudo em hospital público. Questionários foram respondidos para avaliar o entendimento do diagnóstico, tratamento e prognóstico, e o apoio recebido na unidade de terapia intensiva. As necessidades familiares também foram avaliadas usando uma versão modificada do Inventário de Necessidades da Família Crítica (CCFNI). A escala Hospital Anxiety and Depression Scale (HADS) foi usada para avaliar os sintomas da ansiedade e depressão. 35 familiares foram entrevistados na primeira semana de permanência na unidade de terapia intensiva. A maioria dos pacientes (57,1%) era do sexo masculino, com 54 ± 19 anos.</p>	<p>The family needs were also evaluated using a modified version of the Critical Care Family Needs Inventory (CCFNI).</p>	<p>As necessidades familiares foram também avaliadas, usando uma versão modificada do Hospital Anxiety and Depression Scale (HADS).</p>	<p>As necessidades familiares também foram avaliadas usando uma versão modificada do Inventário de Necessidades da Família Crítica (CCFNI).</p>		
31141080	<p>To analyze the satisfaction, medical situation understanding and symptoms of anxiety and depression in family members of patients admitted to the intensive care unit. The family members of patients who were hospitalized for ≥ 72 hours were invited to participate in the study, which was performed in a public hospital. Questionnaires were answered to assess the understanding of the diagnosis, treatment and prognosis, and the support received in the intensive care unit. The family needs were also evaluated using a modified version of the Critical Care Family Needs Inventory (CCFNI). The Hospital Anxiety and Depression Scale (HADS) was used to assess the symptoms of anxiety and depression. A total of 35 family members were interviewed within the patients' first week of stay in the intensive care unit. Most patients (57.1%) were male, aged 54 ± 19 years.</p>	<p>analisar a satisfação, a compreensão da situação médica e os sintomas da ansiedade e depressão em familiares de pacientes admitidos à unidade de terapia intensiva. famílias de pacientes internados em unidade de terapia intensiva foram convidados a participar do estudo, que foi realizado em um hospital público. Questionários foram respondidos para avaliar o entendimento do diagnóstico, tratamento e prognóstico, bem como o apoio recebido na unidade de terapia intensiva. As necessidades familiares foram também avaliadas, usando uma versão modificada do Hospital Anxiety and Depression Scale (HADS). A Escala Hospitalar de Ansiedade e Depressão (HADS) foi utilizada para avaliar os sintomas da ansiedade e depressão. um total de 35 familiares foram entrevistados na primeira semana de permanência na unidade de terapia intensiva. A maioria dos pacientes (57,1%) era do sexo masculino, com idade entre 54 e 19 anos.</p>	<p>Analisar a satisfação, o entendimento da situação clínica e os sintomas da ansiedade e depressão em familiares de pacientes internados na unidade de terapia intensiva. Foi realizado um estudo em hospital público. Questionários foram respondidos para avaliar o entendimento do diagnóstico, tratamento e prognóstico, e o apoio recebido na unidade de terapia intensiva. As necessidades familiares também foram avaliadas usando uma versão modificada do Inventário de Necessidades da Família Crítica (CCFNI). A escala Hospital Anxiety and Depression Scale (HADS) foi usada para avaliar os sintomas da ansiedade e depressão. 35 familiares foram entrevistados na primeira semana de permanência na unidade de terapia intensiva. A maioria dos pacientes (57,1%) era do sexo masculino, com 54 ± 19 anos.</p>	<p>The Hospital Anxiety and Depression Scale (HADS) was used to assess the symptoms of anxiety and depression.</p>	<p>A Escala Hospitalar de Ansiedade e Depressão (HADS) foi utilizada para avaliar os sintomas da ansiedade e depressão.</p>	<p>A escala Hospital Anxiety and Depression Scale (HADS) foi usada para avaliar os sintomas da ansiedade e depressão.</p>		





[illegible]

[illegible]

[illegible]

[illegible]

[illegible]



[illegible]

[illegible]

[illegible]

[illegible]

[illegible]



[illegible]

[illegible]

[illegible]

[illegible]

[illegible]



[illegible]

[illegible]

[illegible]

[illegible]

[illegible]



[illegible]

[illegible]

[illegible]

[illegible]